# Cours 2ème année ENTPE Résistance des matériaux

Boris TEDOLDI Ingénieur structure



Calcul Structure Bâtiment

http://www.csb.bet



Page 2/197

## Sommaire

0. Objet du cours et conventions de signe	3
1. Brefs rappels de RDM 1 <sup>ère</sup> année	6
2. Moments et efforts tranchant entre deux sections d'une p droite dont les moments sont connus	
3. Calcul d'une flèche	58
4. Méthode des forces	71
5. Méthode des trois moments	104
6. Méthode des déplacements	151
7. Méthode des rotations	173
8. Introduction aux éléments finis pour les poutres à 3 degré	
9. Exemple	189

Boris TEDOLDI RDM - ENTPE 2<sup>ème</sup> année

## Calcul Structure Bâtiment http://www.csb.bet

Page 3/197

## 0. Objet du cours et conventions de signe

## 0.1 Objet du cours

L'objet du cours de RDM en première année concernait la <u>théorie des poutres</u> (poutres isostatiques).

Le cours de RDM 2 concerne les systèmes de poutres hyperstatiques (en s'appuyant parfois sur les résultats des poutres isostatiques).



Page 4/197

## 0.2 Convention de signes

	Signe positif	Signe négatif		
Effort normal N	Engendre de la <mark>traction</mark> supplémentaire	Engendre de la <mark>compression</mark> supplémentaire		
Moment M <sub>z</sub> pour les problèmes 2D	La fibre supérieure est l'ensemble des points où σ est minimale (c'est-à-dire que c'est la zone la plus comprimée ou la moins tendue).  La fibre inférieure est l'ensemble des points où σ est maximale (c'est-à-dire que c'est la zone la plus tendue ou la moins comprimée).	l'ensemble des points où σ est maximale (c'est-à-dire que c'est la zone la plus tendue ou la moins comprimée).  La fibre inférieure est l'ensemble des points où σ est minimale (c'est-à-dire que c'est la zone la plus		

#### Remarque:

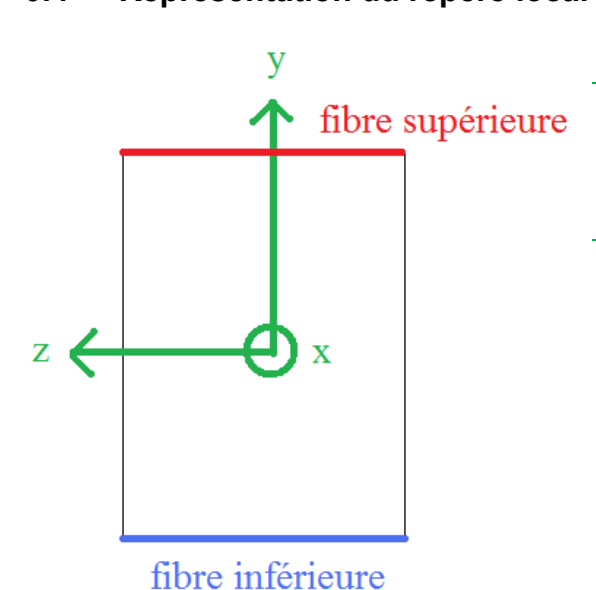
Les signes utilisés dans ce cours ne sont qu'une convention. Elle n'importe peu, tant que la réalité physique (zones en compression et en traction) est comprise de la même manière entre le calculateur et le lecteur d'une note de calculs.

Néanmoins, une fois une convention choisie, il convient de toujours la respecter.

#### 0.3 Notations de l'effort tranchant

Dans ce présent cours, l'effort tranchant est noté indifféremment T (notation française) ou V (notation adoptée pour les codes génie civil internationaux).

## 0.4 Représentation du repère local



#### Définitions des fibres inférieures et supérieures

<u>Fibre supérieure</u> : fibre telle que les ordonnées y sont maximales.

<u>Fibre inférieure</u> : fibre telle que les ordonnées y sont minimales.



**ATTENTION**, le sens du vecteur y est dirigé vers le haut, contrairement au cours de RDM de première année.

Voir les différences sur le calculs des diagrammes de sollicitations par rapport aux calculs de 1ère année dans les rappels de cours.



Page 5/197

## 0.5 Hypothèses valables pour l'ensemble du cours

- Problème plan (structure plane dont le chargement est dans son plan)
- Hypothèses des transformations infinitésimales :
  - Petits déplacements
  - o Petites déformations
- Domaine élastique et linéaire du matériau
- Hypothèses sur la loi de comportement
  - o Elastique
  - o Linéaire
  - o Homogène
  - o Isotrope
- La contrainte de cisaillement selon y est égale en tout point de même ordonnée y.
- Domaine de validité de la théorie des poutres
  - o Les dimensions transversales doivent être petites par rapport aux dimensions longitudinales.  $\frac{1}{40} < \frac{h}{\ell} < \frac{1}{5}$
  - o La section doit être suffisamment massive : b < h < 10b
  - Pas de variation brusque de dimensions transversales
  - o Pas de variation brusque de courbure R supérieur à 5h
- Principe de Bernoulli : après déformation de la poutre, les sections normales à la fibre moyenne (les sections droites), restent planes et normales à la fibre moyenne.
- Principe de Saint Venant : Les contraintes (et par suite les déformations) dans une section droite, <u>éloignée des points d'application des efforts extérieurs et des singularités</u>, ne dépendent que de la résultante et du moment résultant des efforts appliqués à l'une des deux parties séparée par la section droite envisagée



Page 6/197

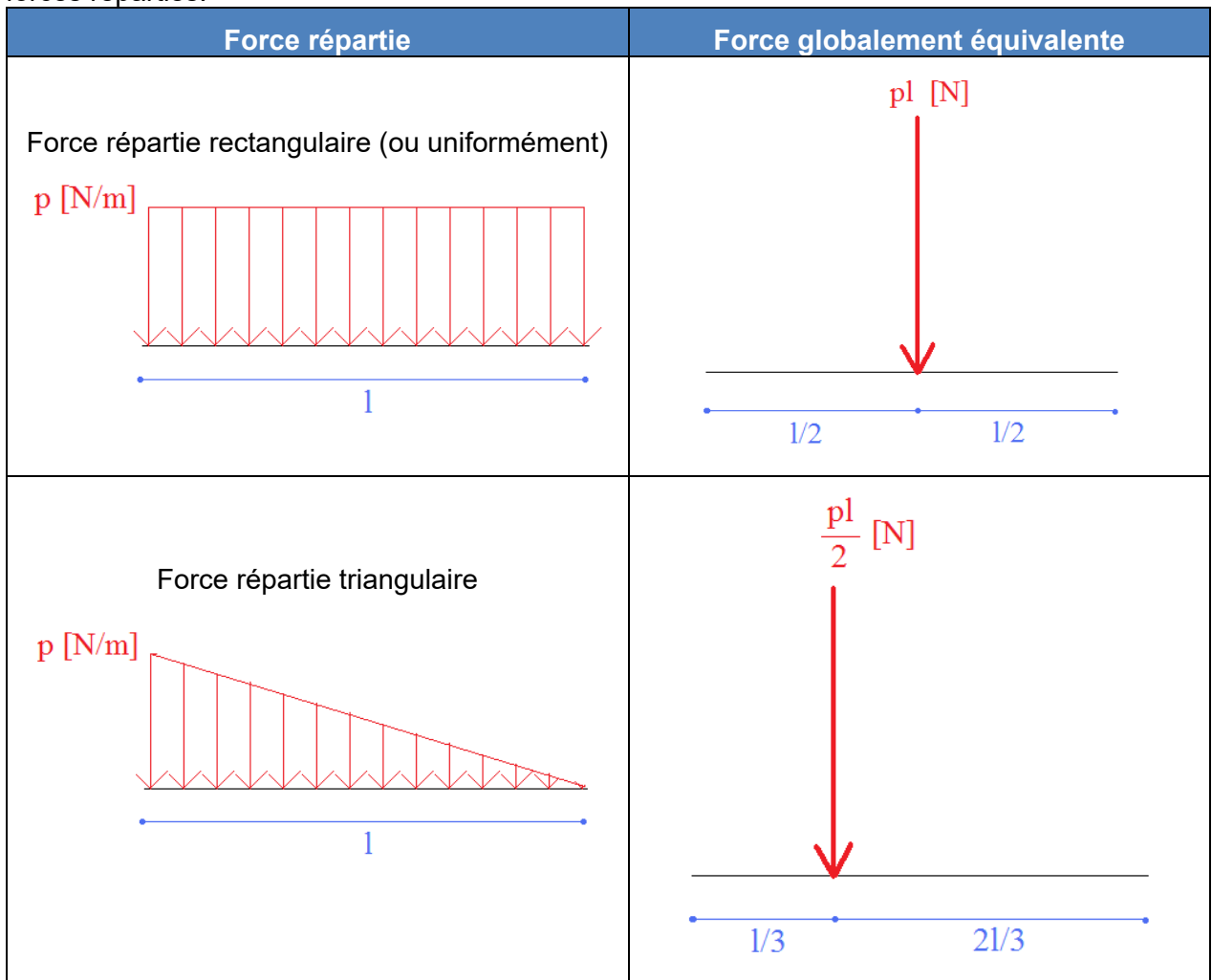
## 1. Brefs rappels de RDM 1ère année

## 1.1 Calculs des réactions d'appuis

### 1.1.1 Force globalement équivalente à une force répartie

#### **Propriété**

Une force globalement équivalente à une force répartie est une force ponctuelle égale à la résultante des forces répartie, dont le moment par rapport à un point est le même que celui des forces réparties.



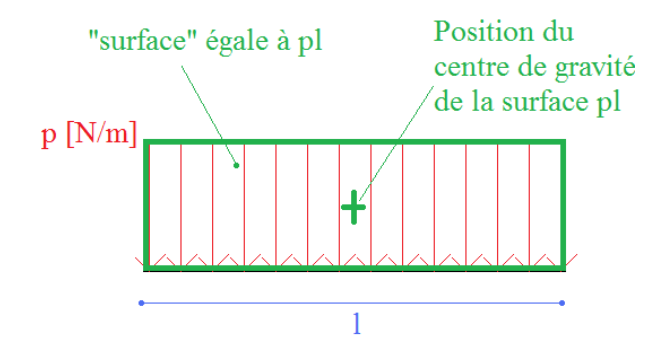


## Le tableau précédent est à connaître par cœur ! Car il est très souvent utilisé pour résoudre des problèmes de RDM.

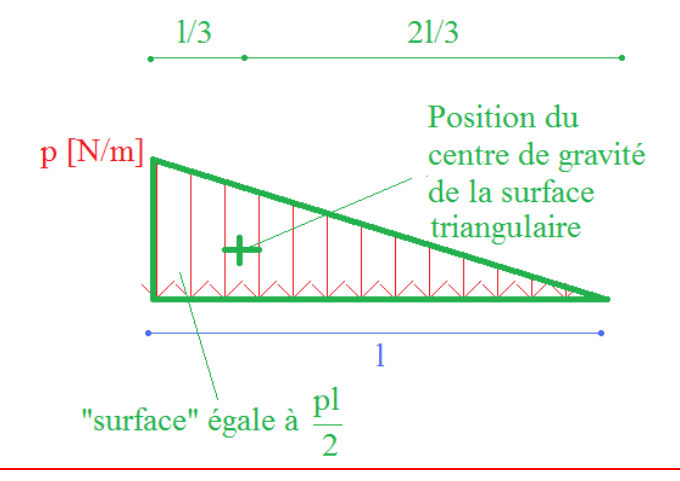
Néanmoins, il est facile de retrouver ces résultats puisque la force ponctuelle est égale à la *surface équivalente* et est située au niveau du centre de gravité de cette même *surface*.

Page 7/197

### Exemple force rectangulaire répartie



## Exemple : force répartie triangulaire



### 1.1.2 Liaisons

#### Définition d'une étude cinématique

Une étude cinématique est l'étude d'une liaison entre deux solides  $S_1$  et  $S_2$  en étudiant les mouvements possibles entre ces deux solides.



Il s'agit bien de <u>mouvements possibles et non réels</u>, étant entendu qu'en génie civil, les solides ne sont (généralement) pas en mouvement par rapport à d'autres (exception des calculs dynamique qui ne font pas l'objet de ce cours).

### **Propriété**

Lorsqu'un degré de liberté est bloqué par la liaison, il existe nécessairement une action mécanique appelée action ou effort de liaison dans la direction du degré de liberté bloqué.

<u>Remarque</u>: Les symboles présentés suivants ne sont pas normalisés mais couramment rencontrés.

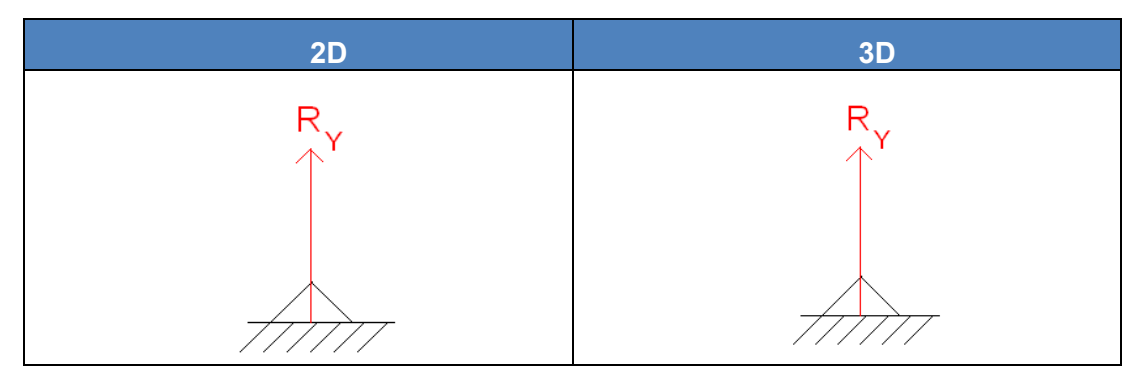


Page 8/197

## 1.1.2.1 Appui simple

Cinématique : une translation (axe x ou y) et une rotation autorisée.

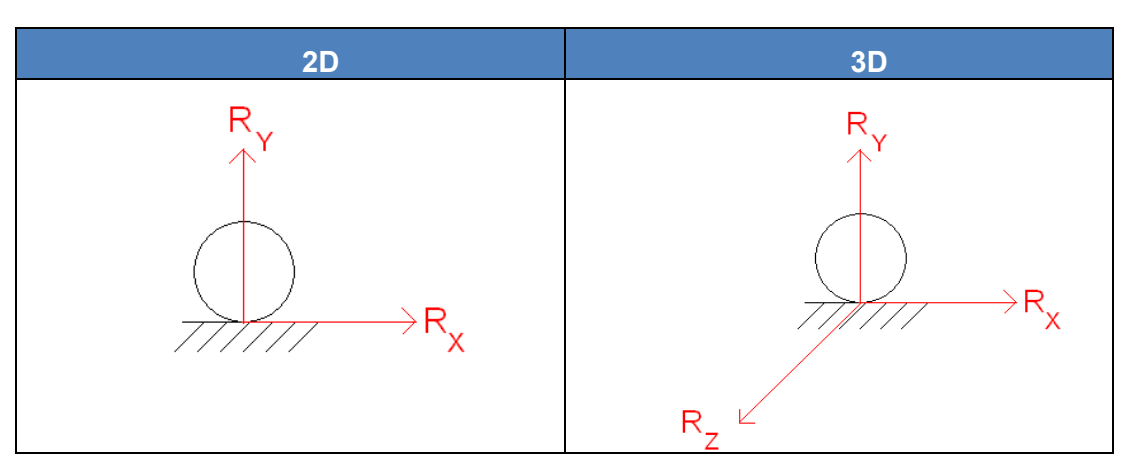
⇒ Réactions d'appuis : force selon la direction dont le déplacement est empêché.



## 1.1.2.2 Articulation

Cinématique : une rotation autorisée.

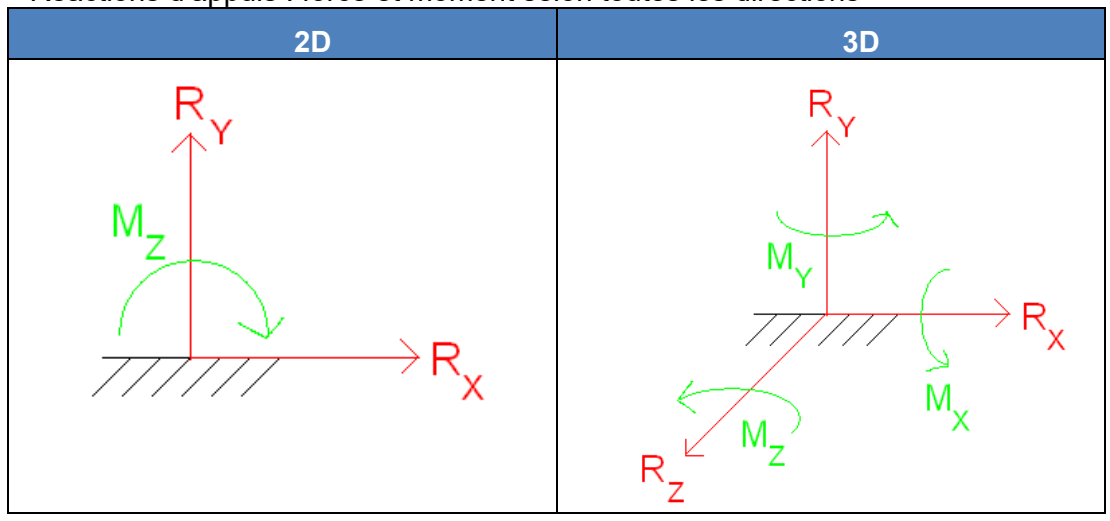
⇒ Réactions d'appuis : force selon toutes les directions



## 1.1.2.3 Encastrement

Cinématique : aucun mouvement possible.

⇒ Réactions d'appuis : force et moment selon toutes les directions



Boris TEDOLDI
RDM - ENTPE 2ème année

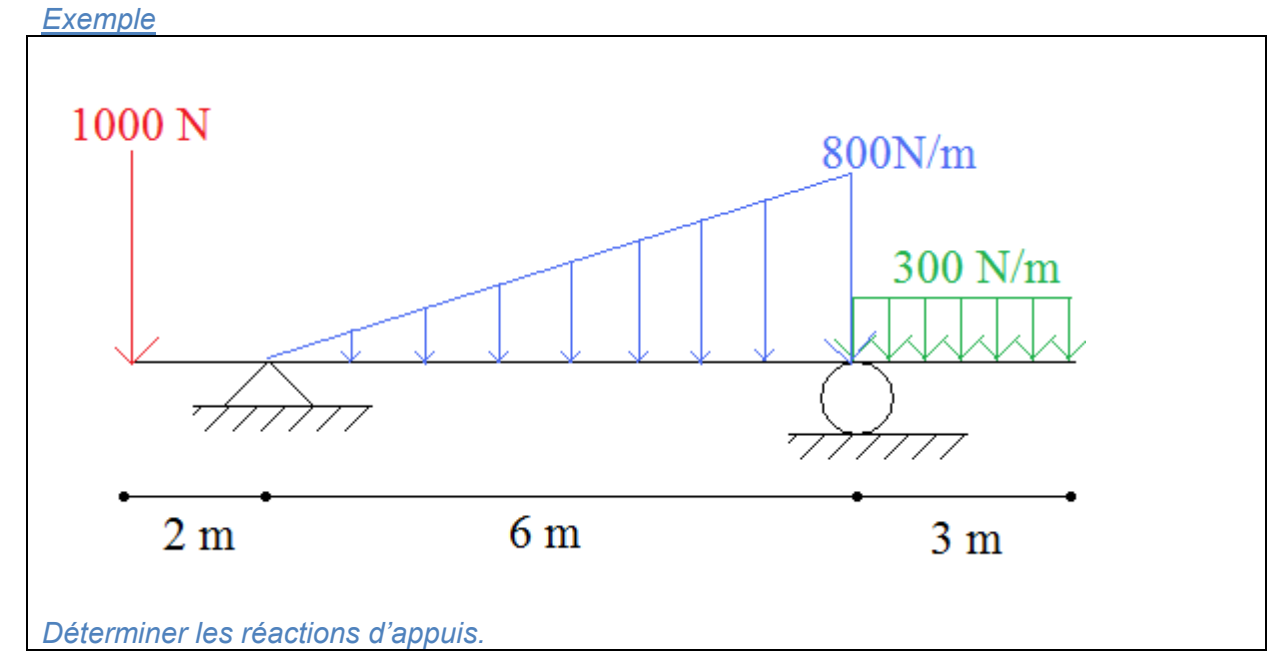
Page 9/197

4	. 4	1.3	۱л	44	h	_	de	
- 1	1 - 1	5	 vı	eт	n	n	ore	7

<sup>\*</sup> dans la pratique, il est possible de calculer un moment pour n'importe quel point de la structure si le calcul du moment conserve la partie droite et la partie gauche. En effet, en statique, ce moment global est nécessairement nul.



Page 10/197



## **Solution**

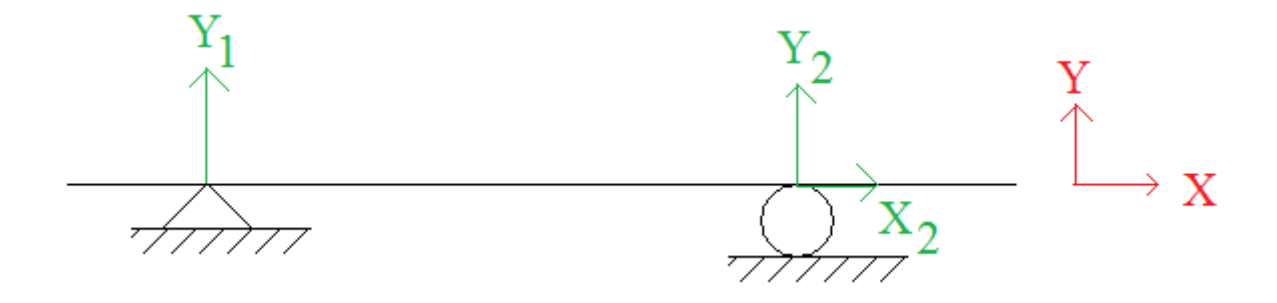
## Mise en place d'un repère global



Remarque : la convention y dirigé vers le bas est une convention du repère local et non global.

## Dessiner et écrire les réactions d'appuis

Au niveau de l'appui simple, il n'existe qu'une seule réaction verticale en force. Au niveau de la rotule, il existe une réaction verticale et une réaction horizontale.



#### Remplacer les forces réparties par des forces ponctuelles équivalentes

### Charge répartie rectangulaire :

Elle vaut 300N/m et sollicite 3 m, donc la charge ponctuelle équivalente vaut :  $300 \times 3 = 900 N$ 

La position de la charge ponctuelle équivalente est placée au centre de gravité de la charge répartie, c'est-à-dire qu'elle est placée au centre du rectangle et donc à 1,5 m à droite de l'appui rotule.

#### Charge répartie triangulaire :

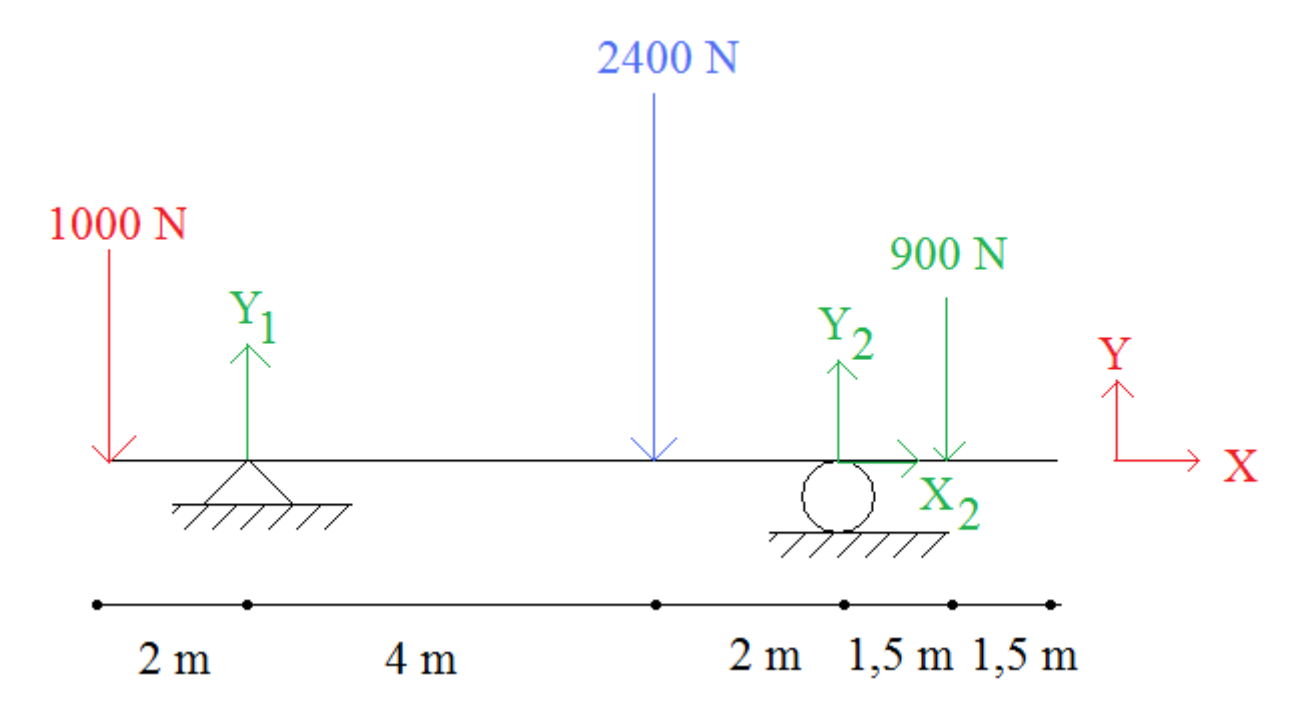
Elle vaut au maximum 800N/m et sollicite 6 m, donc la charge ponctuelle vaut :  $800 \times \frac{6}{2} = 2400 \, N$ 

La position de la charge ponctuelle équivalente est placée au centre de gravité de la charge répartie, c'est-à-dire qu'elle est placée au 2/3 de *la pointe du triangle* : à 4 m à droite de l'appui simple (et donc à 2 m à gauche de l'appui rotule).



il ne faut pas oublier les charges qui sont déjà ponctuelles dans le problème.

#### Il vient alors:



#### Ecrire les équations d'équilibre du système

Somme des forces horizontales nulles :  $X_2 = 0$ 

Somme des forces verticales nulles :  $Y_1 + Y_2 - 1000 - 2400 - 900 = 0$ 

$$\Leftrightarrow Y_1 + Y_2 - 4300 = 0$$



Page 12/197

### Calcul d'un moment global pour obtenir une équation supplémentaire

Il y a 3 inconnues et 2 équations. Cette étape est donc obligatoire pour résoudre le système.

Pour éliminer  $Y_1$  de cette équation, le moment global au niveau de l'appui 1 est calculé. Le moment global (en tenant compte de la partie droite <u>et</u> la partie gauche) au niveau de cet appui est nul.

#### Rappel:

- le moment en valeur absolue vaut la force multipliée par le bras de levier.
- Le signe est fonction du sens dans lequel fait tourner la force considérée Le signe positif est dans le sens suivant :

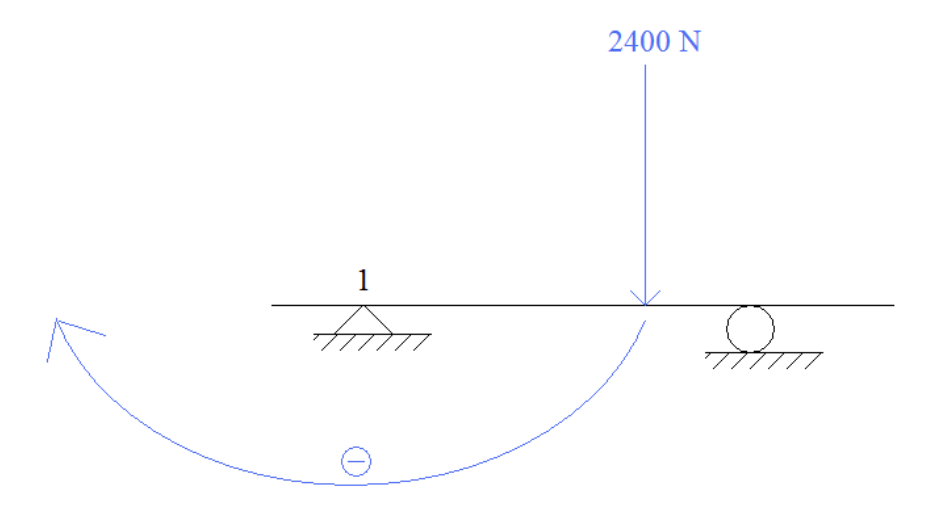


#### Exemple:

La force de 1000 N fait tourner dans le sens positif le nœud au niveau de l'appui 1 avec un bras de levier de 2 m.



La force de 2400 N fait tourner dans le sens négatif le nœud au niveau de l'appui 1 avec un bras de levier de 4 m.



Boris TEDOLDI RDM - ENTPE 2ème année

## Calcul Structure Bâtiment http://www.csb.bet



Page 13/197

En procédant de même pour les autres forces, on obtient :

$$1000 \times 2 - 2400 \times 4 + Y_2 \times 6 - 900 \times (6 + 1,5) = 0$$
  
 $\Leftrightarrow Y_2 \approx 2392 N$ 

#### Remarque:

Il aurait tout à fait été possible de prendre en compte que le moment était nul au niveau de l'appui rotule. Ou encore au niveau des deux extrémités libres. Le résultat final aurait été (heureusement...) identique.

## Résolution du système

$$\begin{cases} Y_1 + Y_2 - 4300 = 0 \\ Y_2 \approx 2392 N \\ X_2 = 0 \end{cases}$$

$$\Leftrightarrow \begin{cases} Y_1 \approx 1908 N \\ Y_2 \approx 2392 N \\ X_2 = 0 N \end{cases}$$

Boris TEDOLDI RDM - ENTPE 2ème année

## Calcul Structure Bâtiment http://www.csb.bet

Page 14/197

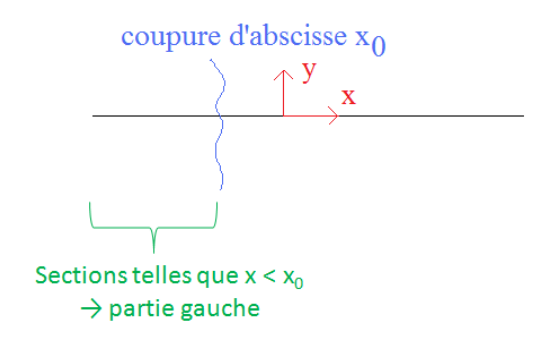
## 1.2 Calculs des diagrammes de sollicitations par la méthode des coupures

## 1.2.1 Définitions des parties droite et gauche

## Définition de la partie gauche

La partie gauche d'une coupure est constituée des sections d'abscisses inférieures à l'abscisse de la coupure

Exemple:



il faut être vigilant sur le sens du vecteur x du repère local, car s'il est orienté vers la gauche, la partie gauche peut être géographiquement... à droite comme l'illustre la figure suivante :

#### Définition de la partie droite

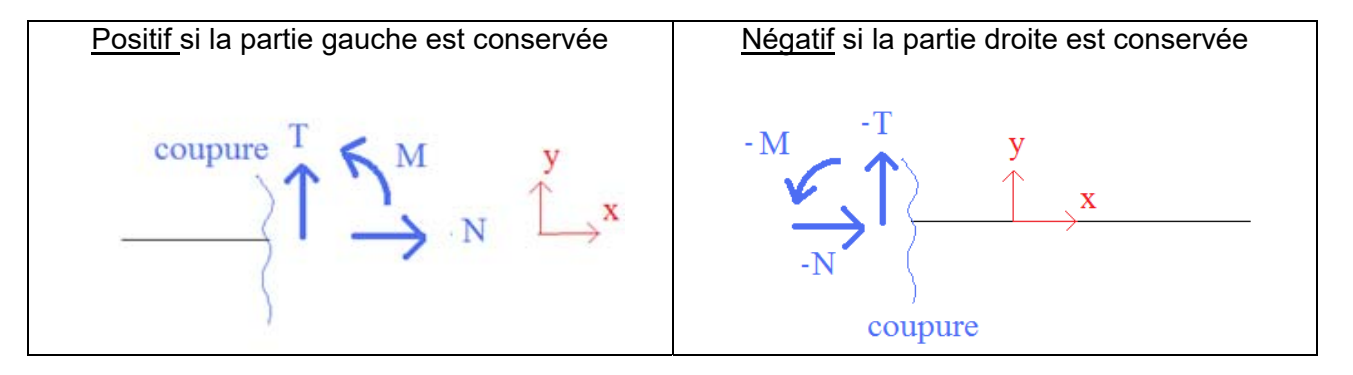
La partie droite d'une coupure est constituée des sections d'abscisses supérieures à l'abscisse de la coupure.

Exemple:

Page 15/197

## 1.2.2 Méthodes : dessiner les torseurs en fonction du choix de conserver la partie droite ou la partie gauche

Il convient de dessiner les vecteurs avec le même sens que le repère local puis d'écrire le torseur N, T (ou V) et M avec un signe :



Pour se souvenir du sens de la flèche courbe représentant le moment

La flèche courbe « *part »* du vecteur x en direction du vecteur y.

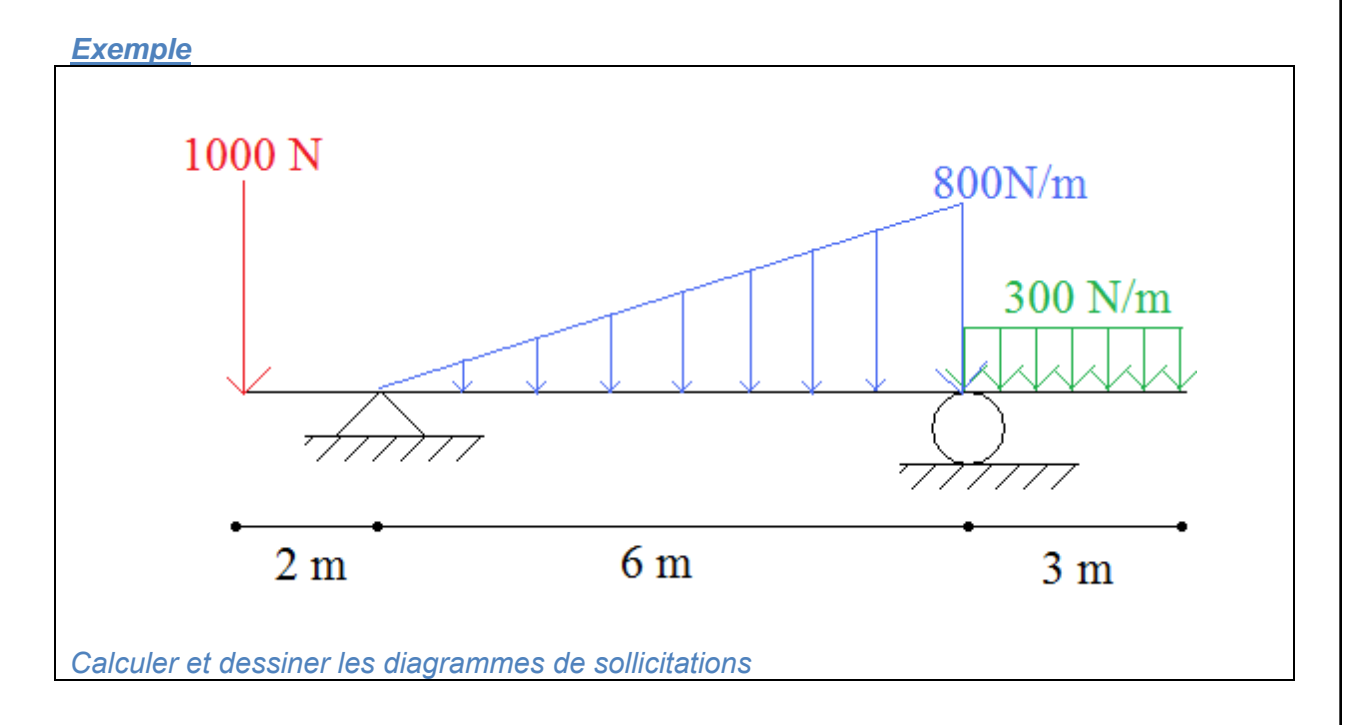
Boris TEDOLDI
RDM - FNTPF 2ème année

Page 16/197

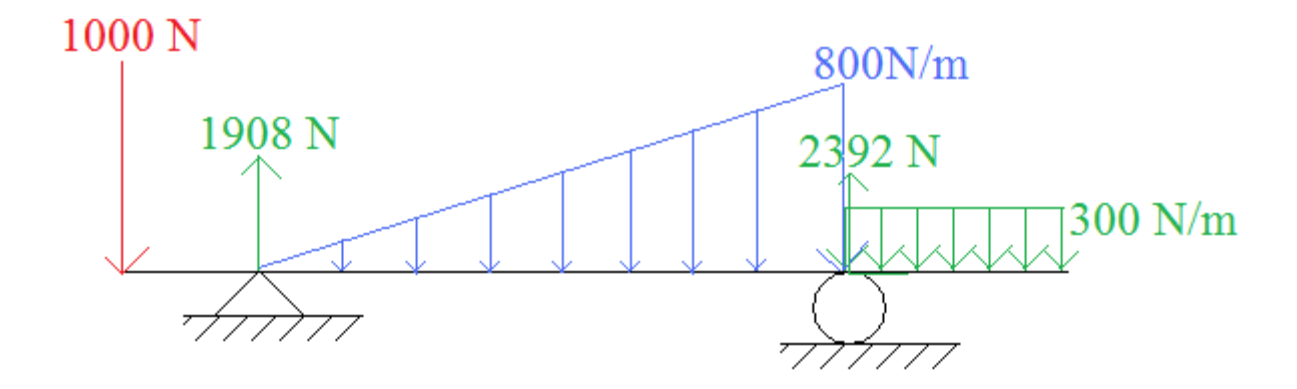
## 1.2.3 Logigramme

<u>Travail préalable</u>: déterminer les réactions d'appuis.

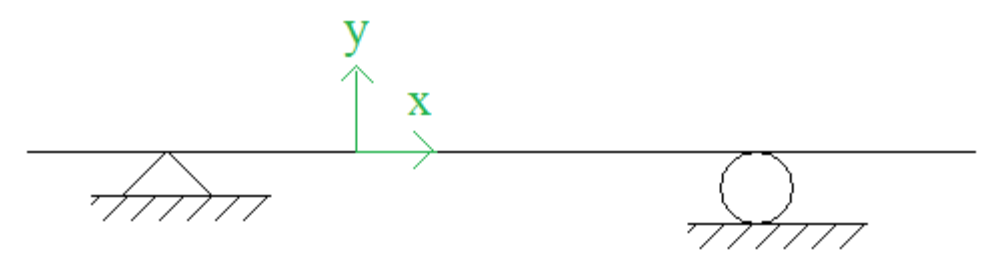
Remarque : cette étape peut être évitée uniquement dans le cas où le diagramme de sollicitation est souhaité pour une barre d'extrémité libre puisqu'il suffit de conserver après coupure la partie de structure ne comprenant pas d'appuis.



Le travail préalable, qui consiste à déterminer les réactions d'appuis, a été effectué à l'exemple du chapitre précédent et n'est pas rappelé *ici* :



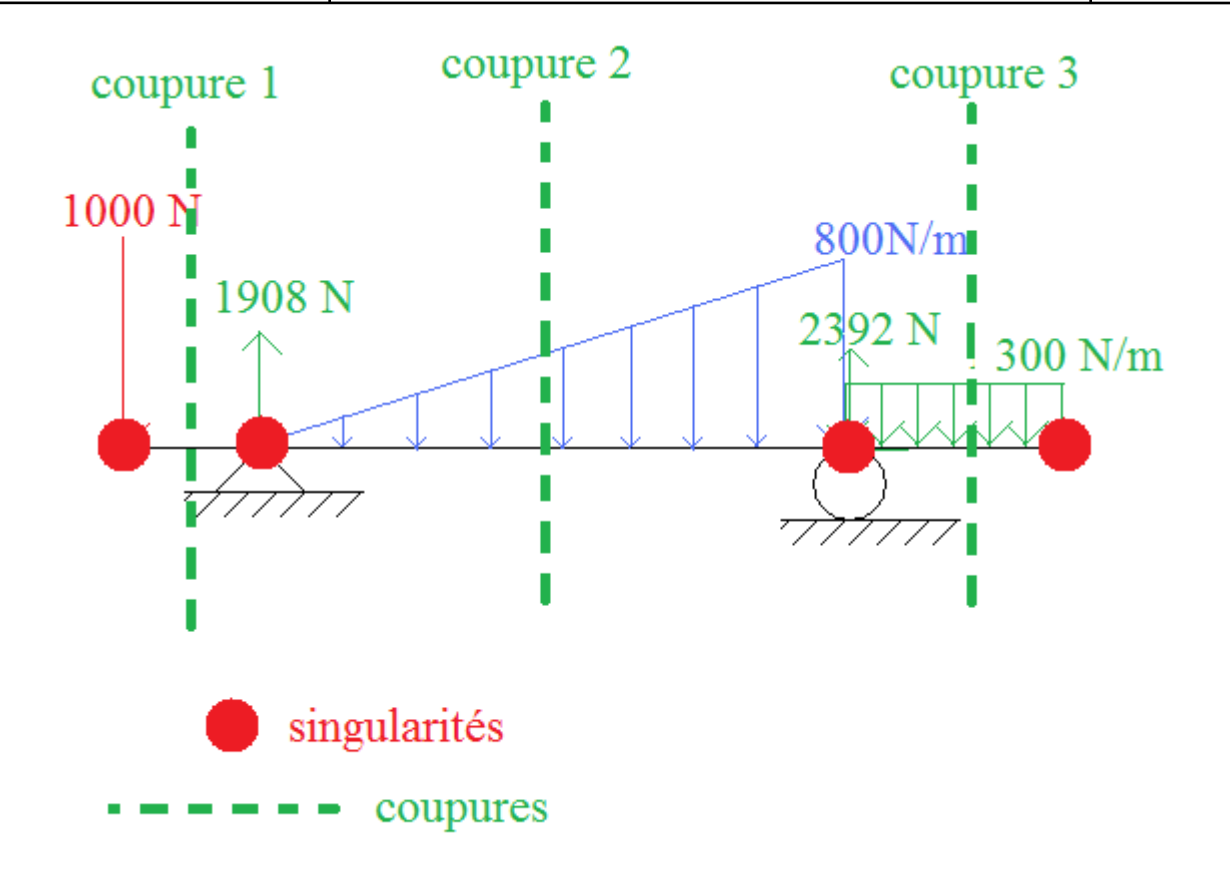
Mettre en place un repère local sur chaque poutre de la structure



Effectuer une coupure entre chaque singularité

3 coupures sont ainsi à réaliser.

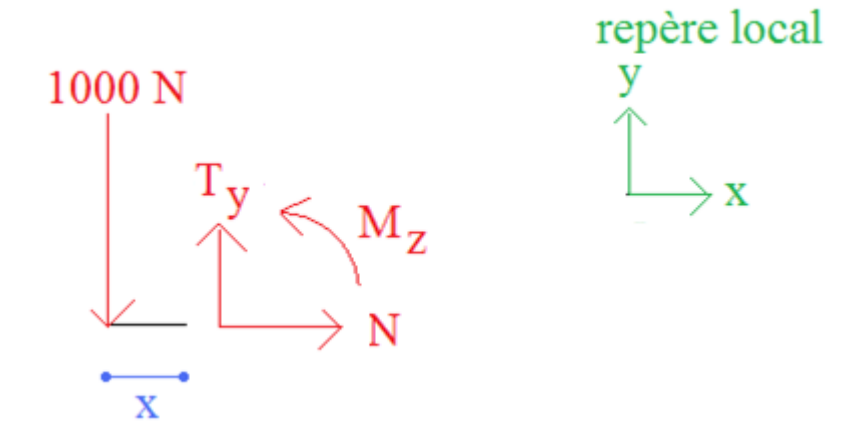
Page 18/197



Coupure 1 (tronçon à gauche de l'appui simple)

## Conserver la partie droite ou la partie gauche et dessiner le torseur

La partie gauche est conservée. La section considérée se situe à « x mètres » de l'extrémité gauche :





Page 19/197

Remplacer toutes les forces réparties de la partie de structure conservée par une force ponctuelle globalement équivalente

Etape inutile puisqu'il n'y a pas de force répartie

### Ecrire les équations d'équilibre du système

Somme des forces horizontales nulle :

$$-N=0$$

Somme des forces verticale nulle :

$$-1000 + T_{y} = 0 \iff T_{y} = 1000$$

Moment au niveau de la coupure nul :

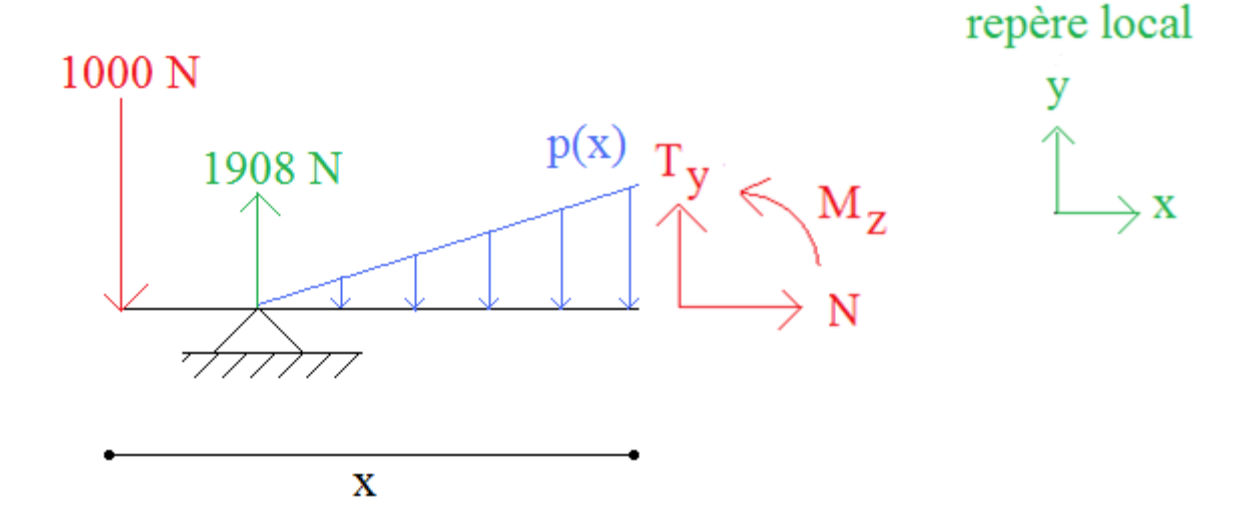
$$1000 \cdot x + M_z = 0 \iff M_z = -1000 \cdot x$$

Remarque : pour la coupure 1, il est à noter que les réactions d'appuis étaient inutiles à connaître.

Coupure 2 (tronçon entre les appuis simple et rotule)

#### Conserver la partie droite ou la partie gauche et dessiner le torseur

La partie gauche est conservée. La section considérée se situe à « x mètres » de l'extrémité gauche :



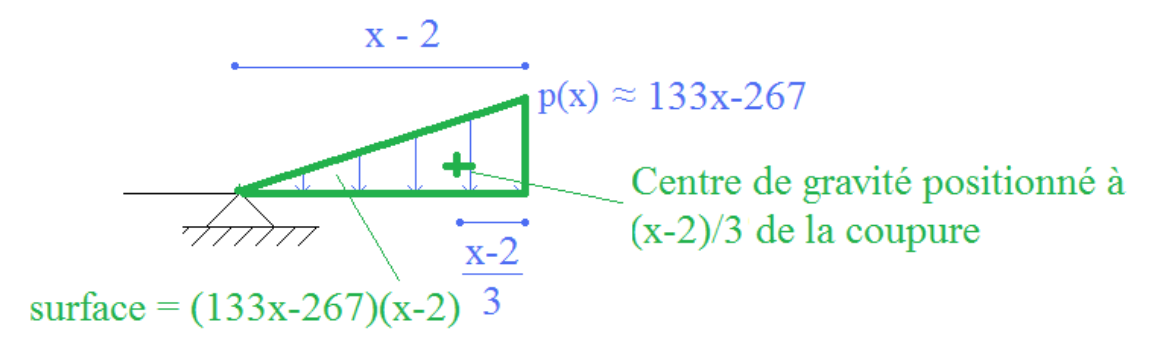
Remplacer toutes les forces réparties de la partie de structure conservée par une force ponctuelle globalement équivalente

Pour déterminer la force répartie équivalente, il convient de connaître p(x).

p(x) est une fonction affine de la forme a.x+b

avec: 
$$\begin{cases} p(x = 2 m) = 0 \\ p(x = 8 m) = 800 \end{cases} \Leftrightarrow \begin{cases} 2a + b = 0 \\ 8a + b = 800 \end{cases} \Leftrightarrow p(x) \approx 133x - 267$$

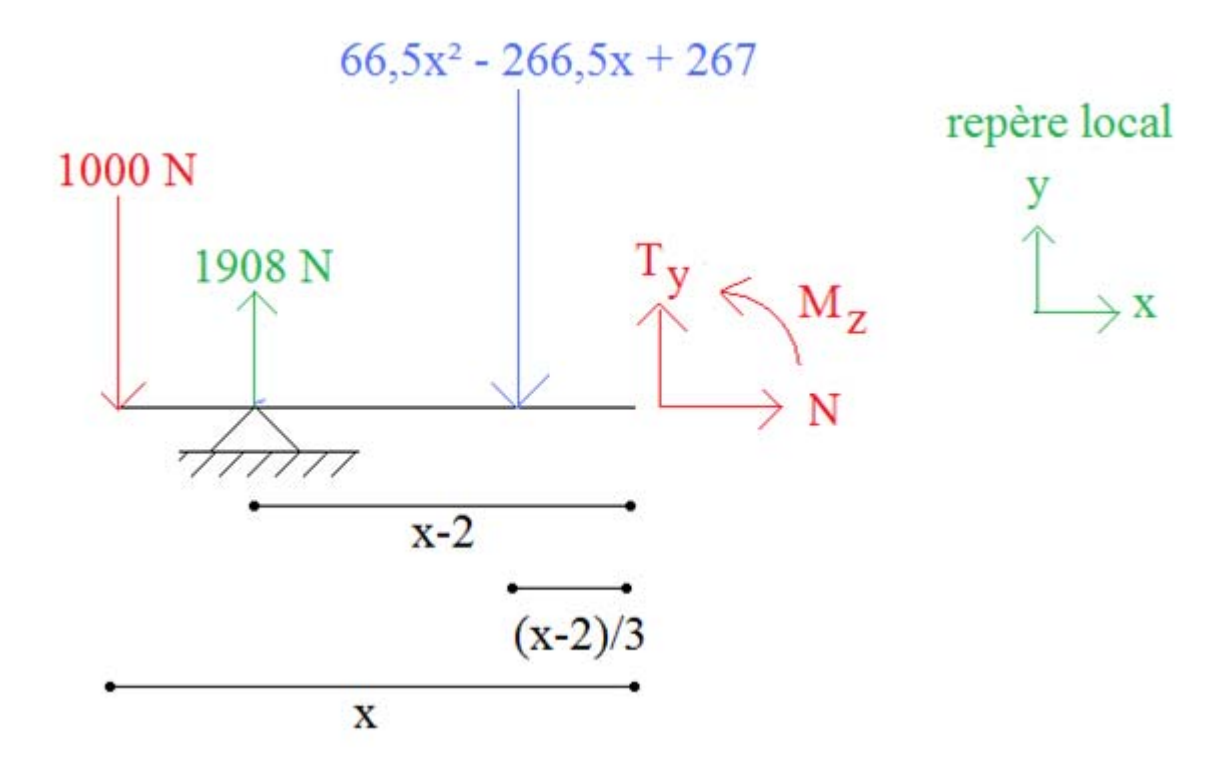
En isolant la force répartie triangulaire :



La charge triangulaire est répartie sur une longueur de (x-2) mètres donc la force équivalente vaut :

$$(133x - 267) \cdot \frac{x - 2}{2} = 66,5 \cdot x^2 - 265,5 \cdot x + 267$$

La position de la force ponctuelle globalement équivalente se situe au niveau du centre de gravité du triangle, donc à  $\frac{2}{3} \cdot (x-2)$  à droite de l'appui simple (ou à  $\frac{1}{3} \cdot (x-2)$  à gauche de la coupure)



Ecrire les équations d'équilibre du système

Somme des forces horizontales nulle :



Page 21/197

Somme des forces verticale nulle :

$$-1000 + 1908 - 66,5 \cdot x^2 + 265,5 \cdot x - 267 + T_y = 0 \iff T_y = 66,5 \cdot x^2 - 265,5 \cdot x - 641$$

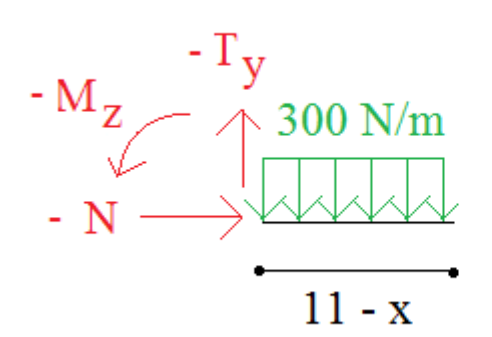
Moment au niveau de la coupure nul :

$$1000 \cdot x - 1908 \cdot (x - 2) + (66.5 \cdot x^2 - 265.5 \cdot x + 267) \cdot \frac{x - 2}{3} + M_z = 0$$
  
$$\Leftrightarrow M_z \approx -22.2 \cdot x^3 + 132.8 \cdot x^2 + 642 \cdot x - 3638$$

Coupure 3 (tronçon à droite de l'appui rotule)

## Conserver la partie droite ou la partie gauche et dessiner le torseur

La partie droite est conservée. La section considérée se situe à « x mètres » de l'extrémité gauche. C'est-à-dire à « 11 - x mètres » de l'extrémité droite :



## repère local

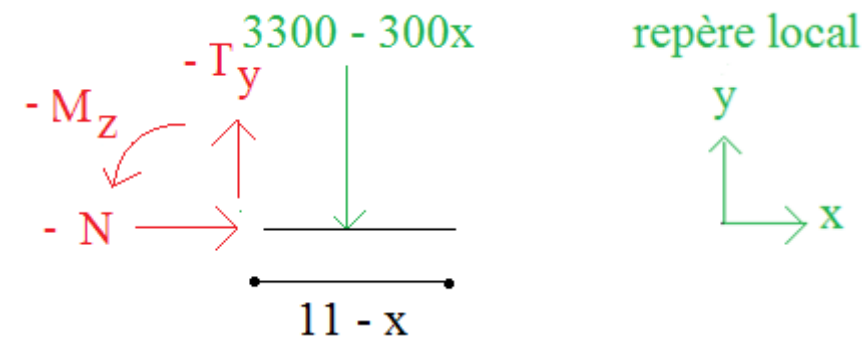


Remplacer toutes les forces réparties de la partie de structure conservée par une force ponctuelle globalement équivalente

La charge rectangulaire est répartie sur une longueur de (11-x) m donc la force équivalente vaut :

$$300 \cdot (11 - x) = 3300 - 300 \cdot x$$

La position de la force ponctuelle globalement équivalente se situe au niveau du centre de gravité du rectangle, donc à  $\frac{11-x}{2}=5.5-0.5\cdot x$  à droite de la coupure.



Ecrire les équations d'équilibre du système

Somme des forces horizontales nulle :  $-N = 0 \Leftrightarrow N = 0$ 



Page 22/197

Somme des forces verticale nulle :

$$-3300 + 300x - T_y = 0 \Leftrightarrow T_y = 300x - 3300$$

Moment au niveau de la coupure nul :

$$-(3300 - 300x) \times (5.5 - 0.5x) - M_z = 0 \iff M_z = -150x^2 + 3300x - 18150$$

Remarque : pour la coupure 3, il est à noter que les réactions d'appuis étaient inutiles à connaître.

#### Vérification

Cette étape est facultative mais est conseillée.

#### Tronçon 1:

$$T_y = 1000$$
$$M_z = -1000.x$$

$$\frac{dM_z}{dx} = -T_y$$
 est vérifié.

## Tronçon 2:

$$T_y = 66.5x^2 - 265.5x - 641$$
  
 $\Leftrightarrow M_z \approx -22.2x^3 + 132.8x^2 + 642x - 3638$ 

$$\frac{dM_z}{dx} = -T_y$$
 est vérifié.

## Tronçon 3:

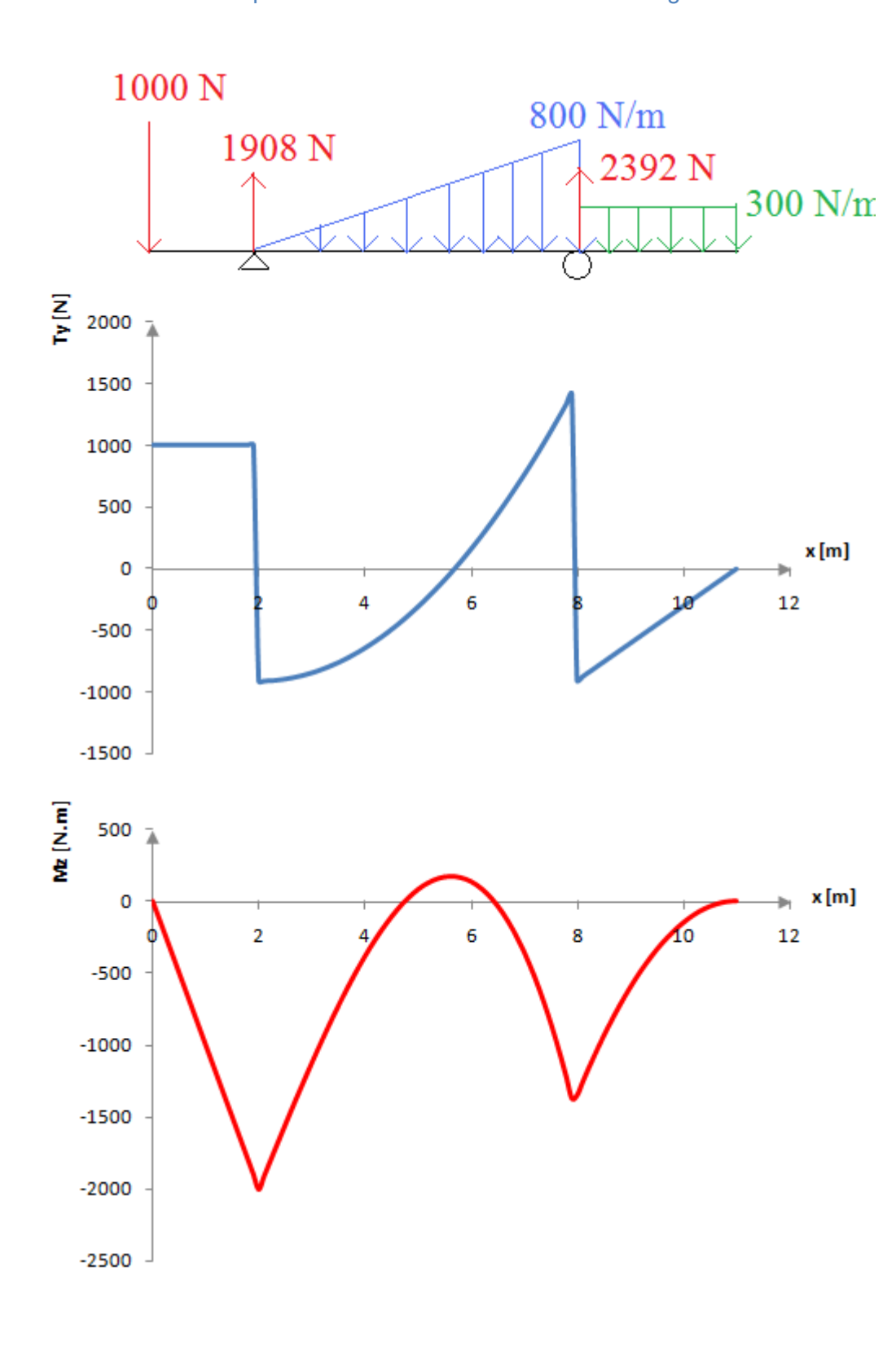
$$T_y = 300x - 3300$$
$$M_z = -150x^2 + 3300x - 18150$$

$$\frac{dM_z}{dx} = -T_y$$
 est vérifié.

$$\frac{dT_y}{dx} = p = 300N/m$$
 est vérifié.

## Tracer les diagrammes de sollicitations

L'effort normal est nul en tout point. Il est donc inutile de tracer ce diagramme.



## 1.3 Tracé direct des diagrammes de sollicitations

#### 1.3.1 Relations à connaître

Dans le cas de poutres droites et dans des problèmes plans.

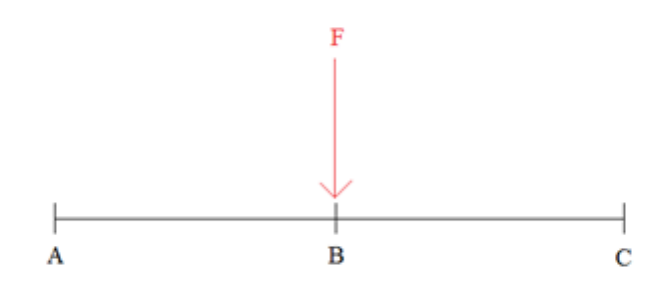
$$\begin{cases} \frac{dV}{dx} = p \\ \frac{dM}{dx} = -V \end{cases}$$

$$M(x_1) = M(x_1) - \int_{x_1}^{x_2} V(x) dx$$

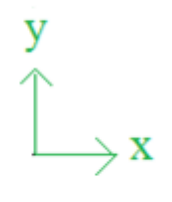


ces relations sont valables pour des poutres droites. Pour des poutres courbes, ces relations ne sont plus correctes car il serait nécessaire d'utiliser d'autres types de repérage (par exemple : coordonnées polaires pour une poutre de fibre moyenne circulaire).

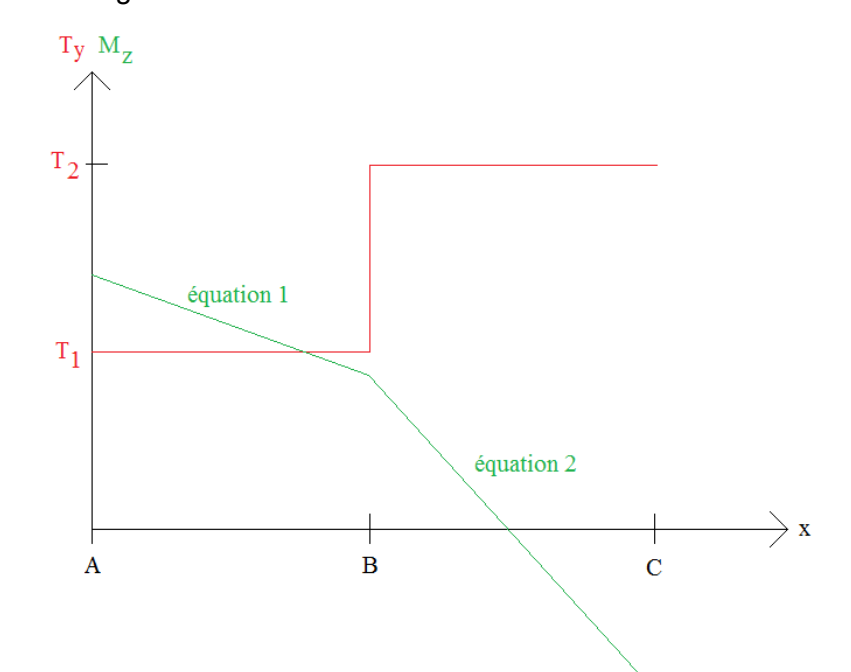
## 1.3.2 Effet d'une force ponctuelle (selon la direction contraire de y)



## repère local



Les diagrammes d'effort tranchant et de moment fléchissant sont :



## <u>Points remarquables au niveau</u> <u>du point B</u>:

Saut d'effort tranchant égal à F, c'est-à-dire que :  $T_2 - T_1 = F$ 

L'équation 1 est de la forme :

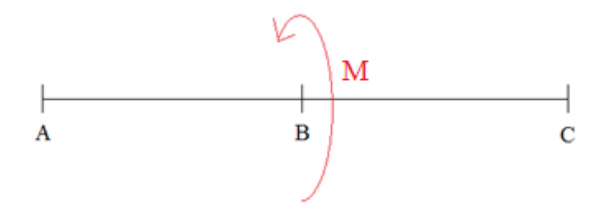
$$M_z(x) = -T_1 \times x + a$$

L'équation 2 est de la forme :

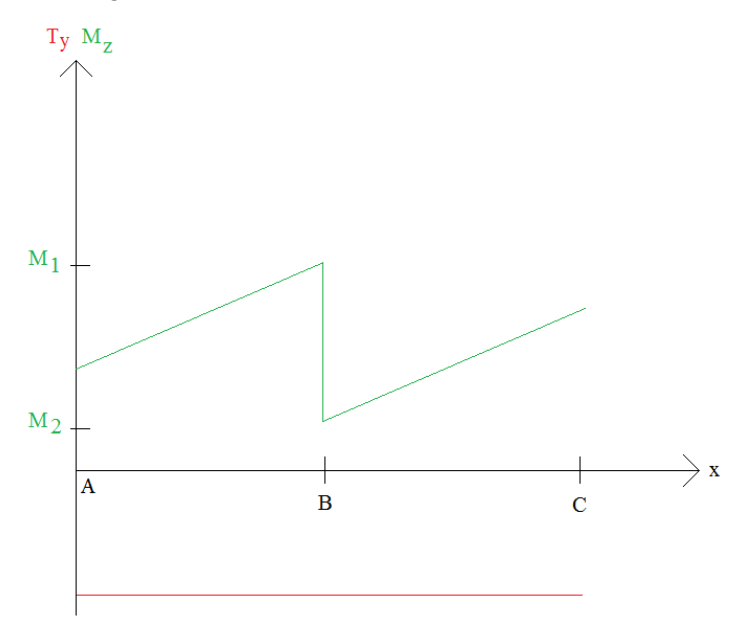
$$M_z(x) = -T_2 \times x + b$$

La différence de pente entre la partie 1 et la partie 2 est :  $T_1 - T_2 = -F$ 

## 1.3.3 Effet d'un moment ponctuel autour de z



Les diagrammes d'effort tranchant et de moment fléchissant sont :



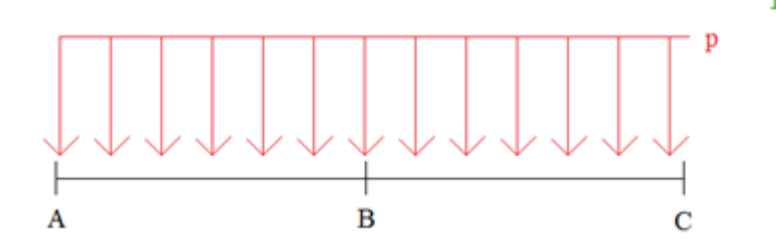
Points remarquables au niveau du point  $\underline{B}$ :

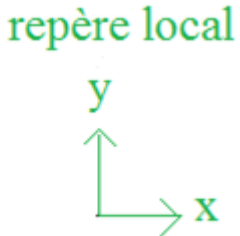
Aucun effet sur l'effort tranchant

Aucun effet sur la pente à droite ou à gauche du diagramme du moment fléchissant

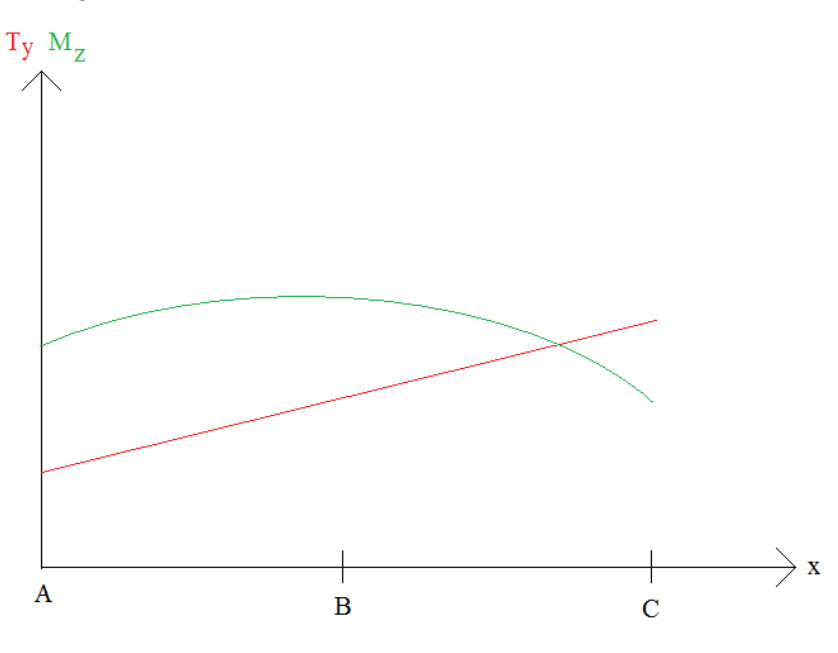
Saut de moment fléchissant égal à -M, c'est-à-dire que :  $M_2-M_1=-M$ 

## 1.4.1 Effet d'une charge répartie (selon la direction contraire de y)





Les diagrammes d'effort tranchant et de moment fléchissant sont :



## Points remarquables

La pente du diagramme de l'effort tranchant est égale à p, c'est-à-dire que son équation est de la forme :

$$T_{v}(x) = p \times x + a$$

Le diagramme du moment fléchissant est une parabole de la forme :

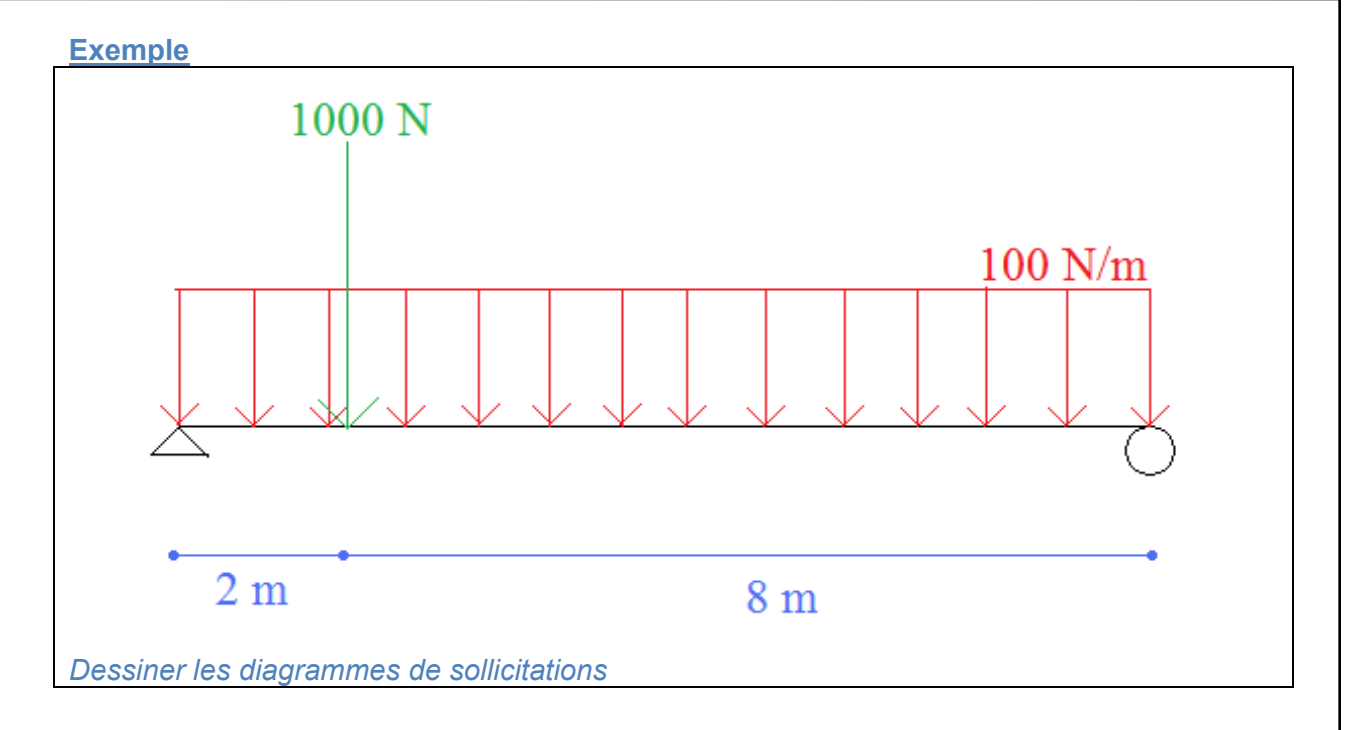
$$M_z(x) = -\frac{p \times x^2}{2} - a \times x + b$$

Boris TEDOLDI
RDM - ENTPE 2ème année

Page 27/197

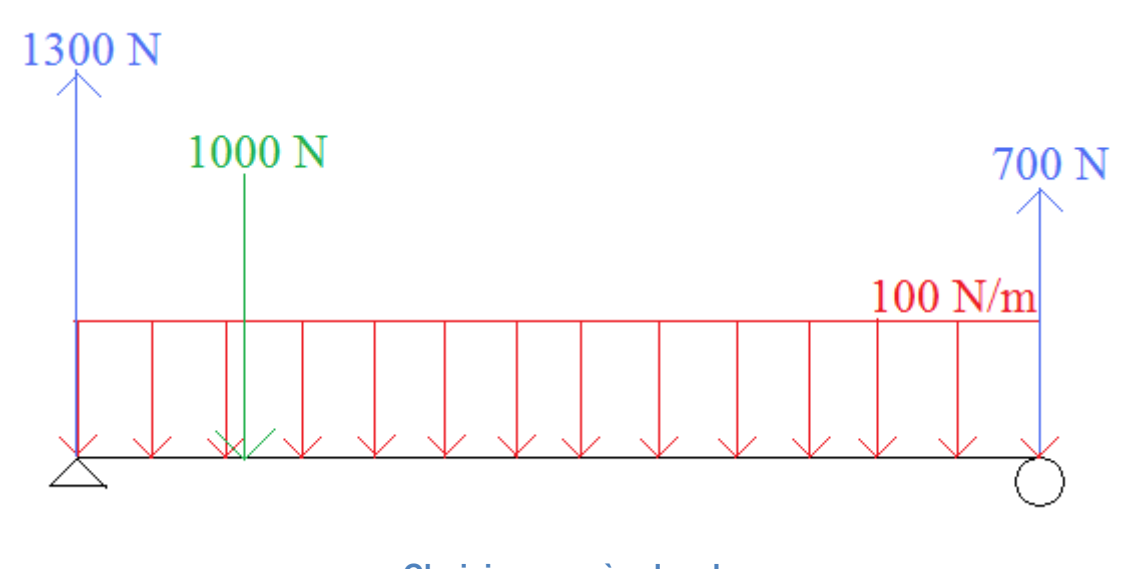
4	4.2	R/I	á٤١	ha	de
1.	.4.Z	IVI	et	ทด	ae

<u>Travail préalable</u> : déterminer les réactions d'appuis.

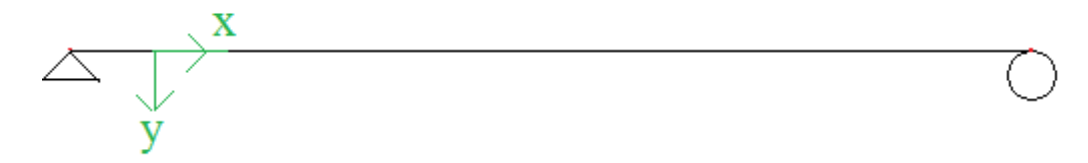


## **Solution**

Le travail préalable, qui consiste à déterminer les réactions d'appuis (non l'objet de ce chapitre) donne le résultat suivant :



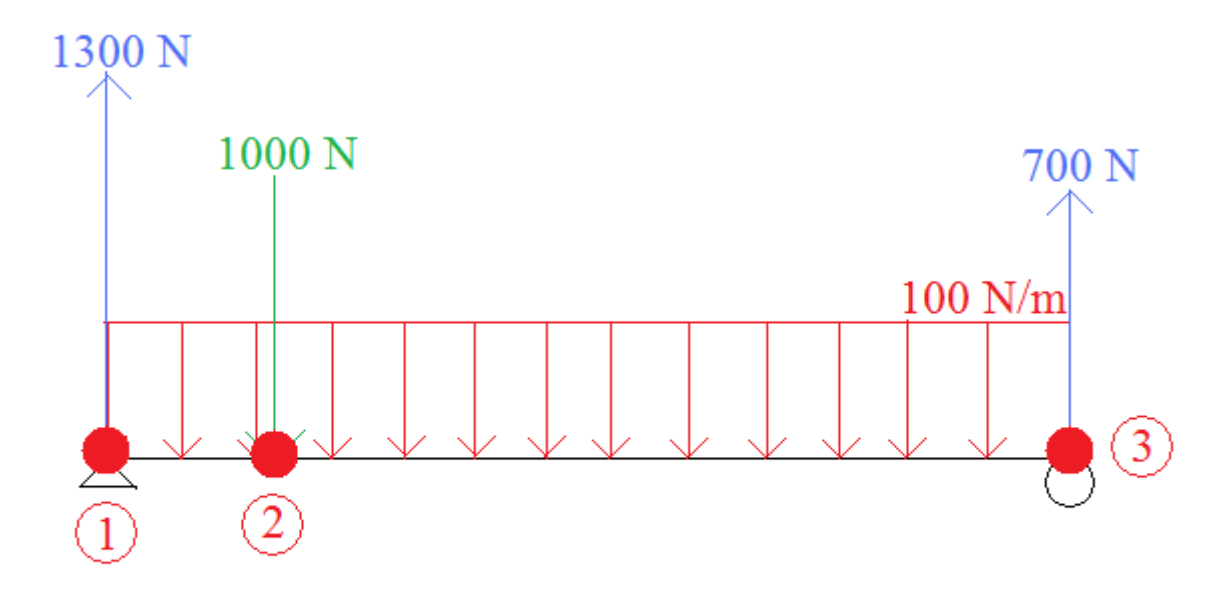
Choisir un repère local





Page 29/197

Balayer la structure des x les plus petits aux plus grands et trouver toutes les singularités



## singularité

#### Déterminer l'effort tranchant du point le plus à gauche

En dehors de la structure, il est considéré (artificiellement) que l'effort tranchant est nul.

Ainsi, infiniment proche à droite du point le plus à gauche (qui correspond donc à la singularité 1), on a une force ponctuelle égale à 1300 N (le signe est fonction du repère local choisi). Donc l'effort tranchant subit un saut de -1300 N donc vaut 0-1300N = -1300 N.

## Déterminer pour chaque tronçon entre singularité et au niveau de chaque singularité l'effet du chargement sur l'effort tranchant

## Tronçon entre les singularités 1 et 2 :

Il existe un chargement réparti égal à -100N/m donc l'effort tranchant est une droite de pente 100N/m.

Infiniment proche à gauche de la singularité 2, l'effort tranchant vaut :

$$T_{y,2} = T_{y,1} + 100 \frac{N}{m} \times 2 m = -1300 + 100 \times 2 = -1100 N$$

## Singularité 2 :

La singularité 2 correspond à une force ponctuelle égale à -1000 N (le signe est fonction du repère local choisi). Donc l'effort tranchant subit un saut de 1000 N donc vaut infiniment proche à droite de la singularité :

$$-1100 + 1000 = -100 N$$

Tronçon entre les singularités 2 et 3 :



Page 30/197

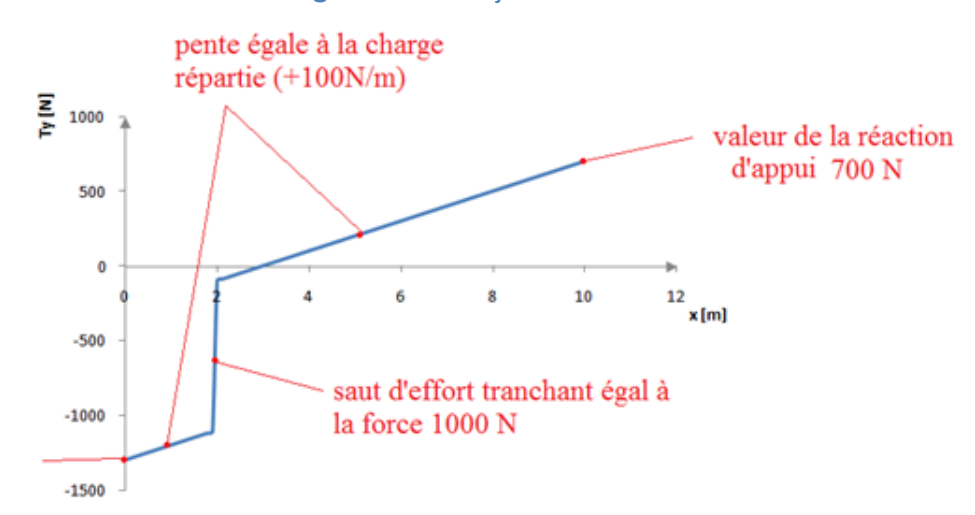
Il existe un chargement réparti égal à -100N/m donc l'effort tranchant est une droite de pente 100N/m.

Infiniment proche à gauche de la singularité 3, l'effort tranchant vaut :

$$T_{y,3} = T_{y,2} + 100 \frac{N}{m} \times 8 m = -100 + 100 \times 8 = 700 N$$

Remarque : la valeur de droite correspond à la réaction d'appuis à droite. Cela signifie que les résultats trouvés sont a priori corrects (sauf si plusieurs erreurs se compensent parfaitement dans l'enchainement du calcul...).

### Tracer le diagramme de T<sub>v</sub>



opposé de la valeur de la réaction d'appui -1300 N

### Noter les points pour lesquels l'effort tranchant s'annule

L'effort tranchant s'annule pour x = 3 m

#### Tracer de gauche à droite le diagramme de Mz

### Singularité 1

Au niveau de la singularité 1, le moment est nul (appui simple en extrémité de structure).

## Tronçon entre les singularités 1 et 2

L'effort tranchant est représenté par une droite, donc le moment est représenté par une parabole.

$$M_2 = M_1 - \int_1^2 T$$

 $\int_{1}^{2} T$  est la surface de la courbe entre les singularités 1 et 2 et vaut donc :

$$\frac{-1300 - 1100}{2} \times 2 = -2400 \, N. \, m$$

Page 31/197

Ainsi:

$$M_2 = 0 - (-2400) = 2400 N.m$$

## Singularité 2 :

La singularité 2 correspond à une force ponctuelle égale à +1000 N. Donc le moment fléchissant subit un saut de pente égal -1000 N/m

Point pour lequel l'effort tranchant s'annule :

Le moment possède une asymptote horizontale au niveau de ce point et vaut :

$$M_{x=3m} = M_{x=2m} - \int_{x=2m}^{x=3m} T$$

 $\int_{x=2m}^{x=3m} T$  est la surface de la courbe entre les singularités les abscisses égales à 2m et 3m donc :

$$\frac{-100+0}{2} \times 1 = -50 \ N.m$$

Ainsi:

$$M_{x=3m} = M_{x=2m} - \int_{x=2m}^{x=3m} T = 2400 - (-50) = 2450 \text{ N.m}$$

#### Tronçon entre les singularités 2 et 3 :

L'effort tranchant est représenté par une droite, donc le moment est représenté par une parabole.

$$M_3 = M_{x=3m} - \int_{x=3m}^3 T$$

 $\int_{x=3m}^3 T$  est la surface de la courbe entre le point annulant l'effort tranchant et la singularité 3 et vaut donc :

$$\frac{0+700}{2} \times 7 = 2450 \ N.m$$

Ainsi:

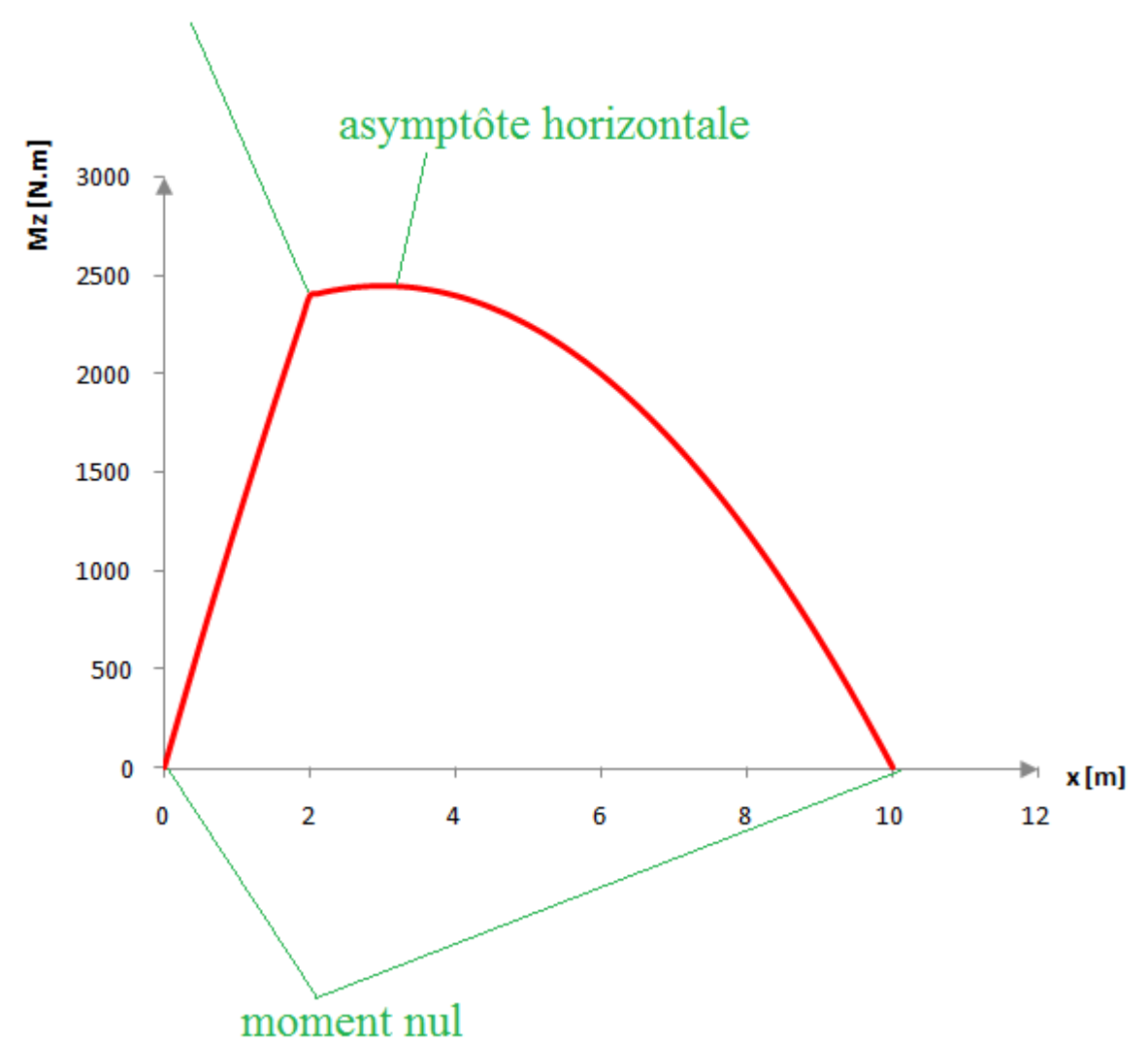
$$M_3 = 2450 - 2450 = 0 N.m$$

Remarque : la valeur de droite est nulle et correspond à la réaction d'appuis à droite (car appui rotule en extrémité). Cela signifie que les résultats trouvés sont corrects (sauf si plusieurs erreurs se compensent parfaitement dans l'enchainement du calcul...).



Page 32/197

rupture de pente égale à -1000 N/m





Page 33/197

### 1.5 Degré d'hyperstaticité - iso/hyperstaticité

#### 1.5.1 Définitions et calculs

#### Définition de l'isostaticité

L'équilibre isostatique est atteint si tout mouvement du solide est impossible et si le nombre d'inconnues de liaison appliquées à ce solide est égal au nombre d'équations.

Remarque: dans le plan, cela donne 3 équations et 3 inconnues.

## Définition de l'hypostaticité

S'il reste une seule possibilité de mouvement et/ou si le nombre d'inconnues est inférieur au nombre d'équations, alors l'équilibre est dit "hypostatique".

On l'appelle aussi mécanisme. En fait, cela se traduit par une absence d'équilibre car le système peut bouger.

## Définition de l'hyperstaticité

S'il n'y a aucune possibilité de mouvement et que le nombre d'inconnues est strictement supérieur au nombre d'équations, l'équilibre est dit "hyperstatique

<u>Remarque</u> : la très grande majorité des structures en génie civil sont hyperstatiques afin d'être dans le sens de la sécurité.

## Définition du degré d'hyperstaticité

Le **degré d'hyperstaticité** est la différence entre le nombre d'inconnues et le nombre d'équations.

#### Calcul du nombre d'équations

S'il y a **n** solides dans le système matériel, puisqu'il existe **3** équations d'équilibre par solide, on obtient **3.n équations** au total.

#### Calcul du nombre d'inconnues

On calcule ensuite le nombre d'inconnues de liaisons qui existent entre deux solides du système matériel :

- 1 inconnue pour un appui simple,
- 2 inconnues pour une articulation entre deux solides,
- 3 inconnues pour un encastrement entre deux solides.

Remarque: si la liaison est entre m solides, on compte alors (m-1) liaisons.

#### Exemple:

Pour une articulation entre 3 solides, il y a 2 liaisons à 2 inconnues, ce qui donne 4 inconnues.

Pour un encastrement entre 5 solides, il y a 4 liaisons à 3 inconnues, ce qui donne 12 inconnues.



Page 34/197

## Calcul du degré d'hyperstaticité

Avec:

1 est le nombre d'inconnue pour un appui simple.

2 est le nombre d'inconnues pour une articulation.

3 est le nombre d'inconnues pour un encastrement.

L<sub>1</sub> est le nombre d'appuis simples.

L<sub>2</sub> est le nombre d'articulations.

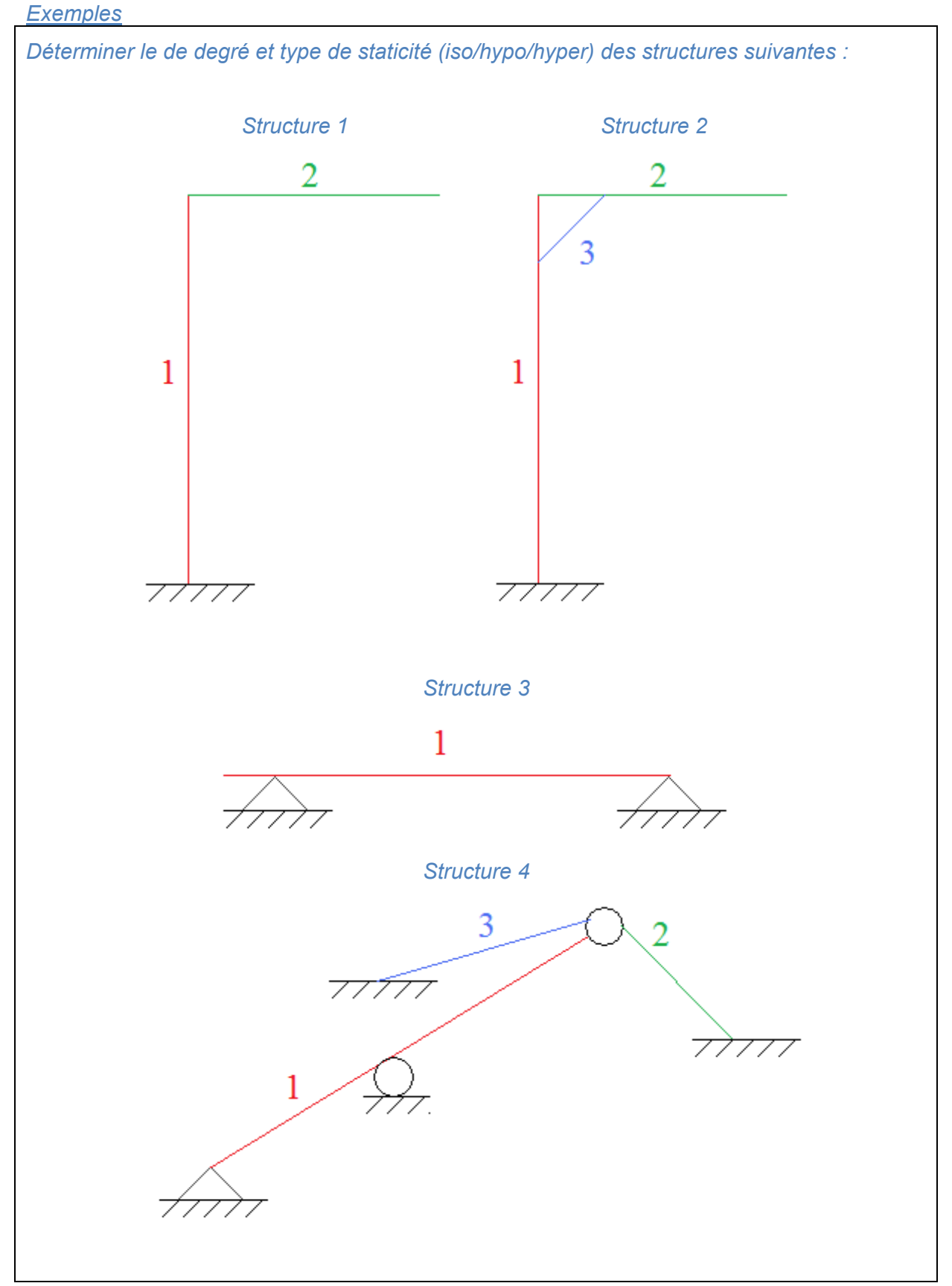
 $L_{3}^{-}$  est le nombre d'encastrements.

n est le nombre de solides.

## Corolaire

Conditions	<u>Situation</u>
d = 0	
<u>ET</u>	Le système est isostatique
pas de mouvement possible entre solides	
d > 0	
<u>ET</u>	Le système est hyperstatique
pas de mouvement possible entre solides	
d < 0	
<u>ou</u>	Le système est hypostatique.
mouvement possible entre solides	

Boris TEDOLDI RDM - ENTPE 2 <sup>ème</sup> année	Calcul Structure Bâtiment http://www.csb.bet	Page 35/197
1.5.2 Méthode		





Page 37/197

# **Solution**

Structure 1

# Calcul du nombre d'équations

2 solides  $\rightarrow$  2x3=6 équations

### Calcul du nombre d'inconnues

Type	Eléments concernés	Nombre associé d'inconnues
Encastrement	Extérieur et 1	3
Encastrement	1 et 2	3

Le nombre total d'inconnues est 6

Calcul du degré d'hyperstaticité

6 - 6 = 0

# Analyse cinématique

Pas de mouvement possible.

#### Conclusion

Le système est isostatique.

Structure 2

# Calcul du nombre d'équations

3 solides  $\rightarrow$  3x3=9 équations

#### Calcul du nombre d'inconnues

Туре	Eléments concernés	Nombre associé d'inconnues
Encastrement	Extérieur et 1	3
Encastrement	1 et 2	3
Encastrement	2 et 3	3
Encastrement	1 et 3	3

Le nombre total d'inconnues est 12

Calcul du degré d'hyperstaticité



Page 38/197

12 - 9 = 3

# Analyse cinématique

Pas de mouvement possible.

#### Conclusion

Le système est hyperstatique de degré 3.

Structure 3

# Calcul du nombre d'équations

1 solide  $\rightarrow$  1x3=3 équations

#### Calcul du nombre d'inconnues

Type	Eléments concernés	Nombre associé	
		d'inconnues	
Appui simple	Extérieur et 1	1	
Appui simple	Extérieur et 1	1	

Le nombre total d'inconnues est 2

# Calcul du degré d'hyperstaticité

2 - 3 = -1

# **Analyse cinématique**

Inutile de faire l'analyse puisque le degré d'hyperstaticité est négatif donc il existe forcément un mouvement possible (dans ce cas, il s'agit d'un mouvement horizontal).

### Conclusion

Le système est hypostatique de degré 1.



Page 39/197

# Structure 4

# Calcul du nombre d'équations

3 solides  $\rightarrow$  3x3=9 équations

# Calcul du nombre d'inconnues

Туре	Eléments concernés	Nombre associé	
		d'inconnues	
Rotule	1, 2 et 3	2x2 = 4	
Rotule	1 et extérieur	2	
Appui simple	1 et extérieur	1	
Encastrement	2 et extérieur	3	
Encastrement	3 et extérieur	3	

Le nombre total d'inconnues est 13

# Calcul du degré d'hyperstaticité

13 - 9 = 4

# **Analyse cinématique**

Pas de mouvement possible.

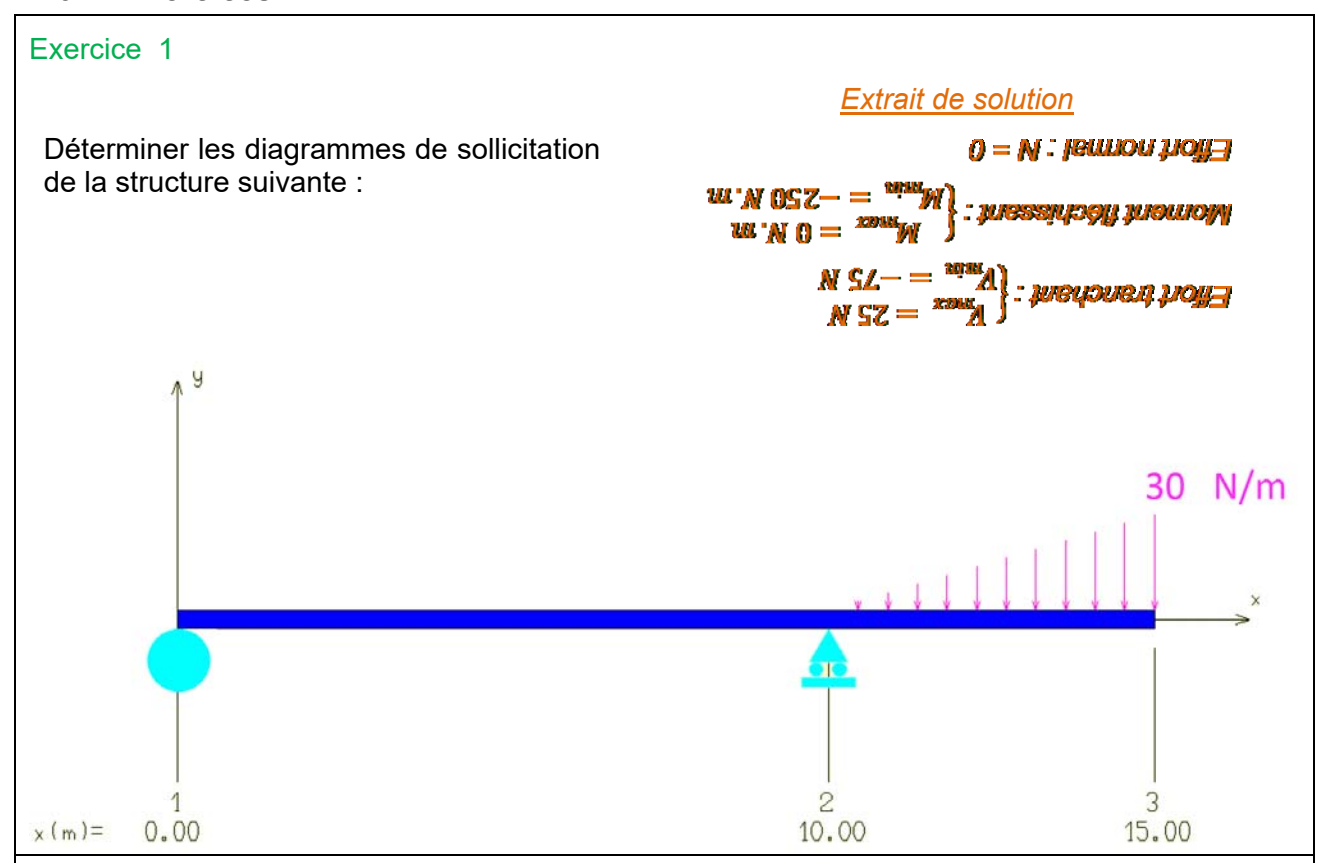
# Conclusion

Le système est hyperstatique de degré 4.



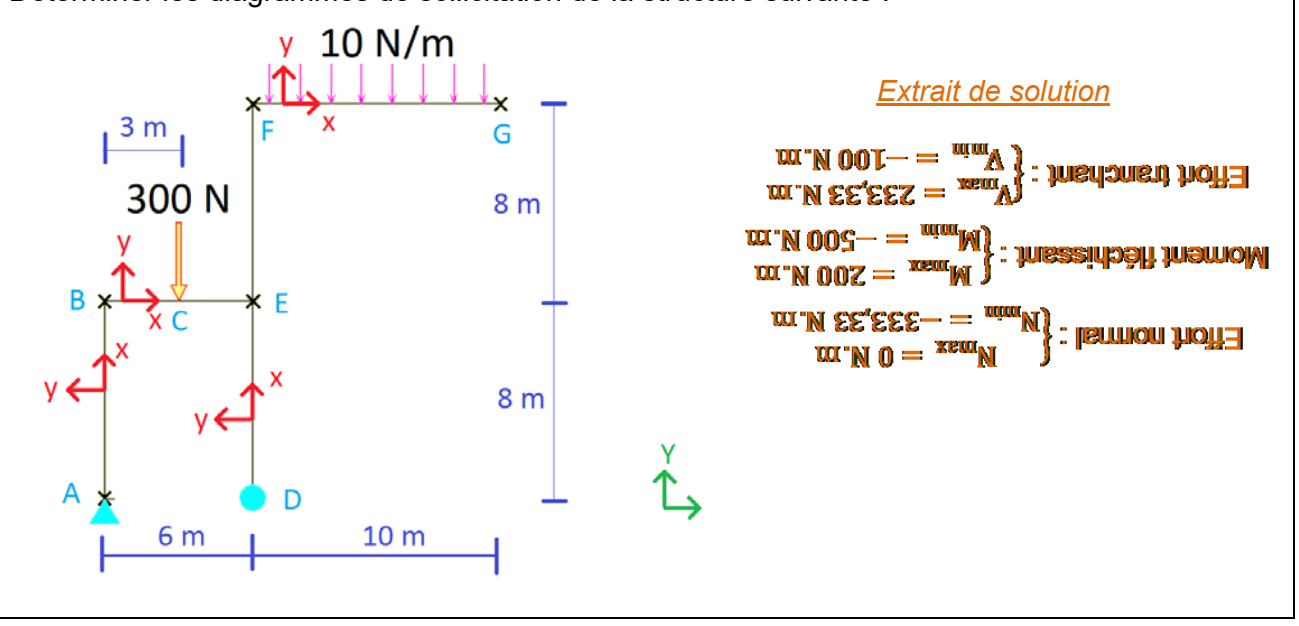
Page 40/197

#### 1.6 Exercices



#### Exercice 2

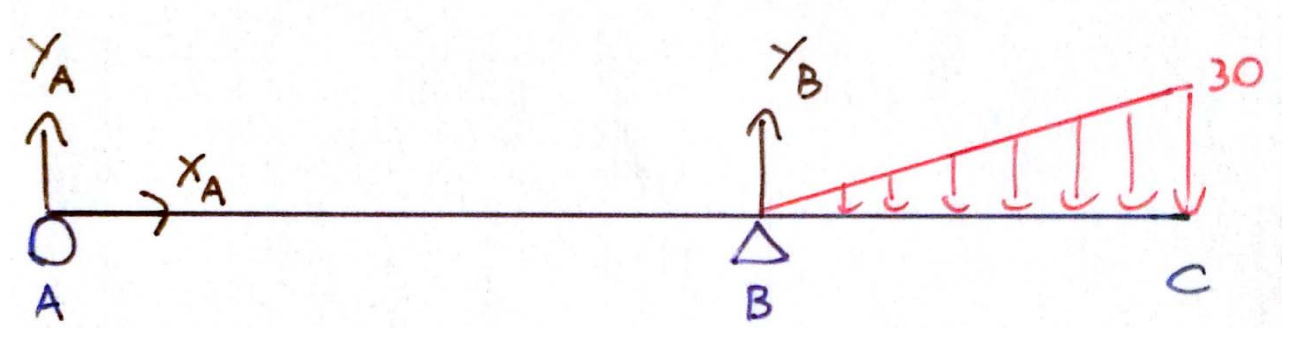
Déterminer les diagrammes de sollicitation de la structure suivante :



# 1.7 Solutions

#### 1.7.1 **Solution 1**

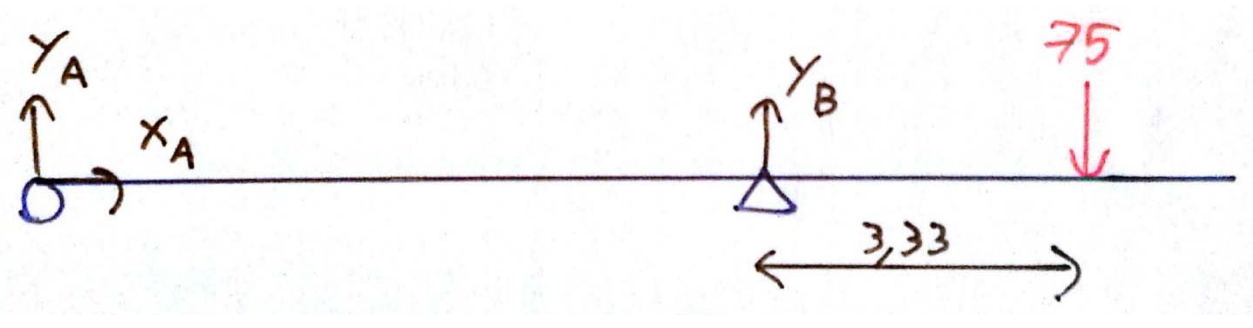
# Réactions d'appuis



• La force ponctuelle équivalente de la force répartie triangulaire est égale à :

$$\frac{30\times5}{2} = 75 N$$

Et se situe à 2/3 de la distance BC par rapport au point B :

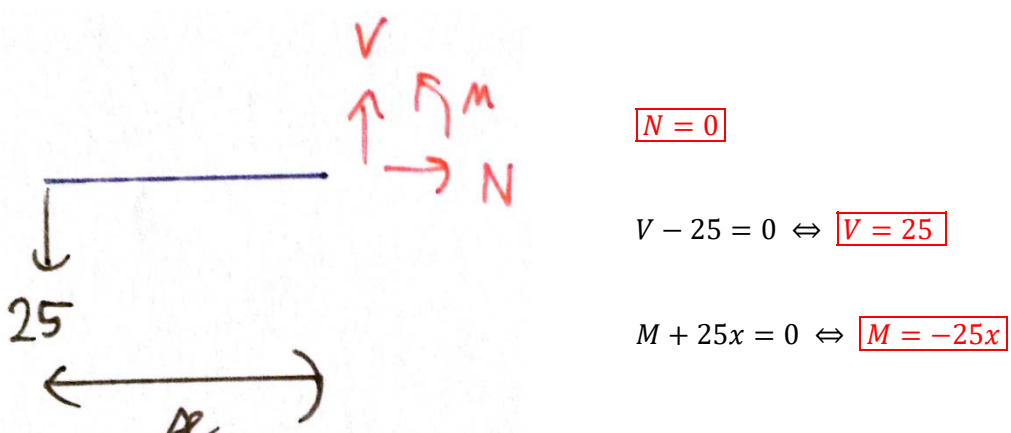


- $\sum F_x = 0 \iff \overline{X_A = 0}$
- Le moment en A est nul (A est une extrémité non encastrée) :

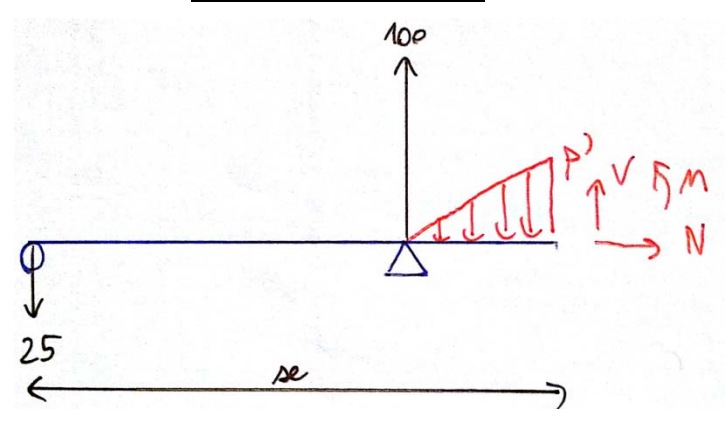
$$M_A = 0 \Leftrightarrow 10Y_B - 13{,}33 \times 75 = 0 \Leftrightarrow Y_B = 100 N$$

•  $\sum F_y = 0 \iff Y_A + Y_B - 75 = 0 \iff Y_A = -25 N$ 

# Coupure entre A et B : 0 m < x < 10 m (partie gauche conservée)



# Coupure entre B et C : 10 m < x < 15 m (partie gauche conservée)

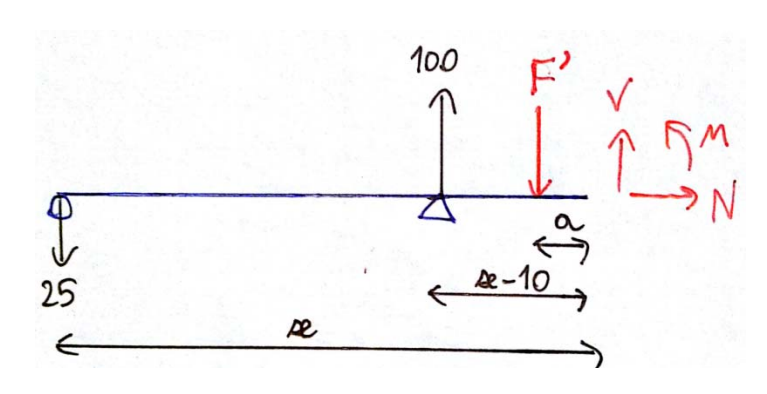


p'(x) est une fonction linéaire de la forme  $\alpha x + \beta$  telle que :

$$\begin{cases} p'(x = 10) = 0 \\ p'(= 15) = 30 \end{cases}$$

Ainsi : 
$$\begin{cases} 10\alpha + \beta = 0 \\ 15\alpha + \beta = 30 \end{cases}$$
$$\Leftrightarrow \boxed{p'(x) = 6x - 60}$$

Ce qui est statiquement équivalent à :



La distance de la force ponctuelle équivalente par rapport à la coupure est égale au 1/3 de la distance sur laquelle s'applique la force répartie triangulaire donc :

$$a = \frac{x - 10}{3}$$

La force ponctuelle équivalente vaut :

$$F' = \frac{p' \cdot (x - 10)}{2} = \boxed{3 \cdot (x - 10)^2}$$

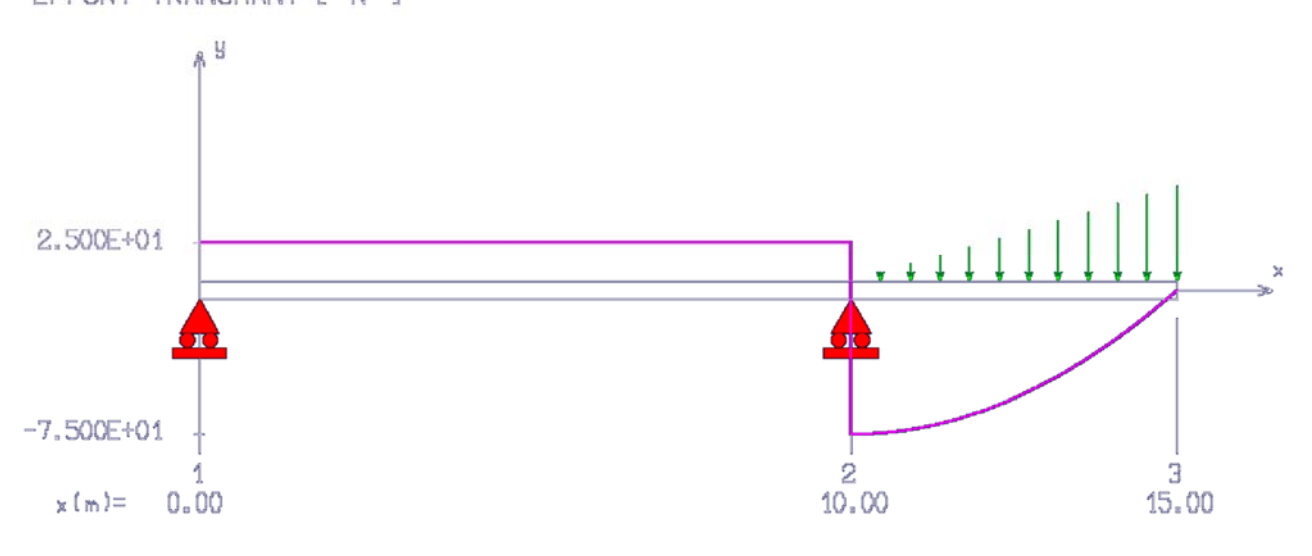
N = 0

$$V - 25 + 100 - F' = 0 \iff V = 3x^2 - 60x + 225$$

$$M + 25x - 100 \cdot (x - 10) + a \cdot F' = 0 \iff M = -x^3 + 30x^2 - 225x$$

# Diagramme de sollicitations

#### EFFORT TRANCHANT [ N ]





Page 43/197





# 1.7.2 Solution 2

# Réactions d'appuis

• La force ponctuelle équivalente à la charge répartie est égale à :

$$10 \times 10 = 100 N$$

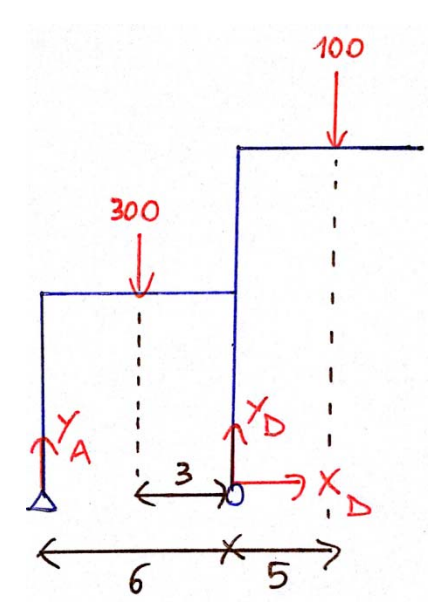
Et elle est positionnée au centre du chargement comme l'illustre le schéma cicontre

• 
$$\sum F_x = 0 \iff X_D = 0$$

• Le moment en D est nul (D est une extrémité non encastrée) :

$$M_D = 0 \Leftrightarrow 6Y_A - 300 \times 3 + 100 \times 5 = 0$$
  
 $\Leftrightarrow Y_A \approx 66,67 N$ 

• 
$$\sum F_y = 0 \Leftrightarrow Y_A + Y_D - 300 - 100 = 0$$
  
 $\Leftrightarrow Y_D \approx 333,33 \text{ N}$ 



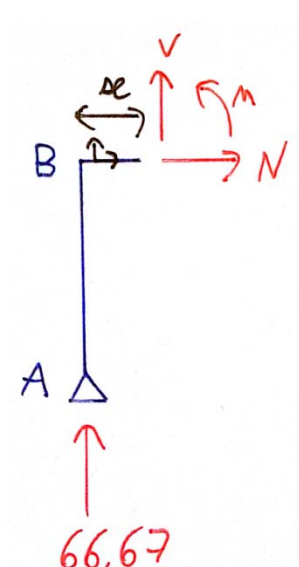
# Coupure entre A et B (partie gauche conservée)

$$N + 66,67 = 0 \iff \boxed{N \approx -66,67}$$

$$V = 0$$

$$M = C$$

# Coupure entre B et C (partie gauche conservée)

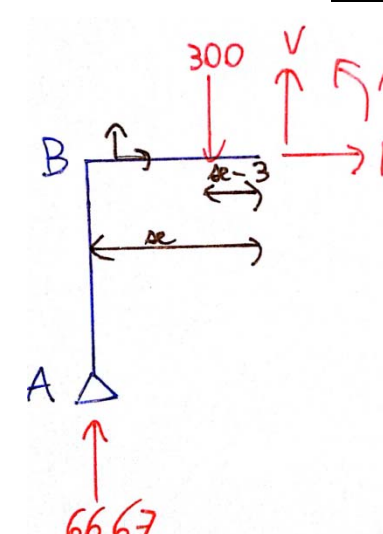


$$N = O$$

$$V + 66,67 = 0 \iff \boxed{V \approx -66,67}$$

$$M - 66,67 \cdot x = 0 \iff M \approx 66,67 \cdot x$$

# Coupure entre C et E (partie gauche conservée)

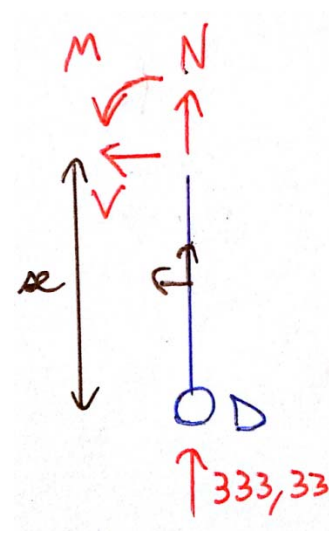


# N = O

$$V + 66,67 - 300 = 0 \iff \boxed{V \approx 233,33}$$

$$M - 66,67 \cdot x + 300 \cdot (x - 3) = 0 \iff M \approx -233,33 \cdot x + 900$$

# Coupure entre D et E (partie gauche conservée)

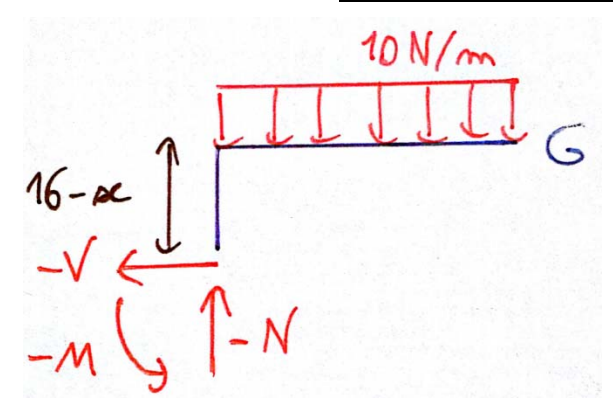


$$N + 333,33 = 0 \iff \boxed{N \approx -333,33}$$

$$V = O$$

$$M = 0$$

# Coupure entre E et F (partie droite conservée)

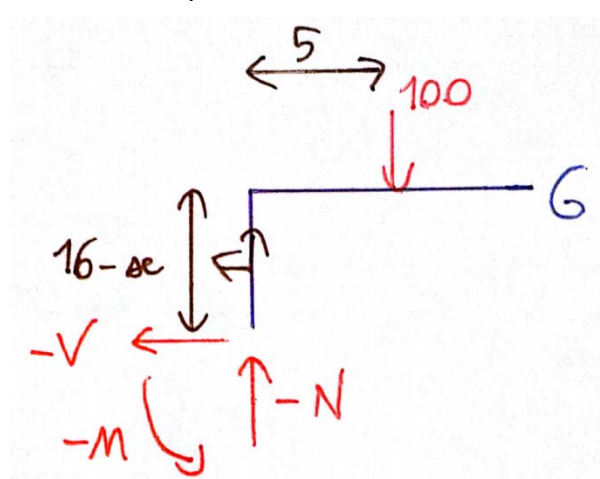


La force ponctuelle équivalente à la charge répartie est égale à :

$$10 \times 10 = 100 N$$

Et elle est positionnée au centre du chargement.

Le schéma équivalent est :

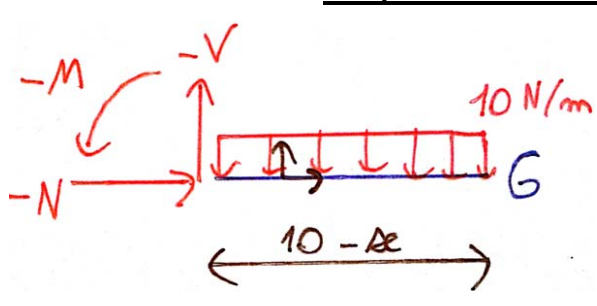


$$-N - 100 = 0 \iff \boxed{N = -100}$$

# V = 0

$$-M - 100 \times 5 = 0 \Leftrightarrow \boxed{M = -500}$$

# Coupure entre F et G (partie droite conservée)



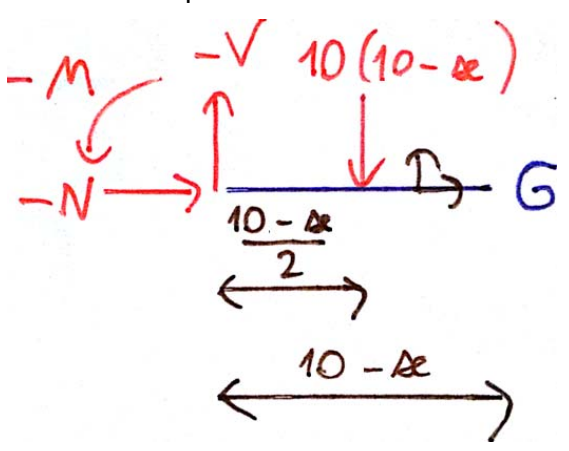
La force ponctuelle équivalente à la charge répartie est égale à :

$$10 \times (10 - x)$$

Et elle est positionnée au centre du chargement soit à la distance de la coupure égale à :

$$\frac{10-x}{2}$$

Le schéma équivalent est :



N = 0

$$-V - 10 \times (10 - x) = 0 \iff \boxed{V = 10x - 100}$$

$$-M - \frac{10 - x}{2} \times 10 \times (10 - x) = 0$$

$$\Leftrightarrow \boxed{M = -5x^2 + 100x - 500}$$

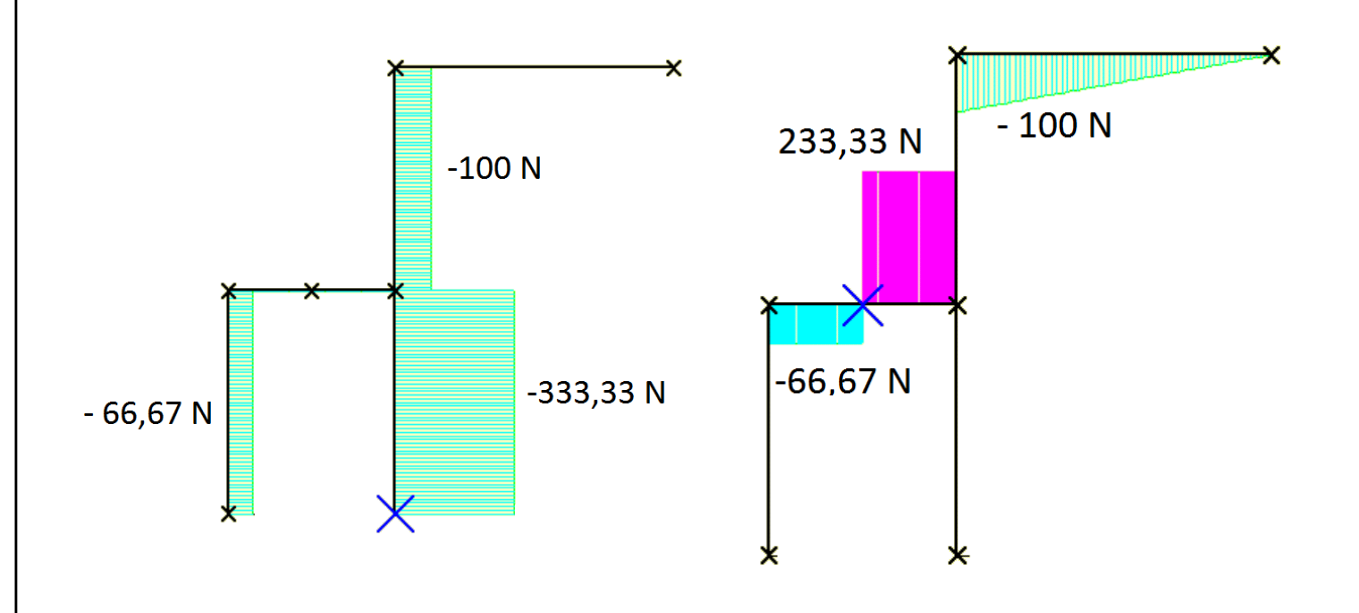


Page 46/197

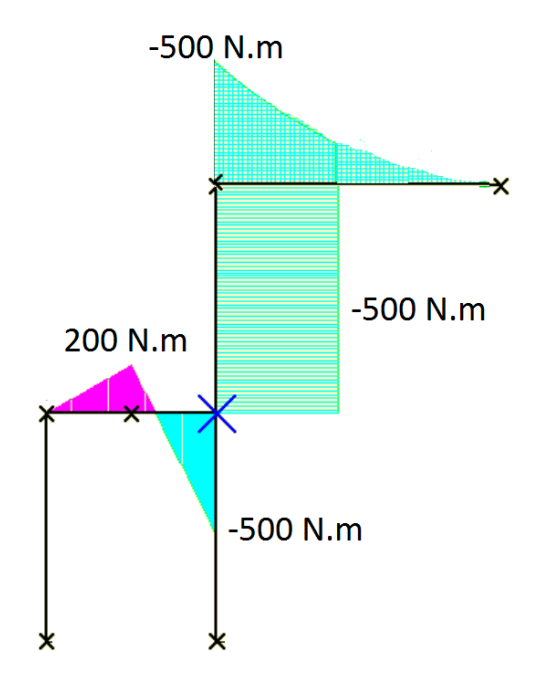
# **Diagrammes de sollicitations**

Effort normal N

Effort tranchant V



Moment fléchissant M



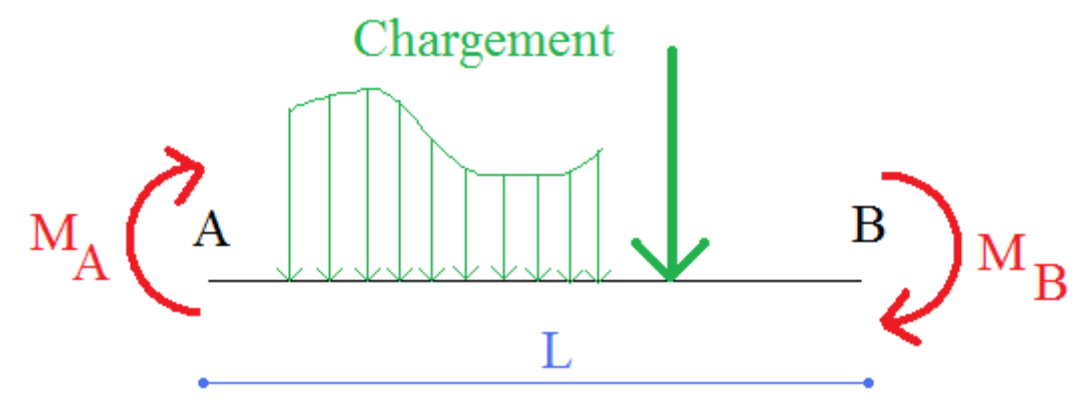


Page 47/197

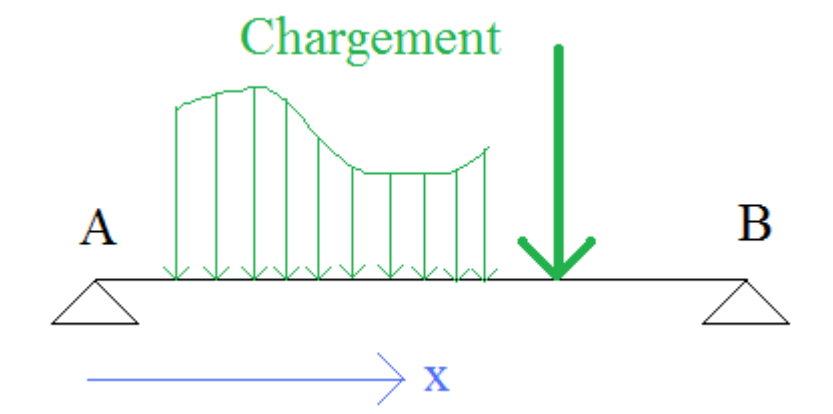
#### Moments et efforts tranchant entre deux sections d'une poutre 2. droite dont les moments sont connus

#### 2.1 Relations

Soit deux sections A et B d'une poutre droite de longueur L, dont on connaît les moments MA et



En posant  $M_{iso}(x)$  le moment et  $V_{iso}(x)$  l'effort tranchant calculés à la section d'abscisse x pour la poutre isotatique suivante (deux appuis simples au niveau de A et de B) :



### Remarque importante

Les abscisses de A et de B sont égales à :

- x<sub>A</sub> = 0
- $x_B = L$

#### Détermination du moment et de l'effort tranchant

Le moment à l'abscisse x est égal à :

$$M(x) = M_{iso}(x) + M_A \cdot \frac{L - x}{L} + M_B \cdot \frac{x}{L}$$

L'effort tranchant à l'abscisse x est égal à :

$$V(x) = V_{iso}(x) + \frac{M_B - M_A}{L}$$

ATTENTION : ces relations ne doivent pas être utilisées pour une portion de poutre en console.

#### Remarque:

Il peut parfois être plus pratique d'utiliser la relation suivante :  $V(x) = -\frac{dM(x)}{dx}$ 

$$V(x) = -\frac{dM(x)}{dx}$$

<sup>&</sup>lt;sup>1</sup> Des méthodes de détermination de moments aux nœuds sont données dans la suite du cours.

# 2.2 Exemple

Pour une poutre « encastrée-appuyée », un ouvrage de RDM<sup>2</sup> fournit les renseignements suivants :

☐ Cas 4 : charge uniformément répartie

$$M_B = -\frac{p\ell^2}{8} \quad R_A = \frac{3p\ell}{8} \quad R_B = \frac{5p\ell}{8}$$

$$A \xrightarrow{\theta_A} e$$

Fig. 9

$$M_{\text{max}} = \frac{9p\ell^2}{128} \text{ pour } x = \frac{3\ell}{8}$$

$$\theta_A = \frac{p\ell^3}{48EI}$$

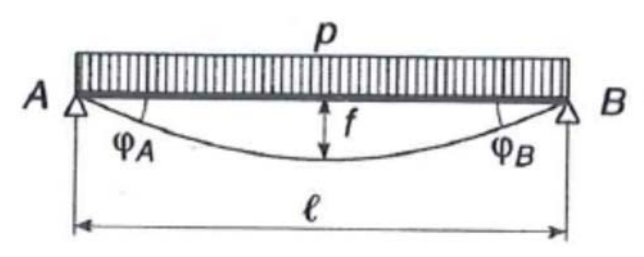
$$y_{\text{max}} = -0.0054 \frac{p\ell^4}{EI}$$
 pour  $x = 0.421\ell$ 

- 1) Déterminer en fonction de x, le moment et l'effort tranchant.
- 2) Démontrer le moment maximal et sa position indiqués par l'aide-mémoire de RDM.

### Solution

1)

Remplaçons la poutre encastrée par une poutre bi-appuyée uniformément chargée :



D'après le formulaire des poutres bi-appuyées,

• Le moment isostatique en fonction de x est égal à :

$$M_{iso}(x) = \frac{px}{2}(l-x)$$

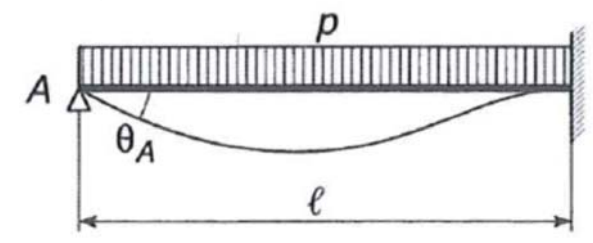
• L'effort tranchant isostatique en fonction de x est égal à :

$$V_{iso}(x) = p\left(\frac{l}{2} - x\right)$$

 $<sup>^2</sup>$  « Aide-mémoire Résistance des matériaux », 9 de dition, GOULET-BOUTIN-LEROUGE, Editions DUNOD, 2008, page 102.

Page 49/197

En revenant à la situation initiale,



Le moment en A est nul puisqu'il s'agit d'une extrémité non encastrée.

D'après l'ouvrage,

$$M_B = -\frac{pl^2}{8}$$

Ainsi, le moment fléchissant en fonction de x est égal à :

$$M(x) = M_{iso}(x) + M_A \cdot \frac{l-x}{l} + M_B \cdot \frac{x}{l}$$
$$= \frac{px}{2}(l-x) - \frac{pl^2}{8} \cdot \frac{x}{l}$$
$$= \frac{px}{8}(3l-4x)$$

De même, l'effort tranchant en fonction de x est :

$$V(x) = V_{iso}(x) + \frac{M_B - M_A}{l}$$
$$= p\left(\frac{l}{2} - x\right) - \frac{pl^2}{8l}$$
$$= p \cdot \left(\frac{3l}{8} - x\right)$$

Le moment est maximal lorsque sa dérivée s'annule :

$$\frac{dM}{dx} = \frac{p}{8}(3l - 8x_0) = 0 \iff \boxed{x_0 = \frac{3l}{8}}$$

Et le moment maximal est :

$$M_{max} = M\left(x_0 = \frac{3l}{8}\right) = \frac{p \cdot \frac{3l}{8}}{8} \left(3l - 4 \cdot \frac{3l}{8}\right) = \boxed{\frac{9pl^2}{128}}$$



Page 50/197

# 2.3 Détermination des réactions d'appuis à partir des diagrammes de sollicitations<sup>3</sup>

# Notations:

ullet  $x_{appui}$  : abscisse de l'appui dont on souhaite connaitre les réactions d'appuis

•  $x_{annui}^+$ : abscisse infiniment proche à droite (au sens du repère local) de  $x_{annui}^+$ 

•  $x_{appui}^{-}$ : abscisse infiniment proche à gauche (au sens du repère local) de  $x_{appui}$ 

Pour chaque appui d'abscisse x<sub>appui</sub>:

$$Réaction\ d'appui = Valeur\ torseur\ (x_{appui}^-) - Valeur\ torseur\ (x_{appui}^+)$$

Ainsi, il est possible de le traduire par :

$$\begin{cases} M_{appui} = M(x_{appui}^{-}) - M(x_{appui}^{+}) \\ R_{x,appui} = N(x_{appui}^{-}) - N(x_{appui}^{+}) \\ R_{y,appui} = V(x_{appui}^{-}) - V(x_{appui}^{+}) \end{cases}$$

#### Remarque:

• Lorsque l'appui est l'extrémité gauche, alors  $x_{appui}^-$  est en dehors de la structure, il est alors pris dans les relations précédentes :

$$\begin{cases} M(x_{appui}^{-}) = 0\\ N(x_{appui}^{-}) = 0\\ V(x_{appui}^{-}) = 0 \end{cases}$$

• De même, lorsque l'appui est l'extrémité droite, alors  $x_{appui}^+$  est en dehors de la structure, il est alors également pris :

$$\begin{cases} M(x_{appui}^{+}) = 0\\ N(x_{appui}^{+}) = 0\\ V(x_{appui}^{+}) = 0 \end{cases}$$

<sup>&</sup>lt;sup>3</sup> Ce paragraphe peut être vu comme une conséquence du chapitre « *tracé direct des diagrammes de sollicitations* » des rappels de RDM 1.

#### 2.4 Exercices

#### Exercice 3

#### Déterminer :

- les fonctions de l'effort tranchant V(x) et du moment fléchissant M(x) le long de la poutre
- les valeurs maximale et minimale de M et de V
- les réactions d'appuis

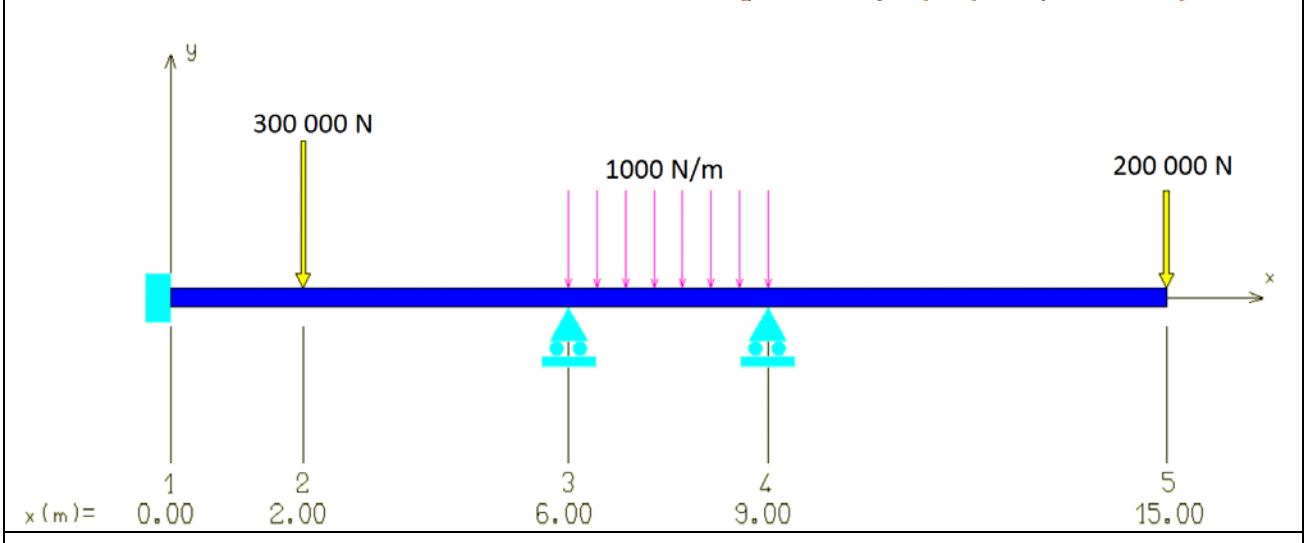
Les moments au niveau des nœuds sont :

$$\begin{cases} M_1 = -413108 \, N.m \\ M_3 = 159550 \, N.m \\ M_4 = -1200000 \, N.m \end{cases}$$

#### Extrait de solution

m e = x nood is a leminim in amom e.l.

In x = x moment maximal est pour x = x



#### Exercice 4

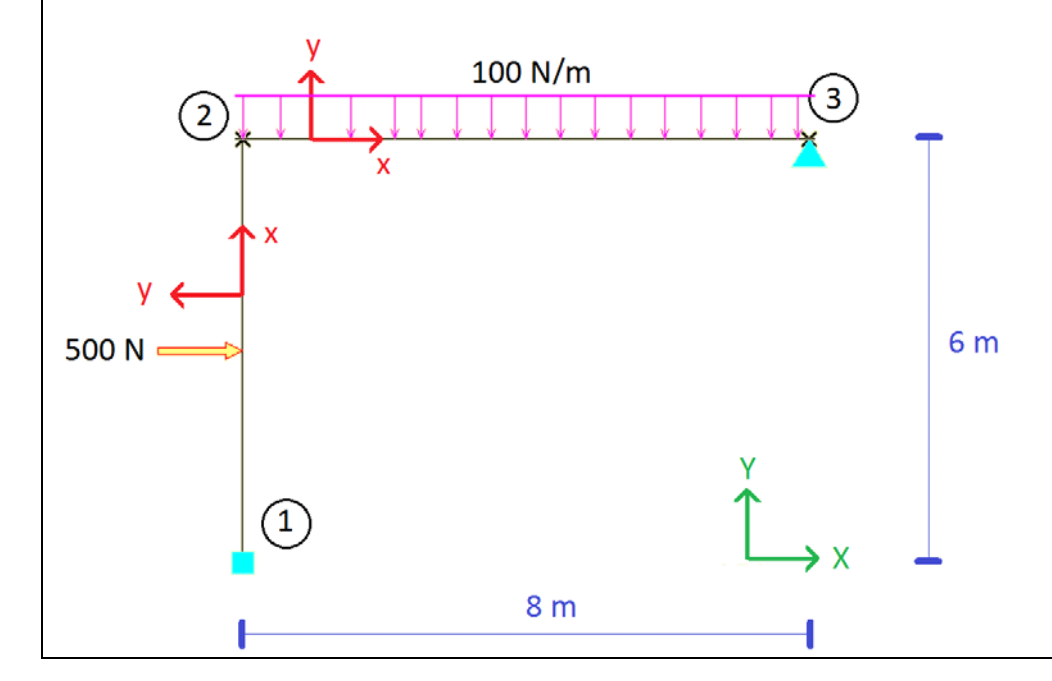
Déterminer les diagrammes de sollicitations avec :

- $M_1 = -1486,5 N.m$
- $M_2 = 13,5 N.m$

#### Extrait de solution

N E,885- Jusy

- L'effort normal sur la poutre 1/2
- Le moment maximal sur la poutre 2/3 est égal à 806,7 N.m





Page 52/197

#### 2.5 Solutions

### 2.5.1 Solution 3

# Entre les nœuds 1 et 3 (0 m < x < 6 m)

D'après les annexes :

Pour $0 < x < 2$	$M_{iso}(x) = \frac{300000 \times 4 \times x}{6} = 200000 \cdot x$
Pour $2 < x < 6$	$M_{iso}(x) = 300000 \times 2 \times \left(1 - \frac{x}{6}\right) = 600000 - 100000 \cdot x$

Puisque

$$\begin{cases} M_1 = -413108 \ N.m \\ M_3 = 159550 \ N.m \end{cases}$$

Alors:

· 5 .	
Pour 0 < x < 2	$M(x) = 200000 \cdot x - 413108 \cdot \frac{6 - x}{6} + 159550 \cdot \frac{x}{6}$ $\Leftrightarrow M(x) = 295443 \cdot x - 413108$
Pour 2 < <i>x</i> < 6	$M(x) = 600000 - 100000 \cdot x - 413108 \cdot \frac{6 - x}{6} + 159550 \cdot \frac{x}{6}$ $\Leftrightarrow M(x) = 186892 - 4557 \cdot x$

Puisque  $V(x) = -\frac{dM(x)}{dx}$ , alors il vient que :

ux	
Pour $0 < x < 2$	V(x) = -295443
Pour $2 < x < 6$	V(x) = 4557

# Entre les nœuds 3 et 4 (6 m < x < 9 m)

En posant X' = x - 6, d'après les annexes :

$$M_{iso}(X') = \frac{1000X'}{2}(3 - X')$$

Puisque

$$\begin{cases} M_3 = 159550 \ N.m \\ M_4 = -1200000 \ N.m \end{cases}$$

alors

$$M(X') = \frac{1000X'}{2}(3 - X') + 159550 \cdot \frac{3 - X'}{3} - 1200000 \cdot \frac{X'}{3}$$

$$\Leftrightarrow M(X') = -500X'^2 - 451683X' + 159550$$

$$\Leftrightarrow M(x) = -500x^2 - 445683x + 2851650$$

Εt

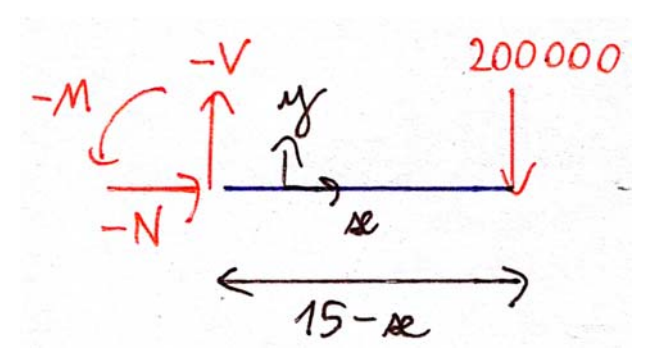
$$V(x) = 1000x + 445683$$



Page 53/197

# Entre les nœuds 4 et 5 (9 m < x < 15 m)

L'utilisation de la relation  $M(x) = M_{iso}(x) + M_A \cdot \frac{L-x}{L} + M_B \cdot \frac{x}{L}$  n'est pas autorisée puisqu'il s'agit d'une portion de poutre en console. Ainsi, une coupure est effectuée en conservant la partie droite :



$$-V - 200000 = 0$$

$$\Leftrightarrow V(x) = -200000$$

$$-M - 200000 \times (15 - x) = 0$$

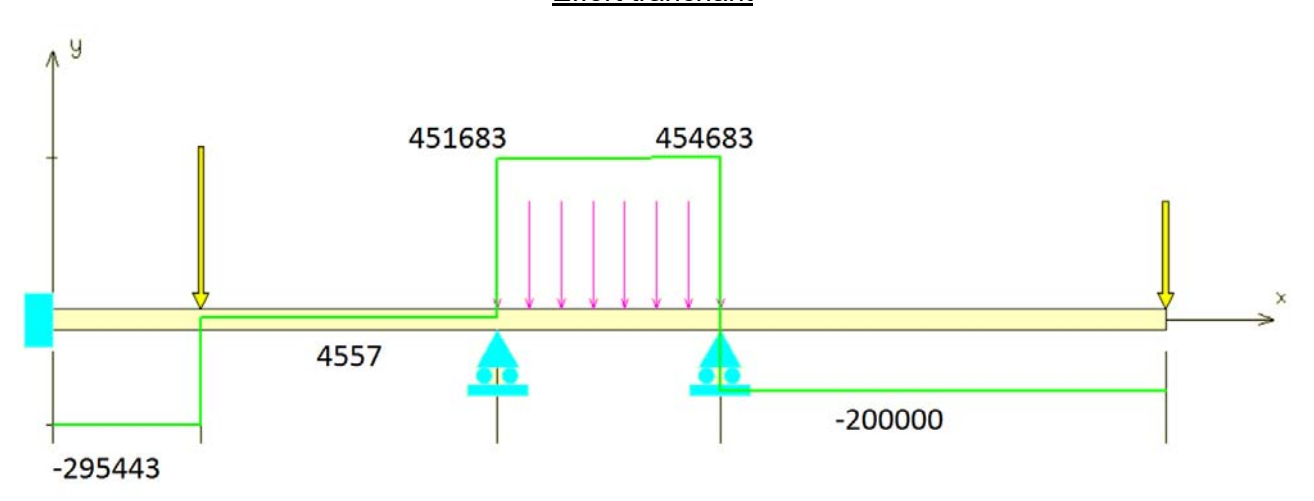
$$\Leftrightarrow M(x) = -3000000 + 200000x$$

### <u>Bilan</u>

Pour $0 < x < 2$	$M(x) = 295443 \cdot x - 413108$ $V(x) = -295443$
Pour $2 < x < 6$	$M(x) = 186892 - 4557 \cdot x$ $V(x) = 4557$
Pour $6  m < x < 9  m$	$M(x) = -500x^2 - 445683x + 2851650$ $V(x) = 1000x + 445683$
Pour $9 m < x < 15 m$	M(x) = -3000000 + 200000x $V(x) = -200000$

Le tracé des diagrammes de sollicitations permet de connaître les valeurs maximales et minimales :

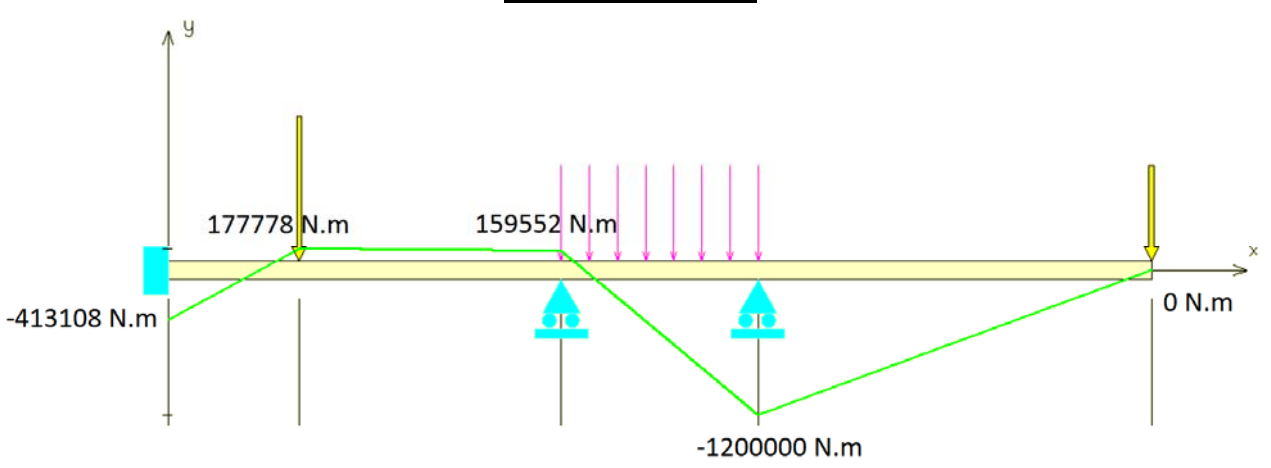
#### Effort tranchant





Page 54/197

#### Moment fléchissant



Ainsi,

$$\begin{cases} V_{max} = 454683 N \\ V_{min} = -295443 N \end{cases}$$

Εt

$$\begin{cases} M_{max} = 177778 \, N.m \\ M_{min} = -1200000 \, N.m \end{cases}$$

# Réactions d'appuis

# Au niveau de l'encastrement (x = 0 m)

$$M(x=0) = M(0^-) - M(0^+)$$

$$R_{\nu}(x=0) = V(0^{-}) - V(0^{+})$$

Le point d'abscisse x = 0 est l'extrémité gauche alors

- $M(0^-) = 0$
- $V(0^-) = 0$

Il vient alors que:

$$M(x=0) = 0 - (-413108) = \boxed{413108 \, N.m}$$

$$R_y(x=0) = 0 - (-295443) = 295443 N$$

# Au niveau de l'appui 3 (x = 6 m)

$$R_y(x=6) = V(6^-) - V(6^+) = 4557 - 451683$$
  
=  $-447126 N$ 

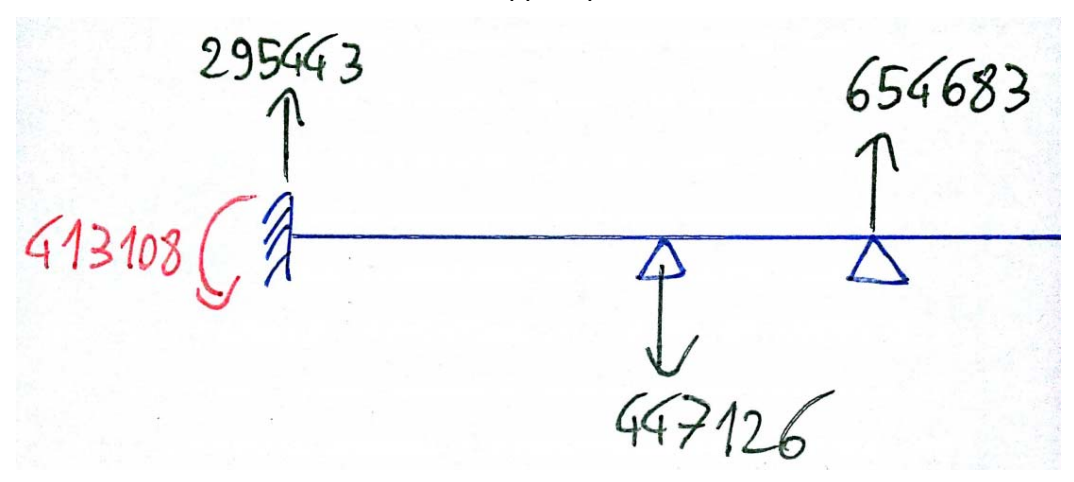
Au niveau de l'appui 3 (x = 9 m)

$$R_y(x = 9) = V(9^-) - V(9^+) = 454683 - (-200000)$$
  
= 654683 N



Page 55/197

Il est possible de schématiser les réactions d'appuis par :



#### 2.5.2 Solution 4

Entre les nœuds 2 et 3 (0 m < x < 8 m)

D'après les annexes :

$$M_{iso}(x) = \frac{100x}{2}(8 - x)$$

Puisque

- $M_2 = 13,5 N.m$
- $M_3 = 0 N.m$  (extrémité non encastrée)

alors

$$M(x) = \frac{100x}{2}(8-x) + 13.5 \cdot \frac{8-x}{8}$$
$$\Leftrightarrow M(x) = -50x^2 + 398.3x + 13.5$$

En utilisant  $V(x) = -\frac{dM(x)}{dx}$ 

$$V(x) = 100x - 398,3$$

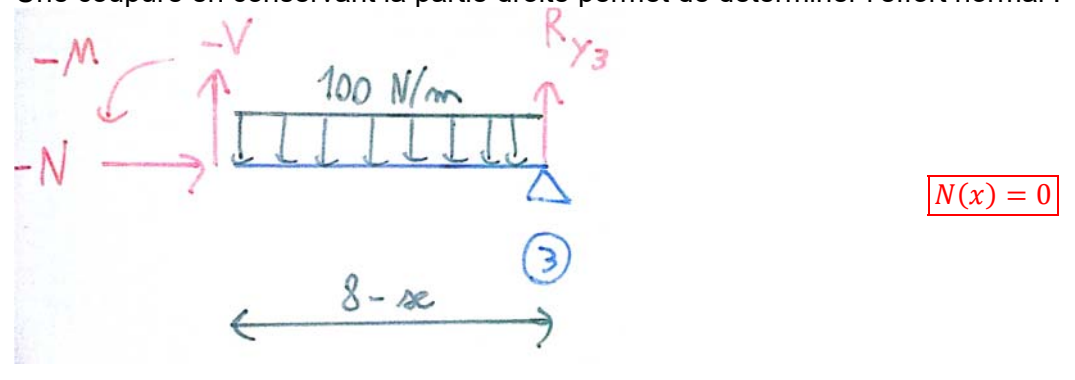
Le moment est maximal lorsque sa dérivée s'annule (c'est-à-dire que V est nul), donc M est maximal à l'abscisse :

$$100x_0 - 398.3 = 0 \iff x_0 = 3.983 m$$

Sur la poutre 2/3, le moment maximal est donc :

$$-50\times3,983^2 + 398,3\times3,983 + 13,5 \approx 806,7 \, N. \, m$$

Une coupure en conservant la partie droite permet de déterminer l'effort normal :





Page 56/197

### Entre les nœuds 1 et 2 (0 m < x < 6 m)

D'après les annexes :

Pour $0 < x < 3$	$M_{iso}(x) = \frac{500 \times 3 \times x}{6} = 250 \cdot x$
Pour $2 < x < 3$	$M_{iso}(x) = 500 \times 3 \times \left(1 - \frac{x}{6}\right) = 1500 - 250 \cdot x$

Puisque

$$\begin{cases} M_1 = -1486,5 \ N. \ m \\ M_2 = 13,5 \ N. \ m \end{cases}$$

Alors:

Pour 
$$0 < x < 3$$

$$M(x) = 250 \cdot x - 1486,5 \cdot \frac{6 - x}{6} + 13,5 \cdot \frac{x}{6}$$

$$\Leftrightarrow M(x) = 500 \cdot x - 1486,5$$

$$M(x) = 1500 - 250 \cdot x - 1486,5 \cdot \frac{6 - x}{6} + 13,5 \cdot \frac{x}{6}$$

$$\Leftrightarrow M(x) = 13,5$$

$$\Leftrightarrow M(x) = 13,5$$

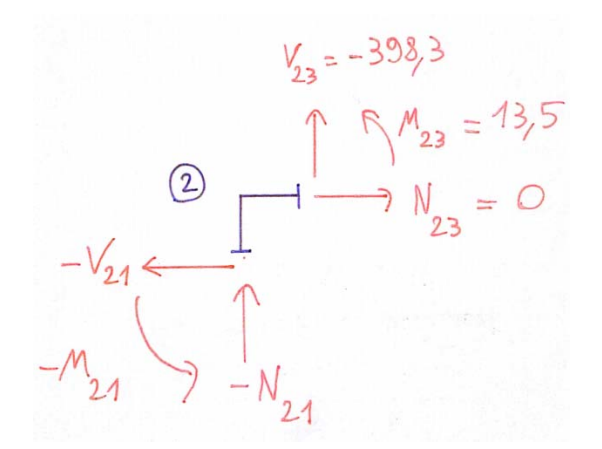
Puisque  $V(x) = -\frac{dM(x)}{dx}$ , alors il vient que :

CCSC	
Pour $0 < x < 3$	V(x) = -500
Pour $3 < x < 6$	V(x) = 0

Pour connaître l'effort normal, l'équilibre au niveau du nœud 2 est réalisé, c'est-à-dire entre :

- Le torseur du nœud 2 de la poutre 1/2 (partie droite conservée donc signe négatif)
- Le torseur du nœud 2 de la poutre 2/3 (partie gauche conservée donc signe positif)

Or le torseur de la poutre 2/3 est connu donc



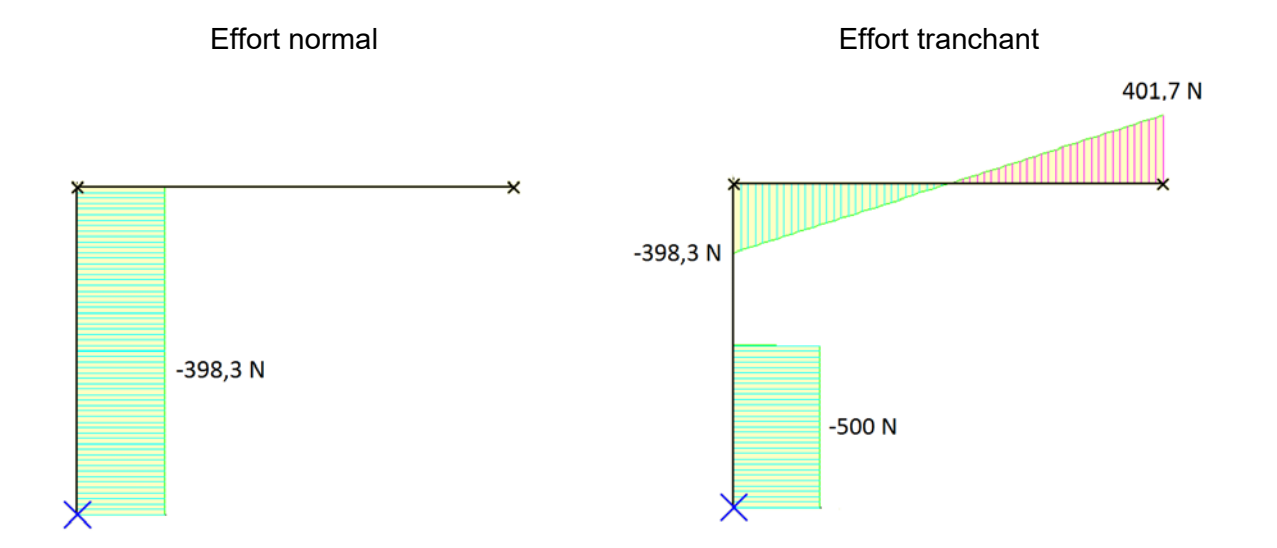
L'équilibre en force vertical est :

$$-N_{2/1} + V_{2/3} = 0 \iff -N_{2/1} - 398.3 = 0$$

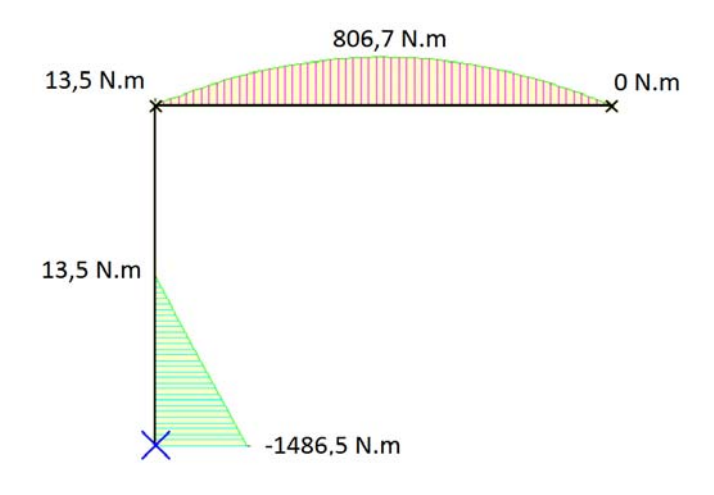
Puisqu'il n'y a pas de force selon  $\vec{x}$  le long de la poutre 1/2, alors l'effort normal est constant entre les nœuds 1 et 2, ainsi :

$$N = -398,3$$

Les diagrammes de sollicitations sont alors :



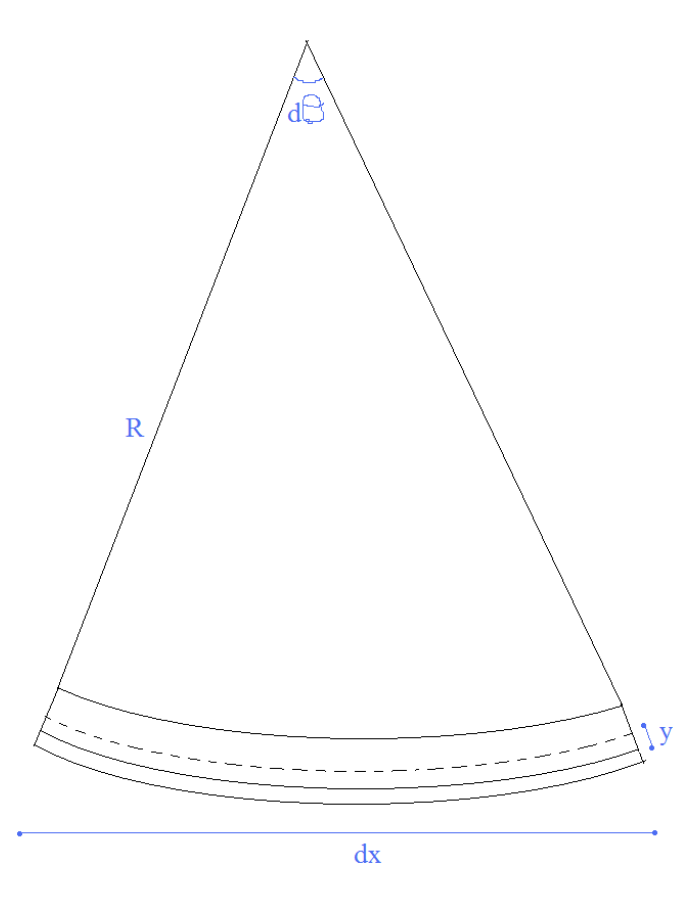
# Moment fléchissant



# 3. Calcul d'une flèche

# 3.1 Relation liant le moment, l'inertie, le module de Young et la flèche

<u>Hypothèse</u> : flexion pure selon z



Mz est constant sur dx.

D'après le cours de RDM 1ère année :

$$\sigma_{x} = -\frac{M_{z}}{I_{z}}y$$

La loi de Hooke s'exprime par :  $E\varepsilon_{\chi}=\sigma_{\chi}$ 

Ainsi : 
$$\varepsilon_{\chi} = \frac{\sigma_{\chi}}{E} = -\frac{M_{z}}{EI_{z}}y$$

La définition de la déformation est :

$$\varepsilon_{\chi} = \frac{\textit{longueur finale-longueur initiale}}{\textit{longueur initiale}}$$

D'où:

$$\varepsilon_{x} = \frac{(R+y)d\theta - Rd\theta}{Rd\theta} = \frac{y}{R}$$

Or le rayon de courbure est (voir cours prépa) :

$$R = -\frac{\left(1 + \left(\frac{df}{dx}\right)^2\right)^{3/2}}{\frac{d^2f}{dx^2}}$$

puisque 
$$\left(1 + \left(\frac{df}{dx}\right)^2\right)^{3/2} \sim 1$$

$$R \approx -\frac{1}{\frac{d^2f}{dx^2}}$$
 et :  $\varepsilon_x = -y \frac{d^2f}{dx^2}$ 

Au final : 
$$EI_z \frac{d^2f}{dx^2} = -M_z(x)$$

Ainsi, la flèche se calcule par la double intégrale de  $\frac{-M_Z(x)}{EI_Z}$ .



Page 59/197

# 3.2 Valeurs connues et propriété de la fonction représentative de la flèche

Pour intégrer (doublement) et déterminer les constantes, il convient de connaître les valeurs en certains points de la flèche et/ou de sa dérivée :

	Représentation	Résultats sur la flèche	Résultats pour la dérivée de la flèche :
Encastrement	dérivée nulle flèche nulle	f = 0	$\frac{df}{dx} = 0$
Appui rotule ou appui simple	flèche nulle flèche nulle	f = 0	
Centre d'une poutre symétrique en géométrie et en chargement	appui rotule  dérivée de la flèche nulle		$\frac{df}{dx} = 0$

De plus, il peut parfois être utile d'exploiter le fait que :

La fonction de la flèche est C1, c'est-à-dire que :

- La flèche est continue
- La dérivée de la flèche est continue

# 3.3 Notion de courbure

### Définition de la courbure

La courbure  $\chi$  est l'inverse du rayon de courbure :

$$\chi = \frac{1}{R}$$

# Propriété 1

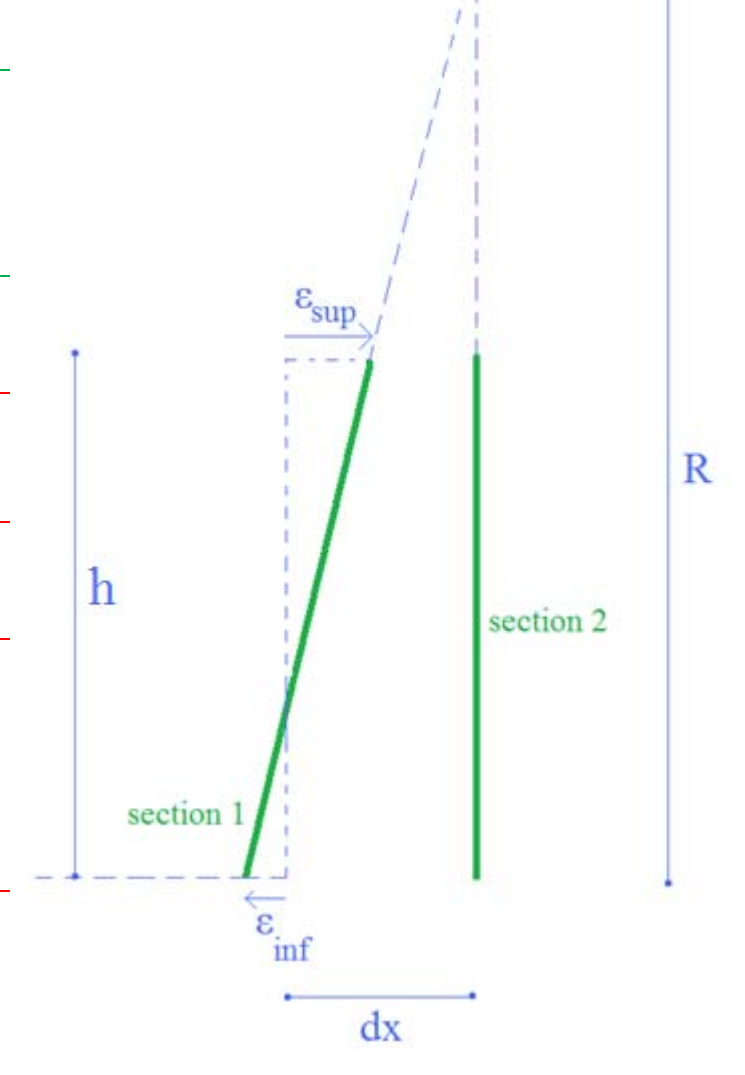
La courbure est égale à :

$$\chi = \frac{-M_z(x)}{EI_z}$$

# Propriété 1

Pour une section de hauteur h dont les déformations en fibre supérieures et inférieures sont connues, la courbure en élastique linéaire peut être déterminée par :

$$\chi = \frac{\varepsilon_{sup} - \varepsilon_{inf}}{h}$$



# 3.4 Méthode

- I. Déterminer le moment fléchissant en tout point
- II. Effectuer une double intégrale du moment pour l'équation de la flèche avec :

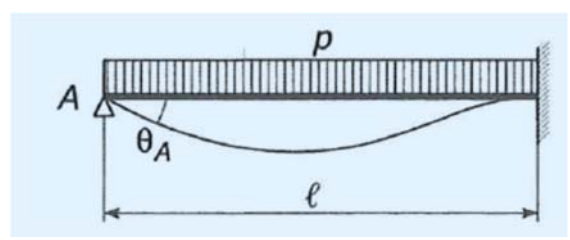
$$\frac{d^2f}{dx^2} = -\frac{M_z(x)}{EI_z}$$

- III. Les constantes sont déterminées à l'aide des valeurs connues.
- IV. Une fois la fonction de la flèche entièrement déterminée, une étude de cette fonction permet de connaître la position et la flèche maximale.

# 3.5 Exemple

Pour une poutre « encastrée-appuyée », le moment en tout point (voir solution du chapitre précédent) est égal à :

$$M(x) = \frac{px}{8}(3l - 4x) = \frac{p}{8}(3lx - 4x^2)$$



Calculer la flèche maximale f<sub>max</sub>.

### Solution

1) Le moment est connu :

$$M(x) = \frac{px}{8}(3l - 4x) = \frac{p}{8}(3lx - 4x^2)$$

2) La double intégration de  $\frac{d^2f}{dx^2} = -\frac{M_z(x)}{EI_z}$  donne :

$$\frac{\mathrm{df}}{\mathrm{dx}} = -\frac{1}{\mathrm{EI}_{\mathrm{z}}} \int_{0}^{\mathrm{x}} \left[ \frac{p}{8} (3lx - 4x^{2}) \right] dx$$

$$=-\frac{p}{8EI_z}\int\limits_0^x [3lx-4x^2]dx$$

$$= -\frac{p\left[\frac{3lx^2}{2} - \frac{4x^3}{3} + A\right]}{8EI_z}$$

Puis

$$f(x) = -\frac{p}{8EI_z} \int_0^x \left[ \frac{3lx^2}{2} - \frac{4x^3}{3} + A \right] dx$$

$$= -\frac{p}{8EI_z} \left[ \frac{3lx^3}{6} - \frac{4x^4}{12} + Ax + B \right]$$

3) Puisque les résultats avec les constantes A et B sont :

$$\frac{\mathrm{df}}{\mathrm{dx}} = -\frac{\mathrm{p}\left[\frac{3lx^2}{2} - \frac{4x^3}{3} + A\right]}{8\mathrm{EI}_z}$$

$$f(x) = -\frac{p}{8EI_z} \left[ \frac{3lx^3}{6} - \frac{4x^4}{12} + Ax + B \right]$$

Et qu'au niveau de l'appui simple (x = 0), il est connu que :



Page 62/197

$$f = 0$$

alors

$$B = 0$$

De plus, au niveau de l'encastrement (x = l), il est également connu que :

$$\frac{\mathrm{df}}{\mathrm{dx}} = 0$$

Donc

$$\frac{3l^3}{2} - \frac{4l^3}{3} + A = 0 \iff A = -\frac{l^3}{6}$$

Ainsi,

$$f(x) = \frac{p \cdot [2l^3x - 6lx^3 + 4x^4]}{96EI_z}$$

#### Remarque:

Il y avait deux constantes à déterminer et 3 valeurs connues :

Encastrement (x = l):

$$\frac{\mathrm{df}}{\mathrm{dx}}(\mathrm{x}=\mathrm{l})=0 \tag{V1}$$

$$f(x = l) = 0 (V2)$$

Appui simple 
$$(x = 0)$$
:  
 $f(x = 0) = 0$  (V3)

Pour la résolution de l'exemple, les valeurs connues (V1) et (V3) ont été exploitées, mais il aurait tout à fait été équivalent d'utiliser les conditions (V1) et (V2) ou les conditions (V2) et (V3).

De fait, (V2) est bien respecté puisque :

$$f(x = l) = \frac{p \cdot [2l^4 - 6l^4 + 4l^4]}{96EI_7} = 0$$

4) Pour trouver la flèche maximale, trouvons un extremum de la fonction de la flèche compris entre ]0; l[:

$$f(x) = \frac{p \cdot [2l^3x - 6lx^3 + 4x^4]}{96EI_z}$$

On passera par l'étude entre ]0; l[ de :

$$g(x) = 2l^3x - 6lx^3 + 4x^4$$

$$\frac{dg(x)}{dx} = 2l^3 - 18lx^2 + 16x^3$$



Page 63/197

En posant  $x_0 = \alpha \cdot l$  la position de la flèche maximale,

$$\frac{\mathrm{dg}(x)}{\mathrm{dx}} = 0 \Leftrightarrow 2 \cdot l^3 - 18 \cdot l \cdot (\alpha \cdot l)^2 + 16 \cdot (\alpha \cdot l)^3 = 0$$

$$\Leftrightarrow 2 - 18\alpha^2 + 16\alpha^3 = 0$$

$$\Leftrightarrow \begin{cases} \alpha \approx -0.297 \\ \alpha \approx 0.422 \end{cases}$$

La seule solution acceptable (puisque  $\alpha$  doit être compris dans l'intervalle ]0;1[) est  $\alpha \approx 0,422$ , ainsi, la position de la flèche maximale est :

$$\mathbf{x}_0 = 0.422 \cdot \mathbf{1}$$

Et la flèche maximale est égale à : 
$$f_{max} = -0,\!0054 \frac{pl^4}{EI_z}$$

Remarque : on retrouve bien les données de l'énoncé de l'exemple du chapitre précédent.



Page 64/197

#### 3.6 Exercices

#### Exercice 5

Quelle est la flèche maximale d'une poutre console sous poids propre de portée 5 m?

#### Données:

• E = 210 000 MPa

•  $I = 77,67 \text{ cm}^4$ 

Masse volumique: 8000 kg/m³
Aire de la section: 7,57 cm²
Pesanteur: g = 10 m/s²

# Extrait de solution

$$bnn^{-6} 1.7,7 = \frac{(m\delta) lb}{xb}$$

#### Exercice 6

Quelles sont les rotations des nœuds 1,2 et 3?

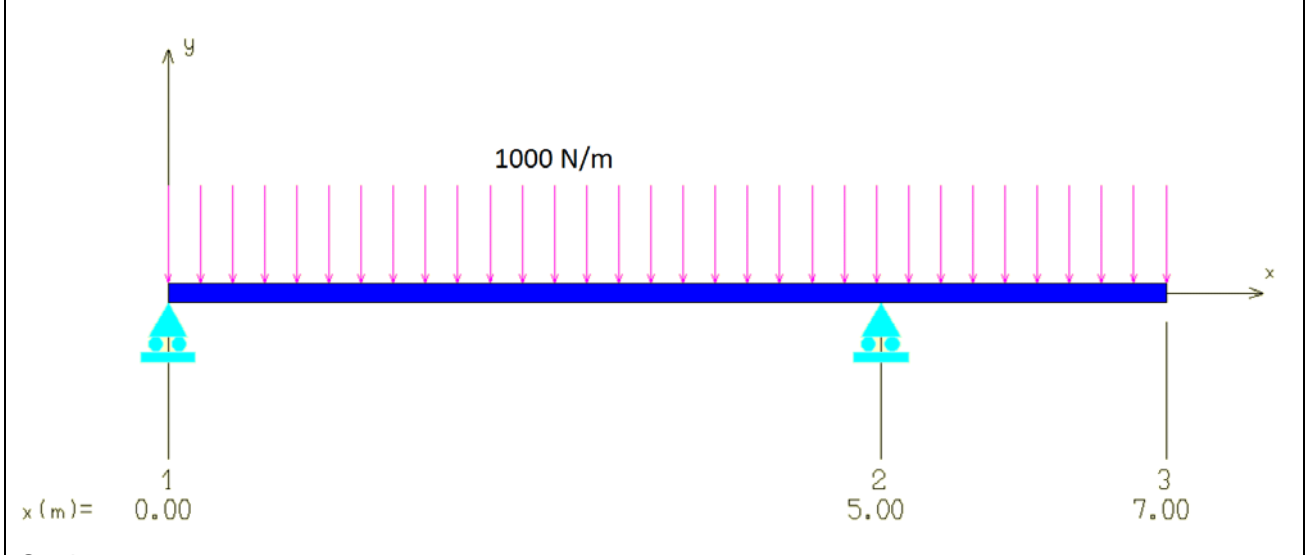
#### Données:

- E = 30 000 MPa
- I = 10455 cm<sup>4</sup>

# Extrait de solution

$$\left\{ \begin{matrix} R_2 < R_3 < R_1 \\ R_2 < R_3 < R_1 \end{matrix} \right.$$

En possant R, la rotation du nœud i



# Sachant que:

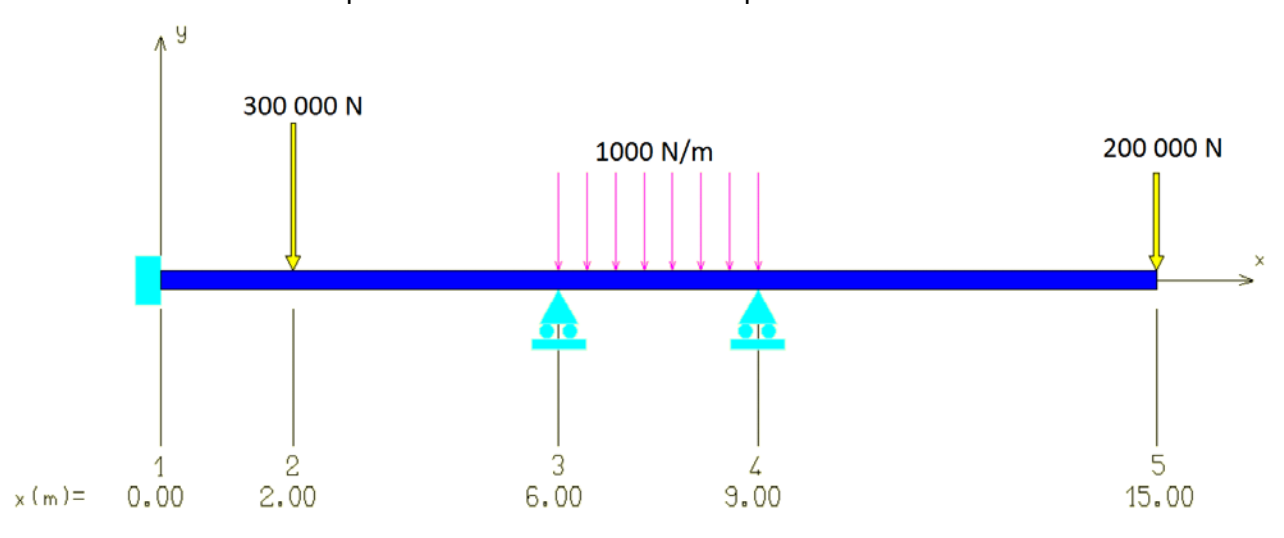
Pour $0 < x < 5$	$M(x) = -500x^2 + 2100x$
Pour $5 < x < 7$	$M(x) = -500x^2 + 7000x - 24500$



Page 65/197



Déterminer la fonction représentative de la flèche de la poutre suivante :



# Sachant que :

Pour $0 < x < 2$	$M(x) = 295443 \cdot x - 413108$
Pour $2 < x < 6$	$M(x) = 186892 - 4557 \cdot x$
Pour $6 m < x < 9 m$	$M(x) = -500x^2 - 445683x + 2851650$
Pour 9 $m < x < 15 m$	M(x) = -3000000 + 200000x

Εt

- E = 210 000 MPa
- I = 722299 cm<sup>4</sup>

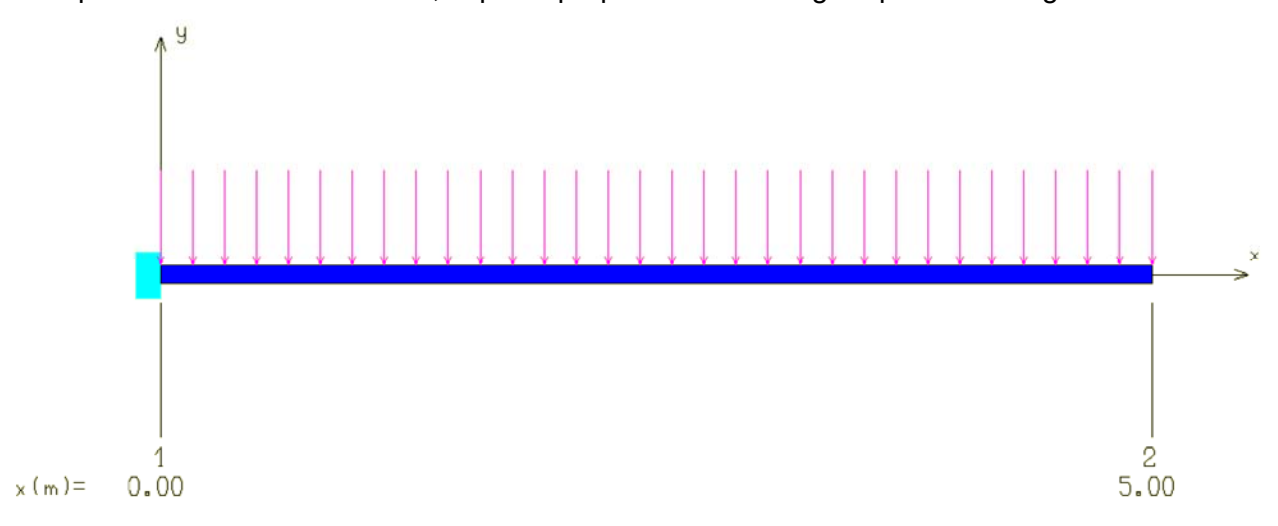
Extrait de solution

msx = 1,39 cm

#### 3.7 **Solutions**

### 3.7.1 **Solution 5**

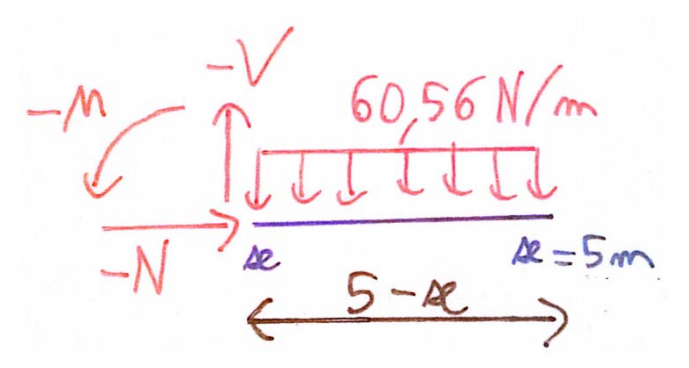
Puisque la section est constante, le poids propre est une charge répartie rectangulaire



Telle que:

$$p = 8000 \times 10 \times \frac{7,57}{100^2} = 60,56 \, N/m$$

En effectuant une coupure en conservant la partie droite :

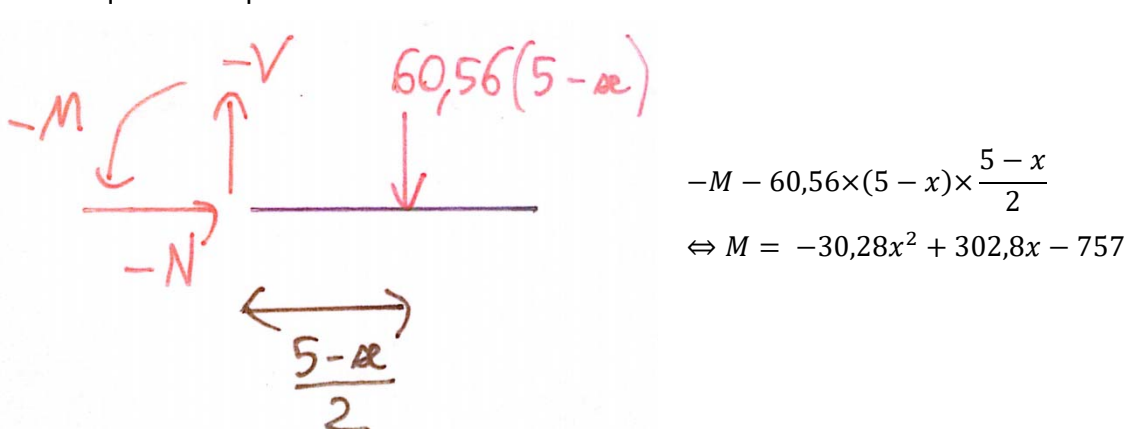


La force répartie est équivalente à une force ponctuelle:

$$60,56(5-x)$$

Positionnée au milieu de la force répartie, c'est-à-dire à  $\frac{5-x}{2}$  à droite de la coupure

Est statiquement équivalent à



$$-M - 60,56 \times (5 - x) \times \frac{5 - x}{2}$$

$$\Leftrightarrow M = -30,28x^{2} + 302.8x - 75$$

Ainsi, il vient que :  $EI\frac{df(x)}{dx} = 10,09x^3 - 151,4x^2 + 757x + A$ 

Εt

$$EIf(x) = 2,52x^4 - 50,46x^3 + 378,5x^2 + Ax + B$$

Or au niveau de l'encastrement : 
$$\begin{cases} f(0) = 0 \\ \frac{df(0)}{dx} = 0 \end{cases} \Leftrightarrow A = B = 0$$

Donc 
$$EIf(x) = 2.52x^4 - 50.46x^3 + 378.5x^2$$

Avec 
$$EI = 210000.10^6 \times 77,67.10^{-8} = 163107$$

Au final:

$$f_{max} = \frac{2,52 \times 5^4 - 50,46 \times 5^3 + 378,5 \times 5^2}{163107} = 0,029 \, m$$

2,9 cm

# 3.7.2 **Solution 6**

La première étape consiste à intégrer deux fois le moment fléchissant.

En posant A, B, C et D des constantes, il vient que :

Pour $0 < x < 5$	$M(x) = -500x^2 + 2100x$
	$EI\frac{df(x)}{dx} = 166,67x^3 - 1050x^2 + A$
	$EIf(x) = 41,67x^4 - 350x^3 + Ax + B$
Pour 5< <i>x</i> < 7	$M(x) = -500x^2 + 7000x - 24500$
	$EI\frac{df(x)}{dx} = 166,67x^3 - 3500x^2 + 24500x + C$
	$EIf(x) = 41,67x^4 - 1166,67x^3 + 12250x^2 + Cx + D$

Les flèches sont nulles au niveau des appuis donc :

• 
$$EIf(0) = 41,67 \times 0^4 - 350 \times 0^3 + A \times 0 + B$$
  
 $\Leftrightarrow B = 0$ 

• 
$$EIf(5) = 41,67 \times 5^4 - 350 \times 5^3 + A \times 5 + B = 0$$
  
 $\Leftrightarrow |5A + B| = 17706,25|$ 

• 
$$EIf(5) = 41,67 \times 5^4 - 1166,67 \times 5^3 + 12250 \times 5^2 + C \times 5 + D$$
  
 $\Leftrightarrow \boxed{5C + D = -186460}$ 

La dérivée de la flèche est continue :

• 
$$\frac{df(5^{-})}{dx} = \frac{df(5^{+})}{dx}$$

$$\Leftrightarrow 166,67 \times 5^{3} - 1050 \times 5^{2} + A = 166,67 \times 5^{3} - 3500 \times 5^{2} + 24500 \times 5 + C$$

$$\Leftrightarrow A - C = 61250$$

Nous obtenons un système qui peut se mettre sous la forme :

$$\begin{pmatrix} 5 & 0 & 0 \\ 0 & 5 & 1 \\ 1 & -1 & 0 \end{pmatrix} \begin{pmatrix} A \\ C \\ D \end{pmatrix} = \begin{pmatrix} 17706, 25 \\ -186460 \\ 61250 \end{pmatrix}$$

$$\Leftrightarrow \begin{pmatrix} A \\ C \\ D \end{pmatrix} = \begin{pmatrix} 3541,25 \\ -57708,75 \\ 102083,75 \end{pmatrix}$$

D'où

Pour $0 < x < 5$	$EI\frac{df(x)}{dx} = 166,67x^3 - 1050x^2 + 3541,25$
Pour 5< $x < 7$	$EI\frac{df(x)}{dx} = 166,67x^3 - 3500x^2 + 24500x - 57708,75$

Avec  $EI = 30000.10^6 \times 10455.10^{-8} = 3136500$ 

#### D'où les rotations

- au niveau du nœud 1 :  $R_1 = \frac{3541,25}{3136500} = \boxed{1,13.10^{-3} \ rad}$  au niveau du nœud 2 :  $R_2 = \frac{166,67 \times 5^3 1050 \times 5^2 + 3541,25}{3136500} = \boxed{-5,98.10^{-4} \ rad}$  au niveau du nœud 3 :  $R_3 = \frac{166,67 \times 7^3 3500 \times 7^2 + 24500 \times 7 57708,75}{3136500} = \boxed{-1,72.7}$  $-1,72.10^{-4}$  rad

### 3.7.3 **Solution 7**

La première étape consiste à intégrer deux fois le moment fléchissant.

En posant A, B, C, D, E, F, G et H des constantes, il vient que :

Sant A, B, C, B, E, I, C et II des constantes, il vient que .		
	$M(x) = 295443 \cdot x - 413108$	
Pour $0 < x < 2$	$EI\frac{df(x)}{dx} = -147721,5x^2 + 413108x + A$	
	$EIf(x) = -49240,5x^3 + 206554x^2 + Ax + B$	
	$M(x) = 186892 - 4557 \cdot x$	
Pour $2 < x < 6$	$EI\frac{df(x)}{dx} = 2278,5x^2 - 186892x + C$	
	$EIf(x) = 759,5x^3 - 206554x^2 + Cx + D$	
	$M(x) = -500x^2 - 445683x + 2851650$	
Pour 6 $m < x < 9 m$	$EI\frac{df(x)}{dx} = 166,7x^3 + 222841,5x^2 - 2851650x + E$	
	$EIf(x) = 41,7x^4 + 74280,5x^3 - 1425825x^2 + Ex + F$	
	M(x) = -3000000 + 200000x	
Pour 9 $m < x < 15 m$	$EI\frac{df(x)}{dx} = -1000000x^2 + 30000000x + G$	
	$EIf(x) = -33333,3x^3 + 1500000x^2 + Gx + H$	



Page 69/197

Les flèches sont nulles au niveau des appuis donc :

- $EIf(0) = -49240,5 \times 0^3 + 206554 \times 0^2 + A \times 0 + B$  $\Leftrightarrow B = 0$
- $EIf(6) = 759,5 \times 6^3 206554 \times 6^2 + C \times 6 + D = 0$  $\Leftrightarrow 6C + D = 7271892$
- $EIf(6) = 41.7 \times 6^4 + 74280.5 \times 6^3 1425825 \times 6^2 + E \times 6 + F = 0$  $\Leftrightarrow 6E + F = 35231069$
- $EIf(9) = 41.7 \times 9^4 + 74280.5 \times 9^3 1425825 \times 9^2 + E \times 9 + F = 0$  $\Leftrightarrow 9E + F = 61067747$
- $EIf(9) = -3333333 \times 9^3 + 1500000 \times 9^2 + G \times 9 + H = 0$  $\Leftrightarrow 9G + H = -97200024$

La dérivée de la flèche est nulle au niveau de l'encastrement :

• 
$$EI\frac{df(0)}{dx} = -147721,5 \times 0^2 + 413108 \times 0 + A = 0$$
  
 $\Leftrightarrow A = 0$ 

La flèche est continue :

• 
$$f(2^{-}) = f(2^{+})$$
  
 $\Leftrightarrow -49240.5 \times 2^{3} + 206554 \times 2^{2} + A \times 2 + B = 759.5 \times 2^{3} - 206554 \times 2^{2} + C \times 2 + D$   
 $\Leftrightarrow 2C + D = 1252432$ 

La dérivée de la flèche est continue :

• 
$$\frac{df(9^{-})}{dx} = \frac{df(9^{+})}{dx}$$

$$\Leftrightarrow 166,7 \times 9^{3} + 222841,5 \times 9^{2} - 2851650 \times 9 + E = -100000 \times 9^{2} + 3000000 \times 9 + G$$

$$\Leftrightarrow \overline{E - G} = 26393164$$

Elle est également continue aux abscisses x=2m et x=6m, mais nous avons déjà suffisamment d'équations permettant de résoudre le système qui peut se mettre sous la forme :

$$\begin{pmatrix} 6 & 1 & 0 & 0 & 0 & 0 \\ 0 & 0 & 6 & 1 & 0 & 0 \\ 0 & 0 & 9 & 1 & 0 & 0 \\ 0 & 0 & 0 & 0 & 9 & 1 \\ 2 & 1 & 0 & 0 & 0 & 0 \\ 0 & 0 & 1 & 0 & -1 & 0 \end{pmatrix} \begin{pmatrix} C \\ D \\ E \\ G \\ H \end{pmatrix} = \begin{pmatrix} 7271892 \\ 35231069 \\ 61067747 \\ -97200024 \\ 1252432 \\ 26393164 \end{pmatrix}$$

$$\Leftrightarrow \begin{pmatrix} C \\ D \\ E \\ F \\ G \\ H \end{pmatrix} = \begin{pmatrix} 1504865 \\ -1757298 \\ 8612226 \\ -16442287 \\ -17780938 \\ 62828418 \end{pmatrix}$$

Boris TEDOLDI RDM - ENTPE 2ème année

# Calcul Structure Bâtiment http://www.csb.bet



Page 70/197

Ainsi,

Pour $0 < x < 2$	$EIf(x) = -49240,5x^3 + 206554x^2$
Pour $2 < x < 6$	$EIf(x) = 759.5x^3 - 206554x^2 + 1504865x - 1757298$
Pour $6 m < x < 9 m$	$EIf(x) = 41,7x^4 + 74280,5x^3 - 1425825x^2 + 8612226x - 16442287$
Pour 9 $m < x < 15 m$	$EIf(x) = -3333333x^3 + 1500000x^2 - 17780938x + 62828418$

Avec

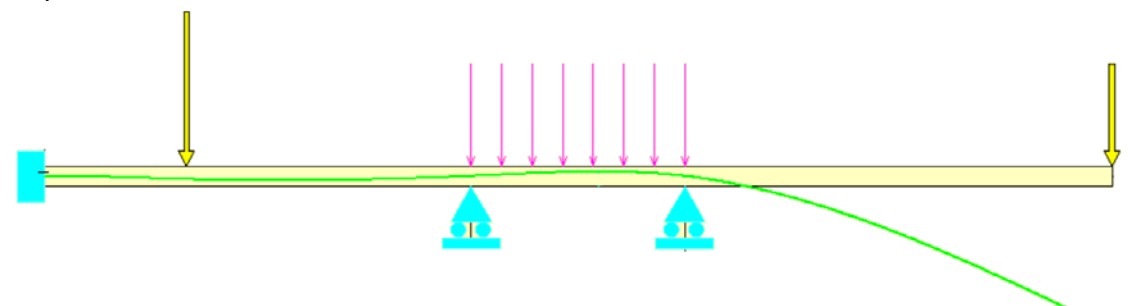
$$EI = 210000.10^6 \times 722299.10^{-8} = 1516827900$$

La flèche maximale se situe à l'abscisse x = 15 m :

$$f_{max} = f(15) = \frac{-333333,3 \times 15^3 + 1500000 \times 15^2 - 17780938 \times 15 + 62828418}{1516827900} = 0,0139 \, m$$

$$\Leftrightarrow f_{max} = 1,39 \ cm$$

La représentation de la flèche est :



1,39 cm

# 4. Méthode des forces

# 4.1 Premier principe de la thermodynamique

Pour un système fermé :

$$\Delta U + \Delta K = W + Q$$

Avec:

• U : énergie interne

• K : énergie cinétique (macroscopique)

• W: travail des forces

• Q : chaleur reçue

Ainsi, dans le cadre de la RDM:

• les effets thermiques ne sont pas pris en compte,

• l'énergie globale est constante,

• la structure reste statique.

Il vient alors que la somme du travail des forces extérieures et des forces intérieures est nulle :

$$W_{int} + W_{ext} = 0$$

# Remarque:

Cette équation est parfois appelée l'égalité de Clapeyron.

#### 4.2 Notion de travail

#### 4.2.1 Travail d'une force

Le travail d'une force  $\vec{F}$  dont le point d'application se déplace de  $\vec{u}$  est égal à :

$$W_{\vec{F}} = \vec{F} \cdot \vec{u} = F \cdot u \cdot \cos \theta$$

Avec  $\theta$  l'angle entre les directions qui portent les vecteurs  $\vec{F}$  et  $\vec{u}$ .

Dans le cadre de ce cours, le déplacement considéré est généralement colinéaire à la force, ainsi :

$$W_{\vec{F}} = F.u$$

#### 4.2.2 Travail d'un moment

Le travail d'un moment M (considéré constant) se déplaçant d'un angle  $\omega$  est égal à :

$$W_M = M.\omega$$

#### 4.3 Travail des forces extérieures

Dans un champ de déplacement donné (incluant des rotations), le travail des forces extérieures est égal à :

$$W_{F_{ext}} = \sum_{i=1}^{n} (F_i.u_i + M_i.\omega_i)$$

# 4.4 Travail des forces intérieures

En posant:

- N l'effort normal et ε la déformation longitudinale
- M le moment fléchissant et χ la courbure
- V l'effort normal et γ la déformation de cisaillement

Le travail des forces internes (en négligeant l'effet de la torsion) est égal à :

$$W_{int} = -\int_{structure} N \cdot \varepsilon + M \cdot \chi + V \cdot \gamma$$

Or

$$\varepsilon = \frac{N}{ES}$$

$$\chi = \frac{M}{EI}$$

$$\gamma = \frac{V}{G \cdot A_{\mathcal{Y}}}$$

Avec A<sub>y</sub> la section réduite pour l'effort tranchant égale à :

$$A_{y} = \frac{I_{z}^{2}}{\int_{section} \frac{S_{z}^{2}(y)}{b(y)} dy}$$

Et G le module d'élasticité transversal égal à :

$$G = \frac{E}{2 \cdot (1 + v)}$$

#### Cas particulier:

Lorsque les travaux de l'effort normal et de l'effort tranchant peuvent être négligés devant le travail du moment fléchissant, ainsi il vient que :

$$W_{int} \approx -\int_{structure} \frac{M^2}{EI}$$

# 4.5 Théorème de réciprocité de Maxwell-Betty

#### **Théorème**

En considérant deux systèmes de chargement  $S_1$  et  $S_2$ .

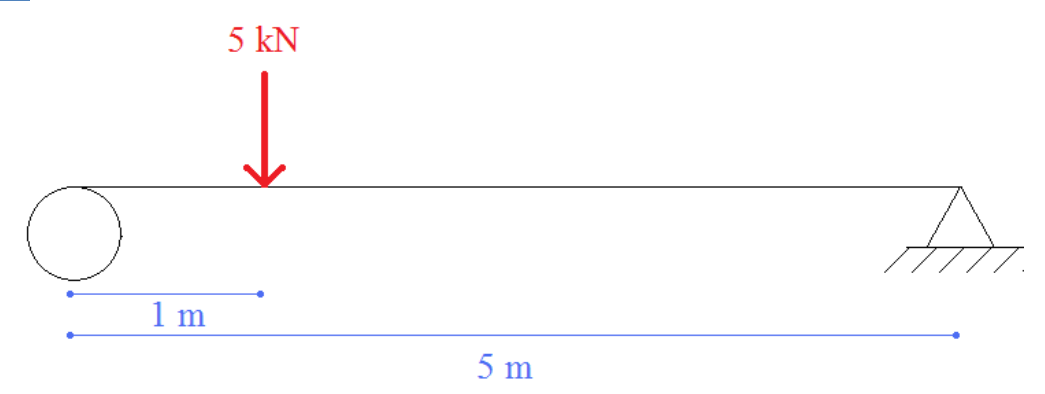
Le système S<sub>1</sub> (resp. S<sub>2</sub>) a pour conséquence un champ de déplacement u<sub>1</sub> (resp. u<sub>2</sub>).

Le travail produit par le chargement  $S_1$  dans le champ de déplacement  $u_2$  est égal au travail produit par le chargement  $S_2$  dans le champ de déplacement  $u_1$ .

#### Illustration du théorème

Soit une structure de moment d'inertie égal à 0,01 m⁴ et de module du Young égal à 12000 MPa.

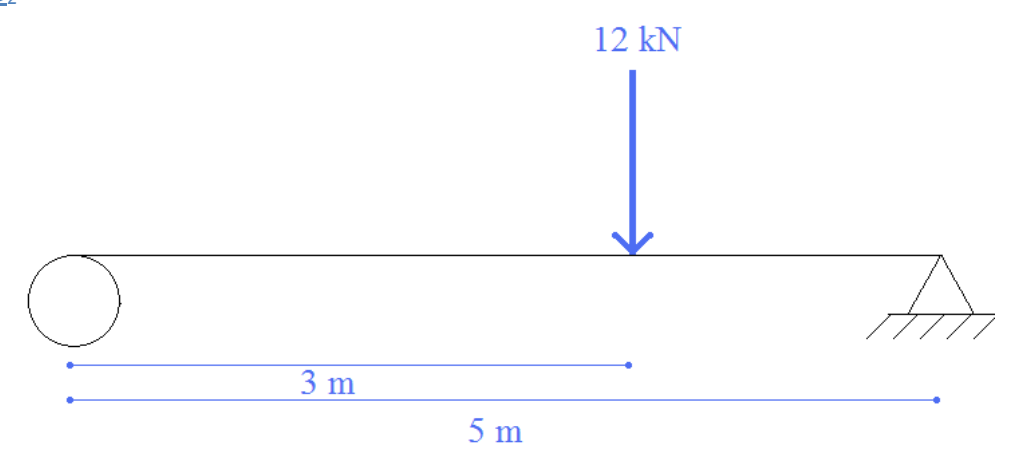
#### Système S<sub>1</sub>



D'après le formulaire des poutres bi-appuyées en annexes de ce cours, la flèche à 3 mètres de l'appui gauche (au niveau de la force appliquée dans le système S<sub>2</sub>) est égale à :

$$-\frac{5000\times1\times(5-3)}{6\times12000000000\times0,01\times5}[3\times(2\times5-3)-1^2]\approx-5,56.10^{-5} m$$

#### Système S<sub>2</sub>



D'après le formulaire des poutres bi-appuyées en annexes de ce cours, la flèche à 1 mètre de l'appui gauche (au niveau de la force appliquée dans le système S<sub>1</sub>) est égale à :

$$-\frac{12000\times2\times1}{6\times12000000000\times0,01\times5}(5^2-2^2-1^2)\approx-1,33.10^{-4} m$$

<u>Travail des forces de  $S_1$  dans le champ de déplacement de  $S_2$ </u>

 $5000 \times 1.33.10^{-4} = 0.67 I$ 

Travail des forces de S<sub>2</sub> dans le champ de déplacement de S<sub>1</sub>

 $12000 \times 5,56.10^{-5} = 0,67 J$ 

Le théorème de réciprocité de Maxwell-Betty est bien vérifié dans cet exemple.

Boris TEDOLDI RDM - ENTPE 2<sup>ème</sup> année

## Calcul Structure Bâtiment http://www.csb.bet



Page 74/197

## 4.6 Principe des travaux virtuels (PTV)

En posant u\* un champ de déplacement virtuel ; u\* est pris tel que :

- respecte les conditions de liaisons (cinématiquement admissible CA)
- est continu
- est dérivable
- existe

#### Principe des travaux virtuels

La somme du travail des forces extérieures et des forces intérieures calculée dans un champ de déplacement virtuel est nulle :

$$W^*_{ext} + W^*_{int} = 0$$



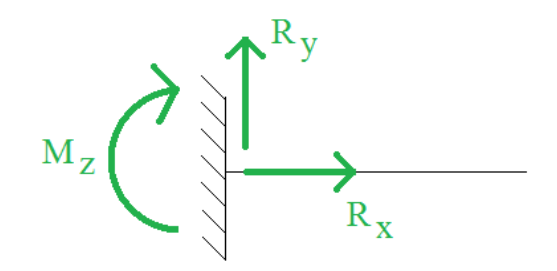
Page 75/197

## 4.7 Ajouter des degrés de liberté et un effort unitaire associé

Par la suite :

- Les réactions d'appuis sont en vert
- Les efforts unitaires suite à la libération d'un degré de liberté sont en rouge.

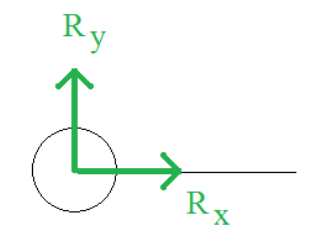
#### 4.7.1 Au niveau d'un encastrement



Il est possible de libérer (en 2D) :

il est possible de liberer (en 2D):					
La rotation	$1 \xrightarrow{R_y} R_x$	1 degré de liberté ajouté			
La rotation et la force verticale	$ \begin{array}{c} 1\\ \\ \end{array} \longrightarrow R_{X} $	2 degrés de liberté ajoutés			
La rotation et la force horizontale	$1 \xrightarrow{R_y} 1$	2 degrés de liberté ajoutés			
La rotation et les forces horizontale et verticale	$1 \xrightarrow{1} 1$	3 degrés de liberté ajoutés			

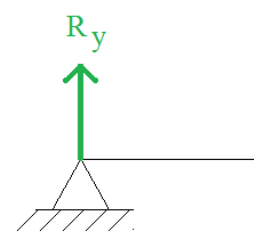
#### 4.7.2 Au niveau d'une rotule



Il est possible de libérer (en 2D):

ii cot possibie de	1120101 (011 22) 1	
La force verticale	$\stackrel{1}{\longrightarrow} R_X$	1 degré de liberté ajouté
La force horizontale	Ry	1 degré de liberté ajouté
Les forces horizontale et verticale	$\stackrel{1}{\xrightarrow{1}}$	2 degrés de liberté ajoutés

## 4.7.3 Au niveau d'un appui simple



Il est possible de libérer (en 2D) :

La force verticale	1	1 degré de liberté ajouté
verticale	<u>-</u>	

#### 4.7.4 A l'intérieur d'une structure

Il est possible de libérer (en 2D) en un point quelconque :

	1 1	
La rotation		1 degré de liberté ajouté
La rotation, l'effort normal et l'effort tranchant	$\begin{array}{c c} & & & \\ & & & \\ \hline & & & \\ & & & \\ \hline & & \\ \hline & & & \\ \hline & \\ \hline & & \\ \hline & \\$	3 degrés de liberté ajoutés

#### 4.8 Méthode

- I. On détermine le degré hyperstatique de la structure h.
- II. On supprime suffisamment d'hyperstaticité pour se ramener à un cas isostatique en ajoutant h degrés de liberté (soit au niveau des appuis, soit en créant des rotules internes).
- III. Cette « nouvelle » structure avec le chargement réel est appelée structure isostatique associée (notée  $S_0$ ) pour laquelle on calcule le moment fléchissant en tout point. Cette solution concernant les moments est appelé  $M_0$ .
- IV. Pour chaque degré de liberté ajouté i précédemment, on calcule les moments fléchissants avec la structure isostatique associée avec pour chargement un <u>effort unitaire</u> en adéquation avec le degré de liberté ajouté. La valeur réelle de l'effort associé à ce degré de liberté est noté X<sub>i</sub> et les moments fléchissants sont notés M<sub>i</sub>.
- V. On résout le système d'équation de degré h suivant :

$$\begin{pmatrix} \delta_{11} & \cdots & \delta_{1h} \\ \vdots & \ddots & \vdots \\ \delta_{h1} & \cdots & \delta_{hh} \end{pmatrix} \begin{pmatrix} X_1 \\ \vdots \\ X_h \end{pmatrix} + \begin{pmatrix} \delta_{01} \\ \vdots \\ \delta_{0h} \end{pmatrix} = \begin{pmatrix} 0 \\ \vdots \\ 0 \end{pmatrix}$$

Lorsque les déformations d'effort normal et d'effort tranchant peuvent être négligées :

$$\delta_{ij} = \int\limits_{(S)} \frac{M_i M_j}{EI}$$

et

$$\delta_{0i} = \int\limits_{(S)} \frac{M_0 M_i}{EI}$$

#### Remarques:

1) Lorsque les déformations d'effort normal et d'effort tranchant ne peuvent pas être négligées (treillis par exemple), les termes sont égaux à :



Page 78/197

$$\delta_{ij} = \int\limits_{(S)} \frac{M_i M_j}{EI} + \frac{N_i N_j}{ES} + \frac{V_i V_j}{GA_y}$$

et

$$\delta_{0i} = \int\limits_{(S)} \frac{M_0 M_i}{EI} + \frac{N_0 N_i}{ES} + \frac{V_0 V_i}{GA_y}$$

2) La matrice 
$$\begin{pmatrix} \delta_{11} & \cdots & \delta_{1h} \\ \vdots & \ddots & \vdots \\ \delta_{h1} & \cdots & \delta_{hh} \end{pmatrix}$$
 est appelée matrice de souplesse.

Boris TEDOLDI RDM - ENTPE 2<sup>ème</sup> année

## Calcul Structure Bâtiment http://www.csb.bet



Page 79/197

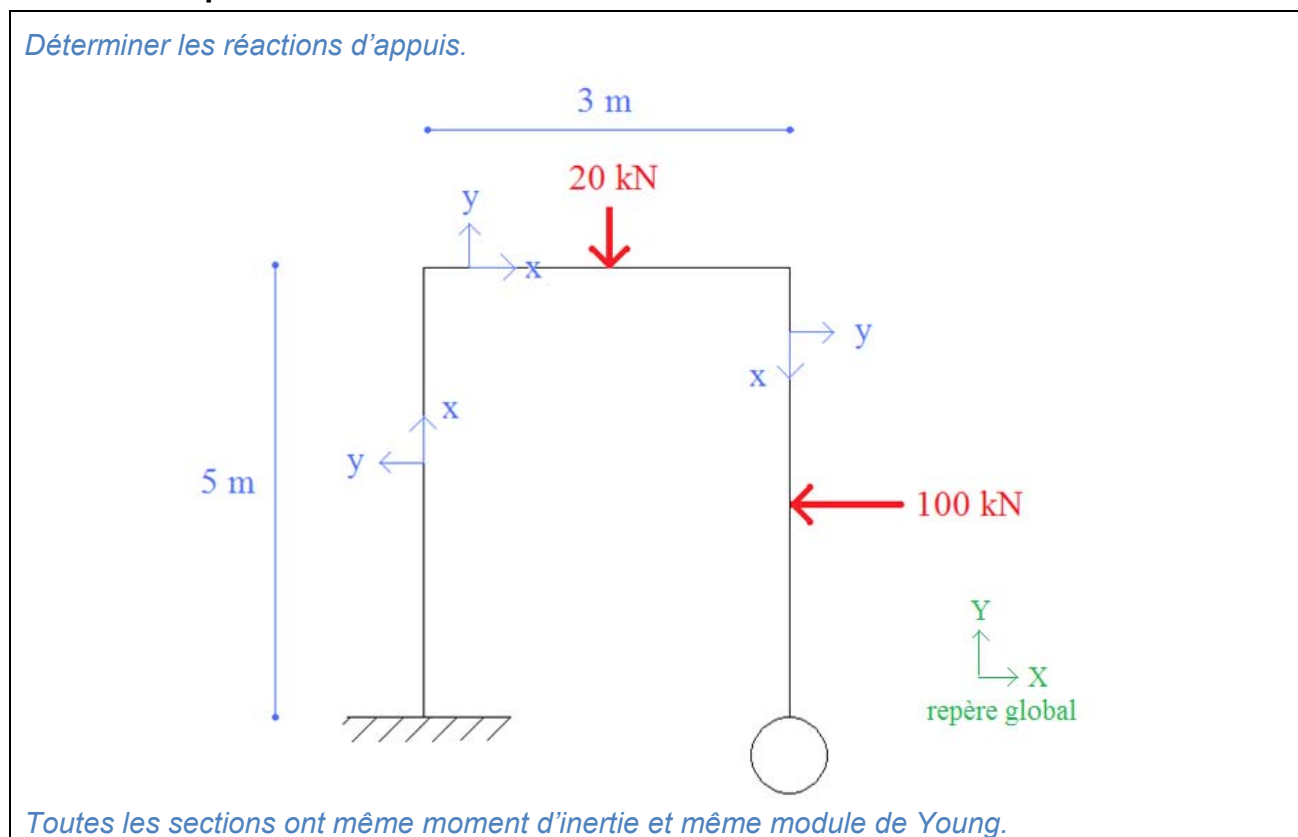
## 4.9 Intégrales de Mohr<sup>4</sup>

Il est indispensable de calculer des termes du type  $\int_{(S)} M_i M_j$ . Pour cela, il est possible, dans la majorité des cas rencontrés, d'utiliser les intégrales de Mohr.

Tableau des intégrales de MOHR :  $\int_0^{\infty} M_i(x) M_j(x) dx = \frac{X}{2} M_i M_j$  L avec  $\frac{X}{2}$  : valeur lue dans le tableau

<sup>&</sup>lt;sup>4</sup> Extrait du cours de RDM2 de l'ENTPE (J.-Y. COLLIN)

## 4.10 Exemple



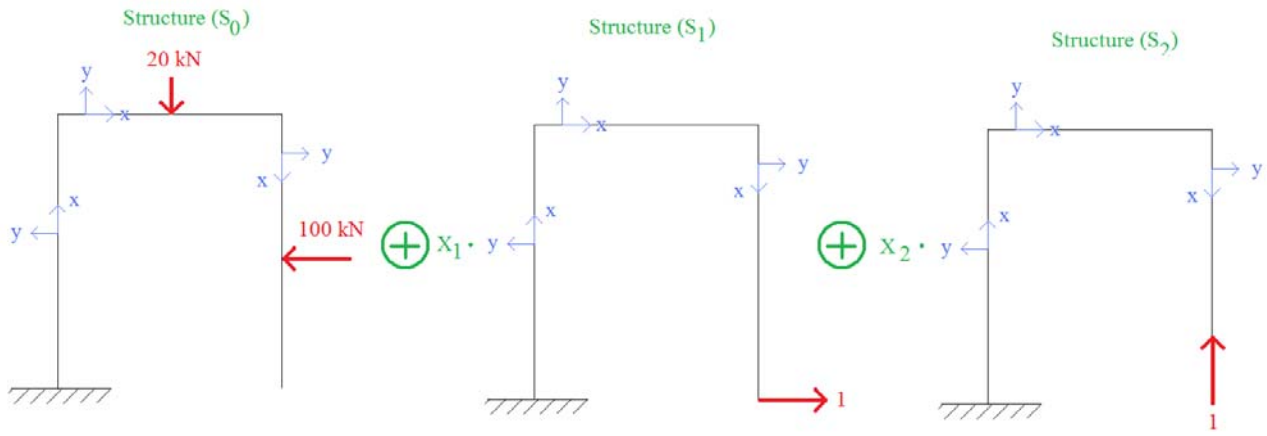
#### Solution

La structure est hyperstatique de degré 2.

Supprimons l'appui rotule pour ajouter deux degrés de liberté et ainsi obtenir une structure isostatique associée.

Remarque : d'autres choix pourraient être faits et conduiraient à la même solution.

#### La structure est égale à :



On peut également noter :

$$S = S_0 + X_1 \cdot S_1 + X_2 \cdot S_2$$

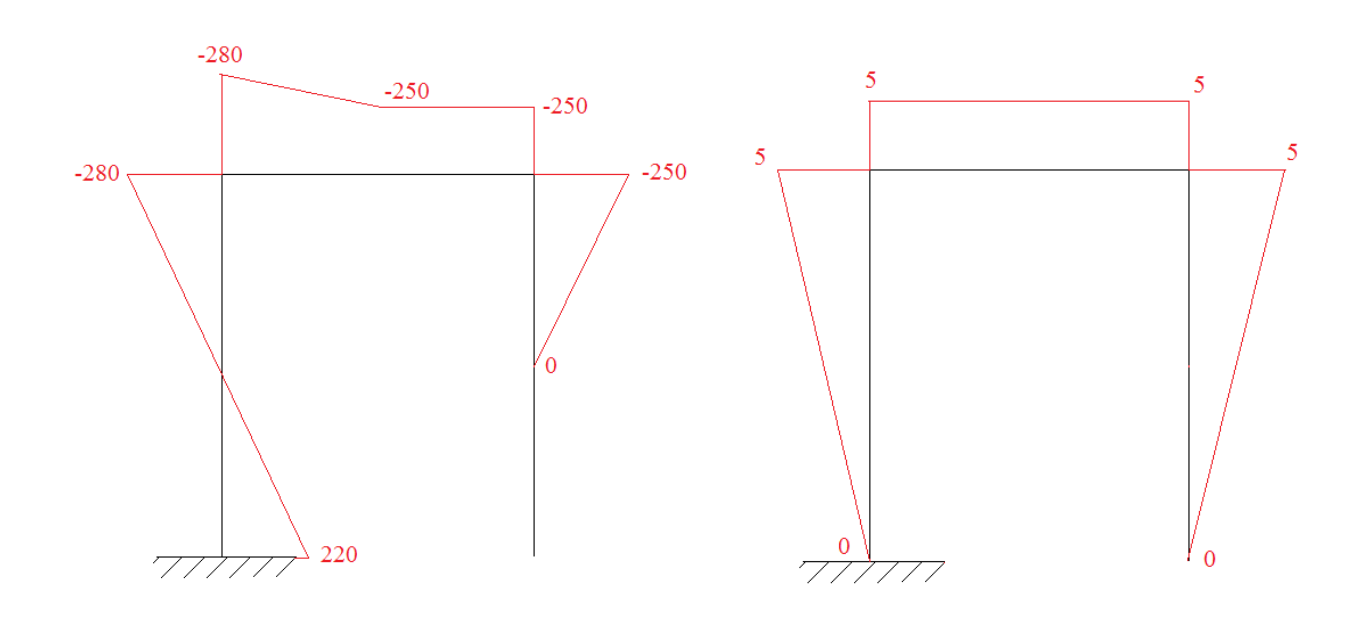
#### Avec

- X<sub>1</sub> la réaction d'appui horizontale au niveau de la rotule
- X<sub>2</sub> la réaction d'appui verticale au niveau de la rotule

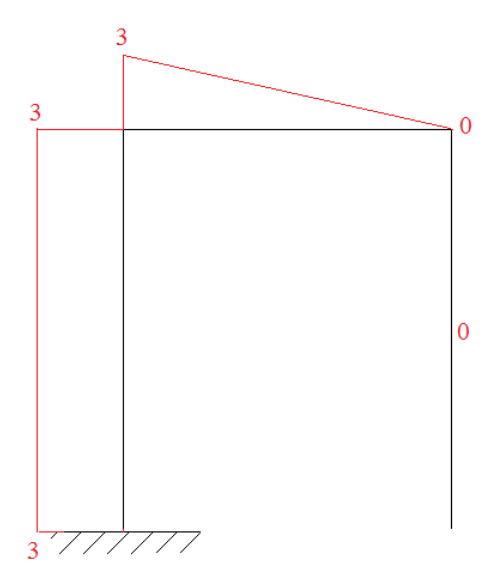
Diagrammes de moments fléchissants :

Structure S<sub>0</sub>

Structure S<sub>1</sub>



## Structure S<sub>2</sub>



Calcul de  $EI\delta_{01} = \int_{(S)} M_0 M_1$ 

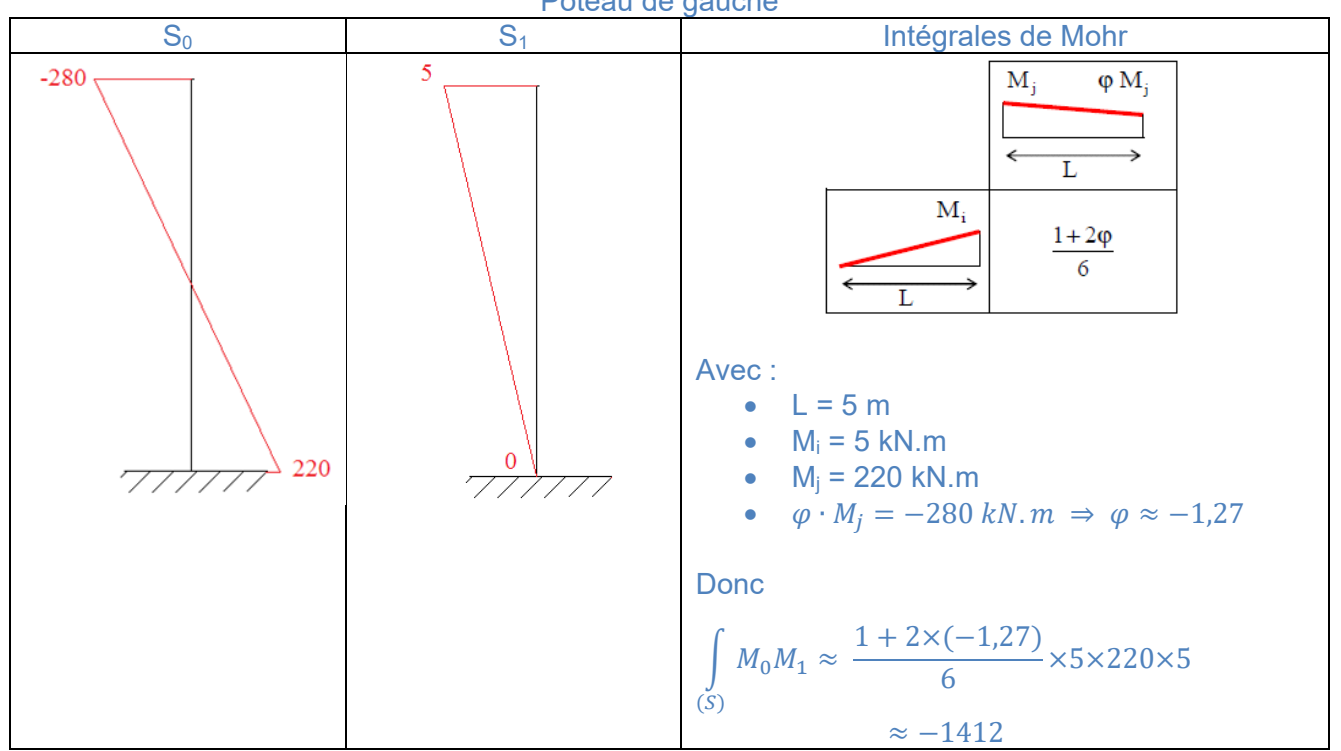
Boris TEDOLDI RDM - ENTPE 2ème année

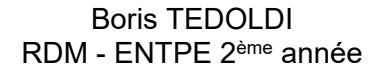
# Calcul Structure Bâtiment http://www.csb.bet



Page 82/197

Poteau de gauche

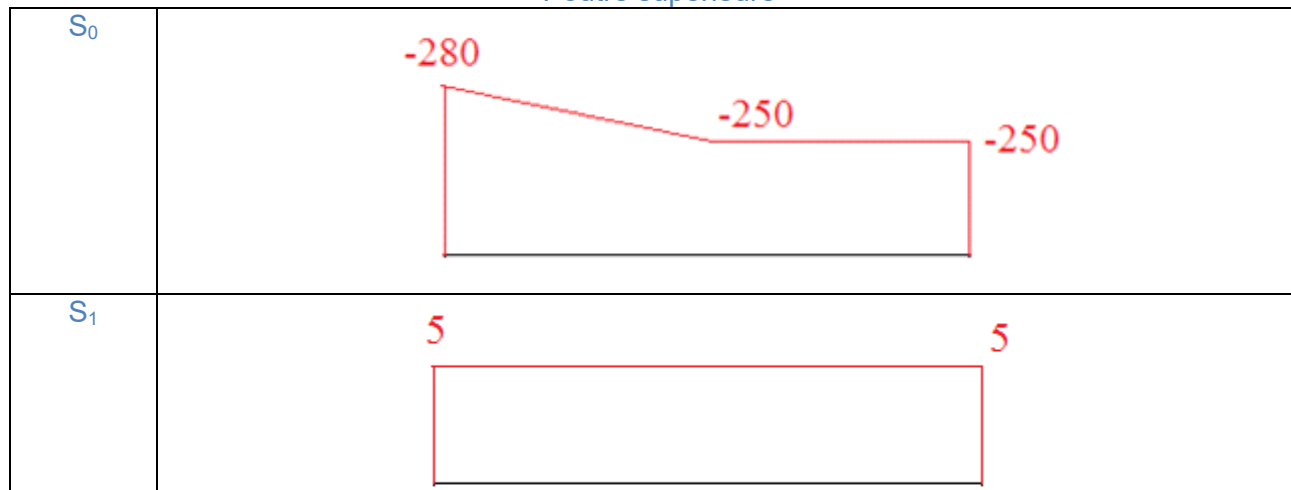




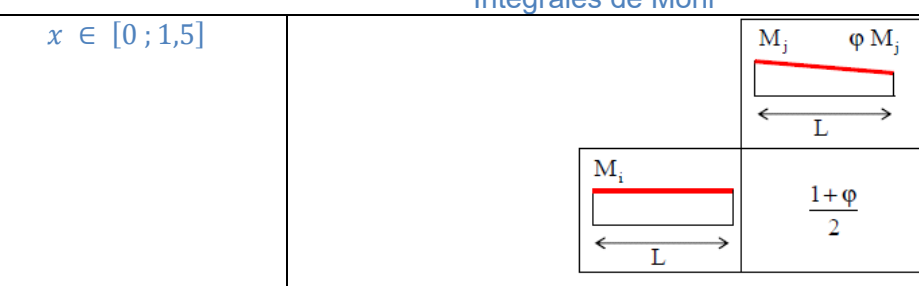


Page 83/197





## Intégrales de Mohr



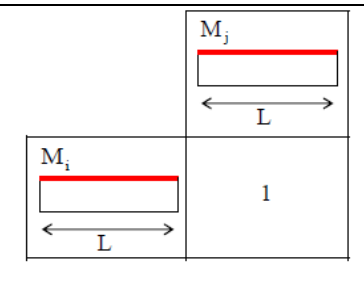
#### Avec:

- L = 1,5 m
- $M_i = 5 \text{ kN.m}$
- $M_i = -280 \text{ kN.m}$
- $\varphi \cdot M_i = -250 \ kN.m \Rightarrow \varphi \approx 0.89$

#### Donc

$$\int_{(S)} M_0 M_1 \approx \frac{1 + 0.89}{2} \times 5 \times (-280) \times 1.5 \approx -1985$$

$$x \in [1,5;3]$$



#### Avec:

- L = 1,5 m
- $M_i = 5 \text{ kN.m}$
- $M_i = -250 \text{ kN.m}$

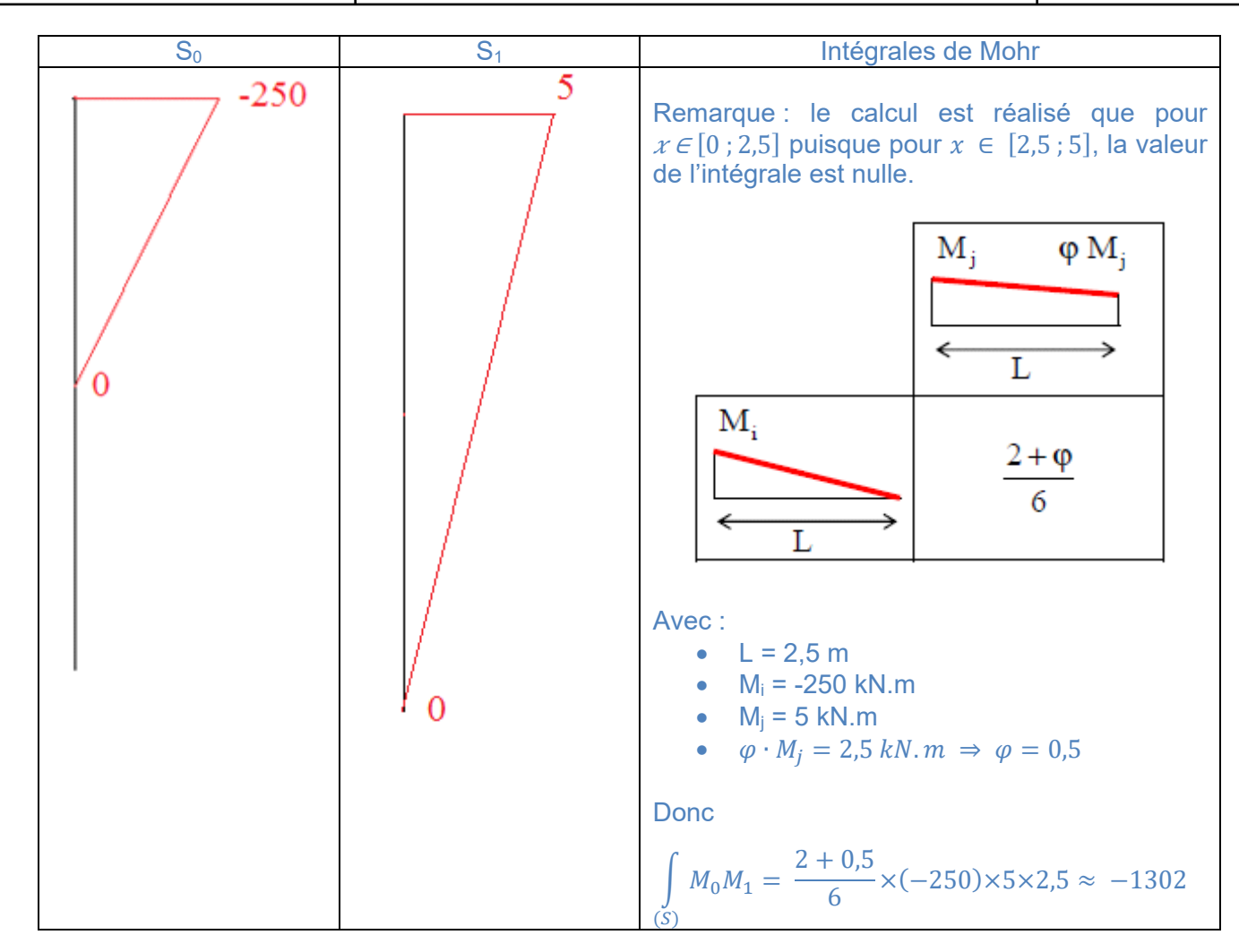
Donc

$$\int_{(S)} M_0 M_1 \approx 5 \times (-250) \times 1,5 \approx -1875$$

Poteau de droite



Page 84/197



Ainsi,

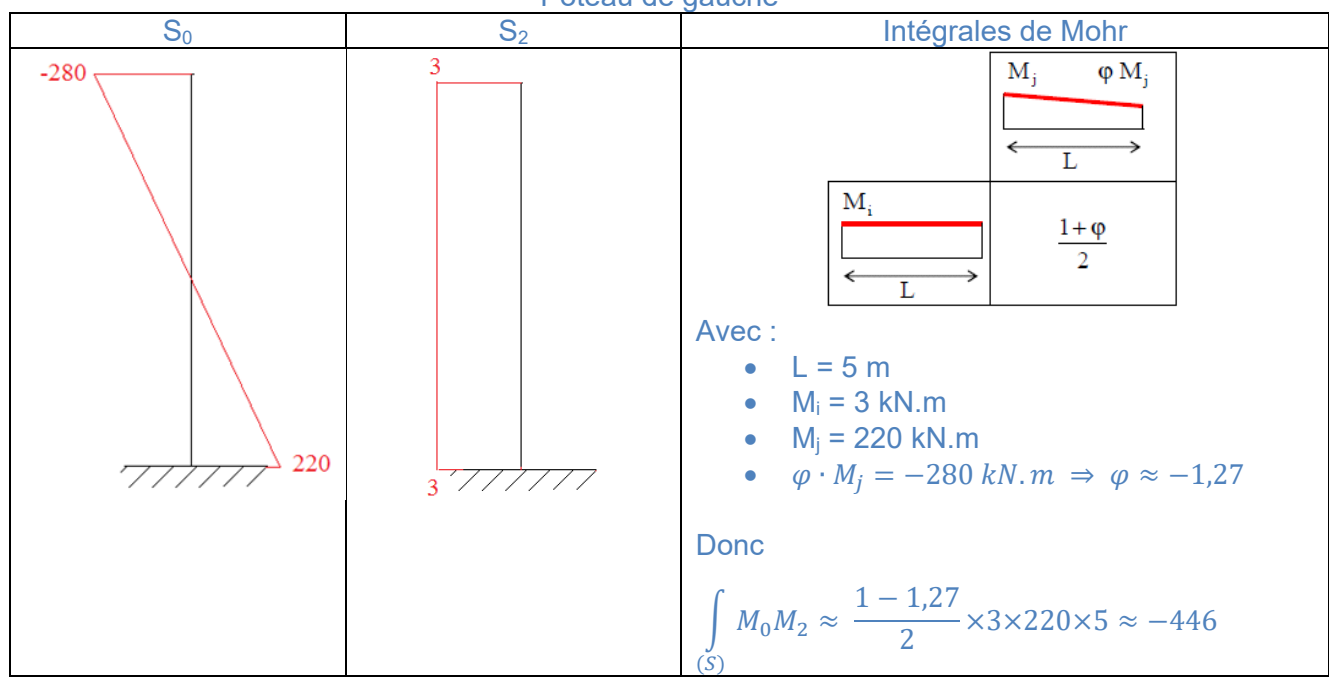
$$EI\delta_{01} = \int_{(S)} M_0 M_1 \approx -1412 - 1985 - 1875 - 1302 \approx -6574$$



Page 85/197

Calcul de  $EI\delta_{02} = \int_{(S)} M_0 M_2$ 

Poteau de gauche



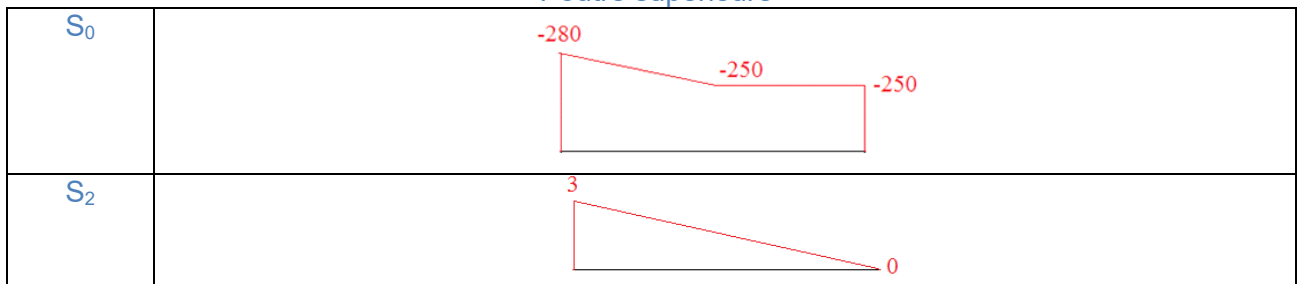
 $x \in [0; 1,5]$ 

# Calcul Structure Bâtiment http://www.csb.bet

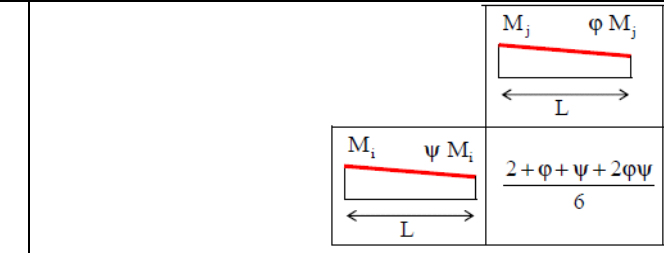


Page 86/197





## Intégrales de Mohr



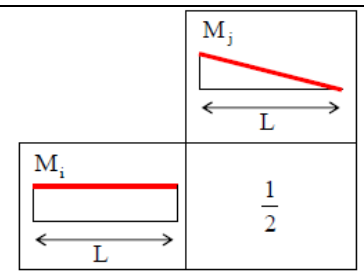
#### Avec:

- L = 1.5 m
- $M_i = 3 \text{ kN.m}$
- $\psi \cdot M_i = 1.5 \text{ kN.m} \Rightarrow \psi = 0.5$
- $M_i = -280 \text{ kN.m}$
- $\varphi \cdot M_i = -250 \text{ kN.m} \Rightarrow \varphi \approx 0.89$

#### Donc

$$\int_{(S)} M_0 M_2 \approx \frac{2 + 0.89 + 0.5 + 2 \times 0.89 \times 0.5}{6} \times 3 \times (-280) \times 1.5 \approx -899$$

#### $x \in [1,5;3]$



#### Avec:

- L = 1,5 m
- $M_i = -250 \text{ kN.m}$
- $M_i = 1,5 \text{ kN.m}$

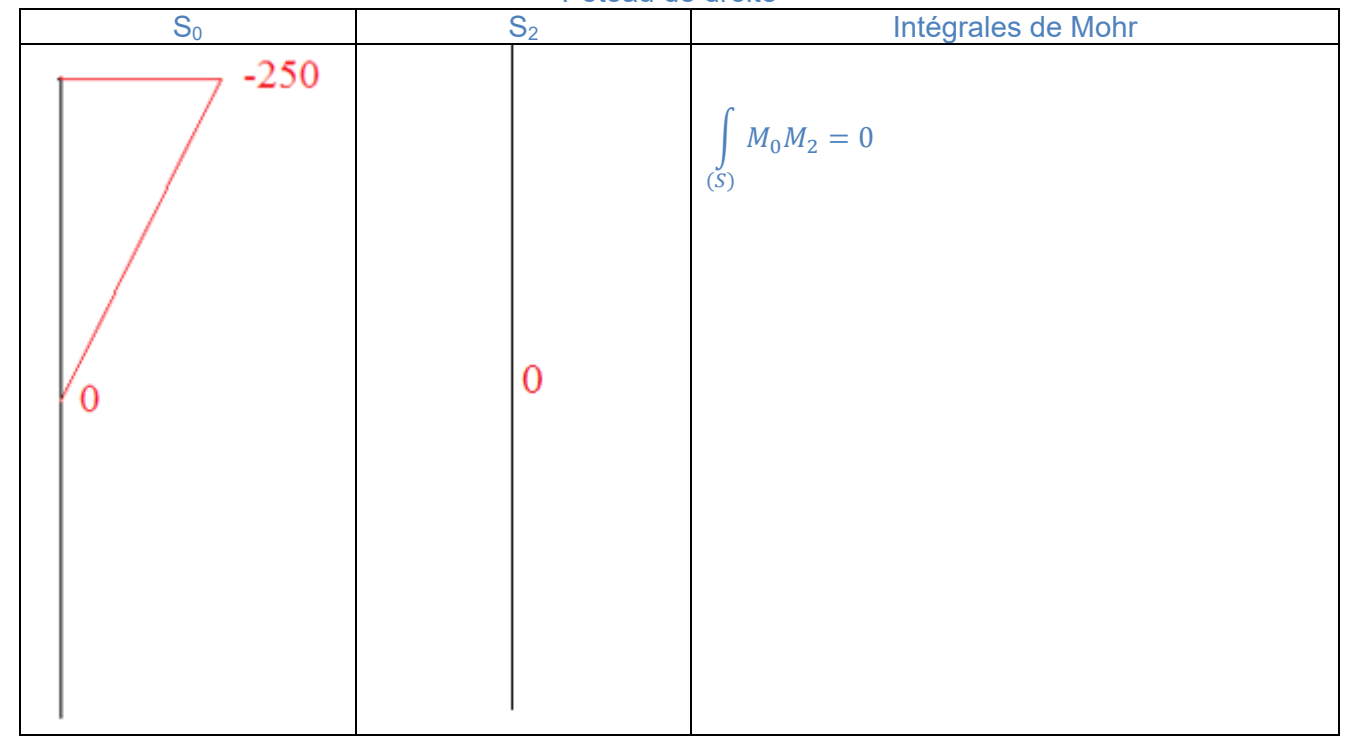
#### Donc

$$\int_{(S)} M_0 M_2 \approx \frac{1}{2} \times 1,5 \times (-250) \times 1,5 \approx -281$$



Page 87/197

Poteau de droite



Ainsi,

$$EI\delta_{02} = \int_{(S)} M_0 M_1 \approx -446 - 899 - 281 + 0 \approx -1626$$

Les calculs suivants (moins détaillés) donnent les résultats suivants :

$$EI\delta_{11} = \int_{(S)} M_1 M_1 \approx 158$$

$$EI\delta_{12} = \int_{(S)} M_1 M_2 = 60$$

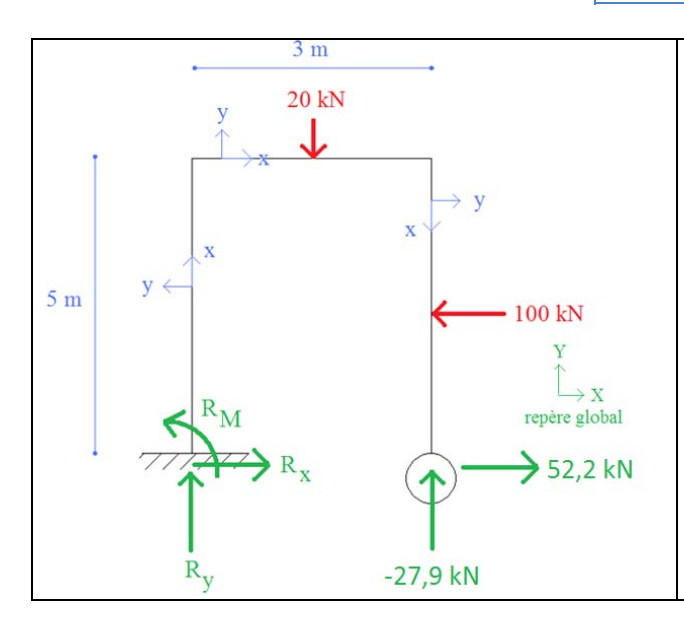
$$EI\delta_{22} = \int_{(S)} M_1 M_2 = 54$$

Le système suivant est ainsi obtenu :

$$\begin{pmatrix} \frac{158}{EI} & \frac{60}{EI} \\ \frac{60}{EI} & \frac{54}{EI} \end{pmatrix} \begin{pmatrix} X_1 \\ X_2 \end{pmatrix} + \begin{pmatrix} \frac{-6574}{EI} \\ \frac{-1626}{EI} \end{pmatrix} = \begin{pmatrix} 0 \\ 0 \end{pmatrix}$$

$$\Leftrightarrow \begin{pmatrix} 158 & 60 \\ 60 & 54 \end{pmatrix} \begin{pmatrix} X_1 \\ X_2 \end{pmatrix} + \begin{pmatrix} -6574 \\ -1626 \end{pmatrix} = \begin{pmatrix} 0 \\ 0 \end{pmatrix}$$

$$\Leftrightarrow \begin{cases} X_1 = 52,2 \text{ kN} \\ X_2 = -27,9 \text{ kN} \end{cases}$$



L'équilibre des forces et des moments donne :

$$R_X + 52.2 - 100 = 0$$

$$\Leftrightarrow R_X = 47.8 \ kN$$

$$R_Y - 27.9 - 20 = 0$$

$$\Leftrightarrow R_Y = 47.9 \, kN$$

$$R_M - 27,9 \times 3 + 100 \times 2,5 - 20 \times 1,5 = 0$$
  
 $\Leftrightarrow R_M = -136,3 \text{ kN. m}$ 

#### Remarque:

Pour connaître les diagrammes de sollicitations, il est possible de déterminer les diagrammes de sollicitations pour les systèmes 0, 1 et et 2 puis de les combiner tel que :

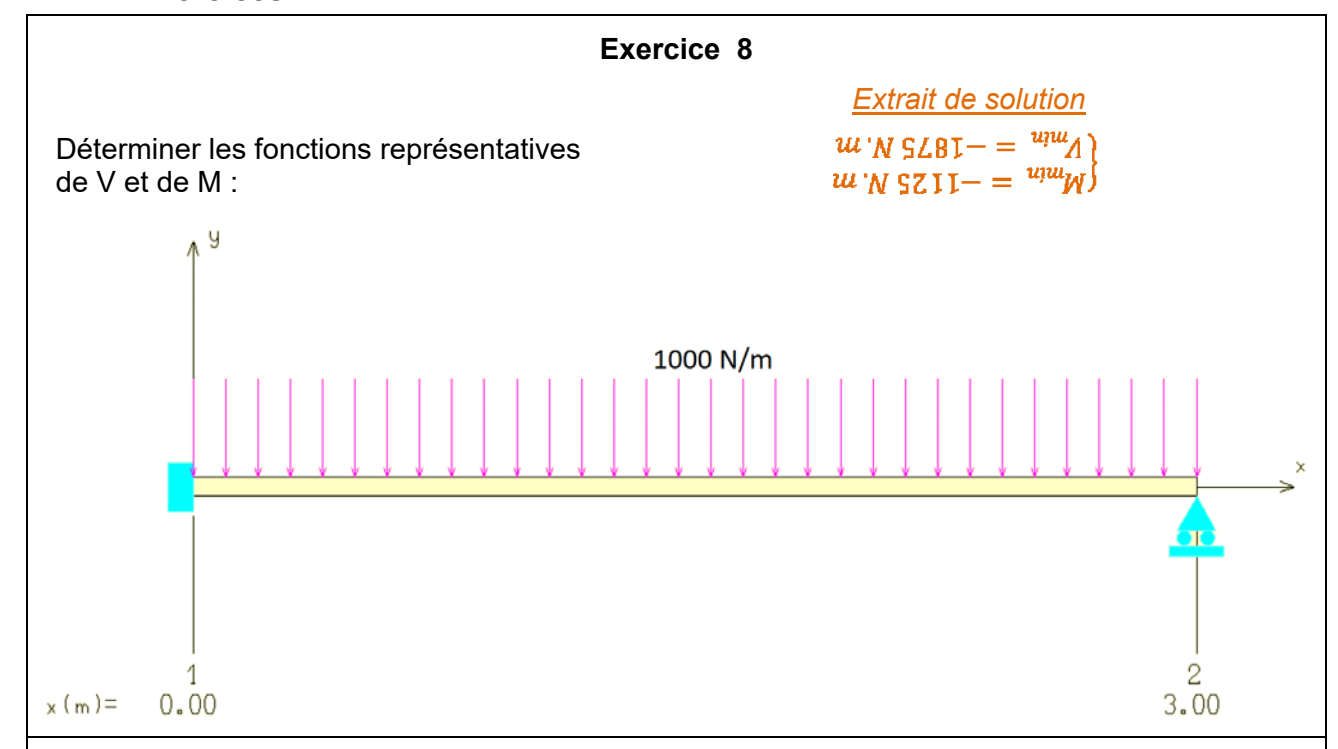
$$S = S_0 + X_1 \cdot S_1 + X_2 \cdot S_2 = \overline{S_0 + 52, 2 \cdot S_1 - 27, 9 \cdot S_2}$$

Cette combinaison est également valable pour le moment fléchissant, l'effort normal, l'effort tranchant ou la flèche.



Page 89/197

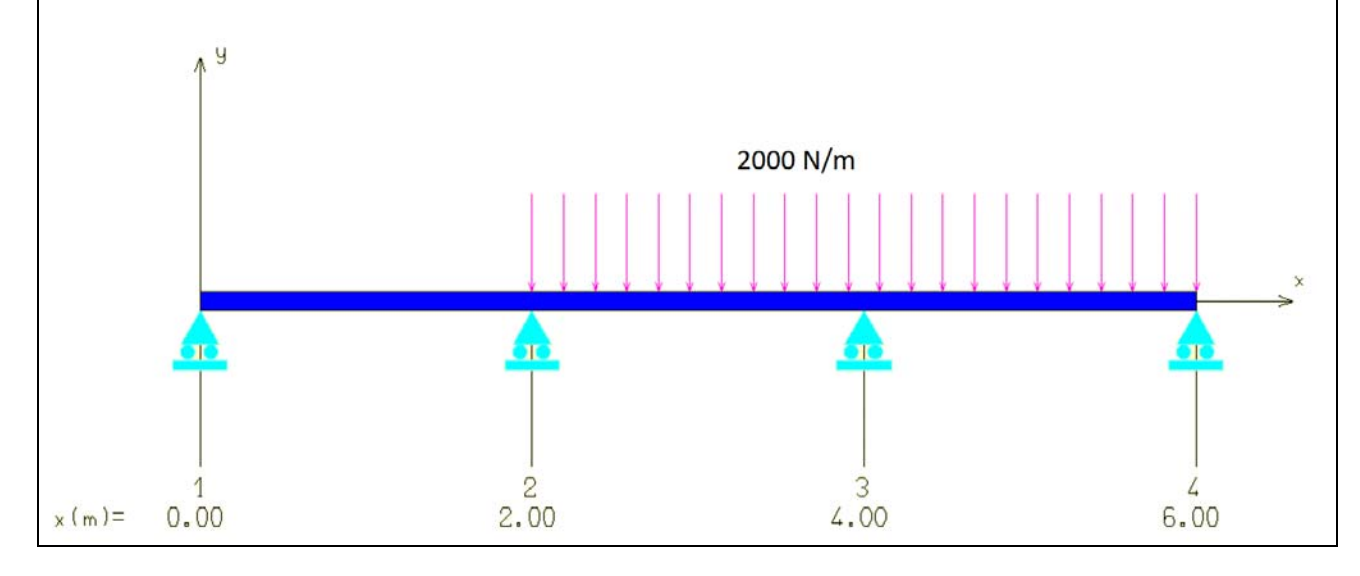
#### 4.11 Exercices





Déterminer les fonctions représentatives de V et de M :

 $\frac{Extrait de solution}{m \cdot N \cdot 882 \approx unm} M$ 

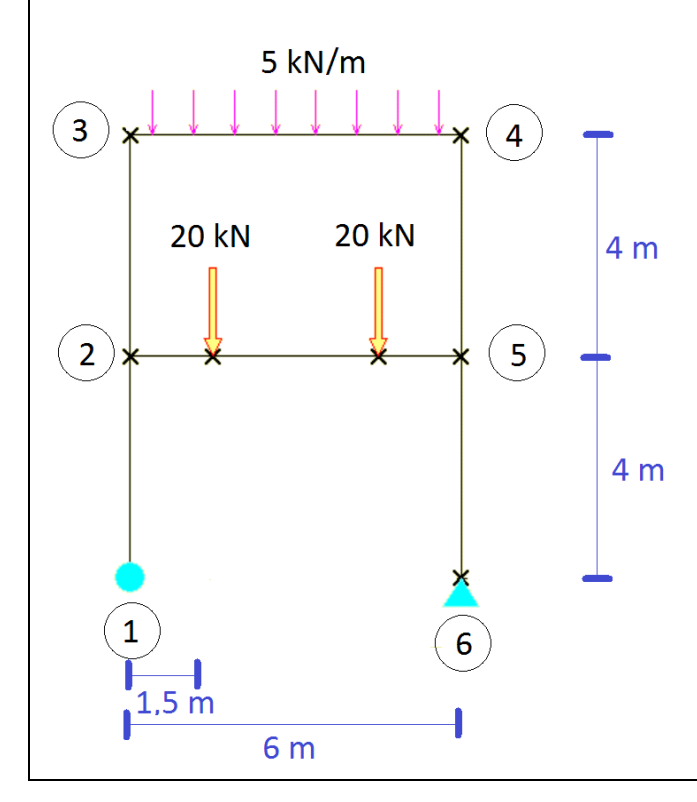




Page 90/197

#### **Exercice 10**

Déterminer le moment maximal au niveau de la poutre 3-4.



#### 4.12 Extraits d'annales

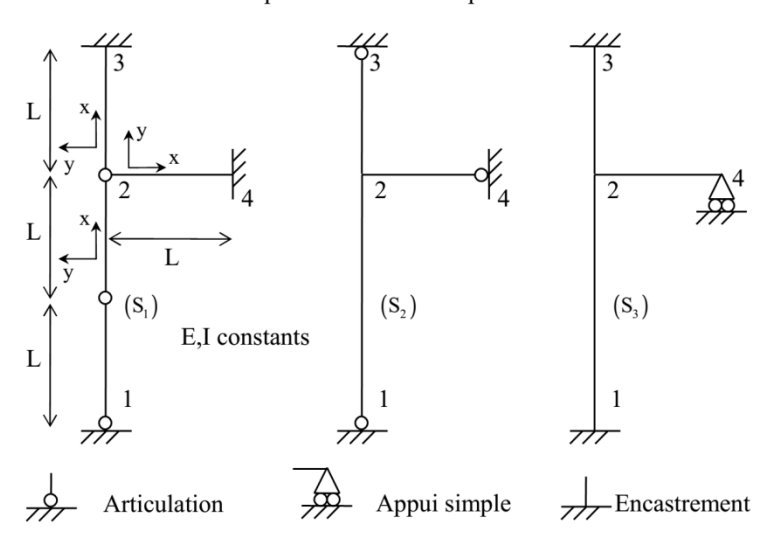
#### Exercice 11 : extrait des annales de novembre 2013

## Partie I : Choix de résolution (3 pts)

Pour chacune des 3 structures suivantes, indiquez si possible :

Pour la méthode des forces :

- Les inconnues hyperstatiques
- Une structure isostatique associée
- La définition des équations à mettre en place





Page 91/197

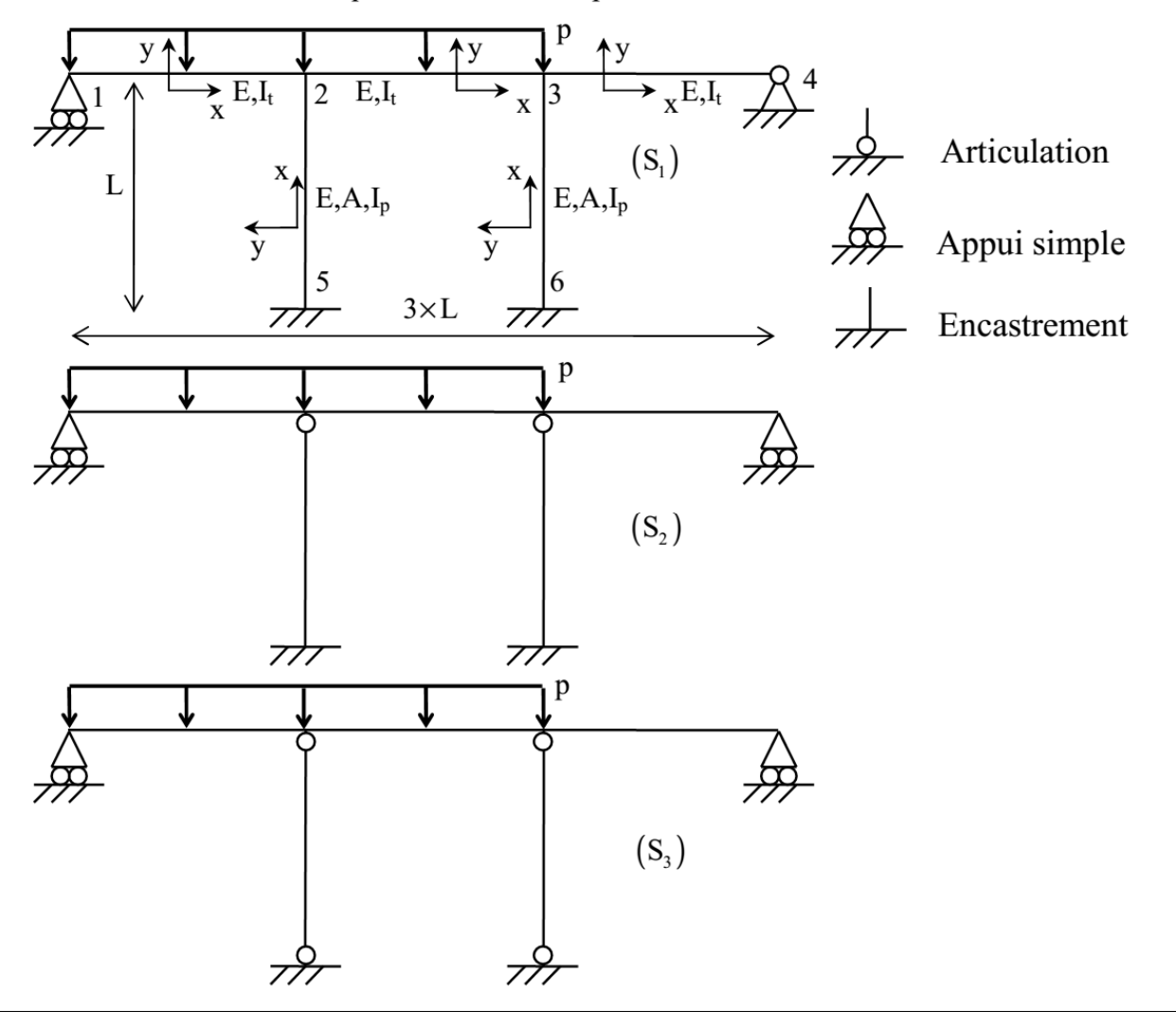
#### Exercice 12 : extrait des annales de décembre 2014

# Partie I: Choix de résolution (3 pts)

Pour chacun des 3 problèmes suivants, indiquez si possible :

Pour la méthode des forces :

- Les inconnues hyperstatiques
- Une structure isostatique associée
- La définition des équations à mettre en place



#### 4.13 Solutions

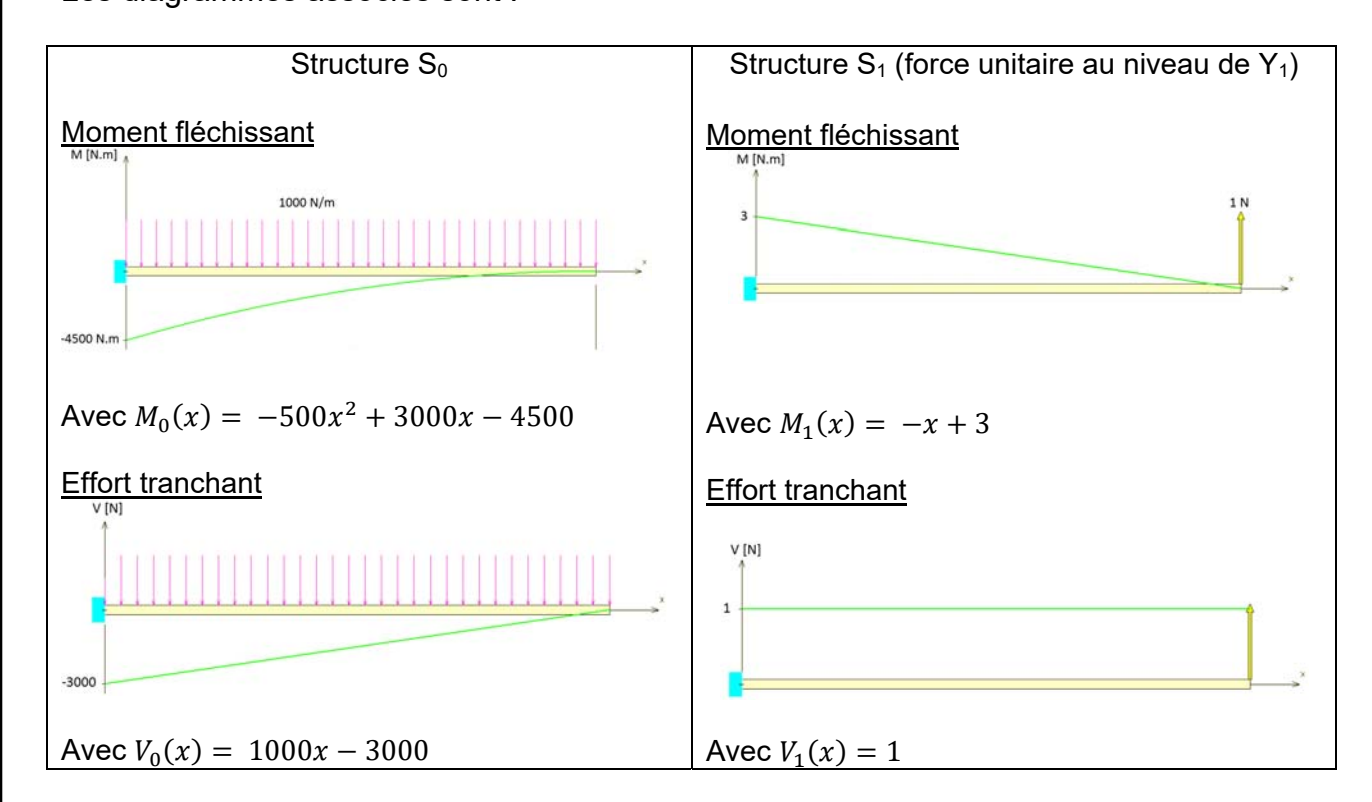
#### 4.13.1 Solution 8

La structure est hyperstatique de degré 1.

« Supprimons » l'appui simple pour obtenir une structure isostatique associée et posons Y₁ la réaction d'appui au niveau de l'appui simple.

$$S = S_0 + Y_1 \cdot S_1$$

Les diagrammes associés sont :



Ensuite, si on néglige les déformations de l'effort tranchant et de l'effort normal devant celles du moment fléchissant :

• 
$$EI\delta_{11} = \int_0^3 M_1 M_1 dx = \int_0^3 (-x+3)^2 dx = 9$$

• 
$$EI\delta_{11} = \int_0^3 M_1 M_1 dx = \int_0^3 (-x+3)^2 dx = 9$$
  
•  $EI\delta_{01} = \int_0^3 M_0 M_1 dx = \int_0^3 (-500x^2 + 3000x - 4500)(-x+3) dx = -10125$ 

#### Remarque:

Il aurait été possible d'utiliser les intégrales de Mohr comme dans l'exemple du cours.

Il convient de résoudre le système suivant :  $\delta_{11} \times Y_1 + \delta_{01} = 0$  $\Leftrightarrow 9Y_1 - 10125 = 0$ 

$$\Leftrightarrow 9Y_1 - 10125 = \\ \Leftrightarrow Y_1 = 1125 N$$

Puisque  $S = S_o + Y_1 \cdot S_1$ 

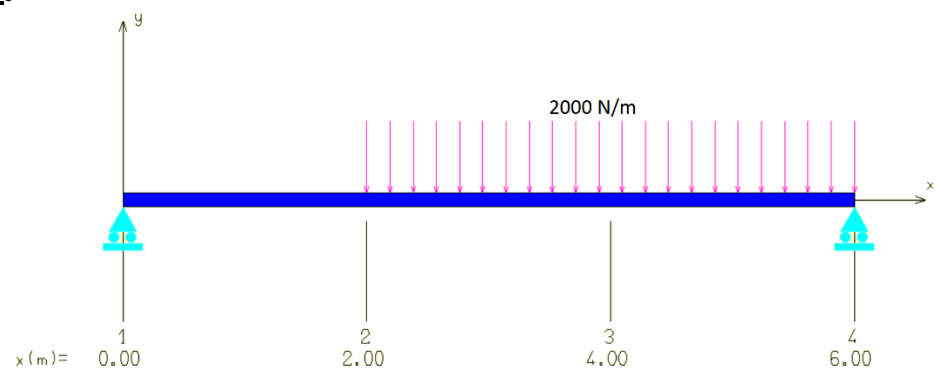
Alors 
$$\begin{cases} M(x) = M_0(x) + 1125M_1(x) = \boxed{-500x^2 + 1875x - 1125} \\ V(x) = V_0(x) + 1125V_1(x) = \boxed{1000x - 1875} \end{cases}$$

#### 4.13.2 Solution 9

La structure est hyperstatique de degré 2.

« Supprimons » les appuis simples au niveau des nœuds 2 et 3 pour obtenir une structure isostatique associée et posons Y<sub>2</sub> et Y<sub>3</sub> les réactions d'appui.

#### Structure S<sub>0</sub>

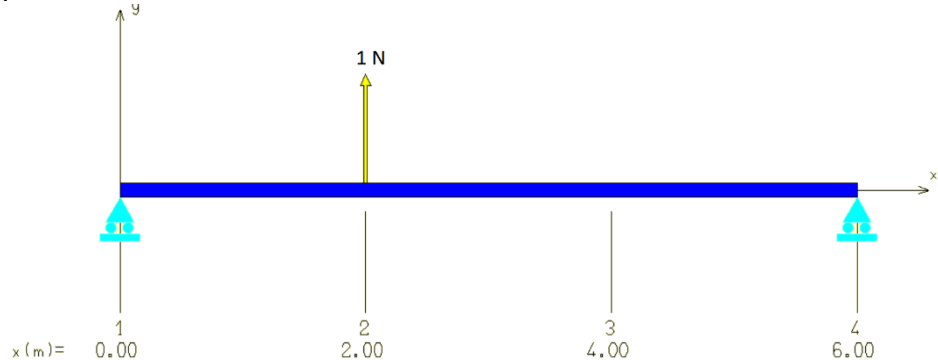


## Moment fléchissant Mo

D'après les annexes :

0 < x < 2	$M_0(x) = 2667x$
2 < x < 6	$M_0(x) = -1000x^2 + 6667x - 4000$

## Structure S<sub>1</sub>



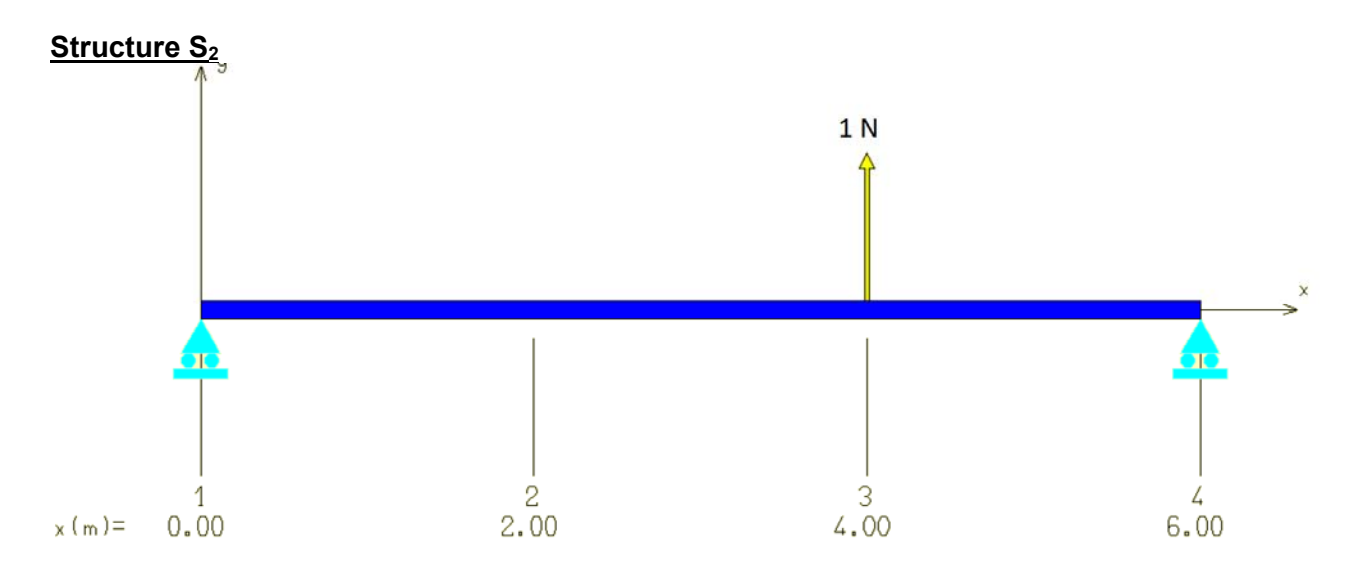
## Moment fléchissant M<sub>1</sub>

D'après les annexes :

0 < x < 2	$M_1(x) = -0.67x$
2 < x < 6	$M_1(x) = 0.33x - 2$



Page 94/197



#### Moment fléchissant M2

D'après les annexes :

0 < x < 4	$M_2(x) = -0.33x$
4 < x < 6	$M_2(x) = 0.67x - 4$

#### En résumé :

	Structure S <sub>0</sub>	Structure S <sub>1</sub>	Structure S <sub>2</sub>
0 < x < 2	$M_0(x) = 2667x$	$M_1(x) = -0.67x$	$M_2(x) = -0.33x$
2 < x < 4	$M_0(x) = -1000x^2 + 6667x - 4000$	$M_1(x) = 0.33x - 2$	$M_2(x) = -0.33x$
4 < x < 6	$M_0(x) = -1000x^2 + 6667x - 4000$	$M_1(x) = 0.33x - 2$	$M_2(x) = 0.67x - 4$

Ensuite, si on néglige les déformations de l'effort tranchant et de l'effort normal devant celles du moment fléchissant :

$$EI\delta_{11} = \int_{0}^{6} M_{1}M_{1}dx = \int_{0}^{2} (-0.67x)^{2}dx + \int_{2}^{6} (0.33x - 2)^{2}dx = 3.6275$$

$$EI\delta_{22} = \int_{0}^{6} M_{2}M_{2}dx = \int_{0}^{2} (-0.33x)^{2}dx + \int_{4}^{4} (0.67x - 4)^{2}dx = 3.4674$$

$$EI\delta_{12} = \int_{0}^{6} M_{1}M_{2}dx = \int_{0}^{6} (-0.67x)(-0.33x)dx + \int_{2}^{4} (0.33x - 2)(-0.33x)dx + \int_{4}^{6} (0.33x - 2)(0.67x - 4)dx = 3.1192$$

$$EI\delta_{01} = \int_{0}^{6} M_{0}M_{1}dx = \int_{0}^{6} (2667x)(-0.67x)dx + \int_{2}^{6} (-1000x^{2} + 6667x - 4000)(0.33x - 2)dx = -21621$$

$$EI\delta_{02} = \int_{0}^{6} M_{0}M_{2}dx$$

$$= \int_{0}^{2} (2667x)(-0.33x)dx + \int_{2}^{4} (-1000x^{2} + 6667x - 4000)(-0.33x)dx + \int_{4}^{6} (-1000x^{2} + 6667x - 4000)(0.67x - 4)dx$$

$$= -22387$$

#### Remarque:

Il aurait été possible d'utiliser les intégrales de Mohr comme dans l'exemple du cours.

Il convient de résoudre l'équation suivante :  $\begin{pmatrix} \delta_{11} & \delta_{12} \\ \delta_{12} & \delta_{22} \end{pmatrix} \begin{pmatrix} Y_2 \\ Y_3 \end{pmatrix} + \begin{pmatrix} \delta_{01} \\ \delta_{02} \end{pmatrix} = \begin{pmatrix} 0 \\ 0 \end{pmatrix}$ 

$$\Leftrightarrow \begin{pmatrix} 3,6275 & 3,1192 \\ 3,1192 & 3,4674 \end{pmatrix} \begin{pmatrix} Y_2 \\ Y_3 \end{pmatrix} + \begin{pmatrix} -21621 \\ -22387 \end{pmatrix} = \begin{pmatrix} 0 \\ 0 \end{pmatrix}$$

$$\Leftrightarrow \begin{pmatrix} Y_2 \\ Y_3 \end{pmatrix} = \begin{pmatrix} 3,6275 & 3,1192 \\ 3,1192 & 3,4674 \end{pmatrix}^{-1} \begin{pmatrix} 21621 \\ 22387 \end{pmatrix} = \begin{pmatrix} 1804 & N \\ 4833 & N \end{pmatrix}$$

Puisque

$$S = S_0 + Y_2 \cdot S_1 + Y_3 \cdot S_2$$

**Alors** 

$$M(x) = M_0(x) + 1804M_1(x) + 4833M_2(x)$$

Et puisque

$$V(x) = -\frac{dM(x)}{dx}$$

La réponse est finalement :

0 < x < 2	M(x) = -137x $V(x) = 137$
	V(x) = 137
2 < x < 4	$M(x) = -1000x^2 + 5667x - 7608$ $V(x) = 2000x - 5667$
	V(x) = 2000x - 5667
4 < x < 6	$M(x) = -1000x^2 + 10500x - 26940$ $V(x) = 2000x - 10500$
	V(x) = 2000x - 10500

#### 4.13.3 Solution 10

Calcul du degré d'hyperstaticité

	Nombre d'inconnues Nombre d'équations							
Nœud	Liaison	Eléments concernés	Nombre d'inconnues					
1	Rotule	Extérieur Poutre 1-2	2					
2	encastrement	Poutre 1-2 Poutre 2-3 Poutre 2-5	2×3 = 6					
3	encastrement	Poutre 2-3 Poutre 3-4	3	II y a 6 poutres donc :				
4	encastrement	Poutre 3-4 Poutre 4-5	3	$6 \times 3 = 18$ équations				
5	encastrement	Poutre 2-5 Poutre 4-5 Poutre 5-6	2×3 = 6					
6	Appui simple	Extérieur Poutre 5-6	1					
		Total	21					

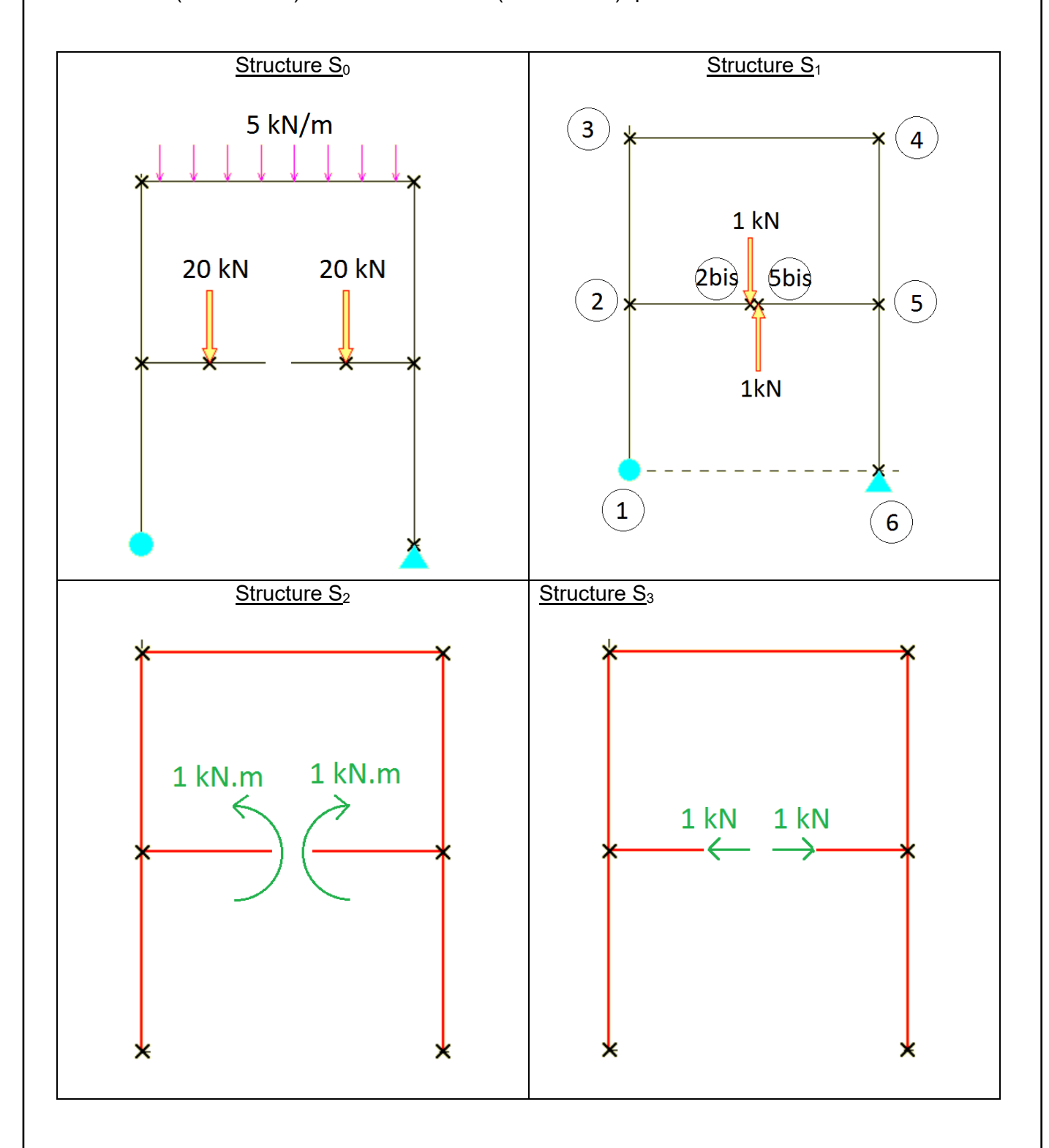
Le degré d'hyperstaticité est égal à :

$$h = 21 - 18 = 3$$

Puisqu'aucun mouvement n'est possible, la structure est hyperstatique de degré 3. <u>Structures isostatiques associées</u>

Pour libérer 3 degrés de liberté, créons une coupure entre les forces ponctuelles (structure S<sub>0</sub>).

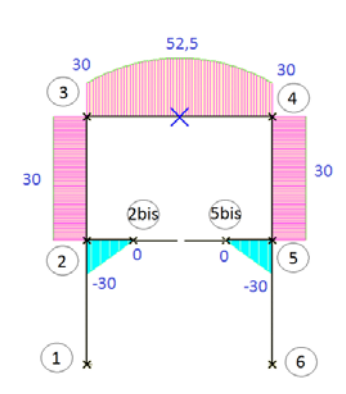
Puis au niveau de la coupure, il faut tenir compte de l'effort tranchant (structure  $S_1$ ), du moment fléchissant (structure  $S_2$ ) et de l'effort normal (structure  $S_3$ ) qui existent dans la structure initiale.





## Moment fléchissant

## Structure S<sub>0</sub>



Poutre 1-2 et 5-6 :  $M_0(x) = 0$ 

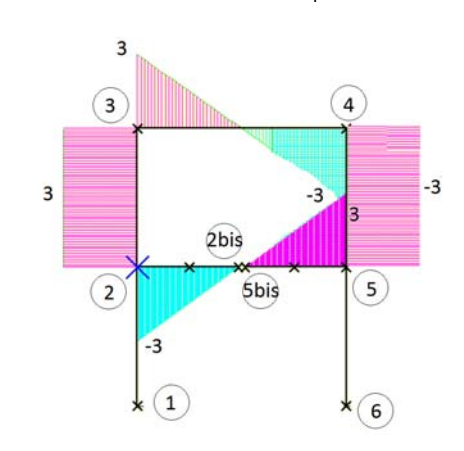
Poutre 2-3 et 4-5 :  $M_0(x) = 30$ 

Poutre 2-2bis :  $M_0(x) = \begin{cases} -30 + 20x \ pour \ 0 < x < 1.5 \\ 0 \ pour \ 1.5 < x < 3 \end{cases}$ 

Poutre 5bis-5 :  $M_0(x) = \begin{cases} 0 \ pour \ 0 < x < 1,5 \\ -20x + 30 \ pour \ 1,5 < x < 3 \end{cases}$ 

Poutre 3-4 :  $M_0(x) = -2.5x^2 + 15x + 30$ 

#### Structure S<sub>1</sub>



Poutre 1-2 et 5-6 :  $M_1(x) = 0$ 

Poutre 2-3 :  $M_1(x) = 3$ 

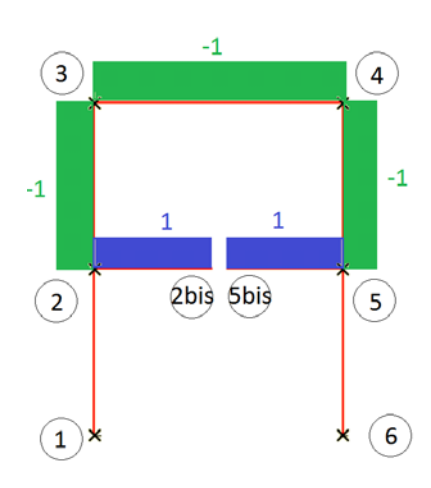
Poutre 4-5 :  $M_1(x) = -3$ 

Poutre 2-2bis :  $M_1(x) = -3 + x$ 

Poutre 5bis-5 :  $M_1(x) = x$ 

Poutre 3-4 :  $M_1(x) = 3 - x$ 

## Structure S<sub>2</sub>



Poutre 1-2 et 5-6 :  $M_2(x) = 0$ 

Poutre 2-3 :  $M_2(x) = -1$ 

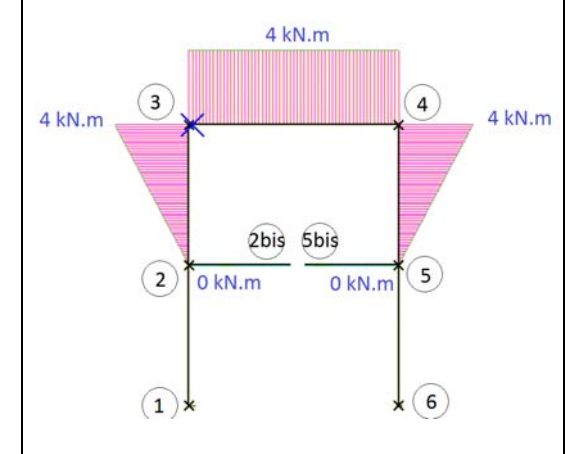
Poutre 4-5 :  $M_2(x) = -1$ 

Poutre 2-2bis :  $M_2(x) = 1$ 

Poutre 5bis-5 :  $M_2(x) = 1$ 

Poutre 3-4 :  $M_2(x) = -1$ 

## Structure $S_3$



Poutre 1-2 et 5-6 :  $M_3(x) = 0$ 

Poutre 2-3 :  $M_3(x) = x$ 

Poutre 4-5 :  $M_3(x) = 4 - x$ 

Poutre 2-2bis :  $M_3(x) = 0$ 

Poutre 5bis-5 :  $M_3(x) = 0$ 

Poutre 3-4 :  $M_3(x) = 4$ 



Page 98/197

## Résultats des intégrales $\int M_i M_i$

Poutres	$EI\delta_{11}$	$EI\delta_{22}$	$EI\delta_{33}$	$EI\delta_{12}$	$EI\delta_{13}$	$EI\delta_{23}$	$EI\delta_{01}$	$EI\delta_{02}$	$EI\delta_{03}$
1-2	0	0	0	0	0	0	0	0	0
2-3	36	4	21,33	-12	24	-8	360	-120	240
3-4	18	6	96	0	0	-24	0	-270	1080
4-5	36	4	21,33	12	-24	-8	-360	-120	240
5-6	0	0	0	0	0	0	0	0	0
2-2bis	9	3	0	-4,5	0	0	56,25	-22,5	0
5-5bis	9	3	0	4,5	0	0	-56,25	-22,5	0
total	108	20	138,67	0	0	-40	0	-555	1560

En posant que :

$$S = S_0 + X_1 \cdot S_1 + X_2 \cdot S_2 + X_3 \cdot S_3$$

Il vient que :

$$EI \begin{pmatrix} 108 & 0 & 0 \\ 0 & 20 & -40 \\ 0 & -40 & 138,67 \end{pmatrix} \begin{pmatrix} X_1 \\ X_2 \\ X_3 \end{pmatrix} + \begin{pmatrix} 0 \\ -555 \\ 1560 \end{pmatrix} = \begin{pmatrix} 0 \\ 0 \\ 0 \end{pmatrix}$$

$$\Rightarrow \begin{pmatrix} X_1 \\ X_2 \\ X_3 \end{pmatrix} = \begin{pmatrix} 72 & 0 & 0 \\ 0 & 20 & -40 \\ 0 & -40 & 138,67 \end{pmatrix}^{-1} \begin{pmatrix} 0 \\ 555 \\ -1560 \end{pmatrix} = \begin{pmatrix} 0 \\ 12,41 \\ -7,67 \end{pmatrix}$$

Au final, au niveau de la poutre 3-4, le moment est égal à :

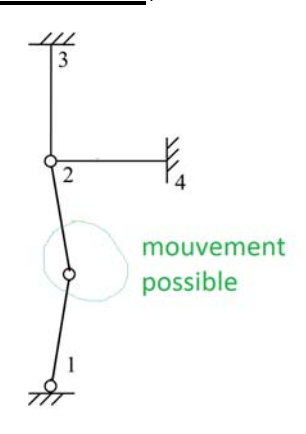
$$M(x) = M_0(x) + 12.41 \cdot M_2(x) - 7.67M_3(x)$$
  
= -2.5x<sup>2</sup> + 15x + 30 + 12.41×(-1) - 7.67×4  
= -2.5x<sup>2</sup> + 15x - 13.09

Le moment maximal est au niveau du centre de la poutre, donc :

$$M(x = 3m) = -2.5 \times 3^2 + 15 \times 3 - 13.09 = 9.41 \text{ kN.m}$$

#### 4.13.4 Solution 11

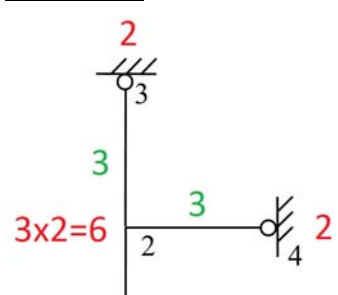
#### Structure S<sub>1</sub>



Il existe une possibilité de mouvement à cause des rotules, donc la structure est hypostatique. La méthode des forces ne s'applique donc pas.

## Structure S2

3



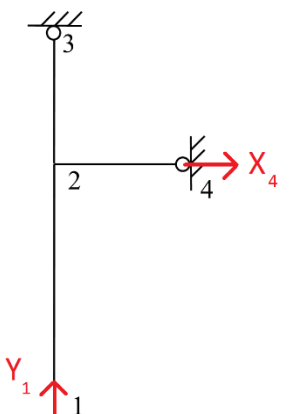
nombre d'équations nombre d'inconnues

12 inconnues

9 équations

H=3

Puisqu'aucun mouvement n'est possible, la structure est hyperstatique de degré 3.



On peut par exemple libérer

- la rotule en 1 (le nœud 1 devient une extrémité libre)
- le déplacement horizontal en 4 (le nœud 4 devient alors un appui simple).

Les inconnues hyperstatiques sont donc :

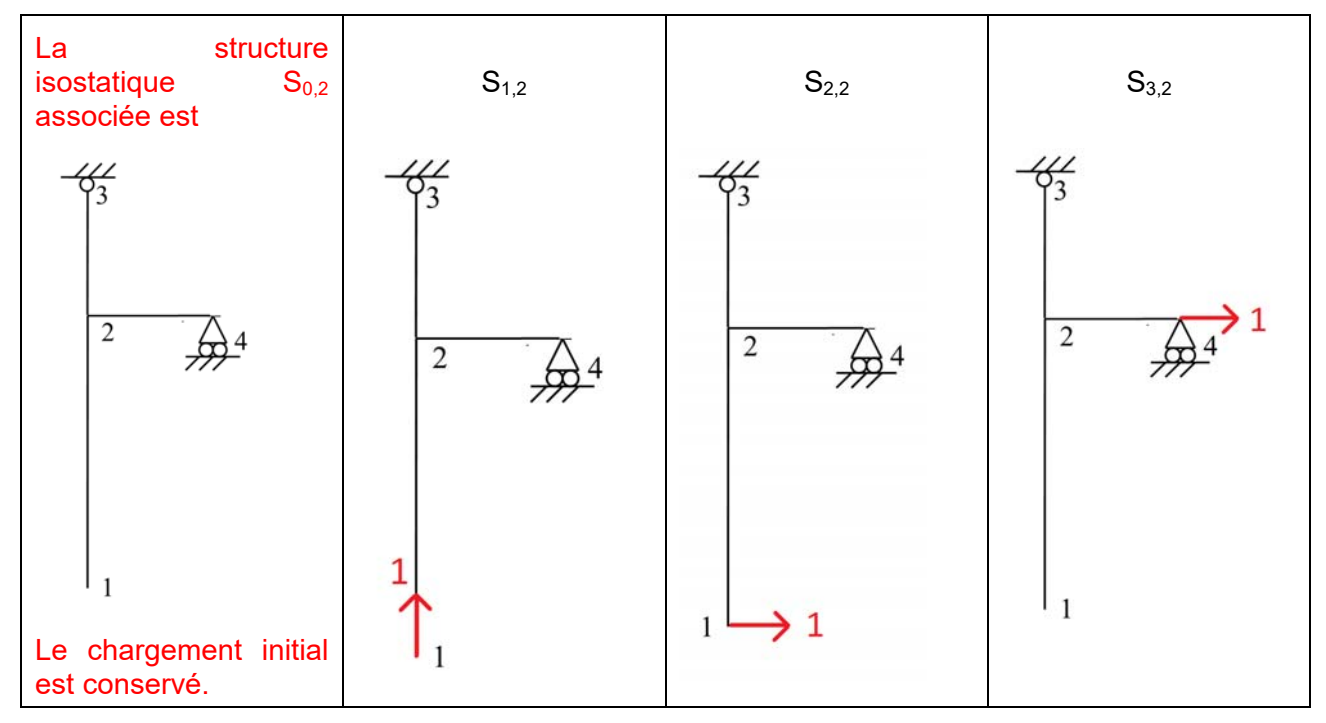
 $Y_1$ ,  $X_1$  et  $X_4$ .

Les équations sont de type cinématique puisque :

$$U_1 = V_1 = X_4 = 0$$



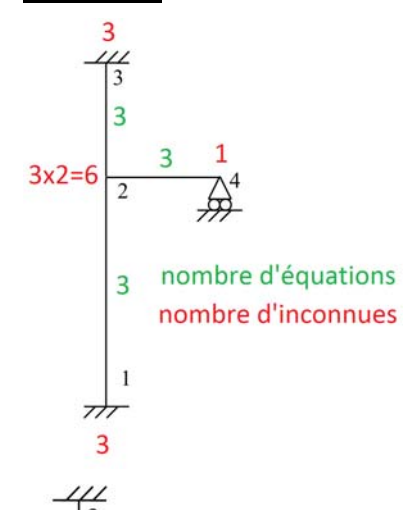
Page 100/197



Avec:

$$S_2 = S_{0,2} + Y_1 S_{1,2} + X_1 S_{2,2} + X_4 S_{3,2}$$

#### Structure S3



13 inconnues

9 équations

H=4

Puisqu'aucun mouvement n'est possible, la structure est hyperstatique de degré 4.

On peut par exemple libérer

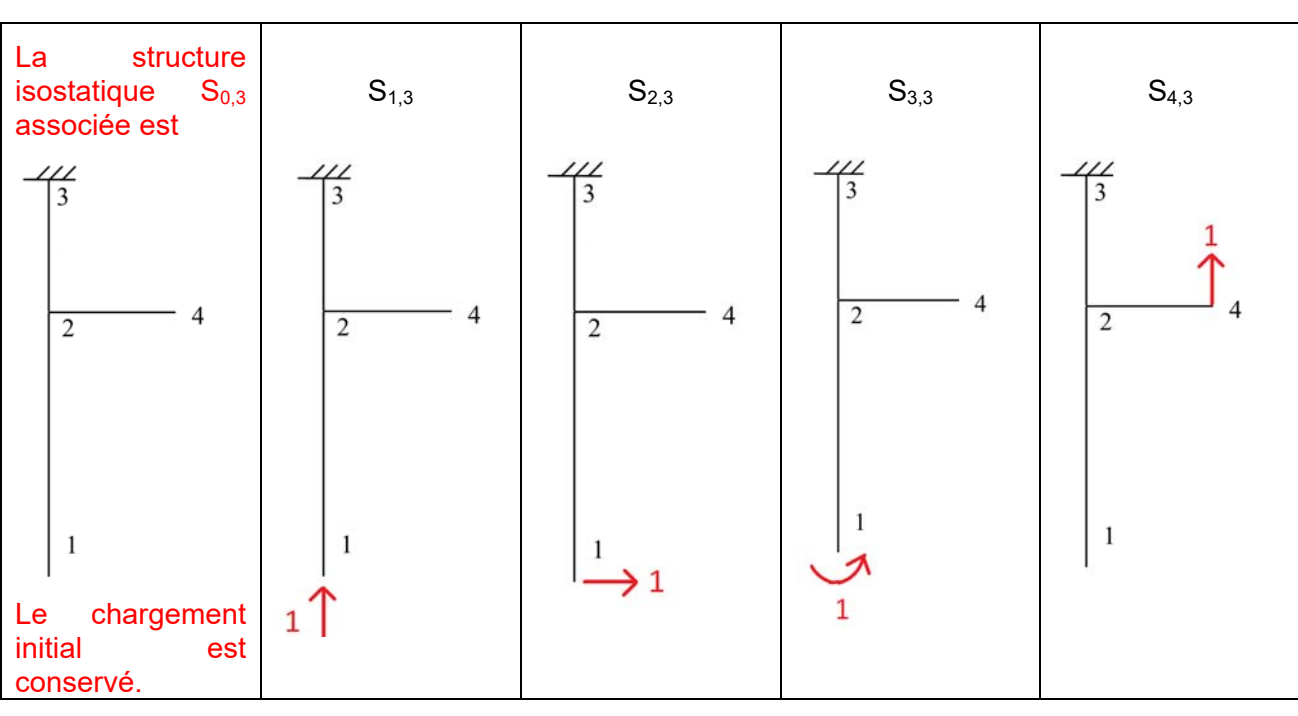
- l'encastrement en 1 (le nœud 1 devient une extrémité libre)
- l'appui simple en 4 (le nœud 4 devient une extrémité libre).

Les inconnues hyperstatiques sont donc :

 $Y_1, X_1, M_1 \text{ et } Y_4.$ 

Les équations sont de type cinématique puisque :

$$\{ \begin{matrix} U_1 = V_1 = V_4 = 0 \\ \Omega_1 = 0 \end{matrix}$$

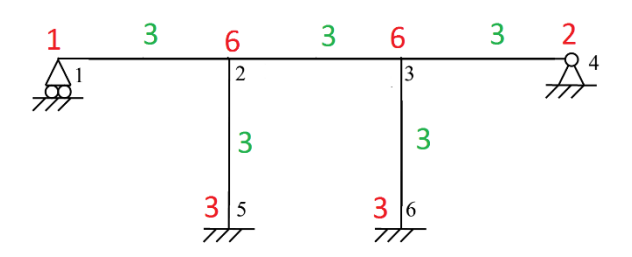


Avec:

$$S_3 = S_{0,3} + Y_1 S_{132} + X_1 S_{2,3} + M_1 S_{3,3} + Y_4 S_{4,3}$$

#### 4.13.5 Solution 12

#### Structure S<sub>1</sub>



21 inconnues

15 équations

H=6

Puisqu'aucun mouvement n'est possible, la structure est hyperstatique de degré 6.

nombre d'équations nombre d'inconnues

On peut par exemple libérer

- L'encastrement en 5 (le nœud 5 devient une extrémité libre)
- L'encastrement en 6 (le nœud 6 devient alors une extrémité libre).

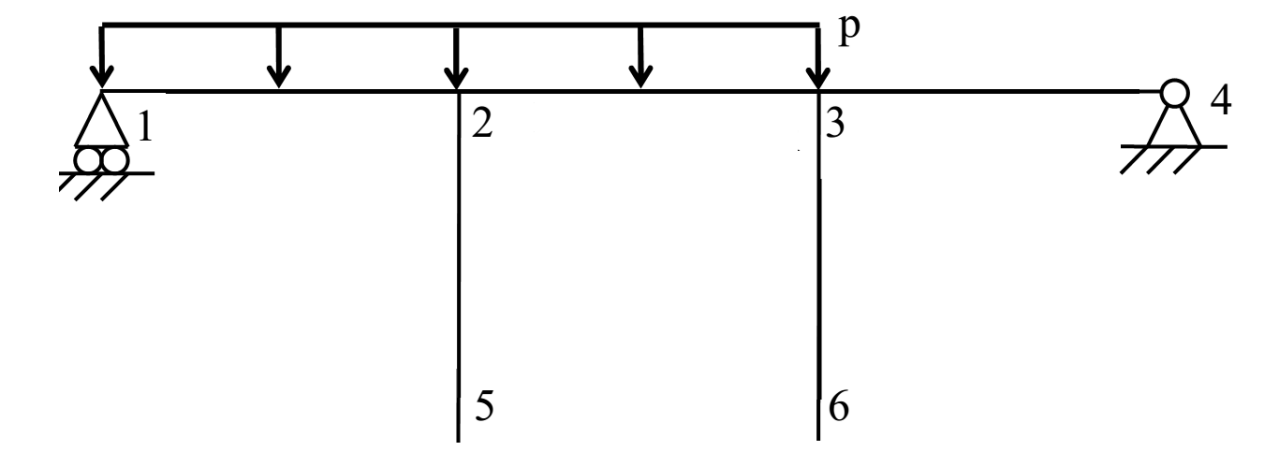
Les inconnues hyperstatiques sont donc :

$$X_5\,,\,Y_5,\,M_5,\,X_6\,,\,Y_6$$
 et  $M_6.$ 

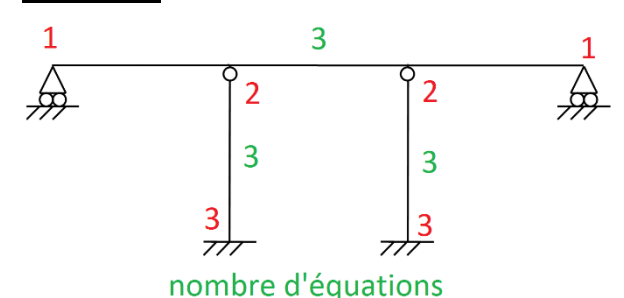
Les équations sont de type cinématique puisque :

$$\begin{cases} U_5 = V_5 = U_6 = V_6 = 0 \\ \Omega_5 = \Omega_6 = 0 \end{cases}$$

La structure isostatique S<sub>0,1</sub> associée est



## Structure S2



nombre d'inconnues

12 inconnues

9 équations

H=3

Puisqu'aucun mouvement n'est possible, la structure est hyperstatique de degré 3.

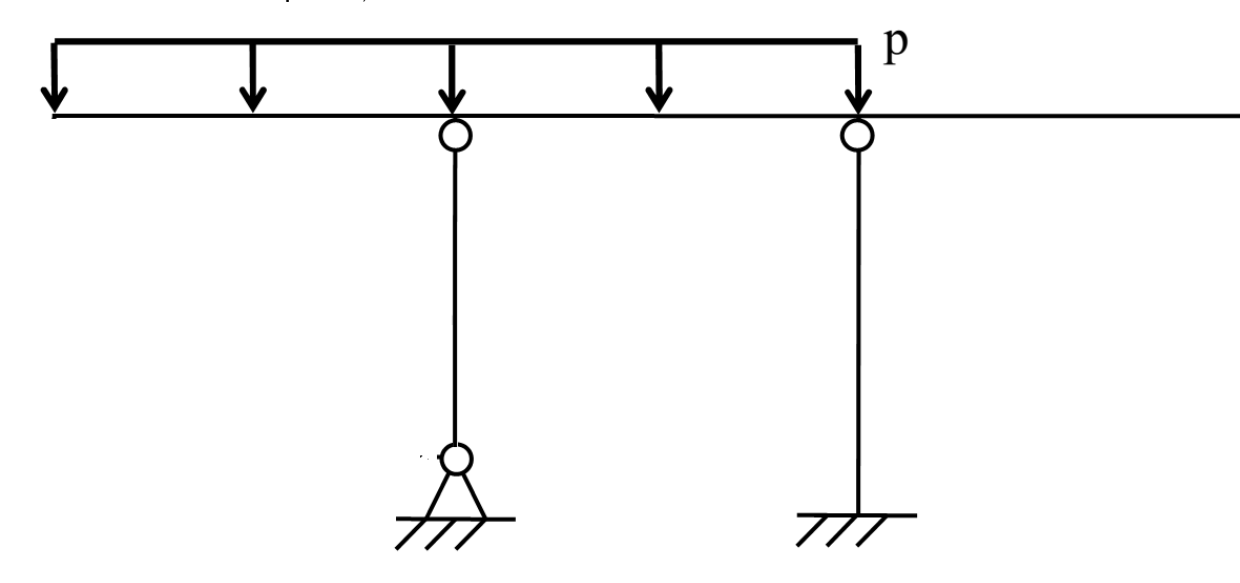
On peut par exemple libérer

- La rotation en 5 (le nœud 5 devient une rotule)
- Le déplacement vertical en 1 (le nœud 1 devient alors une extrémité libre)
- Le déplacement vertical en 4 (le nœud 4 devient alors une extrémité libre)

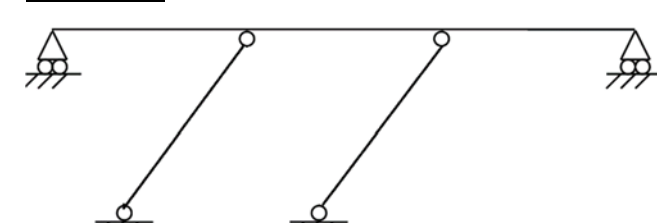
Les inconnues hyperstatiques sont donc : M5, Y1 et Y4

Les équations sont de type cinématique puisque :  $\begin{cases} V_1 = V_4 = 0 \\ \Omega_5 = 0 \end{cases}$ 

La structure isostatique S<sub>0,2</sub> associée est



#### Structure S<sub>3</sub>



Il existe une possibilité de mouvement à cause des rotules, donc la structure est hypostatique. La méthode des forces ne s'applique donc pas.



Page 104/197

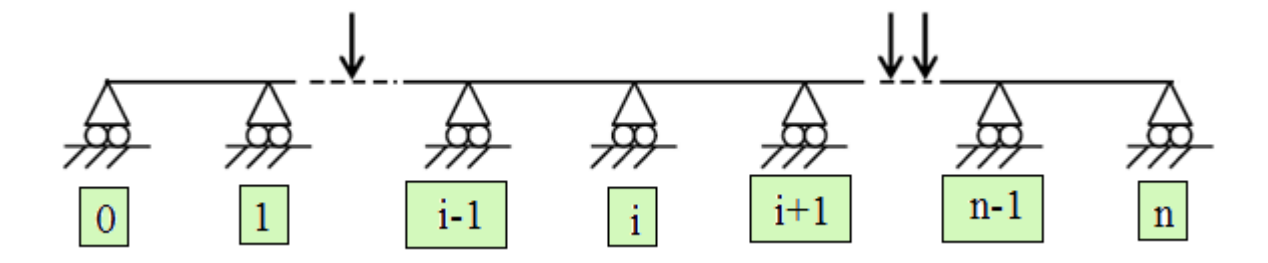
#### 5. Méthode des trois moments

## 5.1 Domaine d'application

- Poutre droite continue
- Appuis simples (trois ou plus) fixes horizontalement (les déplacements verticaux différentiels sont autorisés)
- Inertie constante pour chaque travée
- Module de Young constant pour chaque travée
- Déformations d'effort tranchant négligées
- Pas d'effort normal

#### 5.2 Résultats de la méthode

La poutre est composée de (n+1) sommets,



La méthode des trois moments permet d'obtenir les moments fléchissants au niveau des appuis.

A l'appui i, le moment est noté par la suite : Mi.

Les réactions d'appuis sont calculées à partir de la différence d'effort tranchant de part et d'autre des appuis.

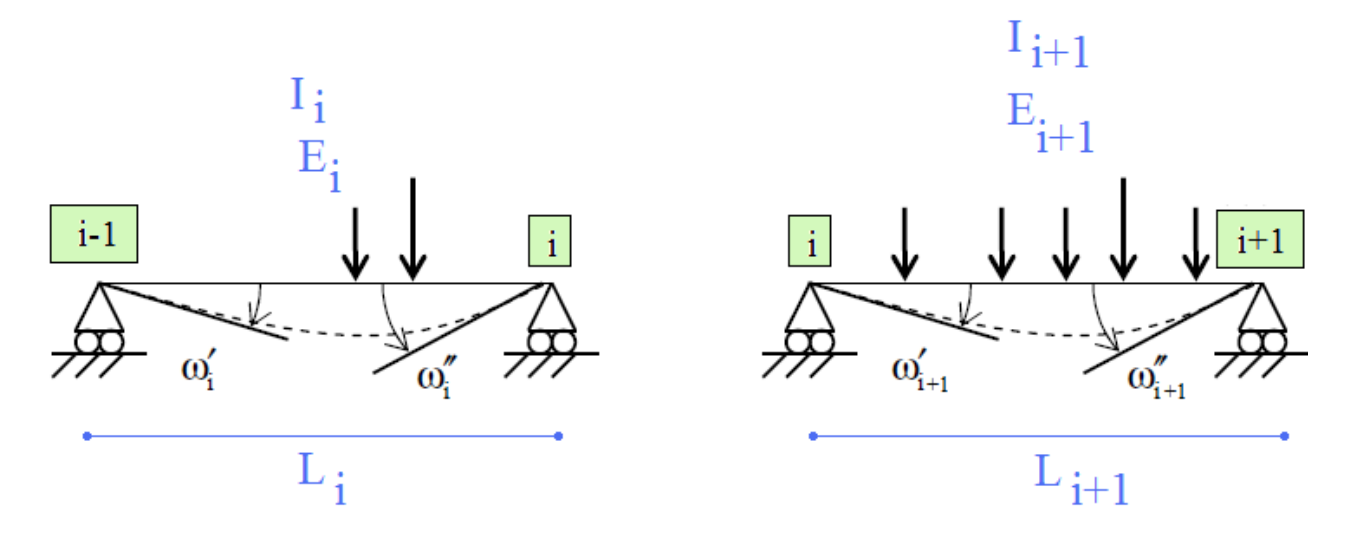
#### 5.3 Méthode

a) Nommer les appuis 0, 1, ... n.

## Les étapes b, c et d doivent être répétées pour les appuis $\boxed{1}$ à $\boxed{n-1}$ .

b) Pour l'appui [i] tel que  $[i] \in [1; n-1]$ 

La travée comprise entre les appuis [i-1] à [i] et la travée comprise entre les appuis [i] à [i+1] sont isolées et sont prises chacune comme étant une poutre isostatique bi-appuyée. Le chargement est conservé.



- c) Détermination des rotations à l'aide du formulaire des poutres bi-appuyées. Nota : en cas de chargement plus complexe, il est possible d'utiliser le principe de superposition.
- d) Utilisation de la relation de la méthode des trois moments :

<u>Cas général</u> : les nœuds ont des déplacements verticaux différentiels et El varie d'une travée à une autre.

$$\boxed{\frac{L_i}{6E_iI_i}M_{i-1} + 2\left(\frac{L_i}{6E_iI_i} + \frac{L_{i+1}}{6E_{i+1}I_{i+1}}\right)M_i + \frac{L_{i+1}}{6E_{i+1}I_{i+1}}M_{i+1} = \omega'_{i+1} - \omega''_i + \frac{v_{i-1} - v_i}{L_i} + \frac{v_{i+1} - v_i}{L_{i+1}}}$$

<u>Simplification 1</u> : les nœuds ont des déplacements verticaux différentiels et El est constant le long de la poutre.

$$\boxed{L_i M_{i-1} + 2(L_i + L_{i+1}) M_i + L_{i+1} M_{i+1} = 6EI \left[ \omega'_{i+1} - \omega''_i + \frac{v_i - v_{i-1}}{L_i} + \frac{v_i - v_{i+1}}{L_{i+1}} \right]}$$

<u>Simplification 2</u>: les nœuds sont fixes et El est constant le long de la poutre.

$$L_i M_{i-1} + 2(L_i + L_{i+1}) M_i + L_{i+1} M_{i+1} = 6EI[\omega'_{i+1} - \omega''_{i}]$$

On obtient l'équation i.



Page 106/197

e) Puisque les appuis 0 à n sont des extrémités non encastrées, il vient que :

$$\begin{cases} M_0 = 0 \\ M_n = 0 \end{cases}$$

- f) Ainsi, un système de (n-1) équations et (n-1) inconnues est obtenu. Sa résolution permet d'obtenir les moments au niveau de chaque appui.
- 5.4 Cas particulier d'un (ou deux) encastrement(s) à une (aux) extrémité(s)

#### Illustration

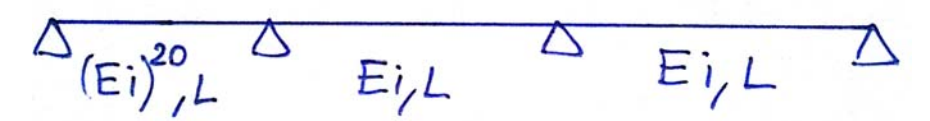
Soit la poutre à deux travées (le chargement n'est pas représenté):

- encastrée à gauche
- de longueurs L et de caractéristique El

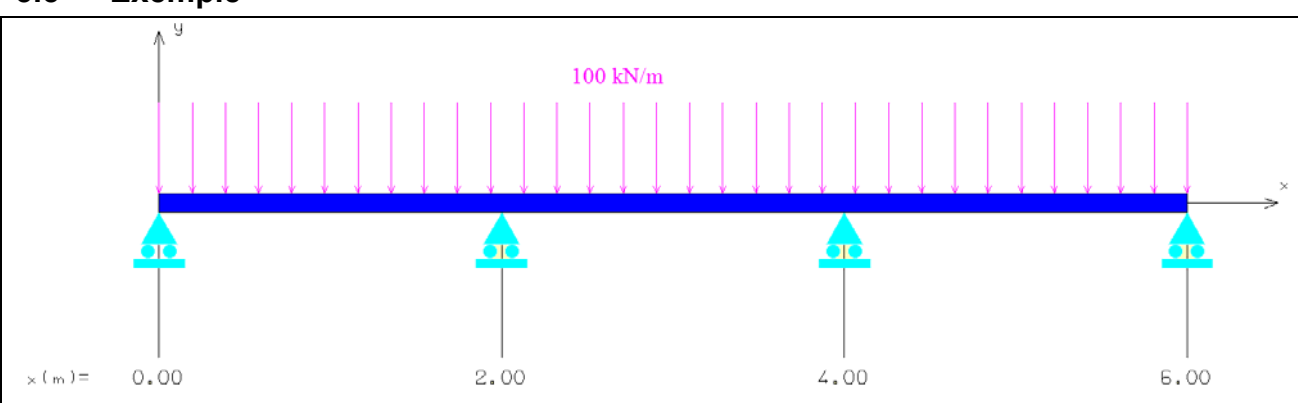


Pour s'approcher du comportement de l'encastrement, il suffit d'utiliser la même méthode après avoir ajouté une travée à gauche ayant pour caractéristiques :

- une longueur L
- Le produit entre le moment d'inertie et le module de Young tendant vers l'infini (par exemple  $(EI)^{20}$
- Aucun chargement



#### 5.5 Exemple



#### Données:

Inertie: 1440 mm<sup>4</sup>

Module de Young: 10 000 MPa

Déterminer les moments au niveau de chaque appui.

Solution

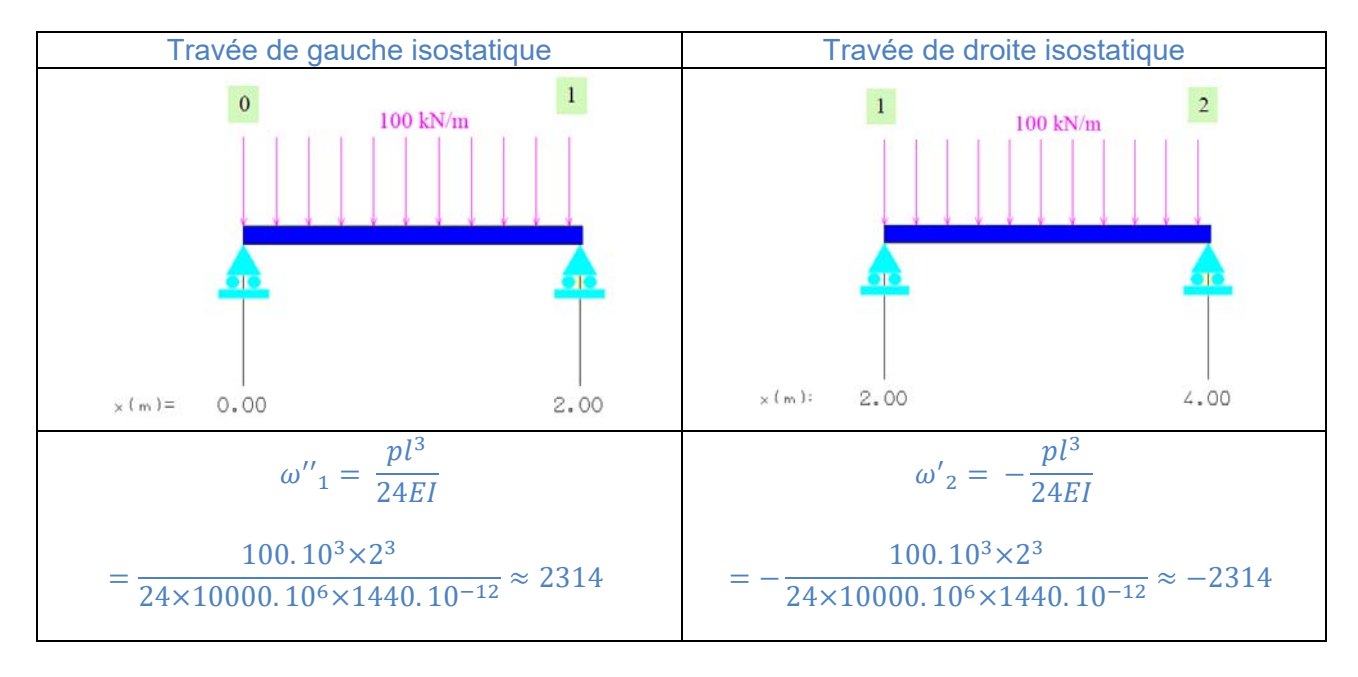
Numérotation des appuis



Page 107/197



Au niveau de l'appui 1, la travée de droite et la travée de gauche sont prises isotatiques. Les rotations  $\omega''_1$  et  $\omega'_2$  sont calculées à partir du formulaire des poutres « bi-appuyées ».



Donc il vient que:

$$2 \times M_0 + 2 \times (2+2) \times M_1 + 2 \times M_2 = 6 \times 10000.10^6 \times 1440.10^{-12} \times (-2314 - 2314)$$

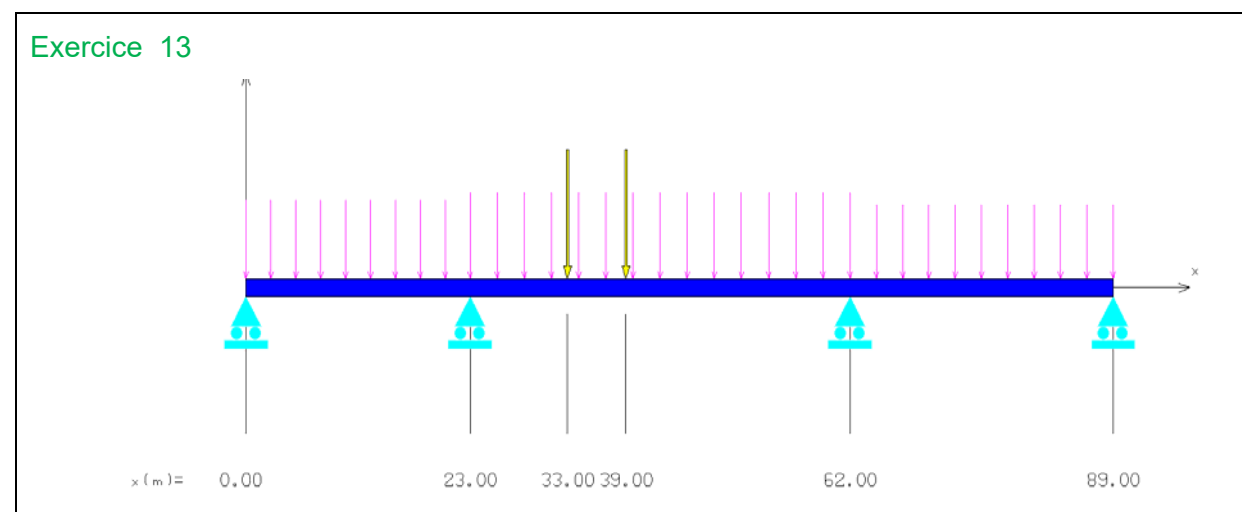
Avec  $M_0 = 0$  N.m (extrémité non encastrée), l'équation devient :

$$8 \cdot M_1 + 2 \cdot M_2 \approx -400000$$

En remarquant la symétrie du problème, il n'est pas nécéssaire de faire l'équation de l'appui 2 puisqu'il vient de suite que :  $M_2 = M_1$  et donc :

$$M_2 = M_1 \approx -40000 \, N.m \leftrightarrow \boxed{-40 \, kN.m}$$

#### 5.6 Exercices



El est constant le long de la poutre

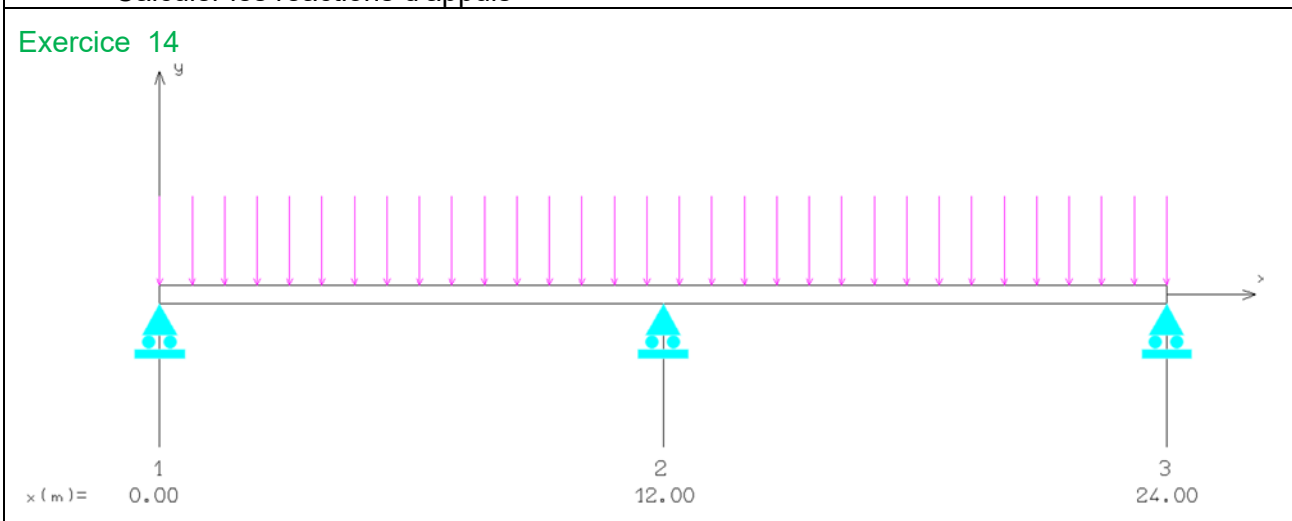
Chargement réparti :

De 0 à 23 m : 33 kN/m
 De 23 à 62 m : 36 kN/m
 De 62 à 89 m : 31 kN/m

Chargement ponctuel à 33 m et 39 m : 200 kN

#### Déterminer

- les moments aux points d'abscisse 23m et 63 m
- Déterminer puis tracer les diagrammes de sollicitations
- Calculer les réactions d'appuis



El est constant le long de la poutre

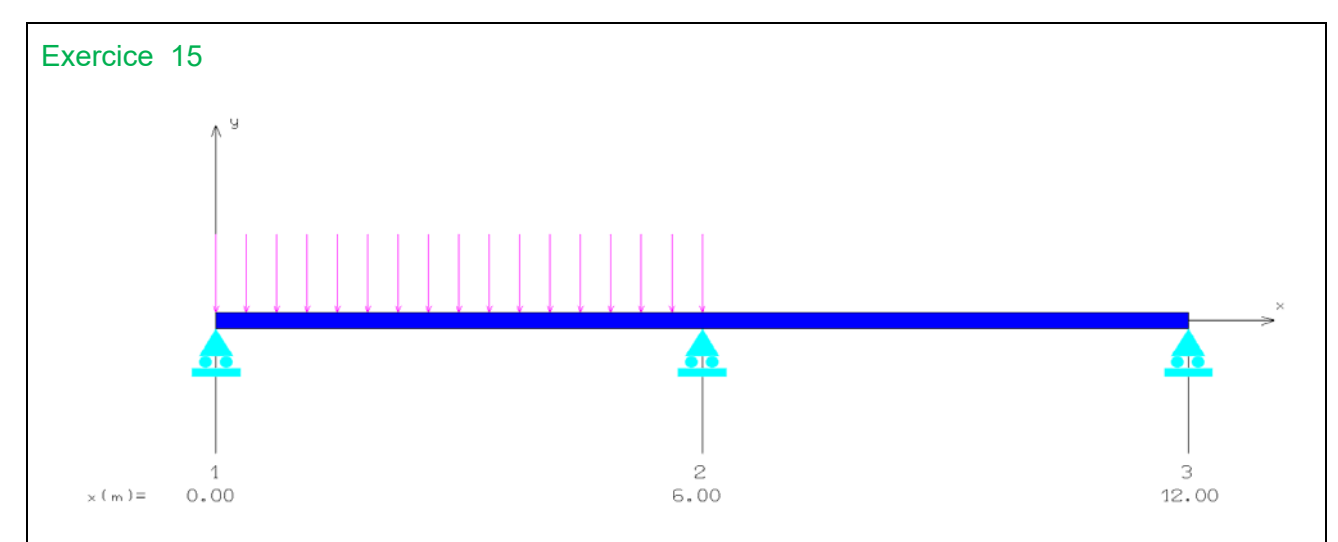
Chargement réparti : 20 kN/m

#### Déterminer

- les moments sur appuis
- Déterminer puis tracer les diagrammes de sollicitations
- Calculer les réactions d'appuis



Page 109/197

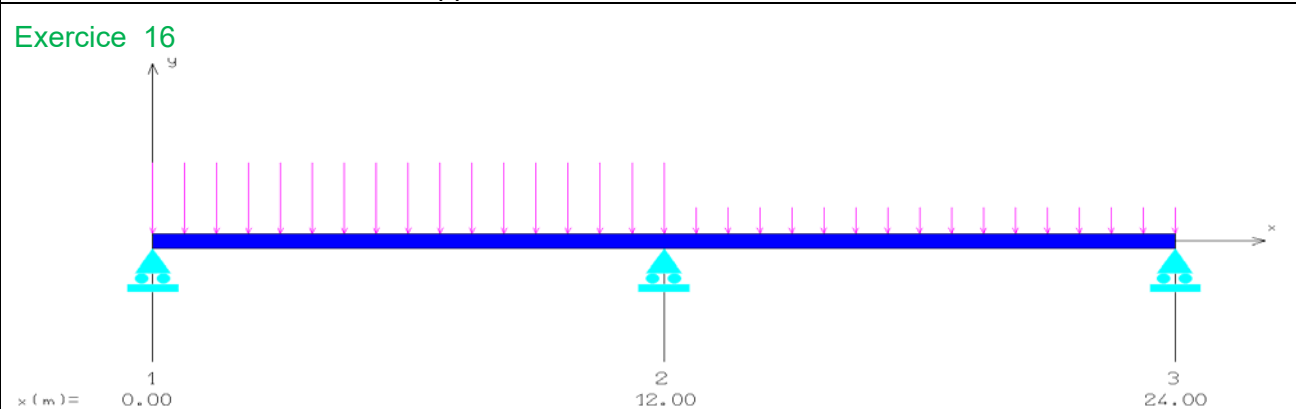


El est constant le long de la poutre

Chargement réparti : 10 kN/m de 0 à 6 m

#### Déterminer

- les moments sur appuis
- Déterminer puis tracer les diagrammes de sollicitations
- Calculer les réactions d'appuis



El est constant le long de la poutre

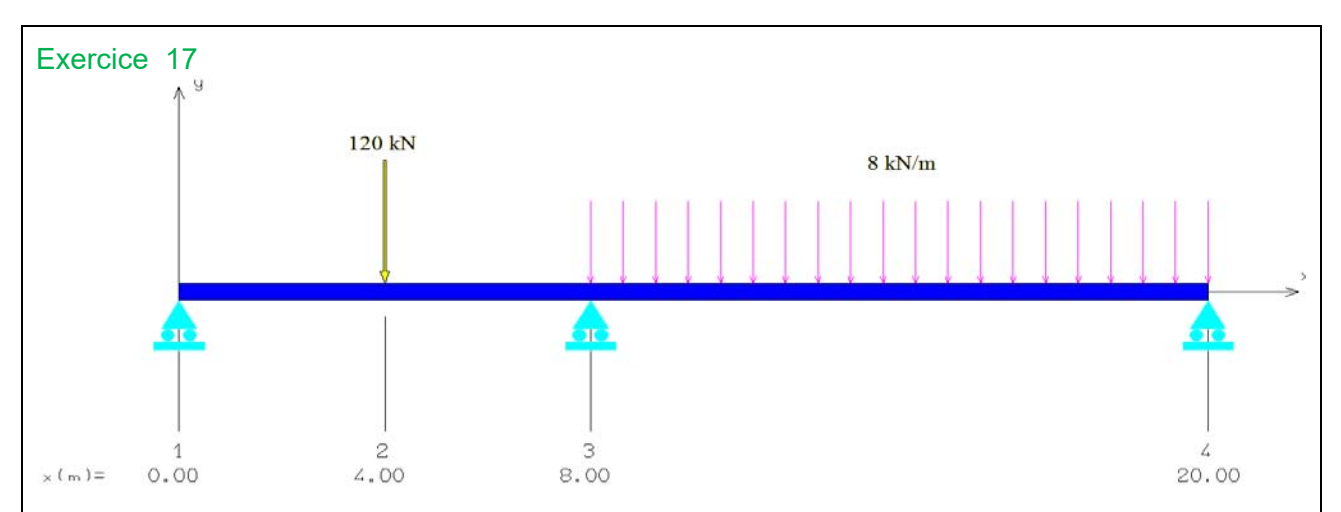
#### Chargement réparti :

De 0 à 12 m : 80 kN/mDe 12 à 24 m : 30 kN/m

#### Déterminer

- les moments sur appuis
- Déterminer puis tracer les diagrammes de sollicitations
- Calculer les réactions d'appuis

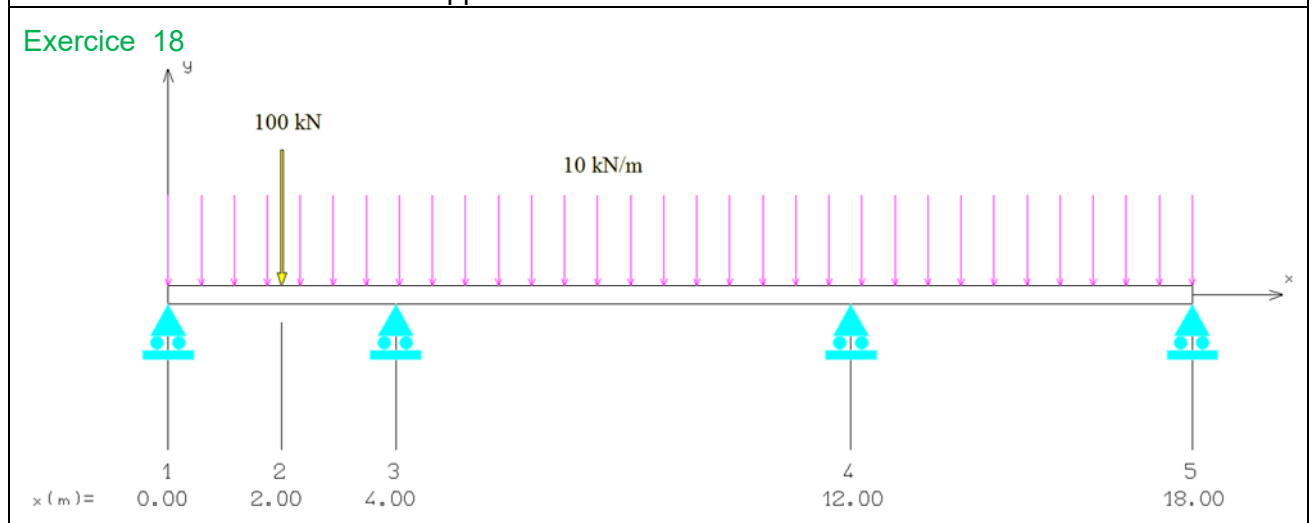
Page 110/197



El est constant le long de la poutre

#### Déterminer

- les moments sur appuis
- Déterminer puis tracer les diagrammes de sollicitations
- Calculer les réactions d'appuis

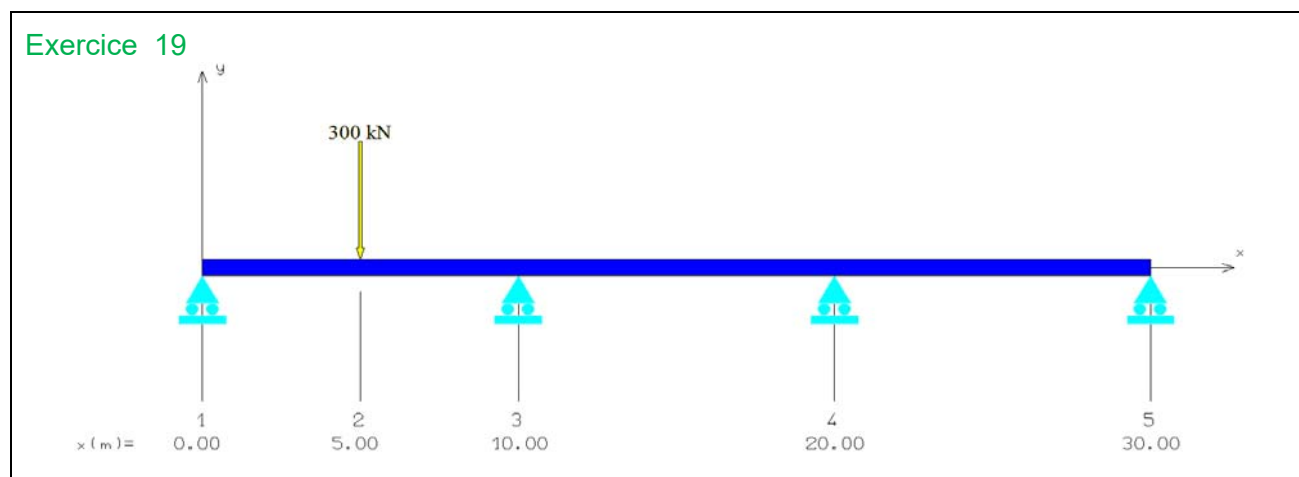


El est constant le long de la poutre

#### Déterminer

- les moments sur appuis
- Déterminer puis tracer les diagrammes de sollicitations
- Calculer les réactions d'appuis

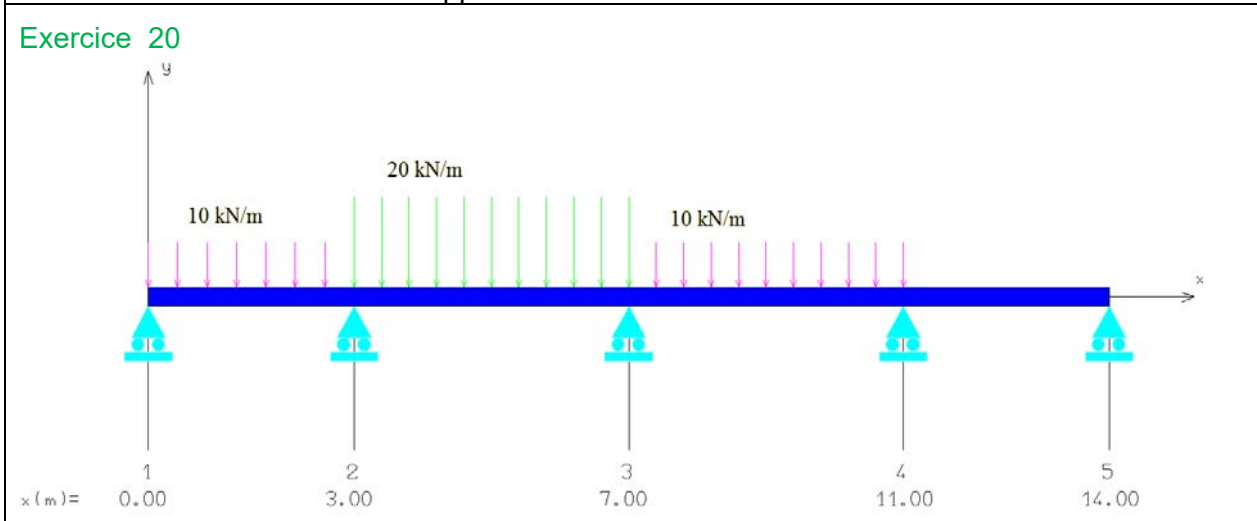
Page 111/197



El est constant le long de la poutre

#### Déterminer

- les moments sur appuis
- Déterminer puis tracer les diagrammes de sollicitations
- Calculer les réactions d'appuis



E est constant le long de la poutre

#### I varie en fonction de x :

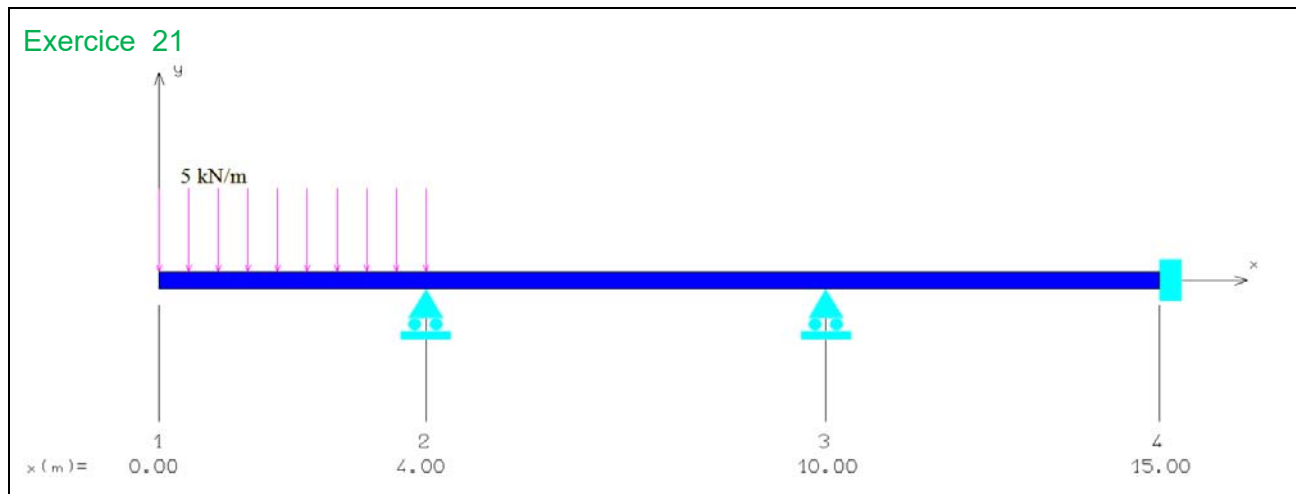
De 0 à 3 m : l<sub>0</sub>
De 3 à 7 m : 2l<sub>0</sub>
De 7 à 11 m : 2l<sub>0</sub>
De 11 à 14 m : 1,5l<sub>0</sub>

#### Déterminer

- les moments sur appuis
- Déterminer V(x) et M(x)
- Calculer les réactions d'appuis



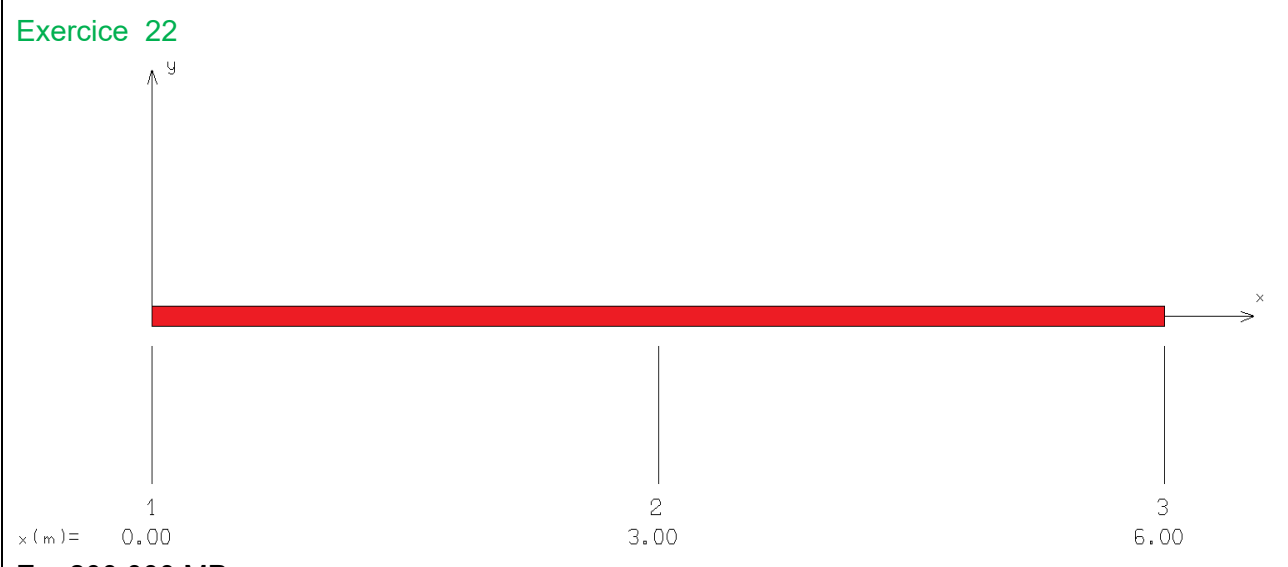
Page 112/197



El est constant le long de la poutre

#### Déterminer

- les moments sur appuis
- Déterminer puis tracer les diagrammes de sollicitations
- Calculer les réactions d'appuis



E = 200 000 MPa

 $I = 78 \text{ cm}^2$ 

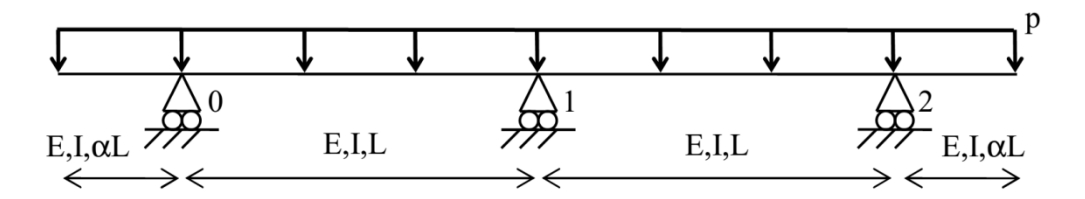
Les deux appuis 1 et 3 restent fixes et l'appui 2 s'affaisse de 10 cm, déterminer :

- les moments sur appuis
- Déterminer M(x) et V(x)
- Calculer les réactions d'appuis

#### 5.7 Extraits d'annales

Exercice 23 : extrait des annales de novembre 2013

#### Partie II: Méthode des forces (7 pts)



Déterminer  $\alpha$  pour avoir  $M_0 = M_1$ 

Pour  $\alpha = 1/\sqrt{6}$ :

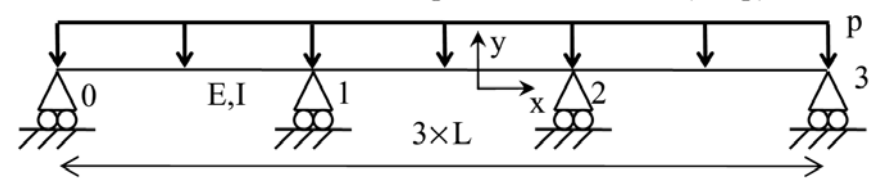
- Tracer V(x) et M(x)
- Est-ce la valeur de α pour avoir un moment fléchissant minimum en valeur absolue dans la structure ?
- Déterminer la flèche maximum (on pourra admettre que les flèches et rotations sont toutes nulles au niveau de tous les appuis, on étudiera la console et la travée 1)

Déterminer α maximum pour ne pas avoir de risque de soulèvement à l'appui 1

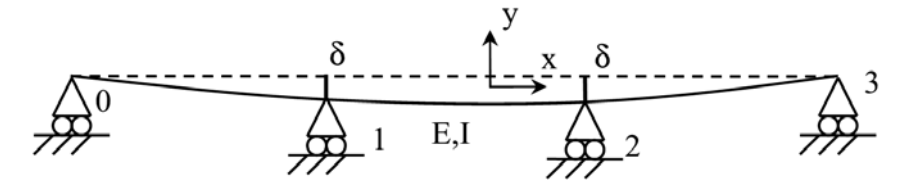
#### Exercice 24 : extrait des annales de décembre 2014

### Partie II: Méthode des forces (formule des 3 moments) (7 pts)

Déterminer les sollicitations du problème suivant : (cas p) Doc. Réponse



Déterminer les sollicitations dues à une dénivellation des appuis 1 et 2 : (cas  $\delta$ ) **Doc. Réponse** 



En déduire les réactions d'appui sous la combinaison (cas p) + (cas  $\delta$ )

Déterminer la valeur minimum  $\delta_{min}$  pour laquelle les moments fléchissants sont toujours positifs sous la combinaison (cas p) + (cas  $\delta$ )

Tracer les sollicitations correspondantes : (cas p) + (cas  $\delta_{min}$ )**Doc. Réponse** Les réactions d'appuis sont-elles toujours vers le haut ?

## Calcul Structure Bâtiment http://www.csb.bet

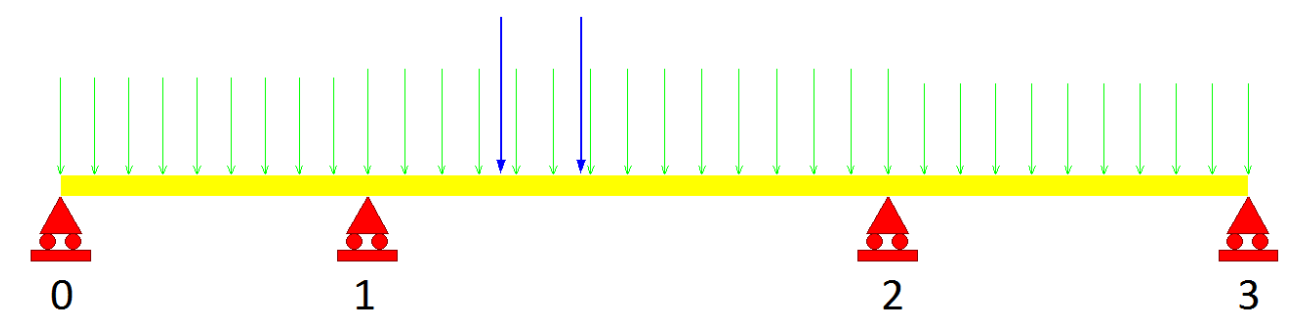


Page 114/197

#### 5.8 Solutions

#### 5.8.1 Solution 13

Numérotation des nœuds



#### Travée 0-1

$$\begin{cases} L = 23 \ m \\ p = 33000 \ N/m \Rightarrow EI\omega''_1 = \frac{pL^3}{24} = 16729625 \end{cases}$$

#### Travée 1-2

Force ponctuelle 1	Force ponctuelle 2	Force répartie
$ \begin{cases} L = 23 m \\ F = 200 000 N \\ a = 10 m \end{cases} $	$ \begin{cases} L = 23 m \\ F = 200 000 N \\ a = 16 m \end{cases} $	$\begin{cases} L = 23 m \\ p = 33000 \frac{N}{m} \end{cases}$
$EI\omega'_2 = -\frac{Fa}{6L}(L-a)(2L-a)$	$EI\omega'_2 = -\frac{Fa}{6L}(L-a)(2L-a)$	$EI{\omega'}_2 = \frac{-pL^3}{24} = -88978500$
=-16854700	= -19500855	
$EI\omega^{\prime\prime}{}_2 = \frac{Fa}{6L}(L^2 - a^2)$	$EI\omega''_2 = \frac{Fa}{6L}(L^2 - a^2)$	$EI\omega''_2 = 88978500$
= 12145299	= 17299145	

#### Donc

$$EI{\omega'}_2 = -125334055$$
  
 $EI{\omega''}_2 = 118422944$ 

#### Travée 2-3

$$\begin{cases} L = 27 \ m \\ p = 31000 \frac{N}{m} \Rightarrow EI\omega'_{3} = \frac{-pL^{3}}{24} = -25423875 \end{cases}$$

$$\frac{\text{Formule des 3 moments}}{L_2 = 39 \ m} \begin{cases} L_1 = 23 \ m \\ L_2 = 39 \ m \\ L_3 = 27 \ m \end{cases}$$

#### <u>Appui 1</u>:

$$2(23+39)M_1 + 39M_2 = 6EI\left(-\frac{125334055}{EI} - \frac{16729625}{EI}\right)$$
  
$$\Rightarrow 124M_1 + 39M_2 = -852382080$$

#### <u>Appui 2</u>:

$$39M_1 + 2(39 + 27)M_2 = 6EI\left(-\frac{25423875}{EI} - \frac{118422944}{EI}\right)$$
  
$$\Rightarrow 39M_1 + 132M_2 = -863080914$$

#### Résolution de l'équation

$$\begin{pmatrix} 124 & 39 \\ 39 & 132 \end{pmatrix} \begin{pmatrix} M_1 \\ M_2 \end{pmatrix} = \begin{pmatrix} -852382080 \\ -863080914 \end{pmatrix}$$
 
$$\Rightarrow \begin{cases} M_1 = -5311125 \ N.m \leftrightarrow -5311 \ kN.m \\ M_2 = -4969296 \ N.m \leftrightarrow -4969 \ kN.m \end{cases}$$

#### <u>Travée 0-1</u>: 0 < x < 23 m

$$\begin{cases} M_0 = 0 \ kN.m \\ M_1 = -5311 \ kN.m \\ M_{iso}(x) = \frac{33x}{2}(23 - x) = 379,5x - 16,5x^2 \end{cases} \Rightarrow M(x) = -16,5x^2 + 148,59x$$

#### <u>Travée 1-2</u>: 23 < x < 62 m

$$\begin{cases} M_1 = -5311 \ kN.m \\ M_2 = -4969 \ kN.m \\ L = 39 \ m \end{cases}$$

En posant X = x - 23

 $M_{iso}(X)$  est égal à la somme des 3 chargements élémentaires :

	Force ponctuelle 1 (X=10m)	Force ponctuelle 2 (X=16m)	Force répartie
0 < X < 10 m	148,7 <i>X</i>	117,9 <i>X</i>	$702X - 18X^2$
10 < X < 16 m	-51,3X + 2000	117,9 <i>X</i>	$702X - 18X^2$
16 < X < 39 m	-51,3X + 2000	-82,1X + 3200	$702X - 18X^2$

En sommant les 3 chargements et en remplaçant X par x-23:

23 < x < 33 m	$M_{iso}(x) = -18x^2 + 1796,6x - 31800$	
33 < x < 39 m	$M_{iso}(x) = -18x^2 + 1596,6x - 25200$	
39 < x < 62 m	$M_{iso}(x) = -18x^2 + 1396,6x - 17400$	

#### Calcul Structure Bâtiment http://www.csb.bet



Page 116/197

De plus,

$$M(X) = M_{iso}(X) + M_1\left(\frac{39 - X}{39}\right) + M_2\frac{X}{39}$$

$$\Rightarrow M(x) = M_{iso}(x) - 5311 \left( \frac{39 - x + 23}{39} \right) - 4969 \left( \frac{x - 23}{39} \right)$$
$$= M_{iso}(x) + 8.8x - 5513$$

#### Au final, sur la travée 1-2 :

23 < x < 33 m	$M(x) = -18x^2 + 1805,4x - 37313$
33 < x < 39 m	$M(x) = -18x^2 + 1605,4x - 30713$
39 < x < 62 m	$M(x) = -18x^2 + 1405,4x - 22913$

Travée 2-3: 
$$62 < x < 89 m$$

$$\begin{cases} M_2 = -4969 \ kN.m \\ M_3 = 0 \ kN.m \\ L = 27 \ m \end{cases}$$

En posant X' = x - 62

$$M_{iso}(X') = 418,5X' - 15,5X'^2$$

Donc 
$$M_{iso}(x) = -15.5x^2 + 2340.5x - 85529$$

Ensuite,

$$M(X') = M_{iso}(X') + M_2 \left(\frac{27 - X'}{27}\right)$$

$$\Rightarrow M(x) = M_{iso}(x) - 4969 \left(\frac{27 - x + 62}{27}\right) = -15.5x^2 + 2524.5x - 101908$$

#### Au final:

$$\begin{cases} 0 < x < 23 \ m \Rightarrow M(x) = -16,5x^2 + 148,59x \\ 23 < x < 33 \ m \Rightarrow M(x) = -18x^2 + 1805,4x - 37313 \\ 33 < x < 39 \ m \Rightarrow M(x) = -18x^2 + 1605,4x - 30713 \\ 39 < x < 62 \ m \Rightarrow M(x) = -18x^2 + 1405,4x - 22913 \\ 62 < x < 89 \ m \Rightarrow M(x) = -15,5x^2 + 2524,5x - 101908 \end{cases}$$

#### Calcul Structure Bâtiment http://www.csb.bet



Page 117/197

Pour le calcul de V(x), on utilise  $V(x) = -\frac{dM}{dx}$ 

$$\begin{cases} 0 < x < 23 \ m \Rightarrow V(x) = 33x - 148,59 \\ 23 < x < 33 \ m \Rightarrow V(x) = 36x - 1805,4 \\ 33 < x < 39 \ m \Rightarrow V(x) = 36x - 1605,4 \\ 39 < x < 62 \ m \Rightarrow V(x) = 36x - 1405,4 \\ 62 < x < 89 \ m \Rightarrow V(x) = 31x - 2524,5 \end{cases}$$

Les réactions d'appuis correspondent au « saut » d'effort tranchant au niveau de l'appui considéré :

$$R_0 = -V(0^+) \Rightarrow \boxed{R_0 = 148,6 \ kN}$$

$$\begin{cases} V(23^{-}) = 33 \times 23 - 148,59 = 610,4 \ kN \\ V(23^{+}) = 36 \times 23 - 1805,4 = -977,4 \ kN \\ \Rightarrow R_{1} = V(23^{-}) - V(23^{+}) \Rightarrow \boxed{R_{1} = 1587,8 \ kN} \end{cases}$$

$$\begin{cases} V(62^{-}) = 36 \times 62 - 1405, 4 = 826, 6 \ kN \\ V(62^{+}) = 31 \times 62 - 2524, 5 = -602, 5 \ kN \\ \Rightarrow R_2 = V(62^{-}) - V(62^{+}) \Rightarrow \boxed{R_2 = 1429, 1 \ kN} \end{cases}$$

$$R_3 = V(89^-) \Rightarrow \boxed{R_3 = 234,5 \, kN}$$

#### 5.8.2 Solution 14

- · Numératation des nœuds 5
- · noeud 1

$$Ei\omega_1'' = \frac{20 \times 12^3}{24} = 1440 = -Ei\omega_2'$$

Anec  $M_0 = M_2 = 0$ , il vient que  $2(12+12)M_1 = 6(-1440-1440)$ 

· Travée 0-1  $M(se) = M_{100}(se) + M_{1} + \frac{4e}{12}$ 

onec M iso  $(Re) = \frac{20 \times 12 Re}{2} = \frac{20 Re^2}{2} = 120 Re - 10 Re^2$ 

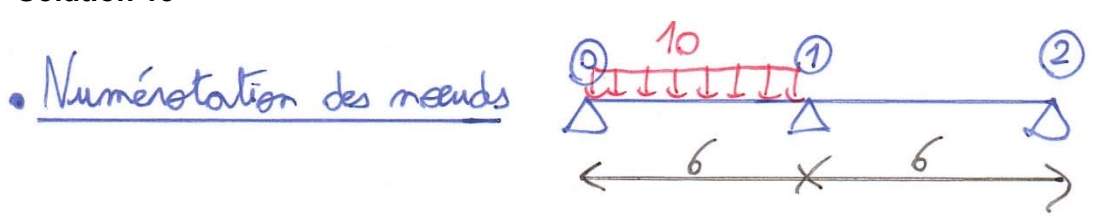
puisque  $V(ae) = -\frac{dM(ae)}{dxe} = V(ae) = 20 xe - 90$ 

- · Par symétrie de M par rapport à ①, et par antisymètrie de V par rapport à ①, il est inutile de colouler pour la travée 1-2 pour obtenir le diagramme des sollicitations.
- réactions d'appui  $R_0 = R_2 = -V(0) =$   $R_0 = R_2 = 90 \text{ kN}$  $R_0 + R_1 + R_2 = 2LP =$   $R_1 = 300 \text{ kN}$

#### Calcul Structure Bâtiment http://www.csb.bet

Page 119/197

#### 5.8.3 Solution 15



## · Noeud 1:

$$Ei\omega''_1 = \frac{10 \times 6^3}{24} = 90$$

$$Ei\omega'_2 = 0$$

$$2(6+6)M_1 = 6[0-90] = M_1 = -22,5 \text{ kN.m}$$

· Travée 0-1: 
$$M(se) = M_{isp}(se) + \frac{M_1 se}{6}$$

over 
$$\binom{M}{iso}(ae) = \frac{10ae}{2}(6-ae)$$
  
 $\binom{M}{1} = -22,5$ 

$$M(X) = M_{iso}(X) + M_1\left(\frac{6-X}{6}\right)$$

Avec 
$$M_{iso}(X) = 0$$
  
 $M_{1} = -22,5 \text{ kN.m}$ 

$$\begin{cases} M_{100}(X) = 0 \\ M_{1} = -22.5 \text{ kN.m} \end{cases} = M(X) = 3.75X - 22.5$$

=) Travée 
$$0-1: V(\alpha) = 10 = -26,25$$
  
Travée  $1-2: V(\alpha) = -3,75$ 



Page 120/197

· Réactions d'appui

$$R_0 = -V(0) = R_0 = 26,25 \text{ kN}$$

$$V(6^{-}) = 10 \times 6 - 26,25 = 33,75$$

$$V(6^{+}) = -3,75$$

$$= R_1 = 33,75 - (-3,75)$$

$$= R_1 = 37,5 kN$$



Page 121/197

#### 5.8.4 Solution 16

• Neend 1: Ei 
$$\omega''_1 = \frac{80 \times 12^3}{24} = 5760$$
  
Ei  $\omega'_2 = -\frac{30 \times 12^3}{24} = -2160$ 

Anec 
$$M_0 = M_2 = 0$$

$$= 2 \times (12 + 12) \times M_1 = 6 \left(-2160 - 5760\right)$$

$$= M_1 = -990 \text{ kN.m}$$

• Travée 0-1: 
$$M(\alpha) = M_{150}(\alpha) + M_{1}\frac{8e}{12}$$
  
onec  $M_{150}(\alpha) = \frac{80\pi}{2}(12-\pi)$   
=)  $M(\alpha) = -40\pi^2 + 397,5\pi$ 

• Travée 1-2: 
$$M(X) = M_{100}(X) + M_1\left(\frac{12-X}{12}\right)$$
  
onec  $X = 2e-6$   
 $M_{100}(X) = \frac{30X}{2}(12-X)$ 

$$\Rightarrow M(X) = -15 \times^2 + 262,5 \times -990$$

$$=)$$
  $M(ae) = -15ac^2 + 442,5ac - 3105$ 



Page 122/197

· Réactions d'appui

$$R_0 = -V(0) = R_0 = 397,5 RN$$

$$V(12^{-}) = 80 \times 12 - 397,5 = 562,5 \text{ kN}$$

$$V(12^+) = 30 \times 12 - 442,5 = -82,5 \text{ kN}$$

$$R_2 = V(24) = 30 \times 24 - 442,5$$



Page 123/197

#### 5.8.5 Solution 17

· Numératation des nœuds: 0 1

· mound 1:

$$Ei\omega''_1 = \frac{120 \times 4}{6 \times 8} (8^2 - 4^2) = 480$$

$$Ei\omega_2^2 = -\frac{8\times12^3}{24} = -576$$

$$2(8+12)M_1 = 6(-576-480)$$



Page 124/197

## · Travée 1-2

$$M(X) = M_{\text{Nor}}(X) + M_1\left(\frac{12-X}{12}\right)$$

Anec 
$$M_{iso}(X) = \frac{8X}{2}(12-X)$$

$$=)$$
  $M(X) = -4X^2 + 61,2X - 158,4$ 

## · Réactions d'appui

$$R_{o} = -V(0) = R_{o} = 40,2 \text{ kN}$$

$$\begin{cases} V(8^{-}) = 79,2 \\ V(8^{+}) = 8 \times 8 - 125,2 = -61,2 \end{cases}$$



Page 125/197

#### 5.8.6 Solution 18

· Numératation des mouds DD DD 2 3



- . Extérnité non en castrée = ) M = M = 0
- · Neud 1 De LILLLI

Ei 
$$\omega_1'' = \frac{100 \times 2(4^2 - 2^2)}{6 \times 4}$$
 Ei  $\omega_1'' = \frac{10 \times 4^3}{24}$  = 26,67

$$Ei \omega''_1 = \frac{10 \times 4^3}{24}$$
  
= 26,67

$$Eiw_2' = -\frac{10 \times 8^3}{29} = -213,33$$

$$=) 2(4+8)M_1 + 8M_2 = 6 \times (-273, 33 - 126, 67)$$

$$=$$
 24 $M_1$  +  $8M_2$  =  $-2040$ 

## . Neend 2

$$Ei \omega_{2}'' = - Ei \omega_{2}' = 213,33$$

$$Ei\omega_3' = -\frac{10\times6^3}{24} = -90$$

$$= 3 M_1 + 2(8+6) M_2 = 6(-90-213,33)$$

$$=$$
  $8M_1 + 28M_2 = -1820$ 

#### Calcul Structure Bâtiment http://www.csb.bet



Page 126/197

$$\begin{pmatrix}
24 & 8 \\
8 & 28
\end{pmatrix}
\begin{pmatrix}
M_1 \\
M_2
\end{pmatrix} = \begin{pmatrix}
-2040 \\
-1820
\end{pmatrix}$$

$$= \frac{M_{1} = -70 \text{ kN.m}}{2 = -45 \text{ kN.m}}$$

# Travée 0-1

Miso. (a)		777777
02 22	100x 2 pc	10 ac (4 - cc)
22244	$100x2\left(1-\frac{3c}{4}\right)$	10 B (4- AC)

Donc 
$$\int 0 < x < 2 : M(x) = 52, 5x - 5x^2$$
  
 $(2 < x < 4 : M(x) = -5x^2 - 47, 5x + 200)$ 

Purique 
$$V(x) = -\frac{dN(x)}{dx}$$
, il vient que:

$$V(a) = 10 = -52,5$$
  
 $V(a) = 10 = -52,5$   
 $V(a) = 10 = 47,5$ 

$$M(X) = M_{\tilde{B}}(X) + M_{1}\left(\frac{8-X}{8}\right) + M_{2} \times \frac{X}{8}$$

$$M_{iso}(X) = \frac{10X}{2}(8-X)$$

$$=$$
)  $M(X) = -5X^2 + 43,125X - 70$ 

$$=) M(\alpha) = -5\alpha^2 + 83/125\alpha - 322/5$$

$$M(x^{\prime}) = M_{iso}(x^{\prime}) + M_{2}\left(\frac{6-x^{\prime}}{6}\right)$$

$$M_{io}(X^{\prime}) = \frac{10\times^{\prime}}{2}(6-X^{\prime})$$

$$=) M(X^1) = -5X^2 + 37,5X - 45$$

$$\begin{cases} V(4^{-}) = 10 \times 4 + 47.5 \\ V(4^{+}) = 10 \times 4 - 83.125 \end{cases}$$

$$R_1 = V(G^-) - V(G^+) \Rightarrow R_1 = 130,63 \text{ RN}$$

$$\begin{cases} V(12^{-}) = 10 \times 12 - 83, 125 \\ V(12^{+}) = 10 \times 12 - 157, 5 \end{cases}$$

$$=$$
  $R_2 = V(12^-) - V(12^+) = R_2 = 74,34 kN$ 

$$R_3 = V(18m) \Rightarrow R_3 = 22,5 kN$$

#### 5.8.7 Solution 19



• Need 1 : 
$$Ei\omega''_1 = \frac{300 \times 5}{6 \times 10} (10^2 - 5^2) = 1875$$

$$\omega'_2 = 0$$

$$= 2(10+10)M_1 + 10M_2 = 6 \times (-1875)$$

$$= 40M_1 + 10M_2 = -11250 (#)$$

. Il ment alors que

(\*) 
$$1 (***) (=) \begin{pmatrix} 40 & 10 \\ 10 & 40 \end{pmatrix} \begin{pmatrix} M_1 \\ M_2 \end{pmatrix} = \begin{pmatrix} -1/250 \\ 0 \end{pmatrix}$$

(=) 
$$\begin{cases} M_1 = -300 \text{ kN.m.} \\ M_2 = 75 \text{ kN.m.} \end{cases}$$

• Bute 
$$\Theta \oplus :$$

$$M(x) = M_{100}(x) + M_{100}$$

Avec 
$$\int 0 \angle R \angle 5m$$
:  $M_{100}(R) = \frac{300 \times 5R}{10} = 150R$   
 $\left[5 \angle R \angle 10m : M_{100}(a) = 300 \times 5\left(1 - \frac{Ac}{10}\right)\right]$   
 $= 1500 - 150R$ 

$$= \int \left\{ 0 \angle R \angle 5 \quad V(R) = -120 \right. \\ \left. \left\{ 5 \angle R \angle 10 \quad V(R) = 180 \right. \right.$$

· Foute @@: En posour X = & - 10

$$M(X) = M_{10}(X) + M_{1}\left(\frac{10-X}{10}\right) + M_{2}\frac{X}{10}$$

arec 
$$M$$
 iso  $(X) = 0$ 

• En posant 
$$X' = xe - 20$$

$$M(X') = M_{iso}(X') + M_{2}\left(\frac{10-X'}{10}\right)$$
one  $C = M_{iso}(X') = 0$ 

$$R_o = -V(o)$$

$$\begin{cases} V(10^{-}) = 180 \\ V(10^{+}) = -37.5 \end{cases} \Rightarrow R_{1} = V(10^{-}) - V(10^{+})$$

$$\begin{cases} V(20^{-}) = -37, \\ V(20^{+}) = 7,5 \end{cases}$$

$$\begin{cases} V(20^{-}) = -37,5 \\ V(20^{+}) = 7,5 \end{cases} \Rightarrow R_{2} = (V(20^{-}) - V(10^{+}))$$

$$R_3 = V(30) =$$
  $R_3 = 7.5 RN$ 

#### 5.8.8 Solution 20

• Note of 1: 
$$M_0 = 0$$

$$\omega''_1 = \frac{10 \times 3^3}{24 \times EI_0} = \frac{11,25}{EI_0}$$

$$\omega'_2 = \frac{-20 \times 4^3}{24 \times 2EI_0} \approx \frac{-26,67}{EI_0}$$

2 (3) 4

$$2\left(\frac{3}{6EI_{o}} + \frac{9}{6\times 2EI_{o}}\right)^{M} + \frac{9}{6\times 2EI_{o}}^{M} = \frac{-11,25}{EI_{o}} = \frac{26,67}{EI_{o}}$$

$$=) \frac{1,67M_1 + 0,33M_2 = -37,92}{}$$

$$\frac{4}{6 \times 2 \text{EI}_{o}} + 2 \left( \frac{4}{6 \times 2 \text{EI}_{o}} + \frac{4}{6 \times 2 \text{EI}_{o}} \right)^{M_{2}} + \frac{4}{6 \times 2 \text{EI}_{o}} = \frac{-40}{\text{EI}_{o}}$$

$$=)$$
  $0,33M_1 + 1,33M_2 + 0,33M_3 = -40$ 

• Noewd 3: 
$$\left(\omega_{3}'' = -\omega_{3}' = \frac{13,33}{\text{ET}}\right)$$
  
 $\left(\omega_{4}'' = 0\right)$   
 $\left(\omega_{4}'' = 0\right$ 

$$=) \frac{0,33 M_2 + 1,33 M_3 = -13,33}{2}$$

#### Calcul Structure Bâtiment http://www.csb.bet



Page 133/197

$$\begin{pmatrix} 1,67 & 0,33 & 0 \\ 0,33 & 1,33 & 0,33 \\ 0 & 0,33 & 1,33 \end{pmatrix} \begin{pmatrix} M_1 \\ M_2 \\ M_3 \end{pmatrix} = \begin{pmatrix} -37,92 \\ -40 \\ -13,33 \end{pmatrix}$$

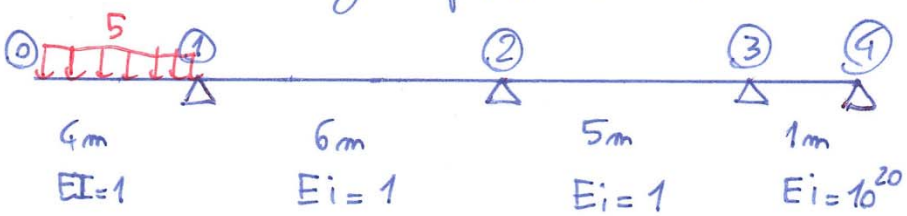
$$= \frac{17,83 \, \text{k.m.}}{1 = -17,83 \, \text{k.m.}}$$

$$M_2 = -24,68 \, \text{k.m.}$$

$$M_3 = -3,90 \, \text{k.m.}$$

#### 5.8.9 Solution 21

· Eur tenus compte de l'encastrement, on ajoute une poutre fictive avec Ei infiniment plus grand que pour le reste de la structure et une longueur fictive de 1 m



- A en re peut pos utiliser la formule des 3 moments au rœud (1) con le nœud (0) n'est pas appuyé. On effectue donc une coupure pour connaîte M.
- Buthe @@: coupure en se tel que 0 2 se 2 6 m

  5 v 5 m

  1 1 1 1 1 N

  Ese

  2 v 5 m

  1 N

  1 N

$$M(\alpha) + 5\alpha \times \alpha = 0$$
 =  $M(\alpha) = -2.5\alpha^2$   
 $V(\alpha) - 5\alpha = 0$  =  $V(\alpha) = 5\alpha$ 

• Meend 2:  $\omega_2'' = \omega_3' = 0$  et  $M_1 = -40$   $6M_1 + 2(6+5)M_2 + 5M_3 = 0$ =)  $22M_2 + 5M_3 = 240$ 

$$\frac{5}{6\times 1} M_2 + 2\left(\frac{5}{6\times 1} + \frac{1}{6\times 10^{20}}\right) M_3 = 0$$

$$=)$$
  $5M_2 + 10M_3 = 0$ 

$$\begin{pmatrix}
22 & 5 \\
5 & 10
\end{pmatrix}
\begin{pmatrix}
M_2 \\
M_3
\end{pmatrix} = \begin{pmatrix}
240 \\
0
\end{pmatrix}$$

$$= \frac{12}{31 \text{ kN.m}}$$

$$M_3 = -6/15 \text{ kN.m}$$

$$M(X) = M_{100}(X) + M_{1} \frac{6-X}{6} + M_{2} \frac{X}{6}$$

$$=) V(\alpha) = -8,718$$

• But 23: En posont 
$$X' = ac - 10$$
 $M : bo (X') = 0$ 
 $donc M(X') = \frac{M_2}{5} \frac{5-X^2}{5} + \frac{M_3}{5} \frac{X^2}{5}$ 
 $\Rightarrow M(X') = 12,31 - 3,692X^2$ 
 $\Rightarrow M(ac) = 49,23 - 3,692ac$ 
 $\Rightarrow V(ac) = 3,692$ 

Reactions d'appuis
$$\begin{cases}
V(4^{-}) = 20 \text{ kN} \\
V(4^{+}) = -8,718 \text{ kN}
\end{cases} = \begin{cases}
R_{1} = V(4^{-}) - V(4^{+}) \\
R_{1} = 28,718 \text{ kN}
\end{cases}$$

$$\begin{cases}
V(10^{-}) = -8,718 \\
V(10^{+}) = 3,692
\end{cases} = \begin{cases}
R_{2} = V(10^{-}) - V(10^{+}) \\
R_{3} = V(15 \text{ m}) = \begin{cases}
R_{3} = 3,692 \text{ kN}
\end{cases}$$

$$M_3 = M(15m) = M_3 = -6,15 \text{ kN.m}$$

#### 5.8.10 Solution 22

$$=) 2(3+3)M_1 = 6 \times 200000.10^6 \times \frac{78}{100^4} \left( \frac{91}{3} + \frac{91}{3} \right)$$

But 
$$O(1)$$
:  $M(R) = M_{100}(A) + M_{1} = \frac{A}{3}$ 
 $M_{100}(R) = 0 \Rightarrow M(R) = 1733A$ 
 $= V(R) = -1733$ 

## · Poute D2:

Par symétrie par rapport à (1)

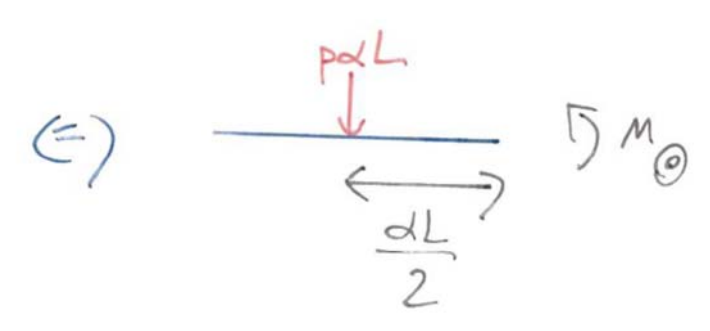
=) 
$$M(\alpha) = -1733\alpha + 10400$$

$$=) V(\alpha) = 1733$$

$$= R_0 = -V(0) = R_0 = 1733N$$
er  $R_2 = 1733N$ 

$$\begin{cases} V(3^{-}) = -1733 \\ V(3^{+}) = 1733 \end{cases} = ) R_{1} = 3466 N$$

#### 5.8.11 Solution 23



$$M_0 + pdL \times \frac{dL}{2} = 0 \Rightarrow M_0 = \frac{-pd^2L}{2}$$

. formule des 3 moments à l'appui 
$$G$$

$$\omega''_1 = -\omega'_2 = \frac{PL^3}{24E}$$

$$=$$
  $LM_0 + 4LM_0 + LM_2 = 6Ei \left( \frac{-pL^3}{24Ei} - \frac{1}{24Ei} \right)$ 



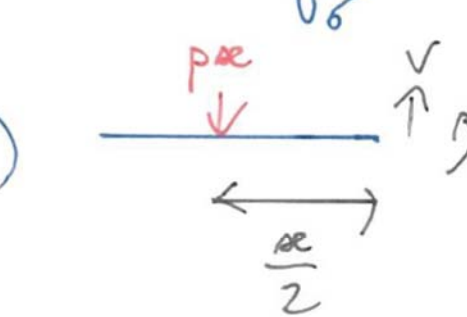
Page 139/197

2/

Traces V(x) et M(x)

· Coupure ouvant @

(=)



 $= \begin{cases} V - p = 0 \\ M + \frac{p e^2}{2} = 0 \end{cases} \begin{cases} V = 0 \end{cases}$ 

· ente @ er 1 : L Læ L L (1+1/18)

$$M(X) = M_{100}(X) + M_{0}\frac{L-X}{L} + M_{0}\frac{X}{L}$$

over 
$$M$$
 iso  $(X) = \frac{PX}{2}(L-X)$ 

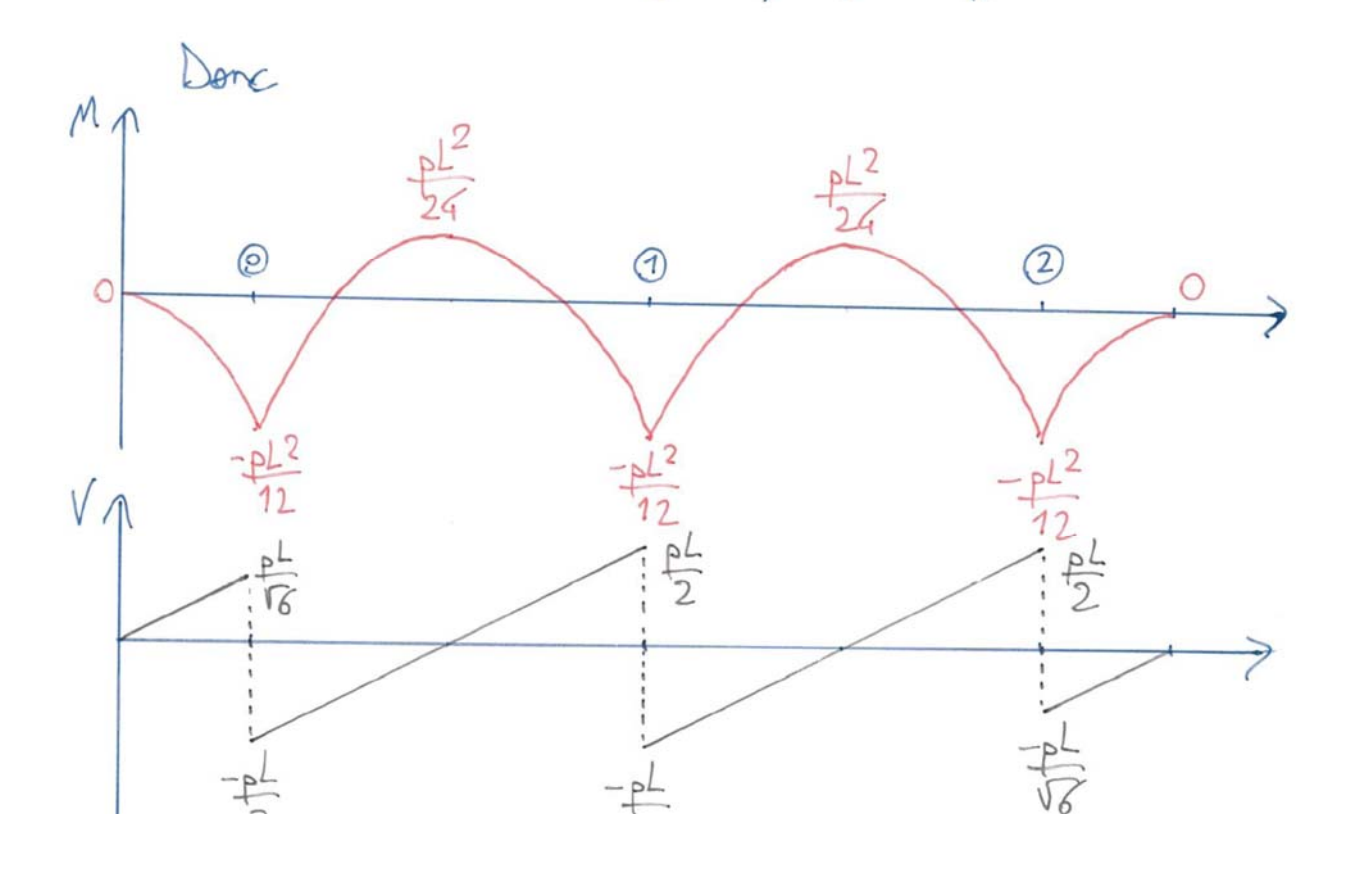
2



Page 140/197

• 
$$V(X) = 0$$
 (=)  $X = \frac{L}{2}$   
=)  $M_{max} = M(x = \frac{L}{2}) = \frac{pL^2}{24}$ 

· Au delà de 1, on soit que la courle M est symétrique par rapport à 1 la courle V est antisynétrique par rapport à 1

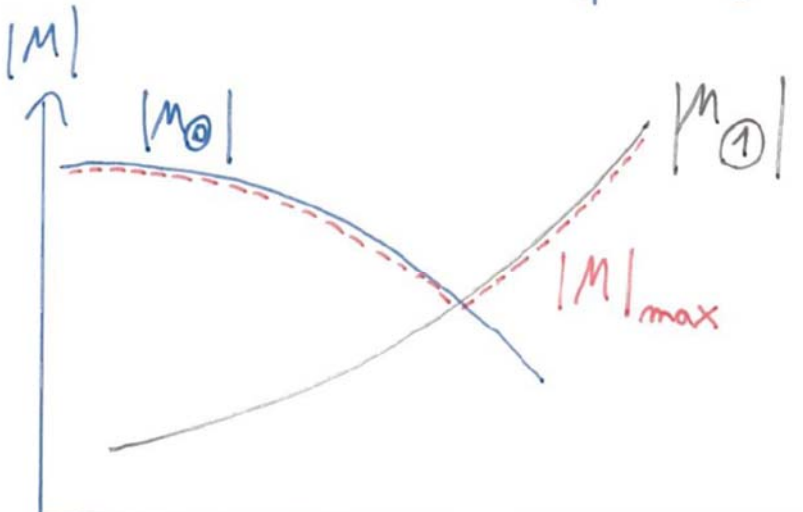


· d pour ovoir min (M/ max

En remarquant que M/max est ou niveau des o

et que  $M_{\odot}(d) = -pd^2L^2$  est une fonction dés

 ${M_{\odot}(2) = \frac{p 2^2 L^2}{8} \text{ est we forther cross.}}$ 



donc le minimum de M/max est larque Mo = et donc d = 1

· Colcul de Plexhe · fleske sur la console : M(se) = - PRE

D'oprès l'érrorcé 
$$\left\{ f\left(x = \frac{L}{16}\right) = 0 \right\}$$

$$\left\{ \frac{df}{dx} \left(x = \frac{L}{16}\right) = 0 \right\}$$

$$= \begin{cases} -0,0012 pL^{4} + 0,4082 AL + B = 0\\ -0,0113 pL^{3} + A = 0 \end{cases}$$

$$= \begin{cases} A = 0,0113 pL^{3} \\ B = -0,0034 pL^{4} \end{cases}$$

• fleiche sur @-1: 
$$M(X) = -\frac{P}{12} (6x^2 - 6LX + 1)$$

Eight(X) = 
$$\frac{P}{12} (2x^3 - 3Lx^2 + L^2X + C)$$
  
Eif(X) =  $\frac{P}{12} (\frac{X^4}{2} - Lx^3 + \frac{L^2x^2}{2} + CX + C)$ 

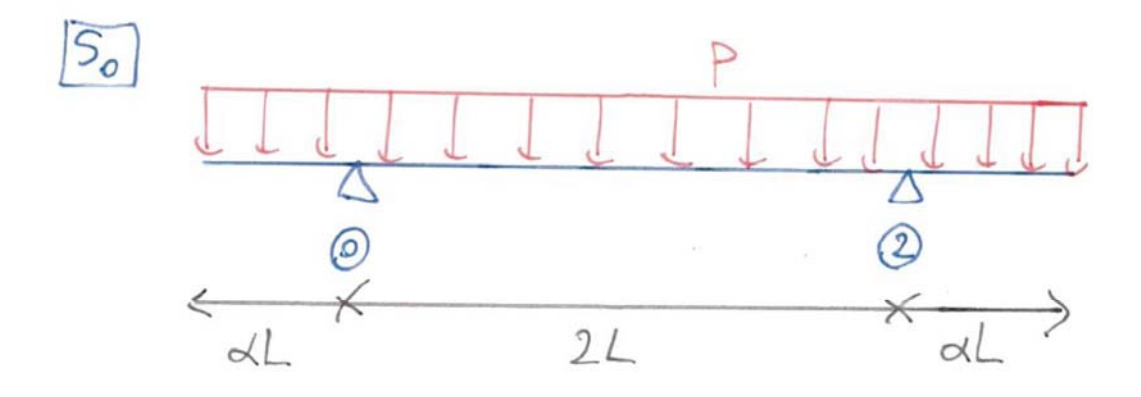
$$|f|_{max} = f\left(X = \frac{L}{2}\right) = \frac{pL^4}{384Ei}$$

Au final, la flècle est maximale est au niveau de la

console:

d max pour éviter le soulèrement à 1

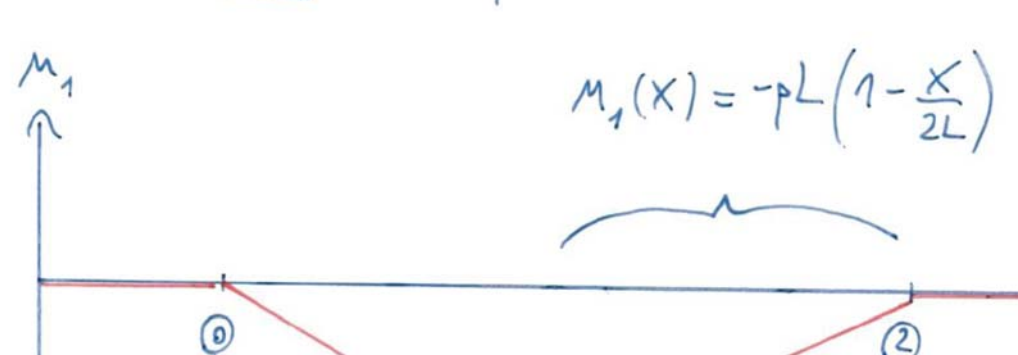
Méthode des forces (en utilisant Pa comme inconnue by

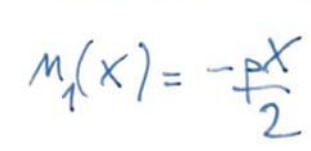






. Structure [5], en posant X = Re-LL





· Structure 50 : Mo,0 = - 222p

$$M_{2,0} = M_{0,0}$$

entre O et 2:

$$M_{iso}(X) = \frac{pX}{2}(2L-X)$$

$$\Rightarrow M_o(X) = \frac{pX}{2} \left( 2L - X \right) - \frac{2^2 L^2}{2} \left( \frac{2L - X}{2L} \right) - \frac{\alpha^2 L}{2}$$

$$\Rightarrow M_o(X) = -\frac{P}{2} \left( X^2 - 2LX + L^2L^2 \right)$$

$$\operatorname{Ei} \delta_{11} = \int_{0}^{2L} M_{1}^{2} dX = \int_{0}^{L} \left(-\frac{pX}{2}\right)^{2} dX + \int_{L}^{2L} \left(-\frac{pL}{2L}\right)^{2} dX$$

$$=\frac{p^2L^3}{6}$$

$$Ei\delta_{01} = \int_{0}^{2L} M_{0}M_{1} dX$$

$$= \int_{0}^{L} \left(\frac{-P}{2}\left(x^{2}-2LX+\lambda^{2}L^{2}\right)\right) dX$$

$$+ \int_{0}^{2L} \left[-PL\left(1-\frac{X}{2L}\right)\right] \left[\frac{-P}{2}\left(x^{2}-2LX+\lambda^{2}L^{2}\right)\right]$$

$$= \frac{p^2 L^4}{24} \left( 62^2 - 5 \right)$$

Donc 
$$\frac{p^2L^3}{6}$$
 Ra  $+\frac{p^2L^4}{24}(6\lambda^2-5)=0$ 

$$=) R_1 = \frac{5-62^2}{4} L > 0$$



Page 146/197

### 5.8.12 Solution 24

· roend (1): 
$$\omega''_1 = -\omega'_2 = -pL^3$$
  
24Ei

$$4LM_0 + LM_2 = 6Ei\left(\frac{-pL^3}{24Ei} - \frac{pL^3}{24Ei}\right)$$

=) 
$$5^{M} O = -pL^{2}$$
  
 $\frac{1}{2}$  =  $\frac{10^{2}}{10}$ 

$$= M(\alpha e) = \frac{P^{Ae}}{2} \left( L - \alpha e \right) - \frac{pL^2}{10} \left( \frac{\alpha e}{L} \right)$$

$$\Re \left(\alpha\right) = \frac{-p^{2}}{2} + \frac{2pL\alpha}{5}$$

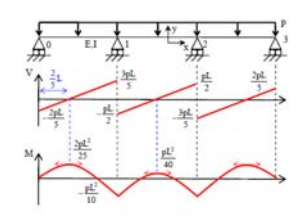
$$\left(\sqrt{\alpha}\right) = p^{2} - \frac{2pL}{5}$$



Page 147/197

$$M(X) = -\frac{pX^2}{2} + \frac{pLX}{2} - \frac{pL^2}{10}$$
 $V(X) = pX - pL$ 

The 2 er 3 | Symétrie de M por rapport au centre antisymétrie de V por rapport au centre



# Calcul Structure Bâtiment http://www.csb.bet



Page 148/197

Cas J

Need 
$$0: 4Lm_0 + Lm_0 = 6Ei \left[\frac{5-0}{L} + \frac{5-5}{L}\right]$$

$$= \frac{M_0}{M_0} = \frac{6Ei\delta}{5!^2}$$

$$\Rightarrow M(\alpha) = \frac{6Ei\delta}{5L^2} \cdot \frac{\alpha}{L} \Rightarrow M(\alpha) = \frac{6Ei\delta \pi}{5L^3}$$

$$\Rightarrow V(\alpha) = -\frac{6Ei\delta}{5L^3}$$

$$M(X) = \frac{6Ei\delta}{5L^2} \cdot \left(\frac{L-X}{L}\right) + \frac{6Ei\delta}{5L^2} \cdot \frac{X}{L}$$

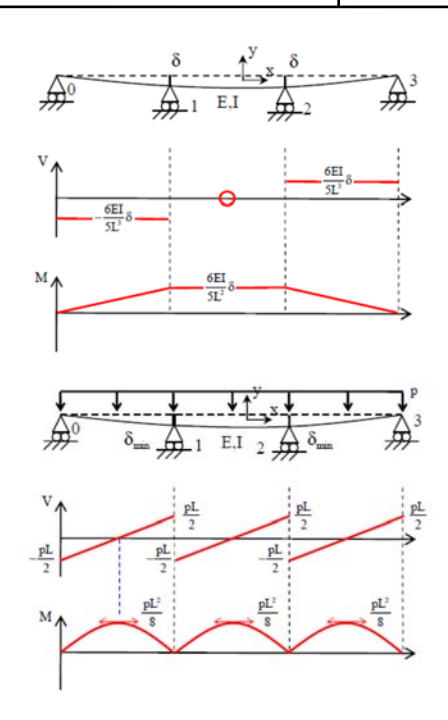
$$\frac{1}{2} \left( M(X) = \frac{6Ei\delta}{5L^2} \right)$$

$$\left( V(X) = 0 \right)$$

 $= \frac{1}{2} \left( \frac{M(X)}{5L^2} \right) = \frac{6Eid}{5L^2}$ • ente ② er ③: [ Symétrie de M por rapport au centre [ antisymétrie de V ]



Page 149/197



Au niveau de ①: 
$$M_{\odot} \geqslant 0$$

$$= \frac{10}{10} + \frac{6Ei \delta_{min}}{5L^2} \geqslant 0$$

$$=) \quad \overline{\sigma}_{min} = \underbrace{\rho L^2}_{10} \cdot \underbrace{SL^2}_{6E_i}$$

$$\Rightarrow \int_{min} = \frac{p \cdot L^4}{12Ei}$$

Réaction top vers le hour?

Réaction ness le hour si  $V(x^-) - V(x^+) > 0$ Cette condition est respectée quelque soit l'appui

# 6. Méthode des déplacements

# 6.1 Domaine d'application

- Problème plan (structure plane dont le chargement est dans son plan)
- Petites déformations
- Domaine élastique et linéaire du matériau
- Liaisons parfaites
- Poutres droites
- Section constante

### 6.2 Notions de nœuds

On appelle nœud chaque extrémité de poutres qui composent la structure considérée.

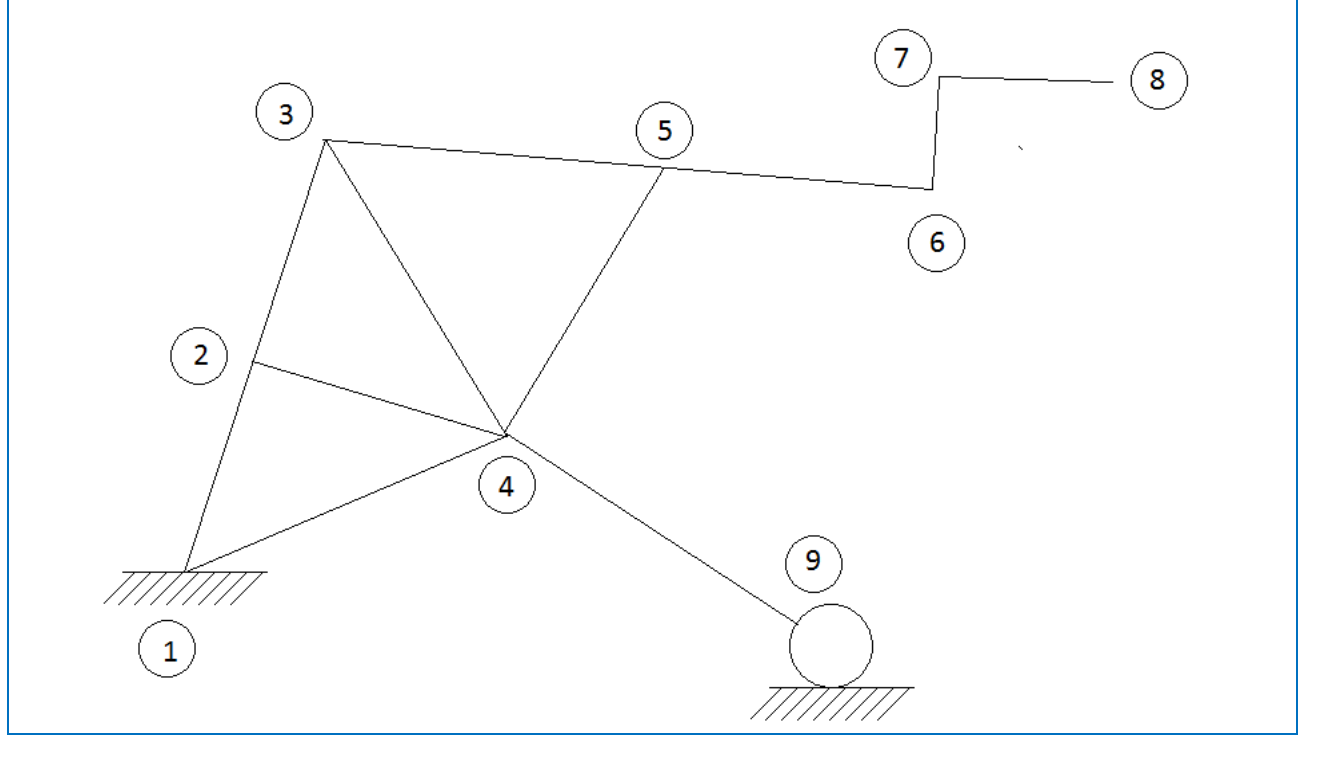
### **Exemples**

- intersection entre plusieurs poutres
- intersection entre structure et appuis extérieurs
- extrémité libre

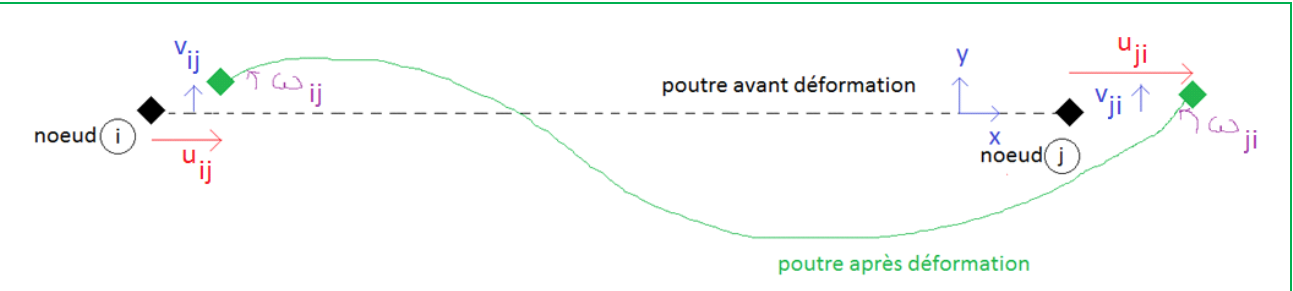
### Illustration

La stucture suivante est composée de :

- 9 nœuds
- 11 poutres



# 6.3 Déplacements et rotations dans le repère local



 $u_{ij}$ : déplacement selon  $\vec{x}$  du repère local du nœud [i] pour la poutre [i] - [j] [m]

 $v_{ij}$ : déplacement selon  $\vec{y}$  du repère local du nœud [i] pour la poutre [i] - [j] [m]

 $\omega_{ij}$ : rotation selon le repère local du nœud [i] pour la poutre [i] - [j] [rad]

### Remarque:

les notations sont similaires pour le nœud |j| (où les déplacements sont notés  $u_{ji}$ ,  $v_{ji}$  et  $\omega_{ji}$ ).

### 6.4 Notations entre repère local et repère global

Les déplacements et rotation dans le repère local seront notés en minuscule comme indiqué précédemment.

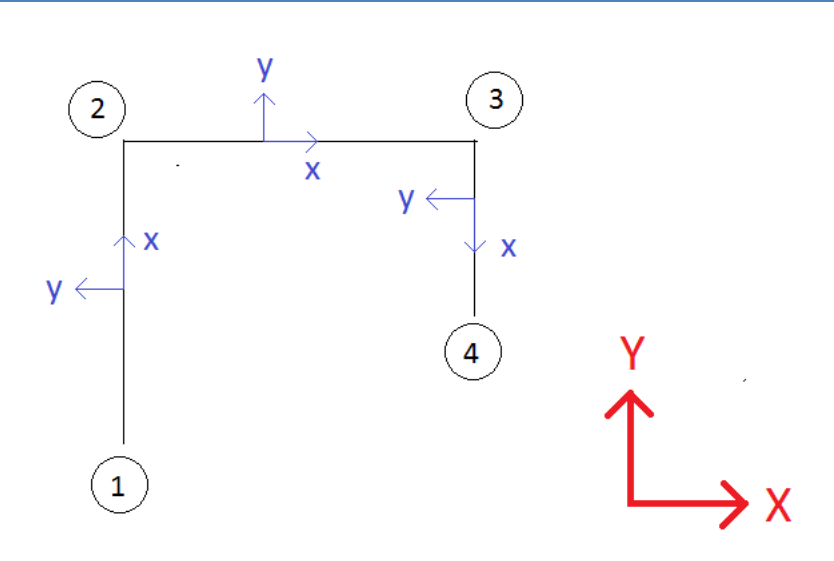
Ces mêmes déplacements sont notés en majuscule dans le repère global :

 $\mathsf{U_i}$  : déplacement selon  $\vec{X}$  du repère global du nœud  $\boxed{i}$ 

 $V_i$ : déplacement selon  $\vec{Y}$  du repère global du nœud  $\vec{t}$  [m]

 $\Omega_i$ : rotation selon le repère global du nœud  $\overline{i}$  [rad]

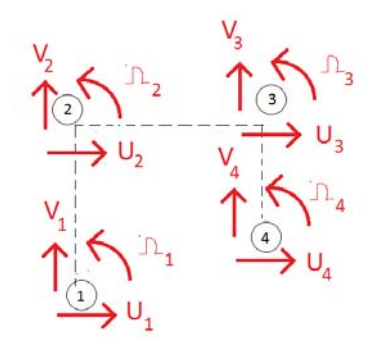
Illustration



Exprimer les déplacements et rotations du repère local en fonction des mêmes déplacements et rotation dans le repère global

### **Solution**

Dans le repère global, les déplacements des nœuds sont notés :





Dans les différents repères locaux :

(A) 21	
$v_{12} \leftarrow \begin{vmatrix} & & & \\ & & \uparrow \\ & & \downarrow \\ 12 & & & 12 \end{vmatrix}$	

$$U_1 = -v_{12}$$

$$V_1 = u_{12}$$

$$\Omega_1 = \omega_{12}$$

$$U_2 = -v_{21}$$

$$V_2 = u_{21}$$

$$\Omega_2 = \omega_{21}$$

$$U_2 = u_{23}$$

$$V_2 = v_{23}$$

$$\Omega_2 = \omega_{23}$$

$$U_3 = u_{32}$$

$$V_3 = v_{32}$$

$$\Omega_3 = \omega_{32}$$

$$U_3 = -v_{34}$$

$$V_3 = -u_{34}$$

$$\Omega_3 = -\omega_{34}$$

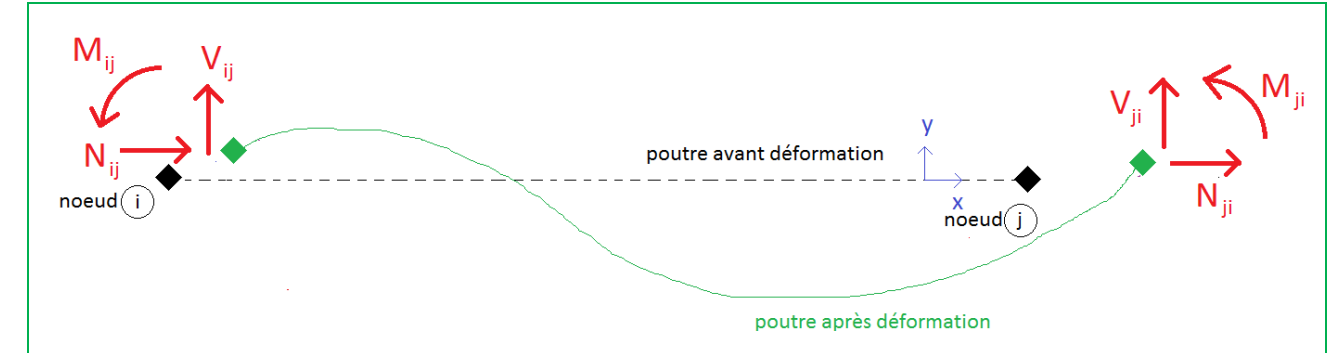
$$U_4 = -v_{43}$$

$$U_4 = -v_{43}$$

$$V_4 = -u_{43}$$

$$\Omega_4 = -\omega_{43}$$

#### 6.5 Torseurs aux nœuds



 $N_{ij}$ : effort normal selon le repère local au niveau du nœud [i] pour la poutre [i] - [j][N]

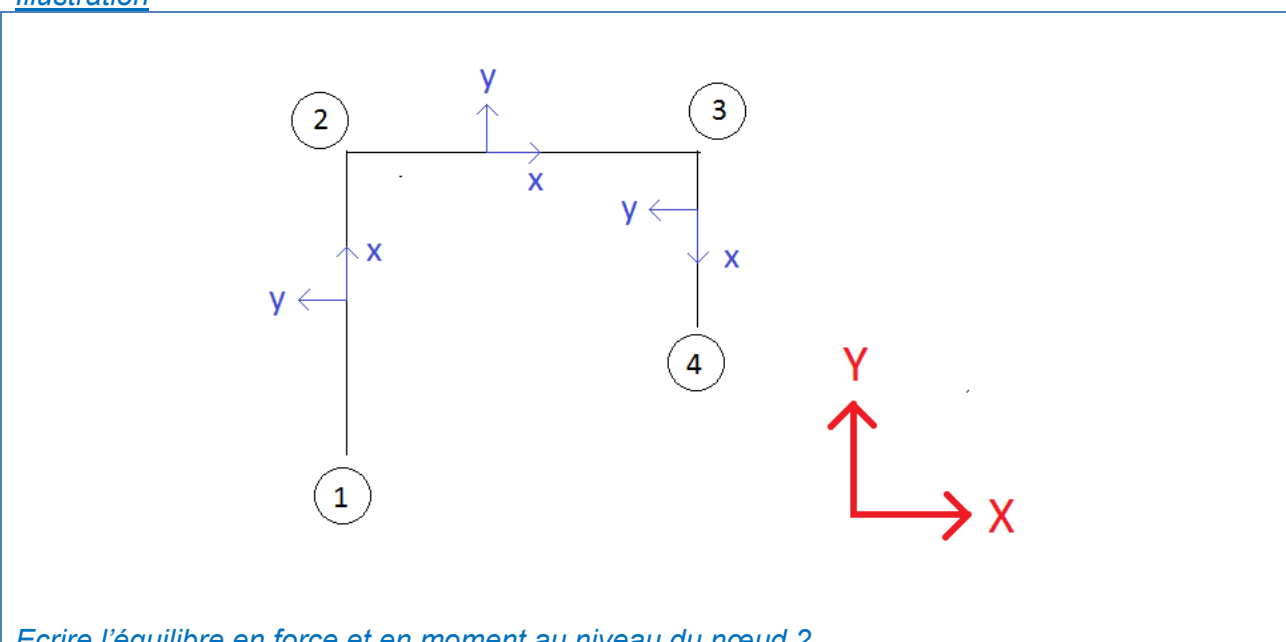
 $V_{ij}$ : effort tranchant selon le repère local au niveau du nœud [i] pour la poutre [i] - [j][N]

 $M_{ij}$ : moment fléchissant selon le repère local au niveau du nœud [i] pour la poutre [i] -[j] [N.m]

 $\underline{\mathsf{Remarque}} : \mathsf{les} \ \mathsf{notations} \ \mathsf{sont} \ \mathsf{similaires} \ \mathsf{pour} \ \mathsf{le} \ \mathsf{nœud} \ \boxed{j} \ \mathsf{avec} \ \mathsf{l'indice} \ \mathsf{w} \ \mathsf{_{ji}} \ \mathsf{w} \ \mathsf{en} \ \mathsf{remplacement} \ \mathsf{de}$ l'indice « ii ».

Une fois les torseurs écrits aux neuds selon les repères locaux, il est nécessaire de savoir réaliser un équilibre au niveau de ces mêmes nœuds.

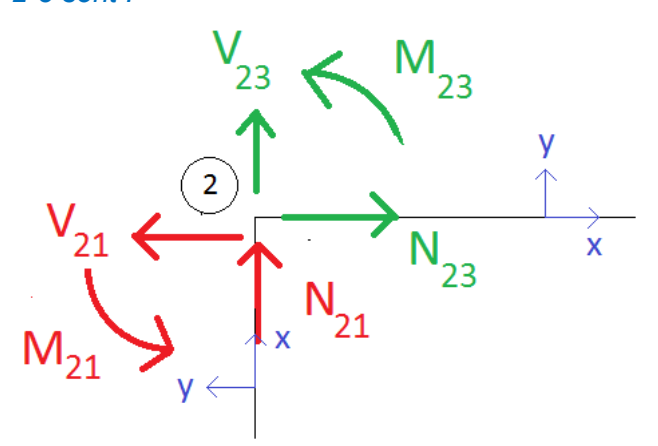
### Illustration



Ecrire l'équilibre en force et en moment au niveau du nœud 2.

### Solution

Les torseurs au niveau du nœud 2 écrits par rapport aux repères locaux sur les poutres 1-2 et 2-3 sont :



Ainsi, l'équilibre des forces et des moments se traduit par les équations suivantes :

$$N_{23} - V_{21} = 0$$

$$N_{21} + V_{23} = 0$$

$$M_{21} + M_{23} = 0$$

# 6.6 Relations entre déplacements et rotations et torseurs aux nœuds

La poutre considérée se situe entre les nœuds [i] et [j] et [i] et

## Notations complémentaires :

L : longueur de la poutre	[m]
E : module de Young du matériau	[Pa]
I : moment d'inertie de la section de la poutre	[m <sup>4</sup> ]
A : section de la poutre	$[m^2]$

Nœud $ar{t}$	Nœud j
$N_{ij} = -\frac{EA}{L}(u_{ji} - u_{ij}) + N_{ij}^0$	$N_{ji} = \frac{EA}{L} \left( u_{ji} - u_{ij} \right) + N_{ji}^0$
$V_{ij} = \frac{6EI}{L^2} \left(\omega_{ij} + \omega_{ji}\right) - \frac{12EI}{L^3} \left(v_{ji} - v_{ij}\right) + V_{ij}^0$	$V_{ji} = -\frac{6EI}{L^2}(\omega_{ij} + \omega_{ji}) + \frac{12EI}{L^3}(v_{ji} - v_{ij}) + V_{ji}^0$
$M_{ij} = \frac{4EI\omega_{ij}}{L} + \frac{2EI\omega_{ji}}{L} - \frac{6EI}{L^2}(v_{ji} - v_{ij}) + M_{ij}^0$	$M_{ji} = \frac{2EI\omega_{ij}}{L} + \frac{4EI\omega_{ji}}{L} - \frac{6EI}{L^2}(v_{ji} - v_{ij}) + M_{ji}^0$

 $N_{ij}^0$ ,  $N_{ji}^0$ ,  $V_{ij}^0$ ,  $V_{ji}^0$ ,  $M_{ij}^0$  et  $M_{ji}^0$  sont les valeurs des torseurs au niveau des nœuds [i] et [j] lorsque la poutre [i] – [j] est considérée bi-encastrée et que le chargement initial est conservé.



Page 156/197

# 6.7 Valeurs connues au niveau des appuis et des extrémités libres

Liaisons	Valeurs connues	
Liaioono	en déplacement et en rotation	du torseur
Extrémité libre (illustration au nœud i)	poutre après déformation  Vij  Vij  Vij  X  Aucune valeur connue	$N_{ij} = 0$ $V_{ij} = 0$ $V_{ij} = 0$ $M_{ij} = 0$
Appui simple (illustration au nœud i)	$v_{ij} = 0$	$N_{ij} = 0$ $M_{ij} = 0$
Rotule (illustration au nœud i)	poutre après déformation $u_{ij}=0$ $v_{ij}=0$	$M_{ij} = 0$
Encastrement (illustration au nœud i)	$\mathbf{v}$	N <sub>ij</sub> V <sub>ij</sub> N <sub>ij</sub> Aucune valeur connue

Boris TEDOLDI RDM - ENTPE 2ème année

## Calcul Structure Bâtiment http://www.csb.bet



Page 157/197

#### 6.8 Méthode

- Numéroter chaque nœud de la structure Ι.
- Pour chaque nœud intérieur de la structure (les nœuds en extrémité libres et au niveau II. des réactions d'appuis sont exclus).
  - a. Dessiner dans le repère local le torseur
  - b. Ecrire les 3 équations d'équilibre dans le repère global selon
    - i. La direction  $\vec{X}$
    - ii. La direction  $\vec{Y}$
    - iii. Le moment fléchissant autour de  $\vec{Z}$
- III. Au niveau des nœuds en extrémités libres et au niveau des réactions d'appuis, ajouter en équation les éléments du torseur qui sont nuls.
- IV. On a obtenu autant d'équations que d'inconnues. Remplacer les torseurs aux nœuds par les déplacements et rotations aux nœuds dans le repère local de chaque poutre (en tenant compte des valeurs connues au niveau des réactions d'appuis)
- Remplacer les notations des repères locaux par les notations du repère global pour les ٧. déplacements et rotations.
- VI. Résoudre le système obtenu
- Calculer les torseurs au niveau des nœuds VII.
- VIII. Obtenir les torseurs en tout point par utilisation de relations entre moments et efforts tranchant entre deux sections d'une poutre droite dont les moments sont connus

Adaptation de la relation du chapitre 2 avec :  $\begin{cases} M_A = -M_{ij} \\ M_B = M_{ii} \end{cases}$ 

Ainsi, pour chaque poutre [i] - [j],

Le moment à l'abscisse x est égal à : L'effort tranchant à l'abscisse x est égal à :

$$M_{ij}(x) = M_{iso}(x) - M_{ij} \cdot \frac{L - x}{L} + M_{ji} \cdot \frac{x}{L}$$

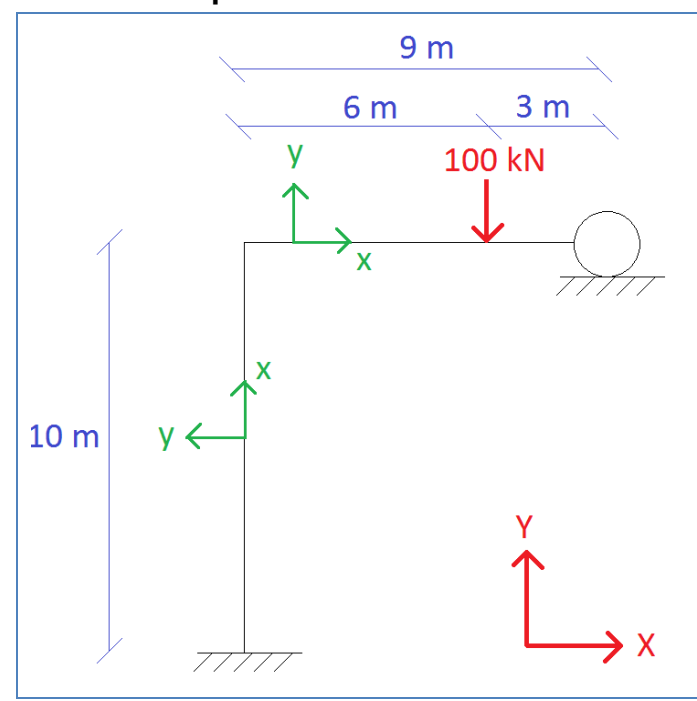
$$V_{ij}(x) = V_{iso}(x) + \frac{M_{ij} + M_{ji}}{L}$$

### **ATTENTION:**

Ces relations ne doivent pas être utilisées pour une portion de poutre en console.

Page 158/197

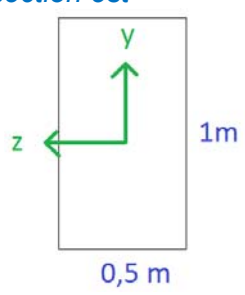
# 6.9 Exemple



Calculer le déplacement et la rotation du nœud à l'intersection des poutres, ainsi que la rotation de la poutre au niveau de la rotule.

## <u>Données</u>

- E = 10 000 MPa
- La section est

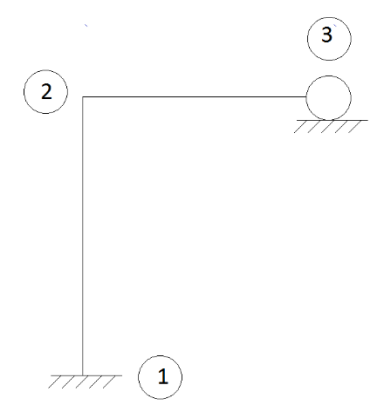


# Calcul Structure Bâtiment http://www.csb.bet

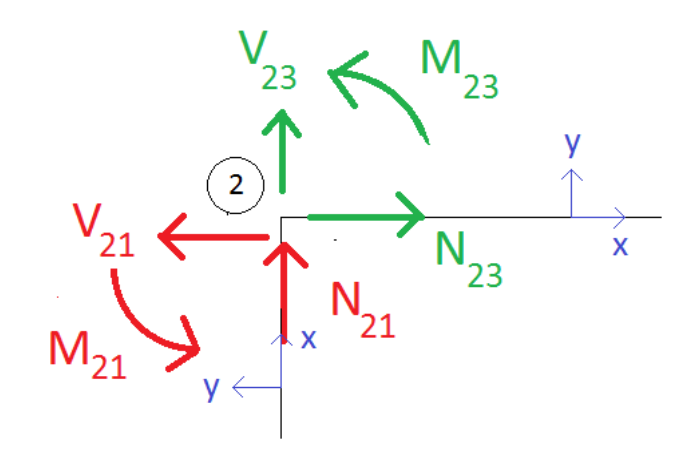
Page 159/197

### Solution

I. Numéroter chaque nœud de la structure



- II. Il existe un seul nœud intérieur : le nœud 2 :
  - a. Dessin dans le repère local du torseur



- b. Ecrire les 3 équations d'équilibre dans le repère global selon
  - i. La direction  $\vec{X}$ :  $N_{23} V_{21} = 0$
  - ii. La direction  $\vec{Y}$ :  $N_{21} + V_{23} = 0$
  - iii. Le moment fléchissant autour de  $\vec{Z}$  :  $M_{21} + M_{23} = 0$
- III. On sait qu'au niveau nœud  $\boxed{3}$ , le moment est nul puisqu'on a une rotule donc  $\boxed{M_{32}=0}$  IV.

 $N_{23} = -\frac{EA}{L_{23}}(u_{32} - u_{23}) + N_{23}^{0}$  = 0  $N_{23}^{0} = 0$   $L_{23}^{0} = 0$   $L_{23}^{0} = 0$   $L_{23}^{0} = 0$   $\omega_{12}^{0} = 0$   $v_{12}^{0} = 0$   $v_{12}^{0} = 0$   $V_{21}^{0} = 0$   $L_{12}^{0} = 10 \text{ m}$ 

Donc:

$$N_{23} - V_{21} = 0 \iff \boxed{\frac{EAu_{23}}{9} + \frac{6EI\omega_{21}}{10^2} - \frac{12EIv_{21}}{10^3} = 0}$$

# Calcul Structure Bâtiment http://www.csb.bet



Page 160/197

$N_{21} = \frac{EA}{L_{12}}(u_{21} - u_{12}) + N_{21}^{0}$	Avec: • $u_{12} = 0$ • $N_{21}^0 = 0$ • $L_{12} = 10 m$
$V_{23} = \frac{6EI}{L_{23}^{2}}(\omega_{23} + \omega_{32}) - \frac{12EI}{L_{23}^{3}}(v_{32} - v_{23}) + V_{23}^{0}$	Avec: • $v_{32} = 0$ • $L_{23} = 9 m$ • $V_{23}^0 = \frac{Pb^2}{L_{23}^3}(3a + b) = \frac{7P}{27}$

Donc:

$$N_{21} + V_{23} = 0 \iff \boxed{\frac{EAu_{21}}{10} + \frac{6EI}{9^2}(\omega_{23} + \omega_{32}) + \frac{12EIv_{23}}{9^3} + \frac{7P}{27} = 0}$$

$M_{21} = \frac{2EI\omega_{12}}{L_{12}} + \frac{4EI\omega_{21}}{L_{12}} - \frac{6EI}{L_{12}^2}(v_{21} - v_{12}) + M_{21}^0$	Avec: • $\omega_{12} = 0$ • $v_{12} = 0$ • $L_{12} = 10 m$ • $M_{21}^0 = 0$
$M_{23} = \frac{4EI\omega_{23}}{L_{23}} + \frac{2EI\omega_{32}}{L_{23}} - \frac{6EI}{L_{23}^2}(v_{32} - v_{23}) + M_{23}^0$	Avec: • $v_{32} = 0$ • $L_{23} = 9 m$ • $M_{23}^{0} = \frac{Pab^2}{L_{23}^2} = \frac{2P}{3}$

Donc:

$$M_{21} + M_{23} = 0 \iff \boxed{\frac{4EI\omega_{21}}{10} - \frac{6EIv_{21}}{10^2} + \frac{4EI\omega_{23}}{9} + \frac{2EI\omega_{32}}{9} + \frac{6EIv_{23}}{9^2} + \frac{2P}{3} = 0}$$

$$M_{21} + M_{23} = 0 \Leftrightarrow \boxed{10 - \frac{10^2}{10^2} + \frac{9}{9} + \frac{9}{9^2} + \frac{3}{3} = 0}$$

$$M_{32} = \frac{2EI\omega_{23}}{L_{23}} + \frac{4EI\omega_{32}}{L_{23}} - \frac{6EI}{L_{23}^2}(v_{32} - v_{23}) + M_{32}^0$$

$$\bullet \quad v_{32} = 0$$

$$\bullet \quad L_{23} = 9 \text{ m}$$

$$\bullet \quad M_{23}^0 = -\frac{Pa^2b}{L_{23}^2} = -\frac{4P}{3}$$
Donc

Donc

$$M_{32} = \left[ \frac{2EI\omega_{23}}{9} + \frac{4EI\omega_{32}}{9} + \frac{6EIv_{23}}{9^2} - \frac{4P}{3} = 0 \right]$$

Remplacer les notations des repères locaux par les notations du repère global pour les V. déplacements et rotations.

Repère local	Repère global
<b>U</b> <sub>21</sub>	$V_2$
<b>U</b> <sub>23</sub>	$U_2$
V <sub>21</sub>	<b>-U</b> <sub>2</sub>
V <sub>23</sub>	$V_2$
$\omega_{21}$	$\Omega_2$
$\omega_{23}$	$\Omega_2$
<b>ω</b> 32	$\Omega_3$

Donc

$$\frac{EAu_{23}}{9} + \frac{6EI\omega_{21}}{10^2} - \frac{12EIv_{21}}{10^3} = 0 \Leftrightarrow \frac{EAU_2}{9} + \frac{6EI\Omega_2}{10^2} + \frac{12EIU_2}{10^3} = 0$$

$$\Leftrightarrow \boxed{U_2\left(\frac{EA}{9} + \frac{12EI}{10^3}\right) + \frac{6EI\Omega_2}{10^2} = 0}$$

$$\frac{EAu_{21}}{10} + \frac{6EI}{9^2}(\omega_{23} + \omega_{32}) + \frac{12EIv_{23}}{9^3} + \frac{7P}{27} = 0$$

$$\Leftrightarrow V_2\left(\frac{EA}{10} + \frac{12EI}{9^3}\right) + \frac{6EI}{9^2}(\Omega_2 + \Omega_3) + \frac{7P}{27} = 0$$

$$\begin{split} \frac{4EI\omega_{21}}{10} - \frac{6EIv_{21}}{10^2} + \frac{\mathbf{4EI}\omega_{23}}{9} + \frac{\mathbf{2EI}\omega_{32}}{9} + \frac{\mathbf{6EI}v_{23}}{9^2} + \frac{2P}{3} &= 0\\ \Leftrightarrow \frac{4EI\Omega_2}{10} + \frac{6EIU_2}{10^2} + \frac{\mathbf{4EI}\Omega_2}{9} + \frac{\mathbf{2EI}\Omega_3}{9} + \frac{\mathbf{6EI}V_2}{9^2} + \frac{2P}{3} &= 0\\ \Leftrightarrow \frac{38EI\Omega_2}{45} + \frac{6EIU_2}{10^2} + \frac{\mathbf{2EI}\Omega_3}{9} + \frac{\mathbf{6EI}V_2}{9^2} + \frac{2P}{3} &= 0 \end{split}$$

$$\frac{2EI\omega_{23}}{9} + \frac{4EI\omega_{32}}{9} + \frac{6EIv_{23}}{9^2} - \frac{4P}{3} = 0$$

$$\Leftrightarrow \left[ \frac{2EI\Omega_2}{9} + \frac{4EI\Omega_3}{9} + \frac{6EIV_2}{9^2} - \frac{4P}{3} = 0 \right]$$

# D'après l'énoncé :

- E = 100000000000 Pa
- $\bullet \quad I = \frac{0.5 \times 1^3}{12} \ m^4$
- $A = 0.5 \times 1 = 0.5 m^2$

### L'application numérique est :

$$\begin{pmatrix} 0 & 506913580 & 31111111 & 31111111 \\ 560595556 & 0 & 25200000 & 0 \\ 25200000 & 31111111 & 354666667 & 93333333 \\ 0 & 31111111 & 93333333 & 186666667 \end{pmatrix} \begin{pmatrix} U_2 \\ V_2 \\ \Omega_2 \\ \Omega_3 \end{pmatrix} = \begin{pmatrix} -25926 \\ 0 \\ -66667 \\ 133333 \end{pmatrix}$$

### Au final, la résolution du système est : VI.

- $U_2 = 0.0000194 m$
- $V_2 = -0.0000826 m$   $\Omega_2 = -0.000431 rad$
- $\Omega_3 = 0.000942 \, rad$

### Remarque:

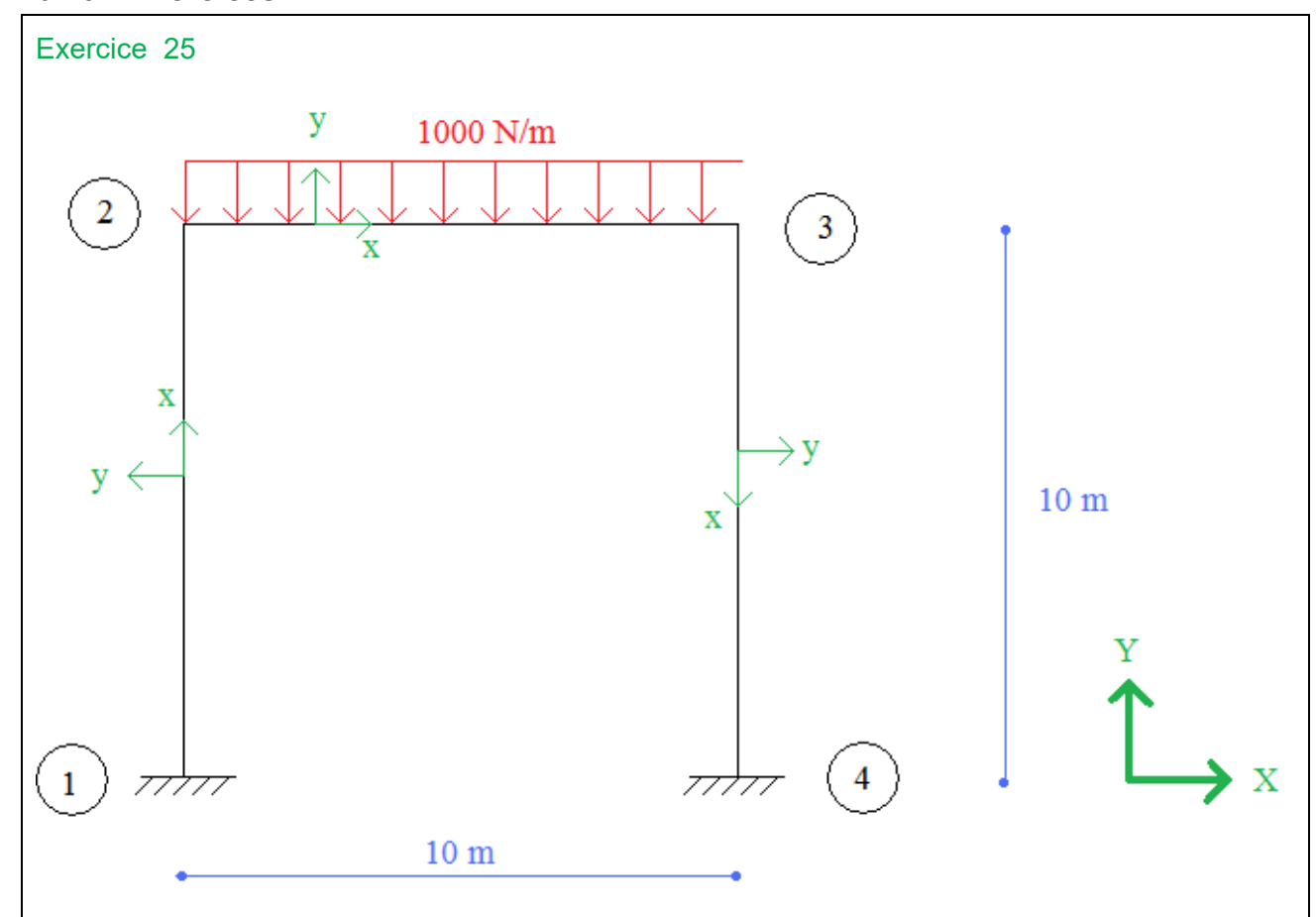
Ensuite pour obtenir les torseurs au niveau des nœuds, il suffit d'utiliser les relations entre les torseurs et les déplacements.

Puis, il est possible d'obtenir le torseur en tout point puisque les torseurs aux extémités des poutres sont connus.



Page 162/197

### 6.10 Exercices



# Caractéristiques géométrique de la section :

Aire: 0,12 m²

• Moment d'inertie : 0,0016 m<sup>4</sup>

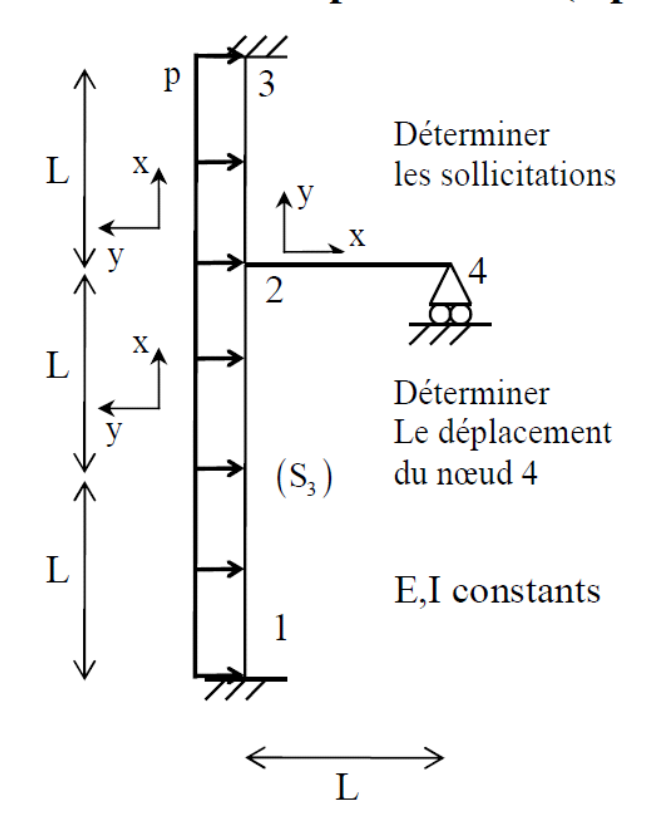
Module de Young: 30.109 Pa

Calculer les rotations et déplacements des nœuds 2 et 3.

### 6.11 Extraits d'annales

Exercice 26 : extrait des annales de novembre 2013

# Partie III : Méthode des déplacements (7 pts)



Données supplémentaires par rapport aux annales

On exprimera les sollicitations avec l'application numérique suivante :

- L = 5 m
- $E = 30.10^9 Pa$
- p = 1000 N/m
- $A = 0.5 \text{ m}^2$
- I = 0,0417 m<sup>4</sup>

Le repère global est pris avec les directions suivantes :



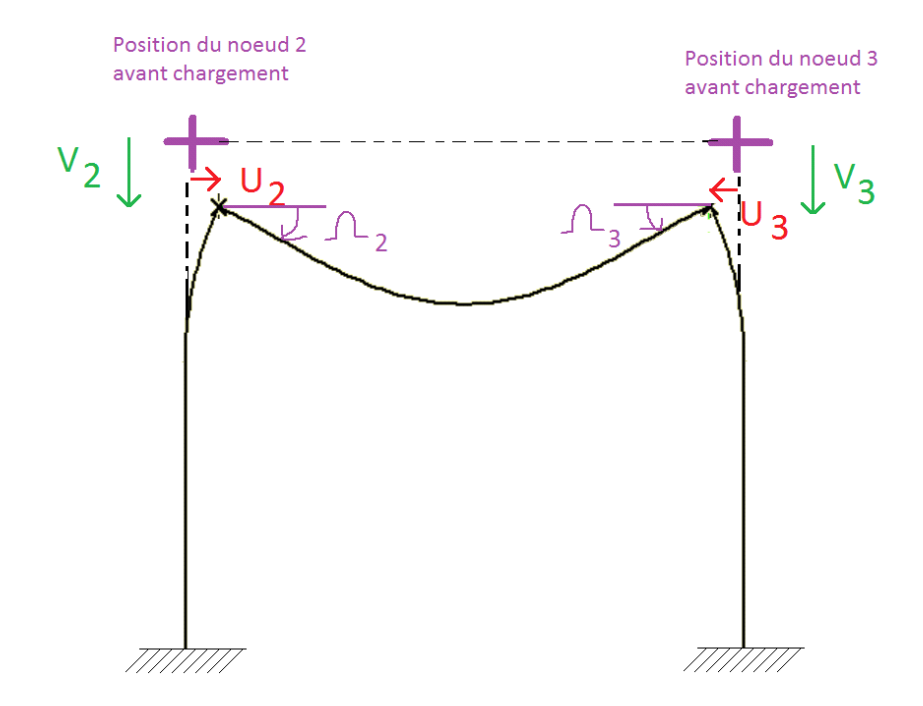
### 6.12 Solutions

### 6.12.1 Solution 25

### <u>Inconnues</u>

Au niveau des encastrements les déplacements sont nuls :  $\begin{cases} U_1=V_1=U_2=V_2=0 \\ \Omega_1=\Omega_2=0 \end{cases}$ 

Les inconnues sont donc les déplacements au niveau des nœuds 2 et 3 :  $U_2$ ,  $V_2$ ,  $\Omega_2$ ,  $U_3$ ,  $V_3$  et  $\Omega_3$ .



Par symétrie du problème, il vient que :

$$\begin{cases} U_2 = -U_3 \\ V_2 = V_3 \\ \Omega_2 = -\Omega_3 \end{cases}$$

Ainsi, seules 3 inconnues ne sont à déterminer.

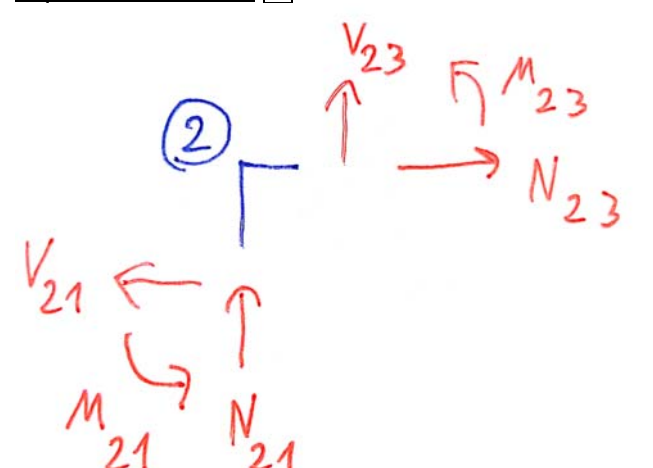


Page 165/197

# Equivalence entre les notations du repère global et du repère local

	nœud 2	nœud 3
Repère global	$\begin{array}{c} V_2 \\ \uparrow \\ \hline 2 \\ \rightarrow V_2 \\ \hline 2 \\ \hline 2 \\ 2 \end{array}$	$V_3$ $A_3$ $A_3$
Repère local de la poutre 2 – 3	$ \begin{array}{c} N_{23} \\ \downarrow \\ 0 \\ 23 \end{array} $	$\omega_{32}$
Repère local de la poutre 1 – 2	$\begin{array}{c} u_{21} \\ \\ \\ \nabla_{21} \end{array}$	Sans objet
Equivalence	$\begin{cases} U_2 = u_{23} = -v_{21} \\ V_2 = v_{23} = u_{21} \\ \Omega_2 = \omega_{23} = \omega_{21} \end{cases}$	$\begin{cases} U_3 = -U_2 = u_{32} \\ V_3 = V_2 = v_{32} \\ \Omega_3 = -\Omega_2 = \omega_{32} \end{cases}$

# Equilibre du nœud 2



La direction  $\vec{X}$ :  $N_{23} - V_{21} = 0$ 

La direction  $\vec{Y}$ :  $N_{21} + V_{23} = 0$ 

Le moment fléchissant autour de  $\vec{Z}$  :  $M_{21}+M_{23}=0$ 

$$\begin{split} M_{23} &= \frac{4EI\omega_{23}}{L_{23}} + \frac{2EI\omega_{32}}{L_{23}} - \frac{6EI}{L_{23}^2}(v_{32} - v_{23}) + M_{23}^0 \\ &= \frac{4EI\Omega_2}{L} + \frac{2EI\Omega_3}{L} - \frac{6EI}{L^2}(V_3 - V_2) + \frac{pL^2}{12} \\ &= \frac{2EI\Omega_2}{L} + \frac{pL^2}{12} \end{split}$$

$$M_{21} = \frac{2EI\omega_{12}}{L} + \frac{4EI\omega_{21}}{L} - \frac{6EI}{L^2}(v_{21} - v_{12}) + M_{21}^0$$
$$= \frac{4EI\Omega_2}{L} + \frac{6EIU_2}{L^2}$$

$$M_{21} + M_{23} = 0 \iff \frac{6EI\Omega_2}{L} + \frac{6EIU_2}{L^2} + \frac{pL^2}{12} = 0$$

$$V_{23} = \frac{6EI}{L^2}(\omega_{23} + \omega_{32}) - \frac{12EI}{L^3}(v_{32} - v_{23}) + V_{23}^0$$
$$= \frac{6EI}{L^2}(\Omega_2 + \Omega_3) - \frac{12EI}{L^3}(V_3 - V_2) + \frac{pL}{2}$$
$$= \frac{pL}{2}$$

$$N_{21} = \frac{EA}{L}(u_{21} - u_{12}) + N_{21}^{0}$$
$$= \frac{EAV_2}{L}$$

$$N_{21} + V_{23} = 0 \iff \frac{pL}{2} + \frac{EAV_2}{L} = 0$$

$$N_{23} = -\frac{EA}{L}(u_{32} - u_{23}) + N_{23}^{0}$$

$$= -\frac{EA}{L}(-U_{2} - U_{2})$$

$$= \frac{2EAU_{2}}{L}$$

$$V_{21} = -\frac{6EI}{L^2}(\omega_{12} + \omega_{21}) + \frac{12EI}{L^3}(v_{21} - v_{12}) + V_{21}^0$$
$$= -\frac{6EI\Omega_2}{L^2} - \frac{12EIU_2}{L^3}$$

$$= -\frac{6EI\Omega_{2}}{L^{2}} - \frac{12EIU_{2}}{L^{3}}$$

$$N_{23} - V_{21} = 0 \iff \boxed{\frac{2EAU_{2}}{L} + \frac{6EI\Omega_{2}}{L^{2}} + \frac{12EIU_{2}}{L^{3}} = 0}$$

# Résolution:

$$\begin{pmatrix} \frac{6EI}{L^{2}} & 0 & \frac{6EI}{L} \\ 0 & \frac{EA}{L} & 0 \\ \frac{2EA}{L} + \frac{12EI}{L^{3}} & 0 & \frac{6EI}{L^{2}} \end{pmatrix} \begin{pmatrix} U_{2} \\ V_{2} \\ \Omega_{2} \end{pmatrix} = \begin{pmatrix} -\frac{pL^{2}}{12} \\ -\frac{pL}{2} \\ 0 \end{pmatrix}$$

Application numérique :

$$\begin{pmatrix} 2880000 & 0 & 28800000 \\ 0 & 360000000 & 0 \\ 720576000 & 0 & 2880000 \end{pmatrix} \begin{pmatrix} U_2 \\ V_2 \\ \Omega_2 \end{pmatrix} = \begin{pmatrix} -8333 \\ -5000 \\ 0 \end{pmatrix}$$

D'où 
$$\begin{cases} U_2 = 1,16.10^{-6} m \\ V_2 = -1,39.10^{-5} m \\ \Omega_2 = -2,89.10^{-4} m \end{cases}$$

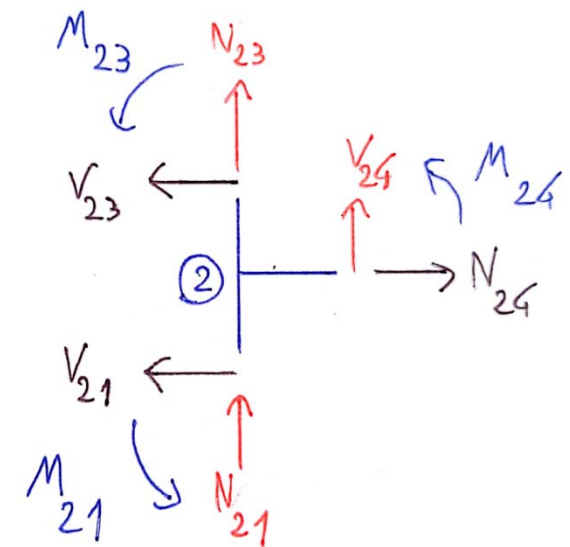
### 6.12.2 Solution 26

### **Inconnues**

Au niveau des encastrements les déplacements sont nuls, ainsi que le déplacement vertical au niveau du nœud  $\boxed{4}$  :  $\begin{cases} U_1=V_1=U_3=V_3=V_4=0\\ \Omega_1=\Omega_3=0 \end{cases}$ 

Les inconnues sont donc les déplacements au niveau des nœuds  $\boxed{2}$  et  $\boxed{4}$  : U<sub>2</sub>, V<sub>2</sub>,  $\Omega_2$ , U<sub>4</sub>, et  $\Omega_4$ .

# Equilibre du nœud 2



La direction  $\vec{X}$ :  $N_{24} - V_{23} - V_{21} = 0$ 

La direction  $\vec{Y} : N_{23} + N_{21} + V_{24} = 0$ 

Le moment fléchissant autour de  $\vec{Z}$  :  $M_{21}+M_{23}+M_{24}=0$ 

De plus, le nœud 4 est une appui simple donc :

$$\begin{cases} M_{42} = 0 \\ N_{42} = 0 \end{cases}$$

Boris TEDOLDI RDM - ENTPE 2ème année

# Calcul Structure Bâtiment http://www.csb.bet



Page 168/197

# Equivalence entre les notations du repère global et du repère local

	nœud 2	nœud 4
Repère global	V2 ← 2 7 2 2 2 2 2 2 2 2 2 2 2 2 2 2 2 2	S4 (4) ~ U4
Repère local de la poutre 2 – 3	~ 23 ~ 23 ~ 23	Sans objet
Repère local de la poutre 1 – 2	$\begin{array}{c} \begin{array}{c} \begin{array}{c} \begin{array}{c} \\ \\ \\ \end{array} \end{array} \\ \begin{array}{c} \\ \\ \\ \\ \\ \\ \\ \end{array} \\ \begin{array}{c} \\ \\ \\ \\ \\ \\ \end{array} \\ \begin{array}{c} \\ \\ \\ \\ \\ \\ \end{array} \\ \begin{array}{c} \\ \\ \\ \\ \\ \\ \end{array} \\ \begin{array}{c} \\ \\ \\ \\ \\ \\ \\ \end{array} \\ \begin{array}{c} \\ \\ \\ \\ \\ \\ \\ \\ \end{array} \\ \\ \begin{array}{c} \\ \\ \\ \\ \\ \\ \\ \\ \\ \\ \end{array} \\ \\ \begin{array}{c} \\ \\ \\ \\ \\ \\ \\ \\ \\ \\ \\ \\ \\ \\ \\ \\ \\ \\ \\$	Sans objet
Repère local de la poutre 2 – 4	24 ~ ~ ~ ~ ~ ~ ~ ~ ~ ~ ~ ~ ~ ~ ~ ~ ~ ~ ~	$\omega_{42}$ $\boxed{4} \rightarrow \omega_{42}$
Equivalence	$\begin{cases} U_2 = u_{24} = -v_{21} = -v_{23} \\ V_2 = u_{23} = u_{21} = v_{24} \\ \Omega_2 = \omega_{23} = \omega_{21} = \omega_{24} \end{cases}$	$\begin{cases} U_4 = u_{42} \\ V_4 = v_{42} = 0 \\ \Omega_4 = \omega_{42} \end{cases}$

$$M_{24} = \frac{4EI\omega_{24}}{L} + \frac{2EI\omega_{42}}{L} - \frac{6EI}{L^2}(v_{42} - v_{24}) + M_{24}^0$$
$$= \frac{4EI\Omega_2}{L} + \frac{2EI\Omega_4}{L} + \frac{6EIV_2}{L^2}$$

$$\begin{split} M_{21} &= \frac{2EI\omega_{12}}{(2L)} + \frac{4EI\omega_{21}}{(2L)} - \frac{6EI}{(2L)^2}(v_{21} - v_{12}) + M_{21}^0 \\ &= \frac{2EI\Omega_2}{L} + \frac{3EIU_2}{2L^2} - \frac{p(2L)^2}{12} \\ &= \frac{2EI\Omega_2}{L} + \frac{3EIU_2}{2L^2} - \frac{pL^2}{3} \end{split}$$

$$M_{23} = \frac{4EI\omega_{23}}{L} + \frac{2EI\omega_{32}}{L} - \frac{6EI}{L^2}(v_{32} - v_{23}) + M_{23}^0$$
$$= \frac{4EI\Omega_2}{L} - \frac{6EIU_2}{L^2} + \frac{pL^2}{12}$$

$$M_{21} + M_{23} + M_{24} = 0 \iff \boxed{\frac{10EI\Omega_2}{L} - \frac{9EIU_2}{2L^2} + \frac{2EI\Omega_4}{L} + \frac{6EIV_2}{L^2} - \frac{pL^2}{4} = 0}$$

$$V_{23} = \frac{6EI}{L^2}(\omega_{23} + \omega_{32}) - \frac{12EI}{L^3}(v_{32} - v_{23}) + V_{23}^0$$
$$= \frac{6EI\Omega_2}{L^2} - \frac{12EIU_2}{L^3} + \frac{pL}{2}$$

$$\begin{split} V_{21} &= -\frac{6EI}{(2L)^2} (\omega_{12} + \omega_{21}) + \frac{12EI}{(2L)^3} (v_{21} - v_{12}) + V_{21}^0 \\ &= -\frac{6EI\Omega_2}{(2L)^2} - \frac{12EIU_2}{(2L)^3} + \frac{p(2L)}{2} \\ &= -\frac{3EI\Omega_2}{2L^2} - \frac{3EIU_2}{2L^3} + pL \end{split}$$

$$N_{24} = -\frac{EA}{L}(u_{42} - u_{24}) + N_{24}^{0}$$
$$= \frac{EAU_2}{L} - \frac{EAU_4}{L}$$

$$N_{24} - V_{23} - V_{21} = 0 \iff \boxed{\frac{9EI\Omega_2}{2L^2} + \left(-\frac{27EI}{2L^3} + \frac{EA}{L}\right)U_2 - \frac{EAU_4}{L} + \frac{3pL}{2} = 0}$$

$$N_{23} = -\frac{EA}{L}(u_{32} - u_{23}) + N_{23}^{0}$$
$$= \frac{EAV_{2}}{L}$$

$$N_{21} = \frac{EA}{(2L)}(u_{21} - u_{12}) + N_{21}^{0}$$

$$=\frac{EAV_2}{2L}$$

$$V_{24} = \frac{6EI}{L^2}(\omega_{24} + \omega_{42}) - \frac{12EI}{L^3}(v_{42} - v_{24}) + V_{24}^0$$

$$= \frac{6EI\Omega_2}{L^2} + \frac{6EI\Omega_4}{L^2} + \frac{12EIV_2}{L^3}$$

$$N_{23} + N_{21} + V_{24} = 0 \iff \boxed{\frac{6EI\Omega_2}{L^2} + \left(\frac{12EI}{L^3} + \frac{3EA}{2L}\right)V_2 + \frac{6EI\Omega_4}{L^2} = 0}$$

$$N_{42} = 0 \iff \frac{EA}{L}(u_{42} - u_{24}) + N_{42}^0 = 0 \iff \boxed{U_4 - U_2 = 0}$$

$$M_{42} = 0 \Leftrightarrow \frac{2EI\omega_{24}}{L} + \frac{4EI\omega_{42}}{L} - \frac{6EI}{L^2}(v_{42} - v_{24}) + M_{42}^0 = 0 \Leftrightarrow \boxed{\frac{2EI\Omega_2}{L} + \frac{4EI\Omega_4}{L} + \frac{6EIV_2}{L^2} = 0}$$

Au final,

$$\begin{pmatrix} -\frac{9EI}{2L^2} & \frac{6EI}{L^2} & \frac{10EI}{L} & 0 & \frac{2EI}{L} \\ -\frac{27EI}{2L^3} + \frac{EA}{L} & 0 & \frac{9EI}{2L^2} & -\frac{EA}{L} & 0 \\ 0 & \frac{12EI}{L^3} + \frac{3EA}{2L} & \frac{6EI}{L^2} & 0 & \frac{6EI}{L^2} \\ -1 & 0 & 0 & 1 & 0 \\ 0 & \frac{6EI}{L^2} & \frac{2EI}{L} & 0 & \frac{4EI}{L} \end{pmatrix} \begin{pmatrix} U_2 \\ V_2 \\ \Omega_2 \\ U_4 \\ \Omega_4 \end{pmatrix} = \begin{pmatrix} \frac{pL^2}{4} \\ \frac{3pL}{2} \\ 0 \\ 0 \\ 0 \end{pmatrix}$$

$$\begin{cases} U_2 = \frac{2pL^4}{15E(5AL^2 + 6I)} + \frac{13pL^4}{90EI} \approx \boxed{7,23.10^{-5} m} \\ V_2 = \frac{-pL^4}{E(5AL^2 + 6I)} \approx \boxed{-3,32.10^{-7} m} \\ \Omega_2 = \frac{2pL^3}{5E(5AL^2 + 6I)} + \frac{pL^3}{10EI} \approx \boxed{1,00.10^{-5} rad} \\ U_4 = \frac{2pL^4}{15E(5AL^2 + 6I)} + \frac{13pL^4}{90EI} \approx \boxed{7,23.10^{-5} m} \\ \Omega_4 = \frac{-pL^3(AL^2 - 4I)}{4EI(5AL^2 + 6I)} = \boxed{-4,91.10^{-6} rad} \end{cases}$$

Poutre 1 - 2 :

$$\begin{split} M_{12} &= \frac{4EI\omega_{12}}{(2L)} + \frac{2EI\omega_{21}}{(2L)} - \frac{6EI}{(2L)^2}(v_{21} - v_{12}) + M_{12}^0 \\ &= \frac{EI\Omega_2}{L} + \frac{3EIU_2}{2L^2} + \frac{pL^2}{3} \approx 16300 \ N.m \end{split}$$

$$M_{21} = \frac{2EI\Omega_2}{L} + \frac{3EIU_2}{2L^2} - \frac{pL^2}{3} \approx 2100 \ N. m$$

$$M_{iso}(x) = \frac{px}{2}(2L - x) = 5000x - 500x^2$$

# Calcul Structure Bâtiment http://www.csb.bet



Page 171/197

$$M_{12}(x) = M_{iso}(x) - M_{12} \cdot \frac{L - x}{L} + M_{21} \cdot \frac{x}{L} = 5000x - 500x^2 - 16300 \cdot \frac{10 - x}{10} + 2100 \cdot \frac{x}{10}$$

$$\Rightarrow M_{12}(x) = -500x^2 + 6840x - 16300$$

$$\Rightarrow V_{12}(x) = 1000x - 6840$$

$$N_{12}(x) = N_{21} = \frac{EAV_2}{2L}$$

$$\Rightarrow \boxed{N_{12}(x) = -500}$$

# Poutre 2 - 4 :

$$M_{24} = \frac{4EI\Omega_2}{L} + \frac{2EI\Omega_4}{L} + \frac{6EIV_2}{L^2} \approx 7500 \ N. m$$

$$M_{iso}(x) = 0$$

$$M_{24}(x) = M_{iso}(x) - M_{24} \cdot \frac{L - x}{L} + M_{42} \cdot \frac{x}{L} = -7500 \cdot \frac{5 - x}{5}$$

$$\Rightarrow M_{24}(x) = 1500x - 7500$$

$$\Rightarrow V_{24}(x) = -1500$$

$$\Rightarrow N_{24}(x) = 0$$

# Poutre 2 - 3 :

$$M_{32} = \frac{2EI\omega_{23}}{L} + \frac{4EI\omega_{32}}{L} - \frac{6EI}{L^2}(v_{32} - v_{23}) + M_{32}^0$$

$$= \frac{2EI\Omega_2}{L} - \frac{6EIU_2}{L^2} - \frac{pL^2}{12} \approx -18800 \text{ N.m}$$

$$M_{23} = \frac{4EI\Omega_2}{L} - \frac{6EIU_2}{L^2} + \frac{pL^2}{12} \approx -9600 \text{ N.m}$$

### Posons X = x - 10

$$M_{iso}(X) = \frac{pX}{2}(L - X) = 2500X - 500X^2$$

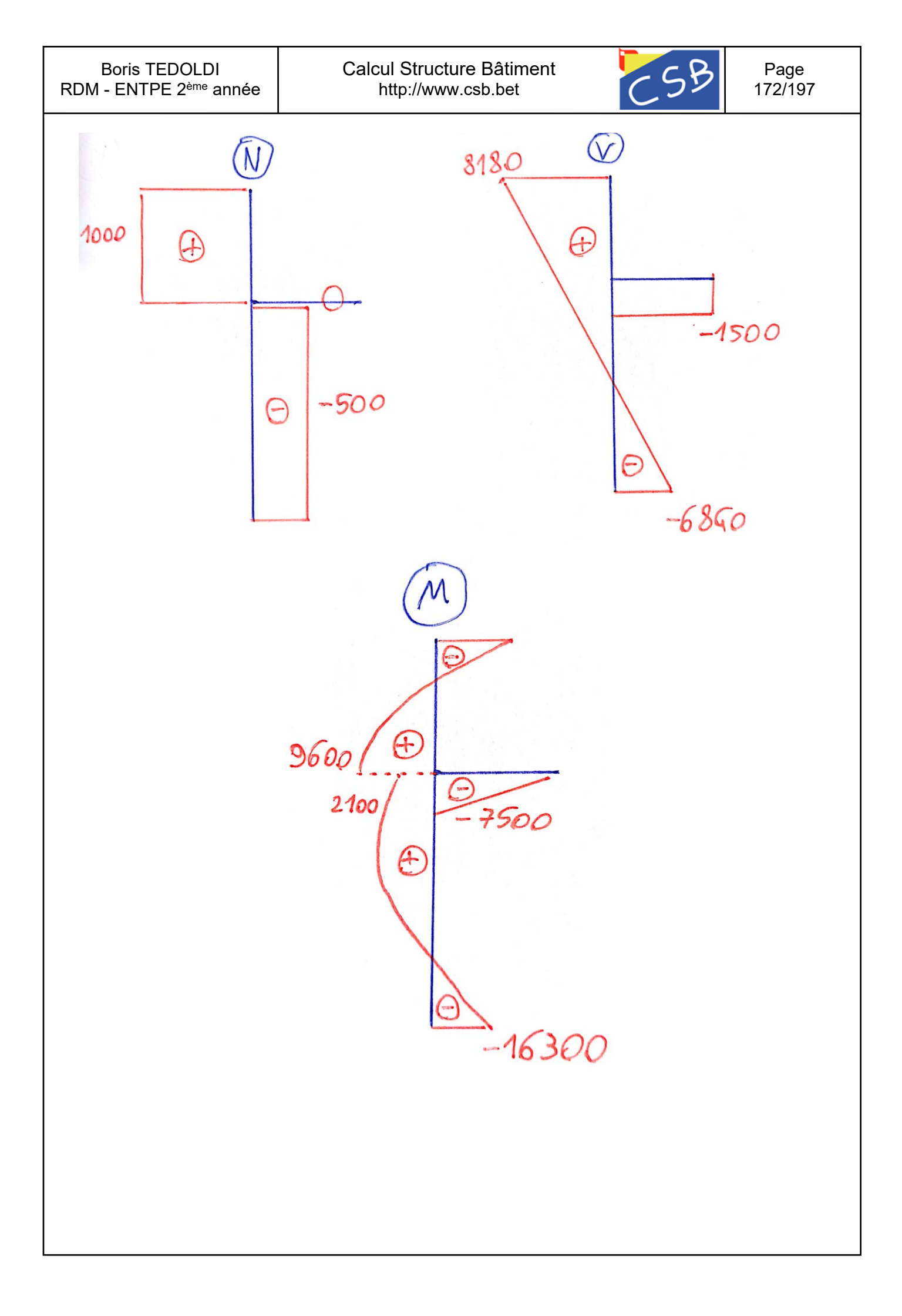
$$M_{23}(X) = M_{iso}(X) - M_{23} \cdot \frac{L - x}{L} + M_{32} \cdot \frac{x}{L} = 2500X - 500X^2 + 9600 \cdot \frac{5 - X}{5} - 18800 \cdot \frac{X}{10}$$

$$\Rightarrow M_{23}(X) = -500X^2 - 3180X + 9600$$

$$\Rightarrow V_{23}(X) = 1000X - 3180$$

$$N_{23}(X) + N_{23} = 0 \Rightarrow N_{23}(X) = -\frac{EAV_2}{I}$$

$$\Rightarrow \boxed{N_{12}(x) = 1000}$$



### 7. Méthode des rotations

## 7.1 Domaine d'application

Les déformations d'effort normal sont négligées.

### 7.2 Conséquence

Pour chaque poutre entre les nœuds [] et [s] composant la structure, dans le repère local, les déplacements entre nœuds dans le sens longitudinal sont égaux :

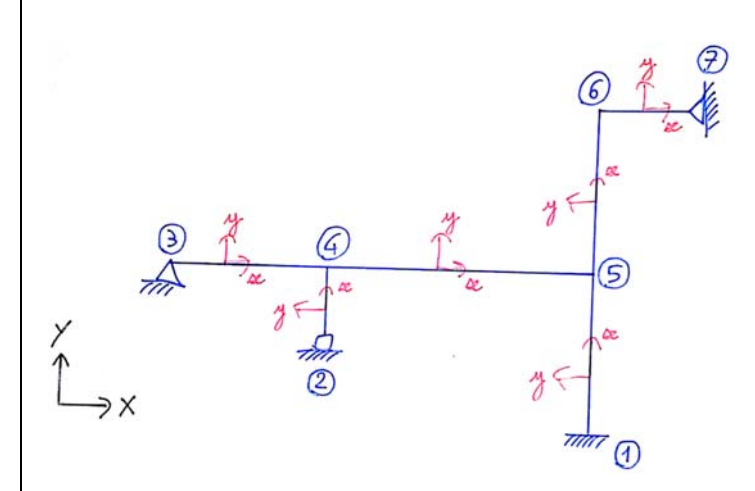
$$u_{rs} = u_{sr}$$

Lorsque les déplacements sont empêchés par un appui encastrement, par une rotule ou un appui simple perpendiculaire au vecteur  $\vec{x}$  du repère local, tous les nœuds d'une même poutre dans la direction  $\vec{x}$  du repère local ont donc un déplacement longitudinal nul.

De plus, dans la méthode des rotations, le champ de déplacement est dessiné en remplaçant chaque encastrement (interne ou externe) par une rotule.

### Illustration

### Soit la structure suivante :



Il existe un encastrement au niveau du nœud 1, donc :  $V_1=0$  Et par conséquence :  $V_5=V_6=0$  On a également  $U_1=0$ 

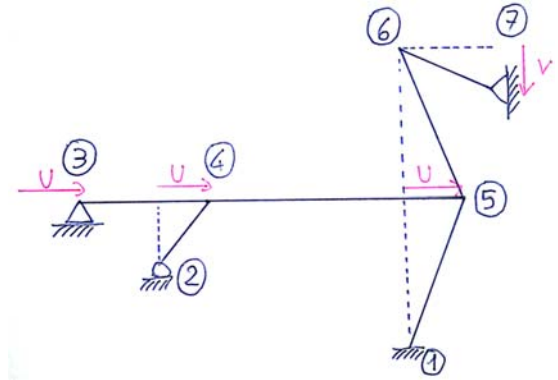
Il existe un appui rotule au niveau du nœud 2, donc :  $V_2=0$  Et par conséquence  $V_4=0$  On a également  $U_2=0$ 

Il existe un appui simple au niveau du nœud 3, donc  $V_3 = 0$ 

Il existe un appui simple au niveau du nœud 7, donc  $U_7=0$  Et par conséquence  $U_6=0$ 

Les déplacements possibles en translation sont donc :  $U_3$ ,  $U_4$ ,  $U_5$  et  $V_7$ . Puisque les noeuds 3, 4 et 5 constituent une même poutre, on peut poser  $U_3 = U_4 = U_5 = U$  et  $V_7 = V$ 

Au final, la méthode des rotations s'appuiera sur le champ de déplacement suivant :



# 7.3 Notion de rotation d'ensemble des poutres

Dans l'illustration précédente, certaines poutres ont une rotation d'ensemble.

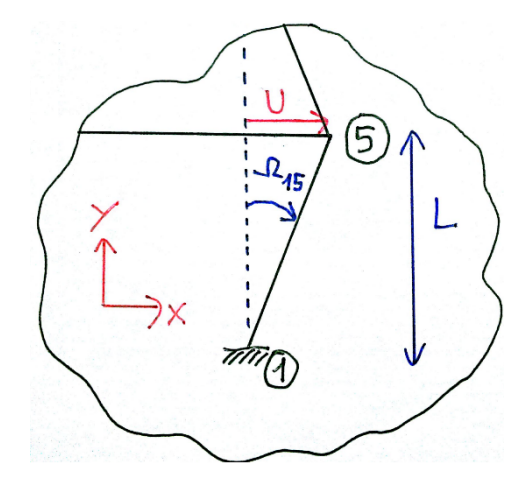
Par exemple, le déplacement U du nœud 5 engendre une rotation notée  $\Omega_{15}$  de a poutre 1-5.

La rotation de la poutre est négative par rapport au repère global (et local).



En posant L la longueur de la poutre, on obtient :

$$\Omega_{15} = -\frac{U}{L}$$



### Généralisation de la rotation d'ensemble

### Avec

- $v_{ij}$  et  $v_{ji}$ : déplacements dans le repère local dans la direction et le sens  $\vec{y}$  des noeuds  $\vec{j}$  et
- $\Omega_{ij}$ : rotation d'ensemble de la poutre

$$\Omega_{ij} = \Omega_{ji} = \frac{v_{ji} - v_{ij}}{L}$$

Remarque : le signe de cette relation est conforme au sens positiff de rotation du repère local.

### 7.4 Notion de rotation des nœuds

Contrairement au champ de déplacement de l'illustration précédente qui est un champ virtuel, la rotation  $\omega_r$  est bien celle observée réellement au nœud  $\Gamma$  suite au chargement de la structure.

Two tructure over chargement chargement

### 7.5 Relations entre moments, rotation d'ensemble et rotation des nœuds

•  $\omega_r$  : rotation du nœud r

•  $\omega_s$  : rotation du nœud s

•  $\Omega_{rs}$ : rotation d'ensemble de la poutre r-s

•  $M''_{rs}$ : moment d'encastrement d'une poutre console au niveau du nœud

•  $M'_{rs}$ : moment d'encastrement d'une poutre encastrement-appui simple au niveau du nœud  $\Gamma$ 

•  $M_{rs}^0$ : moment d'encastrement d'une poutre bi-enccastrée au niveau du nœud

En considérant la poutre 🖳 la relation dépend de la nature des nœuds 🛭 et 🗟 :

		Nature du nœud r	
		r est un nœud interne	r n'est pas un nœud interne
S	Extrémité libre	$M_{rs} = \frac{3EI}{L}\omega_r - \frac{3EI}{L}\Omega_{rs} + M''_{rs}$	$M_{rs} = -\frac{3EI}{L}\Omega_{rs} + M''_{rs}$
pnæu	Appui simple ou rotule	$M_{rs} = \frac{3EI}{L}\omega_r - \frac{3EI}{L}\Omega_{rs} + M'_{rs}$	$M_{rs} = -\frac{3EI}{L}\Omega_{rs} + M'_{rs}$
np	Nœud interne	$M_{rs} = \frac{4EI}{L}\omega_r + \frac{2EI}{L}\omega_s - \frac{6EI}{L}\Omega_{rs} + M_{rs}^0$	$M_{rs} = \frac{2EI}{L}\omega_s - \frac{6EI}{L}\Omega_{rs} + M_{rs}^0$
Nature	Encastrement	$M_{rs} = \frac{4EI}{L}\omega_r - \frac{6EI}{L}\Omega_{rs} + M_{rs}^0$	$M_{rs} = -\frac{6EI}{L}\Omega_{rs} + M_{rs}^0$

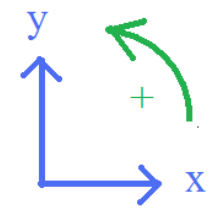
Nota:

• Le repère local n'est pas nécessairement dirigé de la vers s

• Les signes de  $\omega_r$ ,  $\omega_s$ ,  $\Omega_{rs}$  et  $M_{rs}$  sont conformes au sens positif de rotation du repère local de la poutre f et f Attention si le signe positif de rotation du repère local change d'une poutre à l'autre.

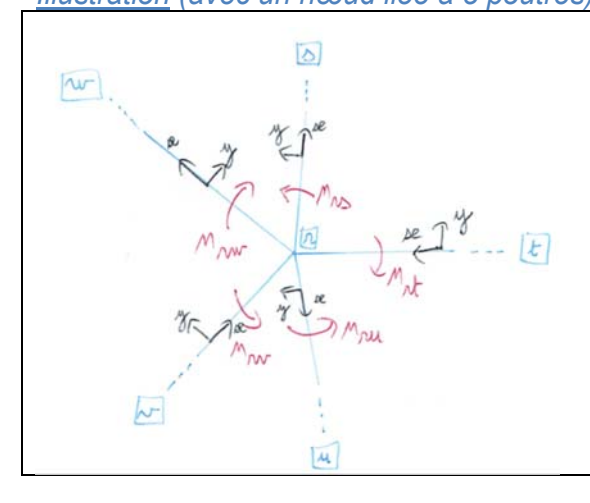
# 7.6 Equilibre des moments au niveau des nœuds internes

Pour chaque nœud interne , les moments M<sub>rs</sub> sont représentés autour de ce nœud en respectant le sens positif du repère local (flèche courbe dirigée de x à y)



Puis, l'équilibre en moment consiste à écrire que la somme (algébrique) des moments autour de ce nœud est nulle.

Illustration (avec un nœud liée à 5 poutres)



Dans l'exemple ci-contre, l'équilibre en moment du nœud i est traduit par :

$$M_{rs} - M_{rt} + M_{ry} + M_{ry} - M_{rw} = 0$$

Boris TEDOLDI RDM - ENTPE 2ème année

## Calcul Structure Bâtiment http://www.csb.bet



Page 176/197

M<sub>rs</sub>, ..., M<sub>rw</sub> sont ensuite déterminés par les relations vues précédemment par rapport à la rotation d'ensemble des poutres et la rotations des nœuds.

### 7.7 Utilisation du principe des travaux virtuels (PTV)

### 7.7.1 Travail des forces

 $Travail(Force) = Force \times déplacement$ 

### Illustration force ponctuelle

Dans l'exemple ci-contre :

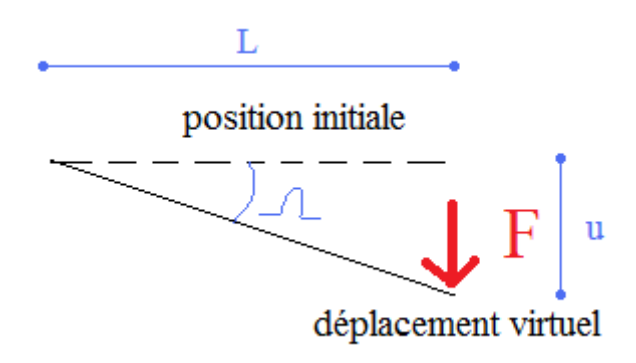
$$Travail(Force) = F \times u$$

Avec l'hypothèse des petites transformations :

$$u = L \times \tan \Omega \approx L \times \Omega$$

Donc

$$Travail(Force) = F \times L \times \Omega$$



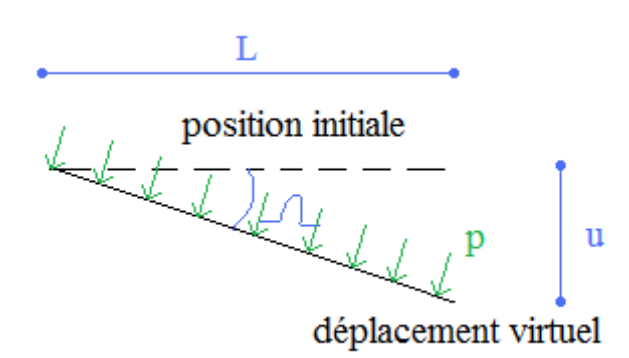
### <u>Illustration force répartie rectangulaire</u>

$$Travail(Force) = \int_{0}^{L} p \cdot u(x) \cdot dx$$

$$u(x) = x \times \tan \Omega \approx x \times \Omega$$

Donc

$$Travail(Force) = \frac{p \times L^2 \times \Omega}{2}$$



### 7.7.2 Travail des moments

Au niveau des nœuds internes et des encastrements, on trace les moments  $M_{rs}$  aux nœuds dans le sens positif par rapport au repère local.

On dessine la rotation d'ensemble  $\Omega_{rs}$  de la poutre  $\mathbb{R}$ - $\mathbb{S}$ .

Puis le travail du moment M<sub>rs</sub> est égal à :

$$M_{rs} \times \Omega_{rs}$$

### Le travail est :

- positif si  $M_{rs}$  et  $\Omega_{rs}$  sont dans le même sens
- négatif sinon

### **Illustration**

Position initiale	Position déplacée et moment aux noeuds	Travail(Moment)
y se	S.S.	$M_{rs} \times \Omega_{rs} = -M_{rs} \times  \Omega $
i we way	3 / 2 / 2 / 2 / 2 / 2 / 2 / 2 / 2 / 2 /	$M_{rs} \times \Omega_{rs} = M_{rs} \times  \Omega $

### Remarque:

Le travail des moments externes se calculent de la même manière.

### 7.7.3 PTV

L'équilibre des travaux des forces et des moments se traduit par :

Travaux(forces) = Travaux(moments)

Boris TEDOLDI RDM - ENTPE 2ème année

## Calcul Structure Bâtiment http://www.csb.bet



Page 178/197

### 7.8 Méthode

- I. Numéroter chaque nœud de la structure
- II. Dessiner un déplacement virtuel en négligeant l'effort normal et en considérant les encastrements comme des rotules
- III. Pour chaque nœud intérieur de la structure (les nœuds en extrémité libres et au niveau des réactions d'appuis sont exclus), écrire l'équilibre en moment (les directions des moments doivent être conformes au repère local de chaque poutre)
- IV. Remplacer chaque moment M<sub>rs</sub> par la relation en fonction des rotations
- V. Utiliser le PTV (le travail des forces est égal au travail des moments)
- VI. Résoudre le système obtenu
- VII. Calculer les torseurs au niveau des nœuds
- VIII. Obtenir les torseurs en tout point par utilisation de relations entre moment et effort tranchant entre deux sections d'une poutre droite dont les moments sont connus.

En notant  $\vec{l}$  et  $\vec{l}$  les nœuds de la poutre tels que le vecteur  $\vec{x}$  du repère local soit dirigé de  $\vec{l}$  vers  $\vec{l}$ 

Adaptation de la relation du chapitre 2 avec :  $\left\{egin{align*} M_A = -M_{ij} \\ M_B = M_{ji} \end{array}\right.$ 

Ainsi, pour chaque poutre [] - []

L'effort tranchant à l'abscisse x est égal à :

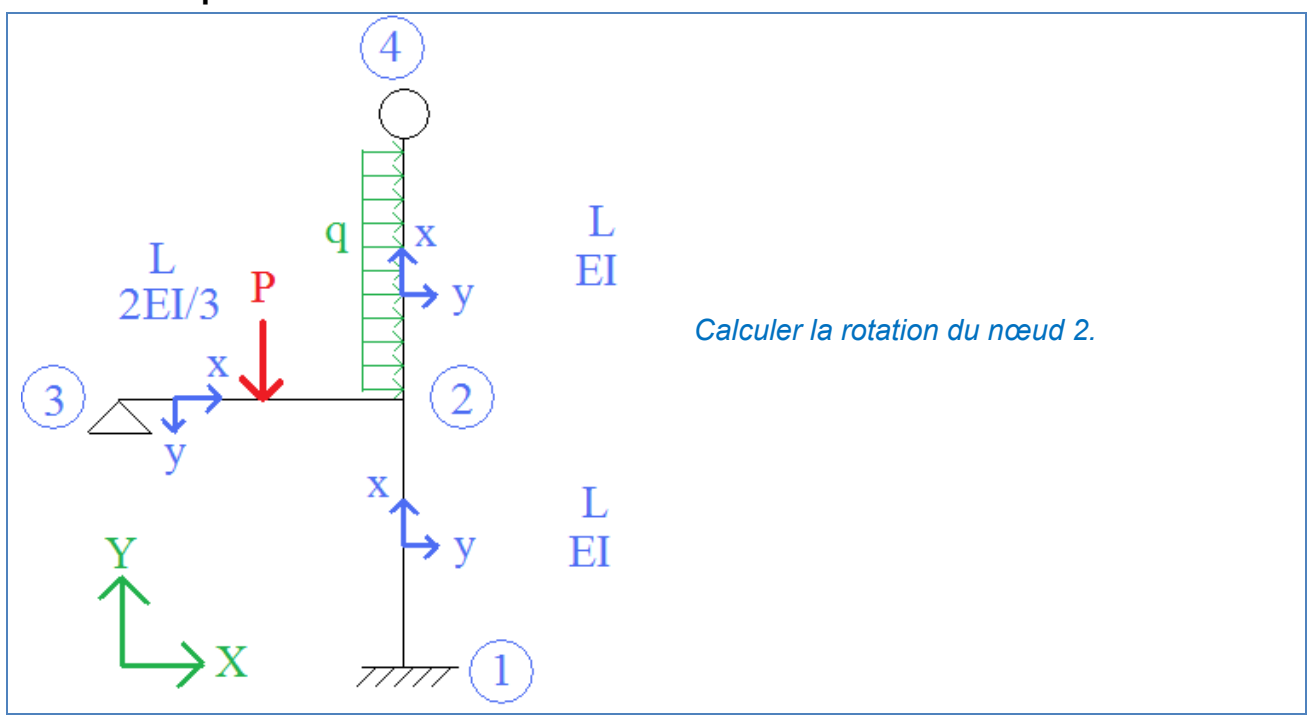
Le moment à l'abscisse x est égal à :

$$M_{ij}(x) = M_{iso}(x) - M_{ij} \cdot \frac{L - x}{L} + M_{ji} \cdot \frac{x}{L}$$

$$V_{ij}(x) = V_{iso}(x) + \frac{M_{ij} + M_{ji}}{L}$$

ATTENTION : ces relations ne doivent pas être utilisées pour une portion de poutre en console.

# 7.9 Exemple



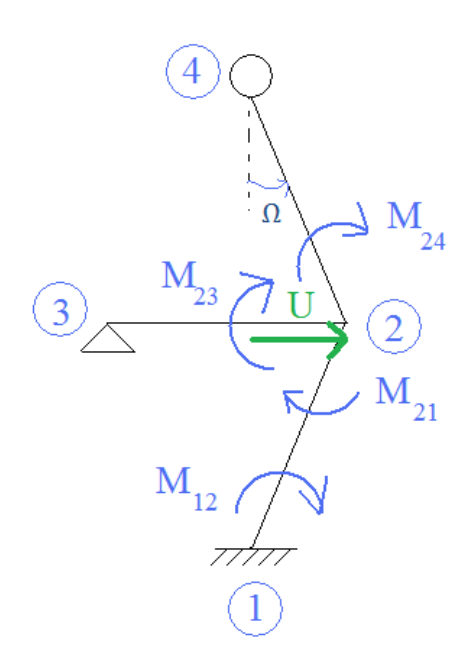
### **Solution**

L'encastrement en 1 et la rotule en 4 impliquent que  $V_1=0$  et  $V_4=0$ 

Ainsi,  $V_2 = 0$ 

II y a un appui simple en 3 donc :  $V_3 = 0$ 

Les seuls déplacements possibles sont donc :  $U_3$  et  $U_2$ . Puisque les nœuds 2 et 3 font partie de la même poutre, il vient que :



$$U_3 = U_2 = U$$

Ainsi, en notant  $\Omega$  la rotation de la poutre 4-2

$$\Omega = \frac{U}{L}$$

### Remarques:

- les vecteurs courbes représentant les moments sont orientés positivement selon le repère local.
- Il n'existe pas de moments  $M_{42}$  ou  $M_{32}$  puisque le nœud 4 est une rotule et le nœud 3 est un appui simple (3 et 4 sont donc des extrémités non encastrées).

# Equilibre du nœud 2 :

L'équilibre en moment au niveau du nœud 2 est :

$$M_{23} + M_{24} + M_{21} = 0$$

• 3 est un nœud simplement appuyé donc :

$$M_{23} = \frac{3 \times \frac{2}{3} \times EI}{L} \omega_2 - \frac{3 \times \frac{2}{3} \times EI}{L} \Omega_{23} + M'_{23} = \frac{2EI}{L} \omega_2 + \frac{qL^2}{8}$$

4 est une liaison rotule donc :

$$M_{24} = \frac{3EI}{L}\omega_2 - \frac{3EI}{L}\Omega_{23} + M'_{23} = \frac{3EI}{L}\omega_2 + \frac{3EI}{L}\Omega - \frac{qL^2}{8}$$

• 1 est un encastrement donc

$$M_{21} = \frac{4EI}{L}\omega_2 - \frac{6EI}{L}\Omega_{21} + M_{21}^0 = \frac{4EI}{L}\omega_2 - \frac{6EI}{L}\Omega$$

Ainsi, on obtient une première équation :

$$\frac{9EI}{L}\omega_2 - \frac{3EI}{L}\Omega = 0$$

### Principe des travaux virtuels

Travail des forces

$$P \times 0 + qL \times \frac{U}{2} = \frac{qL^2\Omega}{2}$$

• Travail des moments

$$M_{23} \times 0 + M_{24} \times (-\Omega) + M_{21} \times \Omega + M_{12} \times \Omega$$

Le travail des forces doit compenser le travail des moments, ainsi :

$$\frac{qL^{2}\Omega}{2} = -M_{24} \times \Omega + M_{21} \times \Omega + M_{12} \times \Omega$$
$$\Rightarrow \frac{qL^{2}}{2} = -M_{24} + M_{21} + M_{12}$$

 $M_{24}$  et  $M_{21}$  ont déjà été prélablement calculés, puisque le nœud 2 est un nœud interne et que 1 n'est pas un nœud interne ( $\omega_1 = 0$ ) :

$$M_{12} = \frac{2EI}{L}\omega_2 - \frac{6EI}{L}\Omega_{12} + M_{12}^0 = \frac{2EI}{L}\omega_2 - \frac{6EI}{L}\Omega_{12}$$

Il vient alors que:

$$\begin{split} \frac{qL^2}{2} &= -M_{24} + M_{21} + M_{12} \\ \Rightarrow \frac{qL^2}{2} &= -\frac{3EI}{L}\omega_2 - \frac{3EI}{L}\Omega + \frac{qL^2}{8} + \frac{4EI}{L}\omega_2 - \frac{6EI}{L}\Omega + \frac{2EI}{L}\omega_2 - \frac{6EI}{L}\Omega \\ \Rightarrow \frac{3EI}{L}\omega_2 - \frac{15EI}{L}\Omega &= -\frac{5qL^2}{8} \end{split}$$

### Résolution

L'équilibre du nœud 2, ainsi que le PTV est traduit par :

$$\frac{EI}{L} \begin{pmatrix} 9 & -3 \\ 3 & -15 \end{pmatrix} \begin{pmatrix} \omega_2 \\ \Omega \end{pmatrix} = \begin{pmatrix} 0 \\ -5qL^2/8 \end{pmatrix}$$

# Calcul Structure Bâtiment http://www.csb.bet



Page 181/197

$$\Rightarrow \left\{ \boxed{ \omega_2 = \frac{5qL^3}{336EI}} \right.$$

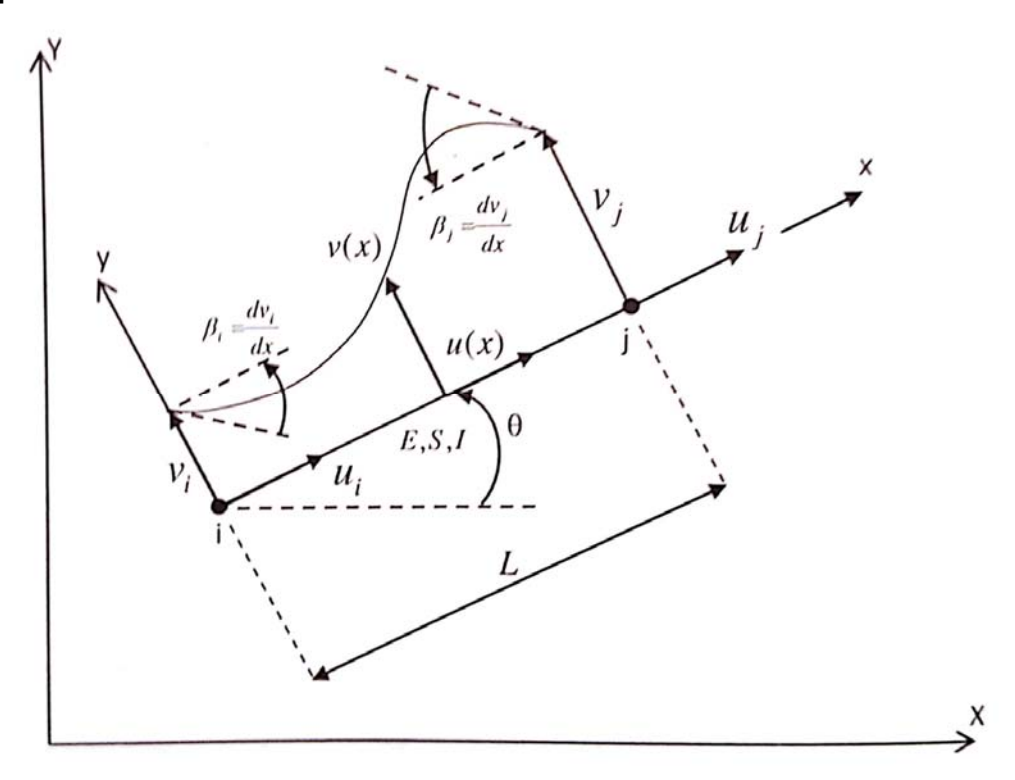
$$\Omega = \frac{5qL^3}{112EI}$$

# 8. Introduction aux éléments finis pour les poutres à 3 degrés de liberté

#### 8.1 Domaine d'application

- E, I et A sont constants entre chaque nœud
- Matériau dans le domaine élastique linéaire
- La torsion n'est pas prise en compte

### 8.2 Déplacements et rotations des nœuds



#### 8.2.1 Déplacement à l'effort normal (déplacement u)

Dans le cas d'une section constante, la déformation longitudinale due à l'effort normal est constante entre deux nœuds [i] et [j].

Or la déformation par rapport au déplacement est égale à :  $\varepsilon_x = \frac{du}{dx} = a$ 

Ainsi, l'intégration implique que u(x) = ax + b

Avec 
$$\begin{cases} u(0) = u_i \\ u(L) = u_j \end{cases}$$

donc 
$$u(x) = \left(1 - \frac{x}{L}\right) \cdot u_i + \frac{x}{L} \cdot u_j$$

#### 8.2.2 Déplacement à la flexion (déplacement v)

La courbe v(x) peut être approchée par un polynôme.

Or les conditions aux limites sont les déplacements selon  $\vec{y}$  des nœuds  $v_i$  et  $v_j$  ainsi que les rotations au niveau des nœuds  $\beta_i$  et  $\beta_j$ .

Les 4 conditions aux limites impliquent un polynôme de degré 3 :

$$v(x) = A \cdot x^3 + B \cdot x^2 + C \cdot x + D$$

Avec 
$$\begin{cases} v(0) = v_i \\ v(L) = v_j \\ \frac{dv(0)}{dx} = \beta_i \\ \frac{dv(L)}{dx} = \beta_j \end{cases}$$

Ainsi,

$$v(x) = \left(1 - \frac{3x^2}{L^2} + \frac{2x^3}{L^3}\right) \cdot v_i + \left(x - \frac{2x^2}{L} + \frac{x^3}{L^2}\right) \cdot \beta_i + \left(\frac{3x^2}{L^2} - \frac{2x^3}{L^3}\right) \cdot v_j + \left(-\frac{x^2}{L} + \frac{x^3}{L^2}\right) \cdot \beta_j$$

## 8.3 Champ de déplacement sous forme matricielle

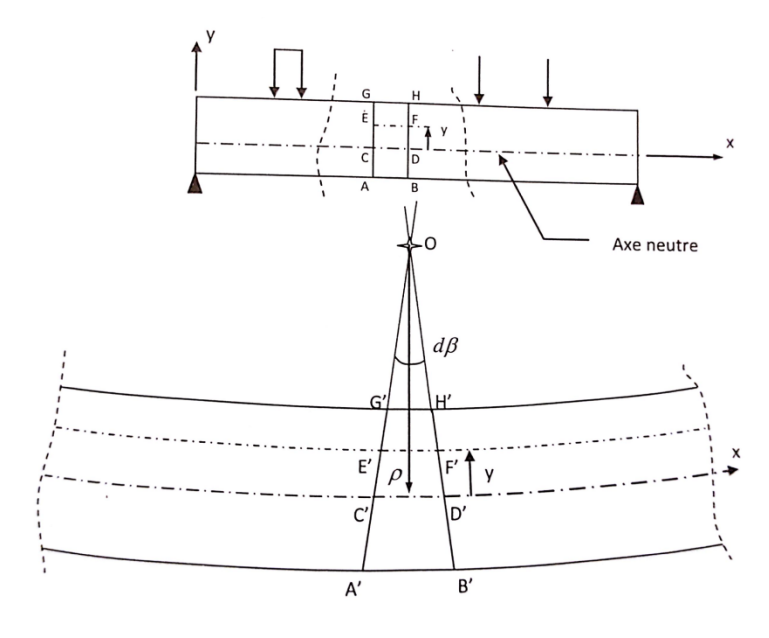
$$\begin{pmatrix} u(x) \\ v(x) \end{pmatrix} = \begin{pmatrix} 1 - \frac{x}{L} & 0 & 0 & \frac{x}{L} & 0 & 0 \\ 0 & 1 - \frac{3x^2}{L^2} + \frac{2x^3}{L^3} & x - \frac{2x^2}{L} + \frac{x^3}{L^2} & 0 & \frac{3x^2}{L^2} - \frac{2x^3}{L^3} & -\frac{x^2}{L} + \frac{x^3}{L^2} \end{pmatrix} \cdot \begin{pmatrix} u_i \\ v_i \\ \beta_i \\ u_j \\ v_j \\ \beta_i \end{pmatrix}$$

# 8.4 Déformation longitudinale d'une poutre

#### 8.4.1 Par effort normal

$$\varepsilon_{\chi} = \frac{du}{dx}$$

#### 8.4.2 Par flexion



A l'ordonnée y :

$$\varepsilon_{x} = \frac{E'F' - EF}{EF} = \frac{(\rho - y) \cdot d\beta - \rho \cdot d\beta}{\rho \cdot d\beta}$$
$$= -\frac{y}{\rho}$$

Par définition des contraintes normales :

$$\sigma_{x} = E \cdot \varepsilon_{x} = -\frac{E \cdot y}{\rho}$$

La relation entre moment fléchissant et contrainte est :

$$M = \int_{S} \sigma_{x} \cdot y \cdot dS = \int_{S} -\frac{E \cdot y^{2}}{\rho} \cdot dS$$

Or la définition du moment d'inertie est

$$I = \int_{S} y^2 \cdot dS$$

Donc

$$M = -\frac{E \cdot I}{\rho}$$

Ou encore:

$$\frac{1}{\rho} = -\frac{M}{EI}$$

Εt

$$\varepsilon_x = \frac{My}{EI}$$

D'après la figure ci-contre :

$$dx \approx ds = \rho \cdot d\beta$$

Ainsi

$$\frac{d\beta}{dx} \approx \frac{1}{\rho}$$

Puisque

$$\beta \approx \frac{dv}{dx}$$

**Alors** 

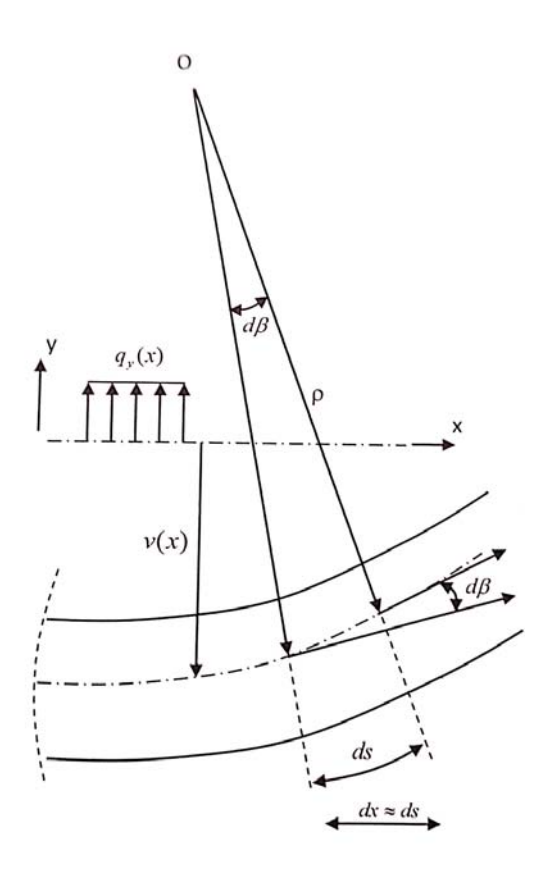
$$\frac{1}{\rho} \approx \frac{d^2 v}{dx^2}$$

Et donc:

$$\frac{1}{\rho} \approx -\frac{M}{EI} \approx \frac{d^2v}{dx^2}$$

Alors

$$\varepsilon_x = \frac{My}{EI} \approx -y \frac{d^2v}{dx^2}$$



#### 8.4.3 Sous forme matricielle

En cumulant les déformations longitudinales de flexion et d'effort normal :

$$\varepsilon_x \approx \frac{du}{dx} - y \frac{d^2v}{dx^2}$$

Puisque

**Alors** 

$$\varepsilon_{x} = \left\{ -\frac{1}{L} \quad \left( \frac{6}{L^{2}} - \frac{12x}{L^{3}} \right) \cdot y \quad \left( \frac{4}{L} - \frac{6x}{L^{2}} \right) \cdot y \quad \frac{1}{L} \quad \left( -\frac{6}{L^{2}} + \frac{12x}{L^{3}} \right) \cdot y \quad \left( \frac{2}{L} - \frac{6x}{L^{2}} \right) \cdot y \right\} \cdot \begin{pmatrix} u_{i} \\ v_{i} \\ \beta_{i} \\ u_{j} \\ v_{j} \\ \beta_{j} \end{pmatrix}$$

Posons:

$$[M] = \left\{ -\frac{1}{L} \quad \left( \frac{6}{L^2} - \frac{12x}{L^3} \right) \cdot y \quad \left( \frac{4}{L} - \frac{6x}{L^2} \right) \cdot y \quad \frac{1}{L} \quad \left( -\frac{6}{L^2} + \frac{12x}{L^3} \right) \cdot y \quad \left( \frac{2}{L} - \frac{6x}{L^2} \right) \cdot y \right\}$$

et

$$[u] = \begin{pmatrix} u_i \\ v_i \\ \beta_i \\ u_j \\ v_j \\ \beta_j \end{pmatrix}$$

Ainsi:

$$\varepsilon_{x} = [M] \cdot [u]$$

Pour obtenir les contraintes normales :  $\sigma_x = E \cdot \varepsilon_x = E \cdot [M] \cdot [u]$ 

## 8.5 Energie de déformation élémentaire

L'énergie de déformation élémentaire est :

$$W_E = \frac{1}{2} \int_V \varepsilon_x \cdot \sigma_x \cdot dV = \frac{1}{2} \int_V [\varepsilon_x]^t \cdot [\sigma_x] \cdot dV = \frac{1}{2} \int_V \left[ [M] \cdot [u] \right]^t \cdot E \cdot [M] \cdot [u] \cdot dV$$

$$=\frac{1}{2}\int\limits_{V}[u]^{t}\cdot [M]^{t}\cdot E\cdot [M]\cdot [u]\cdot dV$$

En posant

$$[K] = \int_{V} [M]^{t} \cdot E \cdot [M] \cdot dV = E \cdot \int_{V} [M]^{t} \cdot [M] \cdot dV$$

Il vient que :

$$W_E = \frac{1}{2}[u]^t \cdot [K] \cdot [u]$$

La matrice [K] est appelé matrice de rigidité et ne dépend pas du chargement mais uniquement de la géométrie (section, longueur) et du module de Young du matériau.

#### 8.6 Matrice de rigidité élémentaire d'un élément poutre 2D

#### 8.6.1 Repère local

$$[K] = E \cdot \iiint_{V} \left\{ \begin{array}{l} -\frac{1}{L} \\ \left(\frac{6}{L^{2}} - \frac{12x}{L^{3}}\right) \cdot y \\ \left(\frac{4}{L} - \frac{6x}{L^{2}}\right) \cdot y \\ \frac{1}{L} \\ \left(-\frac{6}{L^{2}} + \frac{12x}{L^{3}}\right) \cdot y \\ \left(\frac{2}{L} - \frac{6x}{L^{2}}\right) \cdot y \end{array} \right\} \cdot \left\{ -\frac{1}{L} \cdot \left(\frac{6}{L^{2}} - \frac{12x}{L^{3}}\right) \cdot y \cdot \left(\frac{4}{L} - \frac{6x}{L^{2}}\right) \cdot y \cdot \frac{1}{L} \cdot \left(-\frac{6}{L^{2}} + \frac{12x}{L^{3}}\right) \cdot y \cdot \left(\frac{2}{L} - \frac{6x}{L^{2}}\right) \cdot y \right\}$$

En posant :

$$[A] = \begin{cases} -\frac{1}{L} \\ \left(\frac{6}{L^2} - \frac{12x}{L^3}\right) \cdot y \\ \left(\frac{4}{L} - \frac{6x}{L^2}\right) \cdot y \\ \frac{1}{L} \\ \left(-\frac{6}{L^2} + \frac{12x}{L^3}\right) \cdot y \\ \left(\frac{2}{L} - \frac{6x}{L^2}\right) \cdot y \end{cases}$$

$$[A] \text{ est une matrice carrée d'ordre 6} :$$

$$\begin{bmatrix} a_{11} & a_{12} & a_{13} & a_{14} & a_{15} & a_{16} \\ a_{21} & a_{22} & a_{23} & a_{24} & a_{35} & a_{26} \end{bmatrix}$$

$$[A] = \begin{bmatrix} a_{11} & a_{12} & a_{13} & a_{14} & a_{15} & a_{16} \\ a_{21} & a_{22} & a_{23} & a_{24} & a_{25} & a_{26} \\ a_{31} & a_{32} & a_{33} & a_{34} & a_{35} & a_{36} \\ a_{41} & a_{42} & a_{43} & a_{44} & a_{45} & a_{46} \\ a_{51} & a_{52} & a_{53} & a_{54} & a_{55} & a_{56} \\ a_{61} & a_{62} & a_{63} & a_{64} & a_{65} & a_{66} \end{bmatrix}$$

[K] est alors également une matrice carrée d'ordre 6 :

$$[K] = \begin{bmatrix} k_{11} & k_{12} & k_{13} & k_{14} & k_{15} & k_{16} \\ k_{21} & k_{22} & k_{23} & k_{24} & k_{25} & k_{26} \\ k_{31} & k_{32} & k_{33} & k_{34} & k_{35} & k_{36} \\ k_{41} & k_{42} & k_{43} & k_{44} & k_{45} & k_{46} \\ k_{51} & k_{52} & k_{53} & k_{54} & k_{55} & k_{56} \\ k_{61} & k_{62} & k_{63} & k_{64} & k_{65} & k_{66} \end{bmatrix}$$

Calculons quelques valeurs en tenant compte des définitions suivantes :

- Section :  $A = \int_{S} dS$
- Moment statique au niveau du centre de gravité :  $\int_{S} ydS = 0$
- Moment d'inertie :  $I = \int_{S} y^2 dS$

$$k_{11} = E \cdot \iiint_{V} a_{11} \cdot dV = E \cdot \left(-\frac{1}{L}\right)^{2} \int_{0}^{L} dx \cdot \int_{S} dS = \frac{EA}{L}$$

$$k_{22} = E \cdot \iiint_{V} a_{22} \cdot dV = E \cdot \int_{0}^{L} \left(\frac{6}{L^{2}} - \frac{12x}{L^{3}}\right)^{2} dx \cdot \int_{S} y^{2} dS = \frac{12EI}{L^{3}}$$

$$k_{12} = E \cdot \iiint_{V} a_{12} \cdot dV = E \cdot \int_{0}^{L} \left( -\frac{1}{L} \right) \left( \frac{6}{L^{2}} - \frac{12x}{L^{3}} \right) dx \cdot \int_{S} y dS = 0$$

$$k_{33} = E \cdot \iiint_{V} a_{22} \cdot dV = E \cdot \int_{0}^{L} \left(\frac{4}{L} - \frac{6x}{L^{2}}\right)^{2} dx \cdot \int_{S} y^{2} dS = \frac{4EI}{L}$$

$$k_{32} = E \cdot \iiint_U a_{12} \cdot dV = E \cdot \int_0^L \left(\frac{4}{L} - \frac{6x}{L^2}\right) \left(\frac{6}{L^2} - \frac{12x}{L^3}\right) dx \cdot \int_S y^2 dS = \frac{6EI}{L^2}$$

$$k_{36} = E \cdot \iiint_{S} a_{12} \cdot dV = E \cdot \int_{0}^{L} \left(\frac{4}{L} - \frac{6x}{L^{2}}\right) \left(\frac{2}{L} - \frac{6x}{L^{2}}\right) dx \cdot \int_{S} y^{2} dS = \frac{2EI}{L}$$

Les 30 autres termes se calculent de manière similaire, ainsi la matrice de rigidité exprimée en repère local est :

$$[K] = \begin{bmatrix} \frac{EA}{L} & 0 & 0 & -\frac{EA}{L} & 0 & 0 \\ 0 & \frac{12EI}{L^3} & \frac{6EI}{L^2} & 0 & -\frac{12EI}{L^3} & \frac{6EI}{L^2} \\ 0 & \frac{6EI}{L^2} & \frac{4EI}{L} & 0 & -\frac{6EI}{L^2} & \frac{2EI}{L} \\ -\frac{EA}{L} & 0 & 0 & \frac{EA}{L} & 0 & 0 \\ 0 & -\frac{12EI}{L^3} & -\frac{6EI}{L^2} & 0 & \frac{12EI}{L^3} & -\frac{6EI}{L^2} \\ 0 & \frac{6EI}{L^2} & \frac{2EI}{L} & 0 & -\frac{6EI}{L^2} & \frac{4EI}{L} \end{bmatrix}$$

Rigidité du nœud [i]

Rigidité du nœud j

Facteur de transmission du nœud [i] vers [j]

Facteur de transmission du nœud |j| vers |i|

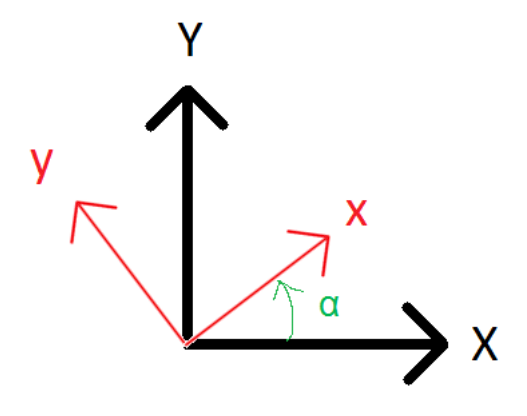
#### 8.6.2 Repère global

L'axe  $\vec{z}$  reste confondu avec l'axe  $\vec{Z}$ .

Le repère local est obtenu par rotation d'un angle  $\alpha$  du repère global.

La matrice de rigidité dans le repère global s'écrit :

$$[K_{alobal}] = [R]^t \cdot [K] \cdot [R]$$



$$[R] = \begin{bmatrix} \cos \alpha & \sin \alpha & 0 & 0 & 0 & 0 \\ -\sin \alpha & \cos \alpha & 0 & 0 & 0 & 0 \\ 0 & 0 & 1 & 0 & 0 & 0 \\ 0 & 0 & 0 & \cos \alpha & \sin \alpha & 0 \\ 0 & 0 & 0 & -\sin \alpha & \cos \alpha & 0 \\ 0 & 0 & 0 & 0 & 0 & 1 \end{bmatrix}$$

La matrice dans le repère global  $\left[K_{global}\right]$  est alors égal à :

$$\begin{bmatrix} \frac{EA}{L}\cos^2\alpha + \frac{12EI}{L^3}\sin^2\alpha & \left(\frac{EA}{L} - \frac{12EI}{L^3}\right)\cos\alpha\sin\alpha & -\frac{6EI}{L^2}\sin\alpha & -\frac{EA}{L}\cos^2\alpha - \frac{12EI}{L^3}\sin^2\alpha & \left(-\frac{EA}{L} + \frac{12EI}{L^3}\right)\cos\alpha\sin\alpha & -\frac{6EI}{L^2}\sin\alpha \\ \left(\frac{EA}{L} - \frac{12EI}{L^3}\right)\cos\alpha\sin\alpha & \frac{EA}{L}\sin^2\alpha + \frac{12EI}{L^3}\cos^2\alpha & \frac{6EI}{L^2}\cos\alpha & \left(-\frac{EA}{L} + \frac{12EI}{L^3}\right)\cos\alpha\sin\alpha & -\frac{EA}{L}\sin^2\alpha - \frac{12EI}{L^3}\cos^2\alpha & \frac{6EI}{L^2}\cos\alpha \\ -\frac{6EI}{L^2}\sin\alpha & \frac{6EI}{L^2}\cos\alpha & \frac{4EI}{L} & \frac{6EI}{L^2}\sin\alpha & -\frac{6EI}{L^2}\cos\alpha & \frac{2EI}{L} \\ -\frac{EA}{L}\cos^2\alpha - \frac{12EI}{L^3}\sin^2\alpha & \left(-\frac{EA}{L} + \frac{12EI}{L^3}\right)\cos\alpha\sin\alpha & \frac{6EI}{L^2}\sin\alpha & \frac{EA}{L}\cos^2\alpha + \frac{12EI}{L^3}\sin^2\alpha & \left(\frac{EA}{L} - \frac{12EI}{L^3}\right)\cos\alpha\sin\alpha & \frac{6EI}{L^2}\sin\alpha \\ -\frac{EA}{L}\sin\alpha & -\frac{EA}{L}\sin\alpha & -\frac{EA}{L}\sin\alpha & -\frac{EA}{L}\sin^2\alpha + \frac{12EI}{L^3}\cos^2\alpha & -\frac{6EI}{L^2}\cos\alpha \\ -\frac{6EI}{L^2}\sin\alpha & \frac{6EI}{L^2}\cos\alpha & \frac{2EI}{L} & \frac{6EI}{L^2}\sin\alpha & -\frac{6EI}{L^2}\cos\alpha & \frac{4EI}{L} \end{bmatrix}$$

#### 8.7 Travail des forces

Les forces peuvent être des forces surfaciques, volumiques ou d'actions des autres éléments sur la poutre concernée.

Posons 
$$[F] = \begin{pmatrix} N_{i,ext} \\ V_{i,ext} \\ M_{i,ext} \\ N_{j,ext} \\ V_{j,ext} \\ M_{i,ext} \end{pmatrix}$$

Le travail vaut 
$$T_E = \begin{pmatrix} u_i & v_i & \beta_i & u_j & v_j & \beta_j \end{pmatrix} \cdot \begin{pmatrix} N_{i,ext} \\ V_{i,ext} \\ M_{i,ext} \\ N_{j,ext} \\ V_{j,ext} \\ M_{j,ext} \end{pmatrix} = [u]^t \cdot [F]$$

### 8.8 Energie potentielle

L'énergie potentielle est la différence entre l'énergie de déformation élémentaire et le travail des forces :  $E=W_E-T_E$ 

Ainsi,

$$E = \frac{1}{2}[u]^t \cdot [K] \cdot [u] - [u]^t \cdot [F]$$

L'équilibre du système suppose une variation d'énergie potentielle nulle par rapport au déplacement donc :

$$\frac{dE}{du} = [du]^t \cdot \{ [K] \cdot [u] - [F] \} = 0$$

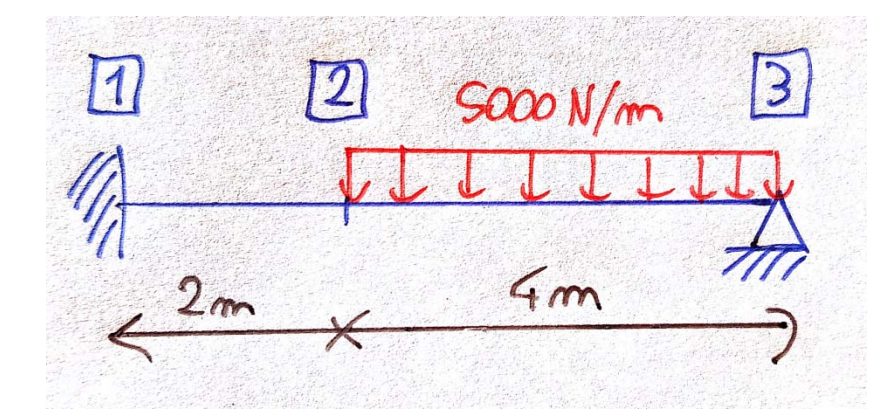
Puisque

$$\frac{d}{du}\left(\frac{1}{2}[u]^t \cdot [u]\right) = [du]^t \cdot [u]$$

Au final:

$$[K] \cdot [u] = [F]$$

# 9. Exemple



- E = 210000 MPa
- Section rectangulaire de
  - o Hauteur = 1 m
  - o Largeur = 0,5 m

# 9.1 Connexion entre poutres

La matrice de rigidité de l'élément de poutre entre les points 1 et 2 (avec un facteur 1/E) nommé  $[K_{12}]$  est de la forme :

$$[K_{12}] = \begin{bmatrix} K_{12}^{sup,gauche} & K_{12}^{sup,droite} \\ K_{12}^{inf,gauche} & K_{12}^{inf,droite} \end{bmatrix}$$

Avec:

 $K_{12}^{sup,gauche}$  : matrice d'ordre 2 représentant la rigidité du nœud  $\boxed{1}$ 

Kinf,droite | matrice d'ordre 2 représentant la rigidité du nœud 2

 $K_{12}^{sup,droite}$ : matrice d'ordre 2 représentant le facteur de transmission du nœud  $\boxed{1}$  vers  $\boxed{2}$ 

 $K_{12}^{inf,gauche}$ : matrice d'ordre 2 représentant le facteur de transmission du nœud  $\boxed{2}$  vers  $\boxed{1}$ 

# Calcul Structure Bâtiment http://www.csb.bet



Page 190/197

L'application numérique donne :

0,2500 0,000	0,0000	-0,2500	0,0000	0,0000
0,0000 0,062	25 0,0625	0,0000	-0,0625	0,0625
0,0000 0,062	25 0,0833	0,0000	-0,0625	0,0417
-0,2500 : 0,000	0,0000	0,2500	0,0000	<mark>0,0000</mark>
0,0000 : -0,06	25 -0,0625	0,0000	0,0625	<mark>-0,0625</mark>
0,0000 0,062	25 0,0417	0,0000	- <mark>0,0625</mark>	<mark>0,0833</mark>

La matrice de rigidité de l'élément de poutre entre les points 2 et 3 (avec un facteur 1/E) nommé  $[K_{23}]$  est de la forme :

$$[K_{23}] = \begin{bmatrix} K_{23}^{sup,gauche} & K_{23}^{sup,droite} \\ K_{23}^{inf,gauche} & K_{23}^{inf,droite} \end{bmatrix}$$

Avec:

K<sup>sup,gauche</sup> : matrice d'ordre 2 représentant la rigidité du nœud 2

 $K_{23}^{inf,droite}$  : matrice d'ordre 2 représentant la rigidité du nœud  $\boxed{3}$ 

 $K_{23}^{sup,droite}$  : matrice d'ordre 2 représentant le facteur de transmission du nœud  $\boxed{2}$  vers  $\boxed{3}$ 

 $K_{23}^{inf,gauche}$ : matrice d'ordre 2 représentant le facteur de transmission du nœud  $\boxed{3}$  vers  $\boxed{2}$ 

L'application numérique donne :

0,1250	0,0000	0,0000	-0,1250	0,0000	0,0000
, <del></del>	<mark></mark>	<del></del> -	0,0000		
~	<mark></mark>	<del></del> -	0,0000		
	<del></del>	<del> ,</del>	0,1250		
0,0000	-0,0078	-0,0156	0,0000	0,0078	-0,0156
0,0000	0,0156	0,0208	0,0000	-0,0156	0,0417

L'assemblage de la matrice est : 
$$[K] = \begin{bmatrix} K_{12}^{sup,gauche} & K_{12}^{sup,droite} & 0 \\ K_{12}^{inf,gauche} & K_{12}^{inf,droite} + K_{23}^{sup,gauche} & K_{23}^{sup,droite} \\ 0 & K_{23}^{inf,gauche} & K_{23}^{inf,droite} \end{bmatrix}$$

L'assemblage de la matrice est alors :

0,2500	0,0000	0,0000	-0,2500	0,0000	0,0000	0	0	0
0,0000	0,0625	0,0625	0,0000	-0,0625	0,0625	0	0	0
0,0000	0,0625	0,0833	0,0000	-0,0625	0,0417	0	0	0
-0,2500	0,0000	0,0000	<mark>0,3750</mark>	0,0000	<mark>0,0000</mark>	-0,1250	0,0000	0,0000
0,0000	-0,0625	-0,0625	0,0000	0,0703	<mark>-0,0469</mark>	0,0000	-0,0078	0,0156
0,0000	0,0625	0,0417	0,0000	-0,0469	<mark>0,1250</mark>	0,0000	-0,0156	0,0208
0	0	0	-0,1250	0,0000	0,0000	0,1250	0,0000	0,0000
0	0	0	0,0000	-0,0078	-0,0156	0,0000	0,0078	-0,0156
0	0	0	0,0000	0,0156	0,0208	0,0000	-0,0156	0,0417

La matrice de rigidité précédente a un déterminant nul, ainsi seul un mouvement de corps rigide peut être exprimé (ce qui ne correspond pas aux résultats souhaités).

### 9.2 Prise en compte des conditions d'appuis

$$[K] \cdot [u] = [F_{nodales}] + [Re]$$

Avec la matrice de déplacement 
$$[u] = \begin{pmatrix} u_1 \\ v_1 \\ \beta_1 \\ u_2 \\ v_2 \\ \beta_2 \\ u_3 \\ v_3 \\ \beta_3 \end{pmatrix}$$

 $\text{La matrice des forces nodales \'equivalentes}: \ [F_{nodales}] = \begin{pmatrix} -N_{12}^0 \\ -V_{12}^0 \\ -(N_{21}^0 + N_{23}^0) \\ -(V_{21}^0 + V_{23}^0) \\ -(M_{21}^0 + M_{23}^0) \\ -(M_{32}^0 \\ -N_{32}^0 \\ -M_{32}^0 \end{pmatrix} = \begin{pmatrix} 0 \\ 0 \\ 0 \\ 0 \\ -10000 \\ -6667 \\ 0 \\ -10000 \\ 6667 \end{pmatrix}$ 

La matrice des réactions d'appuis : 
$$[Re] = \begin{pmatrix} X_1 \\ Y_1 \\ M_1 \\ 0 \\ 0 \\ 0 \\ Y_3 \\ 0 \end{pmatrix}$$

Certaines valeurs de déplacement et de rotation sont connues puisque le nœud  $\boxed{1}$  est un encastrement et le nœud  $\boxed{3}$  est un appui simple.

$$[u] = \begin{pmatrix} u_1 = 0 \\ v_1 = 0 \\ \beta_1 = 0 \\ u_2 \\ v_2 \\ \beta_2 \\ u_3 \\ v_3 = 0 \\ \beta_3 \end{pmatrix}$$

## Calcul Structure Bâtiment http://www.csb.bet



Page 192/197

Puisque ces valeurs sont connues, il convient alors de supprimer la 1ère ligne et la 1ère colonne, la 2ème ligne et la 2ème colonne ainsi que la 8ème ligne et la 8ème colonne de l'équation

$$[K] \cdot [u] = [F_{nodales}] + [Re]$$

La matrice de rigidité globale initialement égale à

0,2500	0,0000	0,0000	<del>-0,2500</del>	0,0000	0,0000	0	θ	θ
0,0000	<del>0,0625</del>	<del>0,0625</del>	0,0000	<del>-0,0625</del>	0,0625	0	0	0
0,0000	0,0625	0,0833	0,0000	<del>-0,0625</del>	<del>0,0417</del>	0	0	0
-0,2500	0,0000	0,0000	0,3750	0,0000	0,0000	-0,1250	0,0000	0,0000
0,0000	<del>-0,0625</del>	<del>-0,0625</del>	0,0000	0,0703	-0,0469	0,0000	<del>-0,0078</del>	0,0156
0,0000	<del>0,0625</del>	<del>0,0417</del>	0,0000	-0,0469	0,1250	0,0000	<del>-0,0156</del>	0,0208
θ	0	0	-0,1250	0,0000	0,0000	0,1250	<del>0,0000</del>	0,0000
0	0	0	0,0000	<del>-0,0078</del>	<del>-0,0156</del>	0,0000	<del>0,0078</del>	<del>-0,0156</del>
θ	<del>.</del> 0	<del>.</del> 0	0,0000	0,0156	0,0208	0,0000	<del>-0,0156</del>	0,0417

$$\mathsf{Est} \ \mathsf{r\'eduite} \ \mathsf{a} \begin{pmatrix} 0.375 & 0 & 0 & -0.125 & 0 \\ 0 & 0.0703 & -0.0469 & 0 & 0.0156 \\ 0 & -0.0469 & 0.125 & 0 & 0.0208 \\ -0.125 & 0 & 0 & 0.125 & 0 \\ 0 & 0.0156 & 0.0208 & 0 & 0.0417 \end{pmatrix}$$

Cette matrice a un déterminant non nul donc, l'équation réduite a une solution :

$$210000 \cdot 10^{6} \cdot \begin{pmatrix} 0.375 & 0 & 0 & -0.125 & 0 \\ 0 & 0.0703 & -0.0469 & 0 & 0.0156 \\ 0 & -0.0469 & 0.125 & 0 & 0.0208 \\ -0.125 & 0 & 0 & 0.125 & 0 \\ 0 & 0.0156 & 0.0208 & 0 & 0.0417 \end{pmatrix} \begin{pmatrix} u_{2} \\ v_{2} \\ \beta_{2} \\ u_{3} \\ \beta_{3} \end{pmatrix} = \begin{pmatrix} 0 \\ -10000 \\ -6667 \\ 0 \\ 6667 \end{pmatrix}$$

Au final, les valeurs sont :

$$\begin{pmatrix} u_2 \\ v_2 \\ \beta_2 \\ u_3 \\ \beta_3 \end{pmatrix} = \begin{pmatrix} 0 \ m \\ -2,14.10^{-6} \ m \\ -1,44.10^{-6} \ rad \\ 0 \ m \\ 2,28.10^{-6} \ rad \end{pmatrix}$$

#### 9.3 Obtention des torseurs

Pour chaque élément de poutre 2D :

$$[T_{ij}] = [K_{ij}] \cdot [u_{ij}] - [F_{nodales}]$$

En développant :

$$\begin{pmatrix} N_{ij} \\ V_{ij} \\ M_{ij} \\ N_{ji} \\ V_{ji} \\ M_{ji} \end{pmatrix} = \begin{bmatrix} K_{ij} \end{bmatrix} \cdot \begin{pmatrix} u_i \\ v_i \\ \beta_i \\ u_j \\ v_j \\ \beta_j \end{pmatrix} + \begin{pmatrix} N_{12}^0 \\ V_{12}^0 \\ M_{12}^0 \\ N_{32}^0 \\ V_{32}^0 \\ M_{22}^0 \end{pmatrix}$$

Tronçon de poutre  $\boxed{1}$  -  $\boxed{2}$  : 0 < x < 2

$$\begin{pmatrix} N_{12} \\ V_{12} \\ M_{12} \\ N_{21} \\ M_{21} \end{pmatrix} = E \cdot \begin{pmatrix} 0.25 & 0 & 0 & -0.25 & 0 & 0 \\ 0 & 0.0625 & 0.0625 & 0 & -0.0625 & 0.0625 \\ 0 & 0.0625 & 0.0833 & 0 & -0.0625 & 0.0417 \\ 0 & 0.0625 & 0 & 0 & 0.25 & 0 & 0 \\ 0 & -0.0625 & -0.0625 & 0 & 0.0625 & -0.0625 \\ 0 & 0.0625 & 0.0417 & 0 & -0.0625 & 0.0833 \end{pmatrix} \begin{pmatrix} u_1 = 0 \ m \\ v_1 = 0 \ m \\ \beta_1 = 0 \ rad \\ u_2 = 0 \ m \\ v_2 = -2,14 \cdot 10^{-6} \ m \\ \beta_2 = -1,44 \cdot 10^{-6} \ rad \end{pmatrix} + \begin{pmatrix} 0 \\ 0 \\ 0 \\ 0 \\ 0 \end{pmatrix} = \begin{pmatrix} 0 \ N \\ 9200 \ N \\ 15500 \ N \cdot m \\ -9200 \ N \\ 3000 \ N \cdot m \end{pmatrix}$$

L'effort normal est nul en tout point.

$$M_{12}(x) = M_{iso}(x) - M_{12} \cdot \frac{2-x}{2} + M_{21} \cdot \frac{x}{2} = -15500 \cdot \frac{2-x}{2} + 3000 \cdot \frac{x}{2} = 9250 \cdot x - 15500$$

$$V_{12}(x) = -9250$$

Tronçon de poutre  $\boxed{2}$  -  $\boxed{3}$  : 2 < x < 6

$$\begin{pmatrix} N_{23} \\ V_{23} \\ N_{32} \\ V_{32} \\ M_{32} \end{pmatrix} = E \cdot \begin{pmatrix} 0.125 & 0 & 0 & -0.125 & 0 & 0 \\ 0 & 0.0078 & 0.0156 & 0 & -0.0078 & 0.0156 \\ 0 & 0.0156 & 0.0417 & 0 & -0.0156 & 0.0208 \\ -0.125 & 0 & 0 & 0.125 & 0 & 0 \\ 0 & -0.0078 & -0.0156 & 0 & 0.0078 & -0.0156 \\ 0 & 0.0156 & 0.0208 & 0 & -0.0156 & 0.0417 \end{pmatrix} \begin{pmatrix} u_2 = 0 \ m \\ v_2 = -2,14 \cdot 10^{-6} \ m \\ \beta_2 = -1,44 \cdot 10^{-6} \ rad \\ u_3 = 0 \ m \\ v_3 = 0 \\ \beta_3 = 2,28 \cdot 10^{-6} \ rad \end{pmatrix} + \begin{pmatrix} 0 \\ 10000 \\ 6667 \\ 0 \\ 10000 \\ -6667 \end{pmatrix} = \begin{pmatrix} 0 \ N \\ 9200 \ N \\ -3000 \ N \cdot m \\ 10800 \ N \\ 0 \ N \cdot m \end{pmatrix}$$

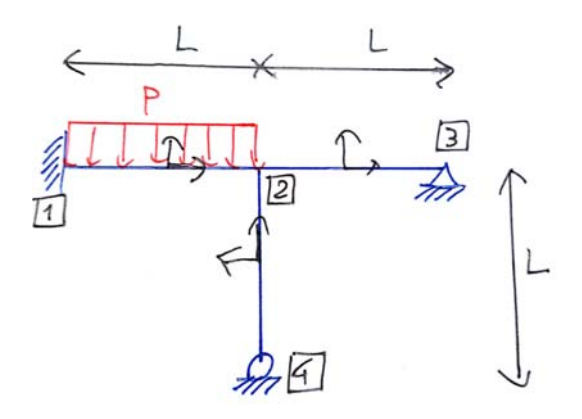
L'effort normal est nul en tout point.

Posons 
$$X = x - 2$$

$$M_{23}(X) = M_{iso}(X) - M_{23} \cdot \frac{4 - X}{4} + M_{32} \cdot \frac{X}{4}$$
$$= \frac{5000 \cdot X}{2} \cdot (4 - X) + 3000 \cdot \frac{4 - X}{4}$$
$$= -2500 \cdot X^2 + 9250 \cdot X + 3000$$

$$V_{23}(x) = 5000 \cdot X - 9250$$

#### 9.4 Exercices



Pour un élément de poutre 2D entre les nœuds  $\overline{i}$  et les nœuds  $\overline{j}$ 

La matrice de rigidité élémentaire est

notée : 
$$\begin{pmatrix} K_i^{[i]} & K_{ij}^{[i]} \\ K_{ii}^{[i]} & K_i^{[i]} \end{pmatrix}$$

Avec:

 $K_i^{\overline{[i]}}$ : matrice représentant la rigidité du nœud  $\overline{i}$ 

 $K_j^{[ij]}$ : matrice représentant la rigidité du nœud [j]

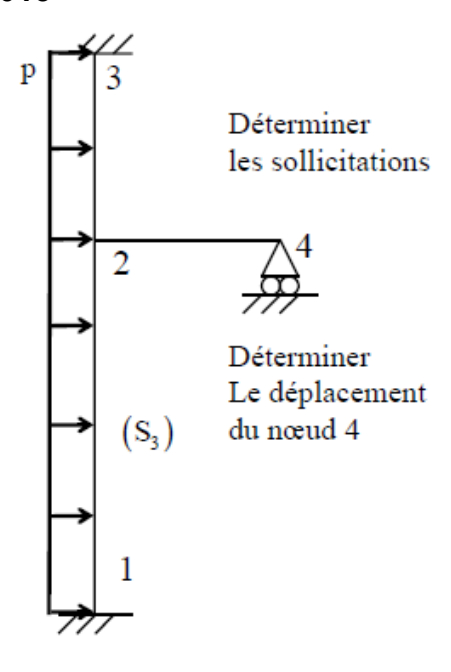
 $K_{ij}^{[ar{i}]}$  : facteur de transmission du nœud  $[ar{i}]$  vers  $[ar{j}]$ 

 $K_{ii}^{\overline{[ij]}}$ : facteur de transmission du nœud  $\overline{[j]}$  vers  $\overline{[i]}$ 

- 1) Quelle est la taille de matrice représentant la rigidité d'un nœud ?
- 2) Quelle est la taille de la matrice représentant le facteur de transmission ?
- 3) Quels sont les paramètres d'un élément fini 2D d'une poutre ?
- 4) Ecrire les matrices élémentaires de rigidité de chaque élément de poutre en respectant la notation de l'énoncé.
- 5) Assembler la matrice de rigidité de la structure
- 6) Ecrire le deuxième membre de l'égalité
- 7) Combien de conditions aux limites sont connues ?
- 8) En déduire la taille de matrice inversible et réécrire [u] et le deuxième membre après prise en compte des conditions aux limites.

Page 195/197

#### 9.5 Extrait des annales 2013



# Partie IV : Méthode des éléments finis (3 pts)

La structure précédente est résolue par un logiciel de calcul des structures basé sur la méthode des éléments finis

Précisez les 6 paramètres d'un élément fini poutre dans ce problème

Quelle est la taille de la matrice de rigidité élémentaire de cet élément

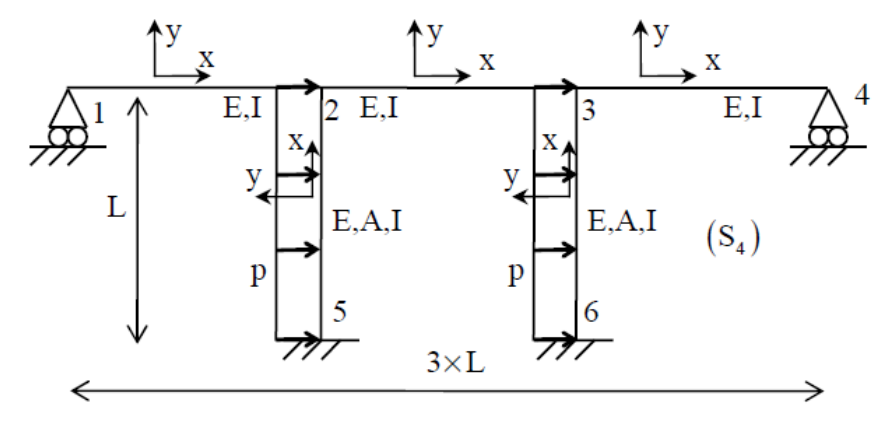
Quelle est la taille de la matrice de rigidité globale

Quelle est la taille de la matrice inversée par le système

Comment change la matrice de rigidité globale si la force répartie est concentrée au nœud 2 (Force ponctuelle horizontale de 3pL appliquée au nœud 2)

Indiquez dans les deux cas le second membre mis en place après l'assemblage

#### 9.6 Extrait des annales 2014



# Partie IV : Méthode des éléments finis (3 pts)

Répondre entièrement sur le Doc Réponse

Quelle est la taille de la matrice de rigidité élémentaire d'un élément poutre pour des problèmes en 3D

La structure précédente est résolue par un logiciel de calcul des structures basé sur la méthode des éléments finis :

Quelle est la taille de la matrice de rigidité globale pour le système (S<sub>4</sub>)

Quelle est la taille de la sous matrice inversible par le système

Comment change la matrice de rigidité globale si la force répartie est remplacée par une force concentrée globalement équivalente horizontale 2pL appliquée au milieu de la poutre 2-3 Indiquez dans les deux cas le second membre mis en place après l'assemblage

# Boris TEDOLDI RDM - ENTPE 2<sup>ème</sup> année

# Calcul Structure Bâtiment http://www.csb.bet



Page 197/197

ENT ENTILE annou	11ttp://w		
Partie IV : Méthode des élément Taille de la matrice de rigidité élémentaire d'u		des problèmes en 3D	
Taille de la matrice de rigidité globale pour le	système (S <sub>4</sub> )		
Taille de la matrice inversée par le système			
Comment change la matrice de rigidité globale si la force répartie est remplacée par une force concentrée globalement équivalente	Cas : force répartie	Cas : force ponctuelle	
Indiquez dans les deux cas le second membre			
mis en place après l'assemblage			